



การดัดแปลงศาสตร์ข้าวเหนียวด้วยวิธีการให้ความร้อนชั่ว

โดย

นางสาวชนกพร ฤทธิชัยฤกษ์

วิทยานิพนธ์นี้เป็นส่วนหนึ่งของการศึกษาตามหลักสูตรปริญญาวิทยาศาสตรมหาบัณฑิต
สาขาวิชาเทคโนโลยีอาหาร
ภาควิชาเทคโนโลยีอาหาร
บัณฑิตวิทยาลัย มหาวิทยาลัยศิลปากร
ปีการศึกษา 2551
ลิขสิทธิ์ของบัณฑิตวิทยาลัย มหาวิทยาลัยศิลปากร

การดัดแปลงศาสตราจักรห้องเรียนด้วยวิธีการให้ความร้อนชั้น

โดย

นางสาวชนกพร ฤทธิชัยฤกษ์

วิทยานิพนธ์นี้เป็นส่วนหนึ่งของการศึกษาตามหลักสูตรปริญญาวิทยาศาสตรมหาบัณฑิต

สาขาวิชาเทคโนโลยีอาหาร

ภาควิชาเทคโนโลยีอาหาร

บัณฑิตวิทยาลัย มหาวิทยาลัยศิลปากร

ปีการศึกษา 2551

ลิขสิทธิ์ของบัณฑิตวิทยาลัย มหาวิทยาลัยศิลปากร

MODIFICATION OF WAXY RICE STARCH BY HEAT-MOISTURE TREATMENTS

By
Thanaporn Ritthichairoek

A Thesis Submitted in Partial Fulfillment of the Requirements for the Degree
MASTER OF SCIENCE
Department of Food Technology
Graduate School
SILPAKORN UNIVERSITY
2008

บัณฑิตวิทยาลัย มหาวิทยาลัยศิลปากร อนุมัติให้วิทยานิพนธ์เรื่อง “ การดัดแปลงสตาร์ชข้าวเหนียวด้วยวิธีการให้ความร้อนชื้น ” เสนอโดย นางสาวชนาพร อุทิชัยฤกษ์ เป็นส่วนหนึ่งของ การศึกษาตามหลักสูตรปริญญาศาสตรมหาบัณฑิต สาขาวิชาเทคโนโลยีอาหาร

(รองศาสตราจารย์ ดร.ศิริชัย ชินะตั้งกุร)

คณบดีบัณฑิตวิทยาลัย
วันที่.....เดือน..... พ.ศ.....

อาจารย์ที่ปรึกษาวิทยานิพนธ์

1. ผู้ช่วยศาสตราจารย์ ดร.เอกพันธ์ แก้วมณีชัย
2. อาจารย์ ดร.ดวงใจ ถิรธรรมถาวร
3. ผู้ช่วยศาสตราจารย์ ดร.สุเชษฐ์ สมุหเสนีโต

คณะกรรมการตรวจสอบวิทยานิพนธ์

..... ประธานกรรมการ

(ผู้ช่วยศาสตราจารย์ ดร.ปราโมทย์ คุวิจิตรราธ)

...../...../.....

..... กรรมการ

(ผู้ช่วยศาสตราจารย์ ดร.ชัยยงค์ เทชะไพบูลย์)

...../...../.....

..... กรรมการ

(ผู้ช่วยศาสตราจารย์ ดร.เอกพันธ์ แก้วมณีชัย)

...../...../.....

..... กรรมการ

(ผู้ช่วยศาสตราจารย์ ดร.สุเชษฐ์ สมุหเสนีโต)

...../...../.....

..... กรรมการ

(อาจารย์ ดร.ดวงใจ ถิรธรรมถาวร)

...../...../.....

47403215 : สาขาวิชาเทคโนโลยีอาหาร

คำสำคัญ : สาร์ชข้าวเหนี่ยว/การดัดแปลงสาร์ช/วิธีการให้ความร้อนชื้น

ชนาพร ฤทธิชัยฤกษ์ : การดัดแปลงสาร์ชข้าวเหนี่ยวด้วยวิธีการให้ความร้อนชื้น.
อาจารย์ที่ปรึกษาวิทยานิพนธ์ : ผศ.ดร.เอกพันธ์ แก้วมณีชัย, อ.ดร.ดวงใจ ถิรธรรม
ถาวร และ ผศ.ดร.สุเชษฐ์ สมุหเสน่ห์โต. 131 หน้า.

การดัดแปลงสาร์ชข้าวเหนี่ยวด้วยวิธีการให้ความร้อนชื้น เป็นกระบวนการดัดแปลงกายภาพที่ส่งผลให้เกิดการเปลี่ยนแปลงคุณสมบัติบางอย่างของสาร์ช โดยการดัดแปลงสาร์ชข้าวเหนี่ยวด้วยความร้อน 2 ระดับ คือ อุณหภูมิ 100 และ 120 องศาเซลเซียส ความชื้น 3 ระดับ คือ ร้อยละ 10 20 และ 30 ระยะเวลาการให้ความร้อน 1 และ 4 ชั่วโมง ไม่ทำให้เกิดการเปลี่ยนแปลงของขนาด รูปร่าง และรูปแบบผลึกของสาร์ช จากการวิเคราะห์โครงสร้างผลึกของสาร์ชข้าวเหนี่ยวด้วยเทคนิคการเลี้ยวเบนของรังสีเอกซ์ พบว่าสาร์ชข้าวเหนี่ยวขึ้นคงรักษารูปแบบโครงสร้างผลึกแบบเดิม แต่การดัดแปลงผลให้สาร์ชมีร้อยละความเป็นผลึกและปริมาณอะไโอลสเพิ่มขึ้นหรือลดลงมากกว่าสาร์ชที่ไม่ผ่านการดัดแปลง และยังส่งผลให้ค่าความสว่าง (L^*) และค่าความเป็นสีเหลือง (b^*) และร้อยละการถูกย่อยด้วยเอนไซม์แอลฟอะไมเลส มีแนวโน้มสูงขึ้น การวิเคราะห์คุณสมบัติการเกิดเจลาทีน เช่นเมื่อวิเคราะห์ด้วยเครื่อง Differential Scanning Calorimeter พบว่าการดัดแปลงสาร์ชข้าวเหนี่ยวที่ระดับความชื้นร้อยละ 20 และ 30 ส่งผลให้อุณหภูมิเริ่มเปลี่ยนแปลง อุณหภูมิการถูกความร้อนสูงสุด อุณหภูมิสุดท้าย และค่าพลังงานเอนทาลปีมีแนวโน้มสูงขึ้น และเมื่อวิเคราะห์การเปลี่ยนแปลงความหนืดของสาร์ชด้วยเครื่อง Rapid Visco Analyzer พบว่า การดัดแปลงสาร์ชส่งผลให้ค่าความหนืดสูงสุด ความหนืดลดลง และเขตแบนด์ มีแนวโน้มลดลง ส่วนค่าร้อยละการพองตัว ร้อยละการละลาย และความใสของสาร์ชข้าวเหนี่ยวที่ผ่านการดัดแปลงมีแนวโน้มลดลงตามสภาวะการดัดแปลงที่สูงขึ้น

47403215 : MAJOR : FOOD TECHNOLOGY

KEY WORD : WAXY RICE STARCH/MODIFICATION/HEAT-MOISTURE TREATMENT

THANAPORN RITTHICHAIROEK : MODIFICATION OF WAXY RICE STARCH
BY HEAT-MOISTURE TREATMENTS. THESIS ADVISORS : ASST.PROF.EAKAPHAN
KEOWMANEECHAI, Ph.D., ASST.PROF.SUCHED SAMUHASANEETOO, Ph.D., AND
DOUNGJAI THIRATHAMMATHAWORN, Ph.D. 131 pp.

Modification of waxy rice starch by heat-moisture treatment is a physical modification that can change some properties of the starch. The modification of waxy rice starch was performed by using two temperature levels, 100°C and 120°C , with three moisture levels, 10, 20 and 30% and heating periods of 1 and 4 hours. The treatment did not affect the granular size, shape, or crystal structure. Investigation using X-ray diffraction showed similar crystal structure to type A with 3 peaks at original angles after modification. However, the modification caused the starch to have an increase or decrease of crystallinity and amylose content. In addition, the whiteness (L^*), yellowness (b^*) and α -amylase digestibility of the starch tended to be higher with increasing modification degree. The analysis of gelatinization by a Differential Scanning Calorimeter showed that the moisture content of 20 and 30% increased the onset, peak and end temperatures and the enthalpy. Rapid Visco Analyser revealed that peak viscosity, breakdown, and setback of the modification starch tended to be decreased. The swelling power, solubility, and clarity of the starch also tended to be decreased with increasing modification degree.

Department of Food Technology

Graduate School, Silpakorn University

Academic Year 2007

Student's signature

Thesis Advisors' signature 1. 2. 3.

กิตติกรรมประกาศ

วิทยานิพนธ์ฉบับนี้สำเร็จได้ด้วยความกรุณาของผู้ช่วยศาสตราจารย์ ดร.เอกพันธ์ แก้วมณีชัย อาจารย์ที่ปรึกษาวิทยานิพนธ์ ซึ่งให้ได้คำแนะนำนำปรึกษา ข้อซึ้งแนะนำ และให้ความช่วยเหลือจนกระทั่งลุล่วงไปได้ด้วยดี ผู้วิจัยขอกราบขอบพระคุณเป็นอย่างสูงมา ณ ที่นี่

ขอขอบพระคุณผู้ช่วยศาสตราจารย์ ดร.สุเชษฐ์ สมุหเสนีโต ผู้ช่วยศาสตราจารย์ ดร.ปราโมทย์ คุวิจิตรราธ อาจารย์ ดร.ดวงใจ ถิรธรรมภารว และผู้ช่วยศาสตราจารย์ ดร.ชัยยงค์ เดชะไพบูลย์ คณะกรรมการตรวจสอบวิทยานิพนธ์ ที่กรุณาสละเวลาให้คำแนะนำนำปรึกษา และให้แนวความคิดที่เป็นประโยชน์ในการทำวิทยานิพนธ์ ตลอดจนช่วยตรวจสอบและแก้ไขจนวิทยานิพนธ์ฉบับนี้เสร็จสมบูรณ์

ขอขอบคุณนักวิทยาศาสตร์ และเจ้าหน้าที่ประจำภาควิชาเทคโนโลยีอาหารทุกท่านที่อำนวยความสะดวกทั้งในงานด้านเอกสาร สถานที่ เครื่องมือและอุปกรณ์ในการทดลอง รวมถึงให้คำแนะนำนำปรึกษาเกี่ยวกับการทดลองในด้านต่างๆ

สารบัญ

	หน้า
บทคัดย่อภาษาไทย	๑
บทคัดย่อภาษาอังกฤษ	๒
กิตติกรรมประกาศ	๓
สารบัญตาราง	๔
สารบัญภาพ	๕
คำอธิบายสัญลักษณ์	๖
บทที่	
1 บทนำ	1
ความเป็นมาและความสำคัญของการวิจัย	1
วัตถุประสงค์ของการวิจัย.....	2
สมมติฐานการวิจัย	2
ขอบเขตการวิจัย	2
ประโยชน์ที่คาดว่าจะได้รับ	2
2 เอกสารและงานวิจัยที่เกี่ยวข้อง	3
ข้าว	3
ส่วนประกอบของสตาร์ชข้าว	4
โครงสร้างและคุณสมบัติของสตาร์ชข้าว	7
การดัดแปลงสตาร์ชด้วยวิธีการให้ความร้อนชื้น.....	17
ผลของการดัดแปลงสตาร์ชด้วยความร้อนชื้นต่อคุณสมบัติของสตาร์ช.....	19
การใช้ประโยชน์ของสตาร์ชที่ผ่านการดัดแปลงวิธีการให้ความร้อนชื้น	28
3 วัตถุดิบ อุปกรณ์และวิธีการ	31
วัตถุดิบ.....	31
เครื่องมือและอุปกรณ์.....	31
สารเคมี	32
วิธีการดำเนินการวิจัย	33
4 ผลการทดลองและวิจารณ์	36
ผลของ HMT ต่อลักษณะปราภูทางสัณฐานของเม็ดสตาร์ชข้าวเหนียว	36
ผลของ HMT ต่อการเปลี่ยนแปลงสี.....	41
ผลของ HMT ต่อการเปลี่ยนแปลงโครงสร้างผลึก.....	45
ผลของ HMT ต่อการเกิดเจลาทีโนเซชันของสตาร์ช	50
ผลของ HMT ต่อการเปลี่ยนแปลงความหนืด	58

	ผลของ HMT ต่อค่าร้อยละการพองตัวและร้อยละการละลาย	67
บทที่		
	ผลของ HMT ต่อความใสของสตาร์ชสูก	70
	ผลของ HMT ต่อบริมาณอะไมโลส.....	73
	ผลของ HMT ต่อความคงทนต่อการย่อยด้วยเอนไซม์แอลฟาระอะไมเลส.....	75
5	สรุปผลการทดลองและข้อเสนอแนะ.....	78
	เอกสารข้างอิง.....	81
	ภาคผนวก	
	ภาคผนวก ก วิธีการวิเคราะห์คุณสมบัติทางเคมีและการภาพ	89
	ภาคผนวก ข ตารางผลการทดลอง	103
	ภาคผนวก ค การวิเคราะห์ผลทางสถิติ	112
	ประวัติผู้จัด	131

สารบัญตาราง

ตารางที่	หน้า
2-1 ปริมาณอะไมโลส ค่ากำลังการพองตัวและการละลายของสตาร์ชข้าว	10
 ตารางผนวกที่	
ก-1 วิธีการวิเคราะห์แอคติวิตีของเอนไซม์แอลฟ่าอะไมเลส	97
ก-2 การเตรียมกราฟมาตรฐานมอลโตส	98
ก-3 การเตรียมสารละลายน้ำตาลกลูโคสความเข้มข้น 0-100 ไมโครกรัมต่อมิลลิลิตร	100
ข-1 ร้อยละความเป็นผลลัพธ์ของสตาร์ชข้าวเหนียวที่ผ่านการดัดแปลงและไม่ผ่านการดัดแปลง	104
ข-2 ค่าสี L*, a*, b* ของสตาร์ชที่ผ่านการดัดแปลงและไม่ผ่านการดัดแปลง	105
ข-3 ค่าการเปลี่ยนแปลงเชิงความร้อนต่อการเกิดเจลาตินเซชันจากการวิเคราะห์ด้วยเครื่อง DSC ของสตาร์ชข้าวเหนียวที่ผ่านการดัดแปลงและไม่ผ่านการดัดแปลง	106
ข-4 อุณหภูมิเริ่มเกิดความหนืด ค่าความหนืดสูงสุด ความหนืดต่ำสุด ความหนืดลดลง ความหนืดสุดท้าย และเขตแบน ของสตาร์ชข้าวเหนียวที่ผ่านและไม่ผ่าน การดัดแปลง	107
ข-5 ร้อยละการพองตัวและร้อยละการละลายที่อุณหภูมิ 85 องศาเซลเซียสของสตาร์ช ข้าวเหนียวที่ผ่านและไม่ผ่านการดัดแปลง	108
ข-6 ร้อยละการส่งผ่านของสตาร์ชข้าวเหนียวที่ผ่านและไม่ผ่านการดัดแปลง	109
ข-7 ปริมาณอะไมโลสของสตาร์ชข้าวเหนียวที่ผ่านและไม่ผ่านการดัดแปลง	110
ค-1 การวิเคราะห์ความแปรปรวนจากผลของระดับความชื้น อุณหภูมิ และระยะเวลาในการดัดแปลงต่อค่าความสว่าง (L*)	113
ค-2 การวิเคราะห์ความแปรปรวนจากผลของระดับความชื้น อุณหภูมิ และระยะเวลาในการดัดแปลงต่อค่าความเป็นสีแดง (a*)	114
ค-3 การวิเคราะห์ความแปรปรวนจากผลของระดับความชื้น อุณหภูมิ และระยะเวลาในการดัดแปลงต่อความเป็นสีเหลือง (b*)	115
ค-4 การวิเคราะห์ความแปรปรวนจากผลของระดับความชื้น อุณหภูมิ และระยะเวลาในการดัดแปลงต่อค่าอุณหภูมิเริ่มเปลี่ยนแปลง (T_0)	116
ค-5 การวิเคราะห์ความแปรปรวนจากผลของระดับความชื้น อุณหภูมิ และระยะเวลาในการดัดแปลงต่อค่าอุณหภูมิที่สตาร์ชดูดความร้อนสูงสุด (T_p)	117
ค-6 การวิเคราะห์ความแปรปรวนจากผลของระดับความชื้น อุณหภูมิ และระยะเวลาในการดัดแปลงต่อค่าอุณหภูมิสุดท้าย (T_c)	118

ตารางผนวกที่

ค-7	การวิเคราะห์ความแปรปรวนจากผลของระดับความชื้น อุณหภูมิ และระยะเวลาในการดัดแปลงต่อช่วงอุณหภูมิในการเกิดเจลที่ในเชชัน (Tc-To)	119
ค-8	การวิเคราะห์ความแปรปรวนจากผลของระดับความชื้น อุณหภูมิ และระยะเวลาในการดัดแปลงต่อค่าพลังงานเอนทัลปีของสตาร์ซ้ำเหนี่ยว	120
ค-9	การวิเคราะห์ความแปรปรวนจากผลของระดับความชื้น อุณหภูมิ และระยะเวลาในการดัดแปลงต่อค่าอุณหภูมิเริ่มเกิดความหนืด	121
ค-10	การวิเคราะห์ความแปรปรวนจากผลของระดับความชื้น อุณหภูมิ และระยะเวลาในการดัดแปลงต่อค่าความหนืดสูงสุด	122
ค-11	การวิเคราะห์ความแปรปรวนจากผลของระดับความชื้น อุณหภูมิ และระยะเวลาในการดัดแปลงต่อค่าความหนืดลดลง	123
ค-12	การวิเคราะห์ความแปรปรวนจากผลของระดับความชื้น อุณหภูมิ และระยะเวลาในการดัดแปลงต่อค่าเซตแบค	124
ค-13	การวิเคราะห์ความแปรปรวนจากผลของระดับความชื้น อุณหภูมิ และระยะเวลาในการดัดแปลงต่อค่าความหนืดสูดท้าย	125
ค-14	การวิเคราะห์ความแปรปรวนจากผลของระดับความชื้น อุณหภูมิ และระยะเวลาในการดัดแปลงต่อค่าร้อยละการพองตัวที่อุณหภูมิ 85 องศาเซลเซียส	126
ค-15	การวิเคราะห์ความแปรปรวนจากผลของระดับความชื้น อุณหภูมิ และระยะเวลาในการดัดแปลงต่อค่าร้อยละการละลายที่อุณหภูมิ 85 องศาเซลเซียส	127
ค-16	การวิเคราะห์ความแปรปรวนจากผลของระดับความชื้น อุณหภูมิ และระยะเวลาในการดัดแปลงต่อความใส	128
ค-17	การวิเคราะห์ความแปรปรวนจากผลของระดับความชื้น อุณหภูมิ และระยะเวลาในการดัดแปลงต่อบริมาณอะไมโลส	129
ค-18	การวิเคราะห์ความแปรปรวนจากผลของระดับความชื้น อุณหภูมิ และระยะเวลาในการดัดแปลงต่อร้อยละการถูกย่อยด้วย酵นไซม์แลฟอาซ์ไมโลส	130

สารบัญภาพ

ภาพที่		หน้า
2-1	โครงสร้างของอะไมโลส	5
2-2	โครงสร้างอะไมโลเพกติน	5
2-3	ลักษณะโครงสร้างของอะไมโลเพกตินที่ประกอบด้วยสายเอ, สายบี และสายซี ...	6
2-4	รูปแบบการเลี้ยวเบนของรังสีเอกซ์ของผลึกแบบ เอ, บี และวี	8
2-5	รูปแบบการจัดเรียงตัวของผลึกในโครงสร้างแบบเอ และแบบบี	8
2-6	ขั้นตอนการเสื่อมลายของแกรนูลในการเกิดเจลาติในเชื้อของสตาร์ช.....	13
2-7	คุณสมบัติทางด้านความร้อนของสตาร์ชเมื่อวิเคราะห์ด้วยเครื่อง Differential Scanning Calorimeter (DSC)	14
2-8	ตัวอย่างกราฟที่ได้จากการวิเคราะห์ความหนืดด้วยเครื่อง Rapid Visco Analyzer	15
4-1	ลักษณะทางสัณฐานของสตาร์ชข้าวเหนียวที่ไม่ผ่านการตัดแปรที่กำลังขยาย 100, 500 และ 2000 เท่า	36
4-2	ลักษณะทางสัณฐานของสตาร์ชข้าวเหนียวที่ผ่านการตัดแปรที่สภาวะ 10-100-1 ที่กำลังขยาย 100, 500 และ 2000 เท่า.....	37
4-3	ลักษณะทางสัณฐานของสตาร์ชข้าวเหนียวที่ผ่านการตัดแปรที่สภาวะ 10-100-4 ที่กำลังขยาย 100, 500 และ 2000 เท่า.....	37
4-4	ลักษณะทางสัณฐานของสตาร์ชข้าวเหนียวที่ผ่านการตัดแปรที่สภาวะ 10-120-1 ที่กำลังขยาย 100, 500 และ 2000 เท่า.....	37
4-5	ลักษณะทางสัณฐานของสตาร์ชข้าวเหนียวที่ผ่านการตัดแปรที่สภาวะ 10-120-4 ที่กำลังขยาย 100, 500 และ 2000 เท่า.....	37
4-6	ลักษณะทางสัณฐานของสตาร์ชข้าวเหนียวที่ผ่านการตัดแปรที่สภาวะ 20-100-1 ที่กำลังขยาย 100, 500 และ 2000 เท่า.....	38
4-7	ลักษณะทางสัณฐานของสตาร์ชข้าวเหนียวที่ผ่านการตัดแปรที่สภาวะ 20-100-4 ที่กำลังขยาย 100, 500 และ 2000 เท่า.....	38
4-8	ลักษณะทางสัณฐานของสตาร์ชข้าวเหนียวที่ผ่านการตัดแปรที่สภาวะ 20-120-1 ที่กำลังขยาย 100, 500 และ 2000 เท่า.....	38
4-9	ลักษณะทางสัณฐานของสตาร์ชข้าวเหนียวที่ผ่านการตัดแปรที่สภาวะ 20-120-4 ที่กำลังขยาย 100, 500 และ 2000 เท่า.....	38

ภาพที่		หน้า
4-10	ลักษณะทางสัณฐานของสตาร์ชข้าวเหนียวที่ผ่านการดัดแปลปรีสภาวะ 30-100-1 ที่กำลังขยาย 100, 500 และ 2000 เท่า.....	39
4-11	ลักษณะทางสัณฐานของสตาร์ชข้าวเหนียวที่ผ่านการดัดแปลปรีสภาวะ 30-100-4 ที่กำลังขยาย 100, 500 และ 2000 เท่า.....	39
4-12	ลักษณะทางสัณฐานของสตาร์ชข้าวเหนียวที่ผ่านการดัดแปลปรีสภาวะ 30-120-1 ที่กำลังขยาย 100, 500 และ 2000 เท่า.....	39
4-13	ลักษณะทางสัณฐานของสตาร์ชข้าวเหนียวที่ผ่านการดัดแปลปรีสภาวะ 30-120-4 ที่กำลังขยาย 100, 500 และ 2000 เท่า.....	40
4-14	ค่าสี L* ของสตาร์ชข้าวเหนียวที่ผ่านการดัดแปลปรีระดับความชื้นร้อยละ 10, 20 และ 30 และสตาร์ชข้าวเหนียวที่ไม่ผ่านการดัดแปลปรี.....	41
4-15	ค่าสี a* ของสตาร์ชข้าวเหนียวที่ผ่านการดัดแปลปรีระดับความชื้นร้อยละ 10, 20 และ 30 และสตาร์ชข้าวเหนียวที่ไม่ผ่านการดัดแปลปรี.....	42
4-16	ค่าสี b* ของสตาร์ชข้าวเหนียวที่ผ่านการดัดแปลปรีระดับความชื้นร้อยละ 10, 20 และ 30 และสตาร์ชข้าวเหนียวที่ไม่ผ่านการดัดแปลปรี.....	42
4-17	ตัวอย่างกลไกการเกิดปฏิกิริยาไฟโรไลซิส.....	43
4-18	รูปแบบการเลี้ยวเบนของรังสีเอกซ์ของสตาร์ชข้าวเหนียวที่ผ่านการดัดแปลปรี ความชื้นร้อยละ 10 และสตาร์ชข้าวเหนียวที่ไม่ผ่านการดัดแปลปรี.....	45
4-19	รูปแบบการเลี้ยวเบนของรังสีเอกซ์ของสตาร์ชข้าวเหนียวที่ผ่านการดัดแปลปรี ความชื้นร้อยละ 20 และสตาร์ชข้าวเหนียวที่ไม่ผ่านการดัดแปลปรี.....	46
4-20	รูปแบบการเลี้ยวเบนของรังสีเอกซ์ของสตาร์ชข้าวเหนียวที่ผ่านการดัดแปลปรี ความชื้นร้อยละ 30 และสตาร์ชข้าวเหนียวที่ไม่ผ่านการดัดแปลปรี.....	46
4-21	ร้อยละความเป็นผลึกของสตาร์ชข้าวเหนียวที่ผ่านการดัดแปลปรีระดับความชื้น ร้อยละ 10, 20 และ 30 และสตาร์ชข้าวเหนียวที่ไม่ผ่านการดัดแปลปรี.....	47
4-22	แบบจำลองโครงสร้างสายโซ่ในส่วนผลึกของสตาร์ช	48
4-23	รูปแบบการเกิดเจลาทีนเซ็นจากการวิเคราะห์ด้วยเครื่อง DSC ของสตาร์ชข้าว เหนียวที่ผ่านการดัดแปลปรีระดับความชื้นร้อยละ 10 และสตาร์ชข้าวเหนียวที่ไม่ ผ่านการดัดแปลปรี	50
4-24	รูปแบบการเกิดเจลาทีนเซ็นจากการวิเคราะห์ด้วยเครื่อง DSC ของสตาร์ชข้าว เหนียวที่ผ่านการดัดแปลปรีระดับความชื้นร้อยละ 20 และสตาร์ชข้าวเหนียวที่ไม่ ผ่านการดัดแปลปรี	51

ภาคที่		หน้า
4-25	รูปแบบการเกิดเจลาทีนในเซชันจากการวิเคราะห์ด้วยเครื่อง DSC ของสตาร์ชข้าวเหนียวที่ผ่านการดัดแปลรที่ระดับความชื้นร้อยละ 30 และสตาร์ชข้าวเหนียวที่ไม่ผ่านการดัดแปลร	52
4-26	อุณหภูมิเริ่มเปลี่ยนแปลง (T_o) ของสตาร์ชข้าวเหนียวที่ผ่านการดัดแปลรที่ระดับความชื้นร้อยละ 10, 20 และ 30 และสตาร์ชข้าวเหนียวที่ไม่ผ่านการดัดแปลร	53
4-27	อุณหภูมิการดูดความร้อนสูงสุด (T_p) ของสตาร์ชข้าวเหนียวที่ผ่านการดัดแปลรที่ระดับความชื้นร้อยละ 10, 20 และ 30 และสตาร์ชข้าวเหนียวที่ไม่ผ่านการดัดแปลร	54
4-28	อุณหภูมิสุดท้าย (T_c) ของสตาร์ชข้าวเหนียวที่ผ่านการดัดแปลรที่ระดับความชื้นร้อยละ 10, 20 และ 30 และสตาร์ชข้าวเหนียวที่ไม่ผ่านการดัดแปลร	54
4-29	ช่วงอุณหภูมิในการเกิดเจลาทีนเซชัน (T_c-T_o) ของสตาร์ชข้าวเหนียวที่ผ่านการดัดแปลรที่ระดับความชื้นร้อยละ 10, 20 และ 30 และสตาร์ชข้าวเหนียวที่ไม่ผ่านการดัดแปลร	55
4-30	พลังงานเอนกัลปี (ΔH) ของสตาร์ชข้าวเหนียวที่ผ่านการดัดแปลรที่ระดับความชื้นร้อยละ 10, 20 และ 30 และสตาร์ชข้าวเหนียวที่ไม่ผ่านการดัดแปลร	56
4-31	การเปลี่ยนแปลงความหนืดของสตาร์ชข้าวเหนียวที่ไม่ผ่านการดัดแปลรที่ความชื้นร้อยละ 10 เมื่อวิเคราะห์ด้วยเครื่อง RVA.....	58
4-32	การเปลี่ยนแปลงความหนืดของสตาร์ชข้าวเหนียวที่ไม่ผ่านการดัดแปลรที่ความชื้นร้อยละ 20 เมื่อวิเคราะห์ด้วยเครื่อง RVA.....	59
4-33	การเปลี่ยนแปลงความหนืดของสตาร์ชข้าวเหนียวที่ไม่ผ่านการดัดแปลรที่ความชื้นร้อยละ 30 เมื่อวิเคราะห์ด้วยเครื่อง RVA.....	59
4-34	อุณหภูมิเริ่มเกิดความหนืด (pasting temperature) ของสตาร์ชข้าวเหนียวดัดแปลรที่ระดับความชื้นร้อยละ 10, 20 และ 30 และสตาร์ชข้าวเหนียวที่ไม่ผ่านการดัดแปลร	60
4-35	ความหนืดสูงสุด (peak viscosity) ของสตาร์ชข้าวเหนียวดัดแปลรที่ระดับความชื้นร้อยละ 10, 20 และ 30 และสตาร์ชข้าวเหนียวที่ไม่ผ่านการดัดแปลร	62
4-36	ความหนืดลดลง (breakdown) ของสตาร์ชข้าวเหนียวดัดแปลรที่ระดับความชื้นร้อยละ 10, 20 และ 30 และสตาร์ชข้าวเหนียวที่ไม่ผ่านการดัดแปลร	63
4-37	เซตแบค (setback) ของสตาร์ชข้าวเหนียวดัดแปลรที่ระดับความชื้นร้อยละ 10, 20 และ 30 และสตาร์ชข้าวเหนียวที่ไม่ผ่านการดัดแปลร	65

ภาพที่		หน้า
4-38	ร้อยละการพองตัวของสตาร์ชข้าวเหนียวดัดแปรที่ระดับความชื้นร้อยละ 10, 20 และ 30 และสตาร์ชข้าวเหนียวที่ไม่ผ่านการดัดแปร.....	67
4-39	ร้อยละการละลายของสตาร์ชข้าวเหนียวดัดแปรที่ระดับความชื้นร้อยละ 10, 20 และ 30 และสตาร์ชข้าวเหนียวที่ไม่ผ่านการดัดแปร.....	68
4-40	ความใสสตาร์ชสุกของสตาร์ชข้าวเหนียวดัดแปรที่ระดับความชื้นร้อยละ 10, 20 และ 30 และสตาร์ชข้าวเหนียวที่ไม่ผ่านการดัดแปร.....	70
4-41	ร้อยละอะไไมโลสของสตาร์ชข้าวเหนียวดัดแปรที่ระดับความชื้นร้อยละ 10, 20 และ 30 และสตาร์ชข้าวเหนียวที่ไม่ผ่านการดัดแปร.....	73
4-42	ร้อยละการถูกย่อยด้วยเอนไซม์แอลฟาระไมเลสของสตาร์ชข้าวเหนียวดัดแปรที่ความชื้นร้อยละ 10, 20 และ 30 และสตาร์ชข้าวเหนียวที่ไม่ผ่านการดัดแปร....	75
ภาพผนวกที่		หน้า
ก-1	ภาพฟามาตรฐานระหว่างปริมาณอะไไมโลส (กรัมต่อสตาร์ชข้าว 100 กรัม) กับค่าการดูดกลืนแสงที่ความยาวคลื่น 620 นาโนเมตร	92
ก-2	ลักษณะスペกตรัมที่วัดได้จากเครื่อง X-ray Diffractometer.....	93
ก-3	ภาพฟามาตรฐานระหว่างปริมาณมอลโตส (มิลลิกรัม) กับค่าการดูดกลืนแสงที่ความยาวคลื่น 540 นาโนเมตร สำหรับเทียบค่าแอกติวิตีของเอนไซม์แอลฟาระไมเลสจากดับอ่อนของสูกร	99
ก-4	ภาพฟามาตรฐานระหว่างปริมาณกลูโคส (ไมโครกรัมต่อมิลลิลิตร) กับค่าการดูดกลืนแสงที่ความยาวคลื่น 485 นาโนเมตร	101

คำอธิบายสัญลักษณ์

บทที่ 1

บทนำ

1.1 ความเป็นมาและความสำคัญของปัจจุบัน

สตาร์ชมีความสำคัญอย่างมากในอุตสาหกรรมอาหาร เนื่องจากเป็นวัตถุดิบหรือส่วนประกอบที่สำคัญในการทำให้อาหารเกิดความข้นหนืด การเกิดเจล ควบคุมความคงตัวและเนื้อสัมผัสของอาหาร สตาร์ชจึงเป็นส่วนประกอบที่สำคัญสำหรับอุตสาหกรรมการผลิตอาหาร สตาร์ชจะมีคุณสมบัติเชิงหน้าที่ที่แตกต่างกันไป ขึ้นอยู่กับชนิดของสตาร์ช และองค์ประกอบภายในสตาร์ช สตาร์ชธรรมชาติจะมีคุณสมบัติเฉพาะตัวซึ่งบางครั้งไม่เหมาะสมกับการผลิตในอุตสาหกรรม เช่น ช่วงการให้ความหนืดแบบ เกิดการคืนตัว (retrogradation) ได้ง่าย ไม่ทนต่อกรด ความร้อนหรือการกวนในการแปรรูป เป็นต้น จึงจำเป็นต้องมีการนำสตาร์ชมาปรับเปลี่ยนคุณสมบัติให้ดีขึ้นตามต้องการหรือนำไปใช้ประโยชน์ได้หลากหลายขึ้น เป็นการสร้างส่วนผสมอาหาร (food ingredients) ใหม่ๆ ให้ผู้ผลิตอาหารมีทางเลือกมากขึ้น นอกจากนี้ยังเป็นการพัฒนาผลิตภัณฑ์ข้าวซึ่งเป็นสินค้าเกษตรที่ผลิตได้มากในประเทศไทยให้มีมูลค่าเพิ่มสูงขึ้นและมีศักยภาพในการส่งออกมากขึ้น

การดัดแปรสตาร์ช (starch modification) สามารถทำได้โดยวิธีการทางเคมี เช่น การให้ความร้อน การบดลดขนาด และวิธีการทางเคมี เช่น การเชื่อมข้าม (cross-linking) การแทนที่ด้วยหมู่ทางเคมี (substitution) การย่อตัวด้วยกรด (acid-thinning) สตาร์ชดัดแปรที่ได้จะมีคุณสมบัติเฉพาะขึ้นกับชนิดของสตาร์ชวัสดิ์ วิธีการดัดแปรและระดับของการดัดแปร แต่การดัดแปรทางเคมีของสตาร์ชมีผลเสียคือ สารเคมีที่อาจตกค้างอยู่ในสตาร์ช การดัดแปรสตาร์ชด้วยความร้อนขึ้นจึงเป็นวิธีการดัดแปรทางเคมีที่มีความปลอดภัยมากกว่าการดัดแปรทางเคมี

การดัดแปรสตาร์ชด้วยการให้ความร้อนขึ้น (heat-moisture treatment) ที่อุณหภูมิสูงกว่า 100 องศาเซลเซียส และความชื้นต่ำกว่าร้อยละ 35 โดยไม่เกิดเจลาตินไซด์ จะทำให้ได้สตาร์ชดัดแปรที่มีคุณสมบัติทางด้านความร้อน ความหนืด การดูดซึมน้ำ และการพองตัวเปลี่ยนไป เช่น อุณหภูมิการเกิดเจลาตินไซด์ในเซชันอาจเพิ่มขึ้นหรือลดลงก็ได้ขึ้นอยู่กับสภาวะในการดัดแปร (Jacobs and Delcour, 1998)

การศึกษาเกี่ยวกับการดัดแปลงสตาร์ชข้าวโดยวิธีการให้ความร้อนชื้นยังมีอยู่น้อยและไม่ครอบคลุม (Jacobs and Delcour, 1998) ดังนั้นผู้ทำวิจัยจึงมีความสนใจในการศึกษาการดัดแปลงสตาร์ชข้าวด้วยวิธีการให้ความร้อนชื้น โดยใช้สตาร์ชข้าวเหนียวเป็นวัตถุดิบ

1.2 วัตถุประสงค์การวิจัย

เพื่อผลิตและตรวจสอบคุณสมบัติของสตาร์ชข้าวเหนียวที่ผ่านการดัดแปลงด้วยวิธีการให้ความร้อนชื้น โดยศึกษาผลของระดับความชื้น อุณหภูมิ และระยะเวลาในการดัดแปลงที่แตกต่างกัน

1.3 สมมติฐานการวิจัย

สภาวะในการดัดแปลงสตาร์ชข้าวเหนียวที่แตกต่างกัน คือ ความชื้น อุณหภูมิ และระยะเวลาในการให้ความร้อน มีผลต่อคุณสมบัติทางกายภาพและเคมีของสตาร์ชข้าวเหนียว

1.4 ขอบเขตการวิจัย

ผลิตและวิเคราะห์คุณสมบัติของสตาร์ชข้าวเหนียวที่ดัดแปลงด้วยวิธีการให้ความร้อนชื้น โดยใช้ระดับความชื้นร้อยละ 10 20 และ 30 อุณหภูมิ 100 และ 120 องศาเซลเซียส และระยะเวลาการให้ความร้อน 1 และ 4 ชั่วโมง

1.5 ประโยชน์ที่คาดว่าจะได้รับ

1.5.1 เกิดองค์ความรู้ใหม่เกี่ยวกับผลของสภาวะที่ใช้ในการดัดแปลงต่อคุณสมบัติของสตาร์ชข้าวเหนียวที่ดัดแปลงด้วยวิธีการให้ความร้อนชื้น

1.5.2 องค์ความรู้ที่ได้จากการวิจัยนี้ สามารถนำไปใช้พัฒนาการผลิตสตาร์ชดัดแปลงจากข้าวและพืชเศรษฐกิจอื่น ๆ ให้มีคุณสมบัติหลากหลาย โดยสามารถนำไปใช้ประโยชน์ได้อย่างเหมาะสมและกว้างขวางยิ่งขึ้น ซึ่งจะทำให้เกิดมูลค่าเพิ่มและเพิ่มศักยภาพในการส่งออก

1.5.3 องค์ความรู้ที่ได้จากการวิจัยนี้สามารถนำไปใช้ในการพัฒนาส่วนผสมอาหาร (food ingredients) ชนิดใหม่ ๆ ซึ่งจะช่วยให้ผู้ผลิตอาหารมีทางเลือกในการนำไปใช้ปรับปรุงและพัฒนาผลิตภัณฑ์มากขึ้น

บทที่ 2

เอกสารและงานวิจัยที่เกี่ยวข้อง

2.1 ข้าว

ข้าว (*Oryza sativa L.*) เป็นพืชในตระกูล禾本科ที่มนุษย์ใช้บริโภคไม่ต่ำกว่า 5,000 ปี ข้าวสามารถเจริญเติบโตในทุกที่ป่าของโลกยกเว้นที่วีปแอนตาร์กติกา ตั้งแต่ความสูงในระดับน้ำทะเลจนถึง 2,500 เมตรหรือมากกว่า ทั้งในเขตต้อนและเขตตอบอุ่น ทั้งในที่ราบลุ่มจนถึงที่สูง โดยจะปลูกกันมากในแบบที่วีปเอเชียเนื่องจากมีสภาพภูมิอากาศแบบร้อนและร้อนชื้นซึ่งเหมาะสมกับการเจริญของพืชชนิดนี้ ทวีปเอเชียสามารถผลิตข้าวได้มากถึงร้อยละ 91 ของจำนวนข้าวที่ผลิตได้ทั้งหมดในโลก โดยประเทศจีนผลิตได้ร้อยละ 31 และประเทศไทยได้ร้อยละ 20 ข้าวที่ปลูกในปัจจุบันแบ่งออกเป็นข้าวแอฟริกาและข้าวเอเชีย

ข้าวแอฟริกา (*Oryza glaberrima*) แพร่กระจายอยู่เฉพาะบริเวณเขตต้อนของแอฟริกาเท่านั้น สันนิษฐานว่าข้าวแอฟริกาอาจเกิดขึ้นครั้งแรกเมื่อประมาณ 1,500 ปีก่อนคริสตศักราช

ข้าวเอเชีย เป็นข้าวลูกผสม เกิดจาก *Oryza sativa* กับข้าวป่า มีถิ่นกำเนิดบริเวณประเทศอินเดีย บังคลาเทศ และเอเชียตะวันออกเฉียงใต้ ปลูกกันอย่างแพร่หลายตั้งแต่โบราณเดียว ตอนหนึ่งของบังคลาเทศ บริเวณดินแดนสามเหลี่ยมระหว่าง พม่า ไทย ลาว เวียดนาม และจีนตอนใต้

มนุษย์บริโภคข้าวในหลายรูปแบบ ทั้งข้าวเต็มเมล็ด แป้งข้าวและสาหร่ายข้าวซึ่งสำคัญอย่างยิ่งในการผลิตยาและผลิตภัณฑ์อาหารสัตว์ โดยแป้งข้าวและสาหร่ายข้าวมีคุณสมบัติเฉพาะตัวที่เหมาะสมสมต่อการใช้ประโยชน์ เช่น ไม่มีสารที่ทำให้เกิดอาการแพ้ ปราศจากกลูเตน และมีกลิ่นรสสดชื่น พันธุ์ข้าวแต่ละชนิดมีโครงสร้างและคุณสมบัติทางเคมีภysisทางตัวที่แตกต่างกันออกไปซึ่งเหมาะสมกับผลิตภัณฑ์อาหารที่แตกต่างกัน

แป้งข้าวและสาหร่ายข้าวเป็นส่วนประกอบสำคัญในอุตสาหกรรมอาหาร ปัจจุบันมีการใช้แป้งข้าวและสาหร่ายข้าวในอุตสาหกรรมอาหารอย่างหลากหลาย ตัวอย่างเช่น การผลิตอาหารเด็กอ่อน อาหารเช้า ขนมปังกรอบ ลูก瓜ด เส้นก๋วยเตี๋ยว ขนมปังและขนมขบเคี้ยว แป้งข้าวยังใช้เป็นส่วนประกอบในการเคลือบมันฝรั่งทอด เป็นส่วนผสมของแพนเค้กและวafเฟิล เป็นส่วนผสมของแป้งทอดเพื่อเพิ่มความกรอบและช่วยลดการดูดซึมน้ำมัน เป็นต้น โดยปัจจัยที่สำคัญในการเลือกใช้แป้งข้าวและสาหร่ายข้าวให้เหมาะสมกับอาหารแต่ละชนิดนั้นขึ้นกับปริมาณของอะไมโลสและอะไมโลเพกตินภายในข้าว ตัวอย่างเช่น การผลิตอาหารเด็กอ่อน เบบี้ร์ และ

อาหารเข้าของประเทศสหรัฐอเมริกาจะเลือกใช้พันธุ์ข้าวที่มีปริมาณอะไไมโลสต่ำ (ร้อยละ 12-20) ในการผลิตเส้นพاست้าจะใช้พันธุ์ข้าวที่มีอะไไมโลสปานกลาง (ร้อยละ 20-25) ส่วนแป้งข้าวเหนียวจะใช้เป็นสารเพิ่มความหนืดกับซอส น้ำเกรวี่ และพุดดิ้ง โดยสามารถป้องกันการเยิ้มนำของผลิตภัณฑ์อาหาร เช่น เยื่อกแข็งภายในหลังการละลายนำเข้าได้

ในผลิตภัณฑ์นมก็มีการใช้สตาร์ชข้าวเป็นส่วนประกอบ เนื่องจากแกรนูลสตาร์ชข้าวมีขนาดเล็ก และเจลของสตาร์ชข้าวมีลักษณะอ่อนนุ่มจึงนิยมใช้เป็นส่วนทดแทนไขมันในนม ไอศครีม โยเกิร์ต และน้ำผลัด เป็นส่วนประกอบที่สำคัญในผลิตภัณฑ์ไอศครีมนึ่งจากให้เนื้อสัมผัสที่เรียบเนียนจึงใช้แทนไขมันได้ นอกจากนี้สตาร์ชข้าวยังใช้ผลิตเป็นมอลโตเดกตรินซึ่งเป็นตัวพากลิ่นรสที่สำคัญในอาหารและยังช่วยลดความหวานของอาหารอีกด้วย

2.2 องค์ประกอบทางเคมีของสตาร์ชข้าว

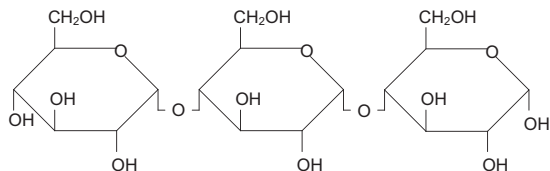
โปรดีน อะไไมโลส และอะไไมโลเพกติน เป็นส่วนประกอบหลักของแป้งข้าว ในการผลิตสตาร์ชข้าวจากแป้งข้าวจะมีการสกัดโปรดีโนอกซีนโดยปกติแล้วโปรดีโนอกซีนในข้าวมีปริมาณร้อยละ 4.5-15.9 (Kennedy และคณะ, 2003) ในอุตสาหกรรมการผลิตสตาร์ชข้าวนิยมใช้สารละลายอัลคาไลน์ในขั้นตอนการแซ่ข้าวเพื่อกำจัดโปรดีโนอกซีนเหลือเท่ากับหรือน้อยกว่าร้อยละ 0.5 การแยกสตาร์ชออกจากข้าวโดยการแซ่สารละลายอัลคาไลน์ (โซเดียมไฮดรอกไซด์ร้อยละ 0.1-0.2) จะผลิตสตาร์ชได้ปริมาณร้อยละ 73-85 (น้ำหนักแห้ง) มีโปรดีโนอกซีนเหลือปริมาณร้อยละ 0.07-0.42 (Kennedy และคณะ, 2003) สตาร์ชจะประกอบด้วยอะไไมโลส อะไไมโลเพกติน และองค์ประกอบอื่นๆ

2.2.1 อะไไมโลส

อะไไมโลสเป็นโพลิเมอร์เส้นตรงสายยาวที่ประกอบด้วยกลูโคสประมาณ 2,000 หน่วย เชื่อมต่อกันด้วยพันธะกลูโคซิดิก (glucosidic linkage) ชนิดแอลfa 1,4 (α -1,4) และมีส่วนที่เป็นกิงสาขานี้เชื่อมต่อกันด้วยพันธะกลูโคซิดิกชนิดแอลfa 1,6 (α -1,6) เล็กน้อย ในสตาร์ชข้าวเจ้ามีส่วนโพลิเมอร์เส้นตรงของอะไไมโลสประมาณร้อยละ 40-67 และส่วนที่เป็นกิงสาขាយังอะไไมโลเพกตินประมาณร้อยละ 33-60 (Juliano, 1998) อะไไมโลสมีขนาดโมเลกุลหรือระดับขั้นการเกิดโพลิเมอร์ (degree of polymerization) ประมาณ 987-1225 กลูโคสยูนิต และมีความยาวสายโซ่ประมาณ 276-430 กลูโคสยูนิต (Lii และคณะ, 1998) ซึ่งมีความแตกต่างกันไปตามชนิดของพันธุ์ข้าว สภาพแวดล้อมหรือวิธีการวิเคราะห์

อะไไมโลสประกอบด้วยวงแหวนหากเหลี่ยมของกลูโคสมาเชื่อมต่อกันเป็นสายยาวสายของอะไไมโลสมักอยู่ในรูปเกลี่ยว มีหมุ่ไฮดรอกซิลօบูที่ผิวด้านนอกของเกลี่ยว (ดังภาพที่ 2-1) ทำให้ช่องว่างด้านในเกลี่ยวมีลักษณะเป็นส่วนที่ไม่ชอบน้ำ (hydrophobic) อะไไมโลสจึง

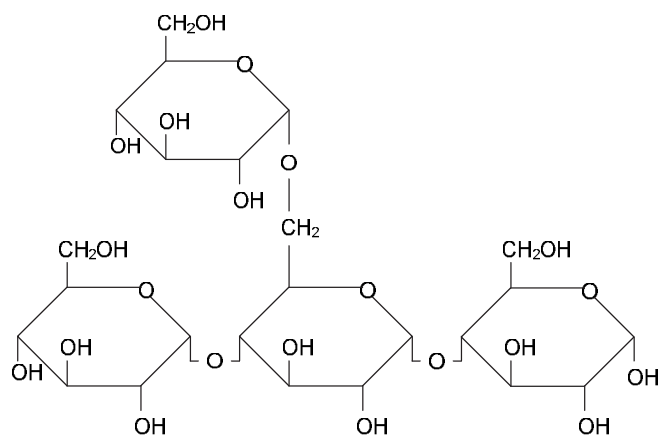
สามารถรวมตัวกับไฮโอดีนด้วยแรงวันเดอร์瓦ลล์ (van der Waals) เกิดเป็นสารประกอบเชิงซ้อนทำให้เกิดสีน้ำเงิน ซึ่งการเกิดสีน้ำเงินจะเกิดได้มากน้อยขึ้นกับความยาวของสายอะไมโลส โดยอะไมโลสที่มีความยาวมากกว่า 80 กลูโคสยูนิตจะเกิดสารประกอบเชิงซ้อนสีน้ำเงิน และสามารถดูดซับแสงที่ความยาวคลื่นสูงสุดได้มากกว่า 610 นาโนเมตร ส่วนอะไมโลสสายสั้นจะเกิดสีแดงซึ่งสามารถดูดซับความยาวคลื่นที่สั้นกว่า



ภาพที่ 2-1 โครงสร้างของอะไมโลส
ที่มา : กล้านรงค์ และคณะ (2546)

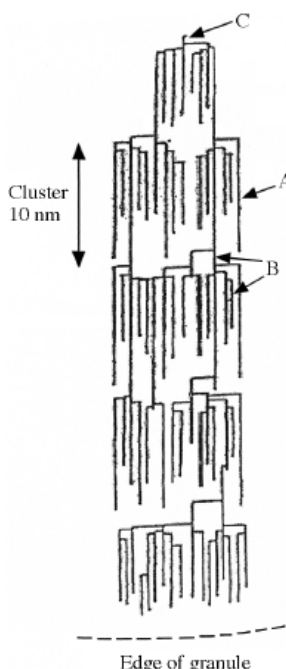
2.2.2 อะไมโลเพกติน

อะไมโลเพกตินเป็นพอลิเมอร์เชิงกิ่งของกลูโคส ส่วนที่เป็นเส้นตรงของกลูโคสเชื่อมต่อกันด้วยพันธะกลูโคซิດิกชนิดแอลฟा 1,4 (α -1,4) และส่วนที่เป็นกิ่งสาขาเป็นพอลิเมอร์สายสั้นเชื่อมต่อกันด้วยพันธะกลูโคซิດิกชนิดแอลฟ่า 1,6 (α -1,6) ดังภาพที่ 2-2



ภาพที่ 2-2 โครงสร้างอะไมโลเพกติน
ที่มา : กล้านรงค์ และคณะ (2546)

โครงสร้างของอะไมโลเพกตินมีความแตกต่างกันขึ้นกับพื้นที่เพาะปลูก จากการศึกษาของ Hizukuri (1986) พบร่วมกับโครงสร้างของอะไมโลเพกตินประกอบด้วยสายโซ่ 3 ชนิดซึ่งแตกต่างกันตามความยาวของสายโซ่ ได้แก่ สายเอ เป็นสายที่เชื่อมต่อ กับสายอื่น ตำแหน่งเดียว ไม่มีกิ่งเชื่อมต่อ สายบี (บี1-บี4) มีโครงสร้างแบบกิ่งเชื่อมต่อ กับสายเอหรือบีหนึ่งสายหรือมากกว่า และสายซี เป็นสายแกนซึ่งประกอบด้วยหมู่เรticulation 1 หมู่ ดังภาพที่ 2-3



ภาพที่ 2-3 ลักษณะโครงสร้างของอะไมโลเพกตินที่ประกอบด้วยสายเอ สายบี และสายซี
ที่มา : Eliasson (2004)

อะไมโลเพกตินของสตาร์ชข้าวมีระดับขั้นการเกิดโพลิเมอร์ (degree of polymerization) ประมาณ 2,700 - 12,000 กลูโคสยูนิต และมีจำนวนสายโซ่เฉลี่ยประมาณ 128-586 (Liu และคณะ, 1997) สตาร์ชข้าวเหนียวมีระดับขั้นการเกิดโพลิเมอร์ประมาณ 19,000 กลูโคสยูนิต (Hizukuri, 1993) โดยอะไมโลเพกตินเป็นส่วนประกอบที่สำคัญในการเกิดโครงสร้างพลีกของสตาร์ช

2.2.3 องค์ประกอบอื่นๆภายในสตาร์ชข้าว ได้แก่ ไขมัน ฟอฟอรัส และสารประกอบอื่นๆ ข้าวเจ้าจะมีไขมันอยู่ประมาณร้อยละ 0.3-0.4 ข้าวเหนียวจะมีไขมันอยู่น้อยมากประมาณร้อยละ 0.03 (Morrison และคณะ, 1984, 1987) ไขมันในสตาร์ชข้าวเจ้าประกอบด้วยไขมันอิสระร้อยละ 32 และไลโซฟอฟทิดิลคลอรีน (lysophosphatidyl choline) ร้อยละ 68

(Morrison และคณะ, 1984) ส่วนฟอสฟอรัสในสตาร์ชข้าวมีความสำคัญอย่างมากต่อคุณสมบัติของสตาร์ช เช่น ความใสของเพสต์ ความหนืด และความคงด้าของเพสต์ ฟอสฟอรัสในสตาร์ชข้าวมีอยู่ 2 รูปแบบ คือ ฟอสเฟตโมโนเอสเตอร์ และฟอสฟอลิปิด ในสตาร์ชข้าวเจ้าจะมีฟอสฟอรัสในรูปแบบของฟอสฟอลิปิดประมาณร้อยละ 0.048 (น้ำหนักแห้ง) และฟอสเฟตโมโนเอสเตอร์ร้อยละ 0.013 และในสตาร์ชข้าวเหนียวจะมีฟอสฟอรัสในรูปแบบของฟอสเฟตโมโนเอสเตอร์ร้อยละ 0.003 เพียงรูปแบบเดียว (Lim และคณะ, 1994; Jane และคณะ, 1996)

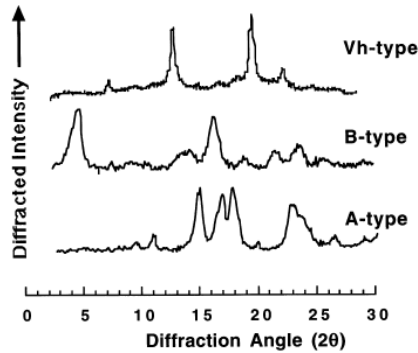
2.3 โครงสร้างและคุณสมบัติของเม็ดสตาร์ชข้าว

2.3.1 ขนาดและรูปร่างของเม็ดสตาร์ช

เม็ดสตาร์ชหรือแกรนูลของสตาร์ชข้าวมีขนาดเล็กที่สุดเมื่อเปรียบเทียบกับสตาร์ชรัฐพีชอื่นๆ โดยมีขนาดตั้งแต่ 3-8 ไมครอนซึ่งมีความแตกต่างกันขึ้นกับชนิดของพันธุ์ข้าวและแหล่งที่ปลูก จากการศึกษาของ Sodhi และคณะ (2003) พบว่าข้าวที่เจริญในประเทศไทยเดียวจะมีขนาดเม็ดสตาร์ชประมาณ 2.4-5.4 ไมครอน ส่วนสตาร์ชข้าวเหนียวมีขนาดโดยเฉลี่ยประมาณ 4.9-5.7 ไมครอน (Qi และคณะ, 2003) เม็ดสตาร์ชจะมีผิวน้ำที่เรียบและมีรูปร่างเป็นรูปหลากร伶俐 แต่สตาร์ชข้าวที่เกิดการกลایพันธุ์จะมีขนาดและรูปร่างที่แตกต่างจากสตาร์ชข้าวปกติ ด้วยอย่างเช่น สตาร์ชที่มีปริมาณอะไมโลสสูงจะมีรูปร่างทรงกลมไม่แน่นอนและเกาะกันอย่างหลวมๆภายในเซลล์เอนโดสเปอร์ม (Yano และคณะ, 1985)

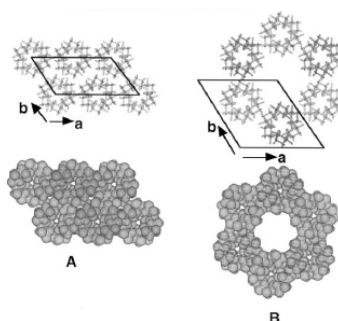
2.3.2 โครงสร้างผลึกของเม็ดสตาร์ชข้าว

สตาร์ชทั่วไปมีโครงสร้างผลึกแบ่งออกได้เป็น 4 แบบ (Katz และ Itallie, 1930) คือแบบเอ บี ซี และวี โดยแบบเอพบในสตาร์ชรัฐพีชจะให้พีคที่ 17 และ $17.9^{\circ}2\theta$ แต่ไม่มีพีคที่ 5.6 $^{\circ}2\theta$ แบบบีพบในสตาร์ชาจากพีชหัวจะให้พีคที่ตำแหน่ง 17 และ $17.9^{\circ}2\theta$ แบบซีพบในพีชตระกูลถั่ว ซึ่งเป็นลักษณะที่รวมกันของแบบเอและแบบบีจะให้พีคที่ตำแหน่ง 5.6 และ $17.9^{\circ}2\theta$ โดยส่วนกึ่งกลางของเม็ดสตาร์ชจะเป็นแบบบีและส่วนนอกสุดจะเป็นแบบเอ (Gidney, 1987; Bogracheva และคณะ, 1998; Buleon และคณะ, 1998) ส่วนแบบวีพบได้ในสตาร์ชที่มีอะไมโลสสูงบางชนิด แต่โดยทั่วไปเป็นสตาร์ชที่เกิดเจลาทีนซ์และจับกับลิปิดไว้และจะให้พีคที่ตำแหน่งในช่วง 7-8 13 19-20 และ $22-23^{\circ}2\theta$ (Buleon และคณะ, 1998) ดังภาพที่ 2-4



ภาพที่ 2-4 รูปแบบการเลี้ยงเบนของรังสีเอกซ์ของผลึกแบบเอ บี และวี
ที่มา : Buleon และคณะ (1998)

สตาร์ชข้าวจากธรรมชาติมีโครงสร้างเป็นแบบกึ่งผลึก (semi-crystalline) โดยไม่เกลูลของอะไมโลสและอะไมโลเพกตินจะจัดเรียงตัวในเม็ดแป้งเป็นโครงสร้างทั้งส่วนที่เป็นผลึก (crystalline) และส่วนอสัมฐาน (amorphous) จากการศึกษาโครงสร้างผลึกของสตาร์ชข้าวโดยใช้เครื่องเอกซ์เรย์ดิฟแฟรกลอโตมิเตอร์ พบร่วมสตาร์ชข้าวมีโครงสร้างผลึกเป็นแบบเอ โดยโครงสร้างผลึกของสตาร์ชข้าวมีแกนผลึกที่ยาวไม่เท่ากัน 3 แกน คือ แกนเอมีความยาว 2.124 นาโนเมตร แกนบีมีความยาว 1.172 นาโนเมตร แกนซีมีความยาว 1.069 นาโนเมตร และมีปริมาณนำ 8 โมเลกุลต่อหน่วยเซลล์ ซึ่งความแตกต่างของโครงสร้างผลึกในรูปแบบต่างๆนั้นขึ้นกับการจัดเรียงตัวของเกลียวคู่ในส่วนของอะไมโลสและอะไมโลเพกติน โดยพบร่วมสตาร์ชข้าวที่มีโครงสร้างผลึกแบบเอจะมีการจัดเรียงตัวของเกลียวคู่หนาแน่นมากเมื่อเปรียบเทียบกับสตาร์ชอื่นที่มีโครงสร้างผลึกแบบบี (Imbery และคณะ, 1991) ดังภาพที่ 2-5



ภาพที่ 2-5 รูปแบบการจัดเรียงตัวของผลึกในโครงสร้างแบบเอ (A) และแบบบี (B)
ที่มา : Buleon และคณะ (1998)

อะไมโลเพกตินเป็นส่วนประกอบสำคัญในการเกิดรูปแบบผลึกของสตาร์ชข้าวสตาร์ชข้าวที่มีอะไมโลเพกตินมากจะมีความเป็นผลึกมากกว่าสตาร์ชข้าวที่มีอะไมโลเพกตินน้อย เมื่อวัดความเป็นผลึก (relative crystallinity) ของสตาร์ชข้าวเหนียวด้วยเครื่องเอกซ์เรย์ดิฟเฟρεξ โตรมิเตอร์ พบว่าสตาร์ชข้าวเหนียวมีความเป็นผลึกสูงกว่าสตาร์ชข้าวเจ้า แต่ระดับความเป็นผลึกของสตาร์ชยังขึ้นกับปัจจัยหลายอย่าง ตัวอย่างเช่น ความเยาว์ของอะไมโลเพกติน, พันธุพืชและสภาพภูมิอากาศที่พืชเจริญ โดยพบว่า พืชที่มีโครงสร้างผลึกแบบเอจะชอบอากาศอบอุ่นและแห้ง ซึ่งแตกต่างจากพืชที่มีโครงสร้างผลึกแบบบีที่ชอบอากาศเย็นและชื้น และการดัดแปลงสตาร์ชข้าวยังส่งผลทำให้เกิดการเปลี่ยนแปลงโครงสร้างผลึกของสตาร์ชจากแบบเอเป็นแบบบีหรือแบบบีได์ (Eliasson, 2004)

2.3.3 การพองตัวและการละลายของสตาร์ช

สตาร์ชดิบจะไม่ละลายน้ำที่มีอุณหภูมิต่ำกว่าอุณหภูมิเจลาทีนเขซัน เนื่องจากมีพันธะไฮโดรเจนซึ่งเกิดจากหมู่ไฮดรอกซิลของโมเลกุลสตาร์ชที่อยู่ใกล้ๆ กันเชื่อมต่อกันอยู่ แต่เมื่อสตาร์ชถูกให้ความร้อนและมีน้ำปริมาณที่มากเกินพอ จะทำให้โครงสร้างผลึกถูกทำลายเนื่องจากการที่พันธะไฮโดรเจนถูกทำลาย โมเลกุลของน้ำจะรวมตัวกันกลุ่มไฮดรอกซิลของอะไมโลสและอะไมโลเพกติน ทำให้เกิดการพองตัวและการละลายของเม็ดสตาร์ชเพิ่มมากขึ้น มีการสูญเสียคุณสมบัติของการบิดระนาบแสงโพลาไรซ์ (birefringence) ปัจจัยที่มีผลต่อการพองตัวและความสามารถในการละลายของสตาร์ชคือ ชนิดของสตาร์ช ความแข็งแรงและลักษณะร่างแห่งภายในเม็ดสตาร์ช ปริมาณอะไมโลส โครงสร้างของอะไมโลสและอะไมโลเพกตินภายในเม็ดสตาร์ช และสิ่งเจือปนภายนอกในเม็ดสตาร์ชที่ไม่ใช่คาร์บอไฮเดรต เป็นต้น ตัวอย่างเช่น การเกิดสารประกอบเชิงซ้อนกับลิปิด หรือการเกิดอะไมโลสลิปิดคอมเพล็กจะทำให้ค่าการพองตัวและการละลายลดลง (Tester และ Morrison, 1990a)

Tester และคณะ (1996a) ศึกษาคุณลักษณะการพองตัวของสตาร์ชขัญพืชที่สัมพันธ์กับโครงสร้างอะไมโลเพกติน พบร่วมกับโครงสร้างอะไมโลเพกตินที่มีระดับขั้นของการเกิดโพลิเมอร์ (degree of polymerization) สูงจะส่งผลให้ค่าการละลายมีค่าลดลง เนื่องจากโมเลกุลอะไมโลเพกตินขนาดใหญ่จะมีแนวโน้มในการจับกับโมเลกุลอื่นๆ มากขึ้นทำให้ค่าการละลายมีค่าลดลง และจากการศึกษาของ Vandeputte และคณะ (2003) พบร่วมกับอะไมโลเพกติน สายสัมញนาดเล็กที่มีระดับขั้นในการเกิดโพลิเมอร์ในช่วง 6-9 จะมีค่ากำลังการพองตัวที่มากขึ้น ตรงกันข้ามกับอะไมโลเพกตินสายยาวที่มีระดับขั้นในการเกิดโพลิเมอร์ในช่วง 12-22 ที่มีค่ากำลังการพองตัวที่ลดลง และเม็ดสตาร์ชที่มีการจัดเรียงตัวของพันธะภายในอย่างแข็งแรงจะส่งผลให้ค่ากำลังการพองตัวของสตาร์ชมีค่าลดลง (Lii และคณะ, 1996)

ปริมาณอะไไมโลสก็มีผลต่อกำลังการพองตัวและการละลายของสตาร์ชข้าว Sodhi และคณะ (2003) พบว่าในข้าวที่มีปริมาณอะไไมโลสต่ำ (ร้อยละ 7.8) จะมีกำลังการพองตัวที่สูง และมีค่าการละลายที่ต่ำ ดังแสดงในตารางที่ 2-1 ซึ่งให้ผลเช่นเดียวกับ Lii และคณะ (1995) ที่พบการเปลี่ยนแปลงของค่ากำลังการพองตัวที่เพิ่มขึ้นในสตาร์ชข้าวที่มีปริมาณอะไไมโลสต่ำ เนื่องจากอะไไมโลสจะทำให้โครงสร้างร่างแทหในเม็ดสตาร์ชแข็งแรงขึ้น ทำให้เกิดการพองตัวได้ต่ำ ซึ่งกำลังการพองตัวของสตาร์ชจะลดลงเมื่อสัดส่วนของอะไไมโลสและอะไไมโลเพกติน มากกว่า 2.33 (Leloup และคณะ, 1991)

เมื่อเม็ดสตาร์ชเกิดการพองตัว ส่วนอะไไมโลสภายในเม็ดสตาร์ชจะถูกขับออกมานอก เวลาเดียวกัน การที่ไมเลกุลอะไไมโลสถูกขับออกจะรวมตัวกันเป็นโครงสร้างสามมิติ (Hennig และคณะ 1976) ซึ่งความสามารถในการละลายจะแสดงเป็นน้ำหนักของแข็งทั้งหมดในสารละลายที่สามารถละลายได้

ตารางที่ 2-1 ปริมาณอะไไมโลส ค่ากำลังการพองตัวและการละลายของสตาร์ชข้าวพันธุ์ต่างๆ

พันธุ์ข้าวไทย	ปริมาณอะไไมโลส	กำลังการพองตัว	ค่าการละลาย
	(ร้อยละ)	(กรัม/กรัม)	(ร้อยละ)
PR-106	16.1 bc	28.8 bc	0.319 b
PR-114	16.1 c	28.6 b	0.360 d
IR-8	15.6	30.1 c	0.307 b
PR-103	7.8	33.2 d	0.287 a
PR-113	18.9	26.1 a	0.346 c

หมายเหตุ : ตัวอักษรที่เหมือนกันในแนวตั้งแสดงว่าไม่มีความแตกต่างกันที่ระดับความเชื่อมั่น
ร้อยละ 95 ($P<0.05$)

ที่มา : Sodhi และคณะ (2003)

ความเป็นกรดด่างหรือค่าพีเอชก็มีผลกับการพองตัวและการละลายของสตาร์ชและสตาร์ชดัดแปร จากการทดลองของ Lawal และคณะ (2005) ที่ทำการศึกษาผลของการเปลี่ยนแปลงของค่าพีเอชต่อกำลังการพองตัวและการละลายของสตาร์ชโภกโภก โดยมีการทำการทดลองปรับพีเอชของสตาร์ชในช่วง 2-12 พบว่าสตาร์ชที่ไม่ถูกดัดแปรจะมีค่าการพองตัวและการละลายที่มากกว่าสตาร์ชที่ถูกดัดแปร และสตาร์ชทุกชนิดจะมีค่าการพองตัวดีที่สุดที่พีเอช 12 ซึ่งอาจเกิดจากการที่สตาร์ชมีค่าเป็นต่างเพิ่มขึ้นทำให้โครงสร้างของเม็ดสตาร์ชอ่อนแอลง น้ำสามารถเข้าไปจับกับพันธะภายในได้มากขึ้น ทำให้การพองตัวและการละลายมีค่ามากขึ้น ซึ่งให้ผลการทดลองเช่นเดียวกับ Adebawale และคณะ (2003) ที่ทำการศึกษาผลของการเปลี่ยนแปลงค่าพีเอชต่อกำลังการพองตัวและการละลายของสตาร์ชถ้า โดยพบว่าค่าการพองตัว

ของสตาร์ชที่ไม่ผ่านการดัดแปลงค่ามากที่สุด และเมื่อมีการปรับค่าพิเศษให้เป็นด่างมากขึ้นจะทำให้ค่าการพองตัวและการละลายเพิ่มขึ้น

ปัจจัยอื่นที่มีผลต่อการพองตัวและการละลายของสตาร์ช ได้แก่ (1) ชนิดของสตาร์ช โดยสตาร์ชจากธัญพืชมีกำลังการพองตัวและการละลาย 2 ขั้น แสดงถึงแรงของพันธะที่แตกต่างกัน 2 ชนิด คือพันธะบริเวณผลึกและพันธะบริเวณอัลตราอนของสตาร์ช (2) ความแข็งแรงและลักษณะร่างแห่งภายในเม็ดสตาร์ช คือจำนวนและชนิดของพันธะภายในเม็ดสตาร์ช โดยพบว่า เม็ดสตาร์ชเกิดการพองตัวได้มากหรือน้อย ขึ้นกับน้ำหนักโมเลกุลและรูปร่างของอะไมโลเพกติน (Tester และคณะ, 1990) (3) สิ่งเจือปนอื่นที่ไม่ใช่คาร์บอไฮเดรต เช่น ไขมันและลิปิดในการเกิดสารประกอบเชิงซ้อนกับอะไมโลสเกิดเป็นอะไมโลสลิปิดคอมเพล็กซ์จะจำกัดการพองตัวและการละลายของสตาร์ช (4) คุณสมบัติหลังการดัดแปลงสตาร์ช (5) ปริมาณน้ำที่มีอยู่ในสภาวะที่เกิดการพองตัว โดยสารละลายที่มีปริมาณสตาร์ชต่ำกว่าร้อยละ 20 ค่าการละลายจะสูงกว่าเมื่อมีสตาร์ชสูงกว่าร้อยละ 20 และสารประกอบอื่นๆ เช่น ซูโคส กลูโคส มีผลต่อการพองตัวของสตาร์ช

2.3.4 การเกิดเจลของสตาร์ช

การเกิดเจลที่ในเซ้นของสตาร์ช คือการสูญเสียความเป็นระเบียบของโมเลกุลเม็ดสตาร์ช โดยพันธะไฮโดรเจนในเม็ดสตาร์ชถูกทำลาย และโมเลกุลน้ำสามารถแทรกตัวเข้าไปและจับกับเม็ดสตาร์ช ทำให้เม็ดสตาร์ชสามารถดูดซึมน้ำได้มากขึ้น (hydration) และเกิดการพองตัวแบบผันกลับไม่ได้ (irreversible swelling) โมเลกุลสตาร์ชบางส่วนเริ่มละลายน้ำได้ (solubilization) (Slade และ Levine, 1988) ซึ่งเป็นกระบวนการที่มีการเปลี่ยนแปลงหลายอย่างเกิดขึ้น ดังนี้

1. การสูญเสียความเป็นผลึก เนื่องจากพันธะไฮโดรเจนที่ทำให้โครงสร้างเม็ดสตาร์ชมีการจัดเรียงตัวอย่างเป็นระเบียบถูกทำลาย เม็ดสตาร์ซึ่งมีความเป็นผลึกลดลง
2. การสูญเสียสมบัติการบิดระนาบแสงโพลาไรซ์ หรือไบร์ฟริงเจนซ์ (birefringence) ซึ่งลักษณะโครงสร้างที่เป็นระเบียบของเม็ดสตาร์ชดิบจะทำให้เกิดการบิดระนาบแสงโพลาไรซ์ได้ ทำให้เห็นลักษณะที่เป็นกาบบาท (maltese cross) แต่เมื่อโครงสร้างเป็นระเบียบถูกทำลาย เม็ดสตาร์จะสูญเสียสมบัติการบิดระนาบแสงโพลาไรซ์ และลักษณะกาบบาทจะหายไป
3. การเปลี่ยนแปลงลักษณะรูปร่างของเม็ดสตาร์ช ภายใต้กล้องจุลทรรศน์พบว่า รูปร่างและขนาดของเม็ดสตาร์จะเปลี่ยนไป โดยขนาดเม็ดสตาร์จะใหญ่ขึ้นและความสัมภានของเม็ดสตาร์จะลดลง
4. การพองตัวและการละลาย (swelling and leaking) ในการเกิดเจลที่ในเซ้น เมื่อพันธะไฮโดรเจนในเม็ดสตาร์ชถูกทำลาย สตาร์จะดูดซึมน้ำไว้มีผลทำให้สตาร์ชเกิดการพอง

ตัวมากขึ้น ซึ่งการพองตัวของแกرنัลสตาร์ชจะเกิดขึ้นอย่างรวดเร็วในระยะแรก (5 ถึง 10 นาที) เมื่ออุณหภูมิของเพสต์ถึงจุดที่สตาร์ชเกิดเจลาทีไนเซชันได้ และยังคงเกิดการพองตัวเมื่อให้ความร้อนอย่างต่อเนื่อง และที่อุณหภูมิสูง (ประมาณ 95 องศาเซลเซียส) การพองตัวจะเพิ่มขึ้น ไม่มากนัก ในขณะที่เม็ดสตาร์ชเกิดการพองตัว บางส่วนของโมเลกุลสตาร์ชจะละลายออกมา

5. การเปลี่ยนแปลงพลังงานและสถานะ (endothermic transition) การเกิดเจลาทีไนเซชันของสตาร์ช จะทำให้เกิดการเปลี่ยนแปลงพลังงานของสิ่งแวดล้อม โดยกระบวนการนี้ จัดเป็นกระบวนการดูดความร้อน (endothermic process)

6. การเปลี่ยนแปลงสมบัติเชิงกระแสวิทยา (rheological properties) ในขณะที่สตาร์ชเกิดการเจลาทีไนซ์ เม็ดสตาร์ชจะสามารถดูดซึมน้ำได้มากขึ้นและเกิดการพองตัว ทำให้โมเลกุลของน้ำอิสระรอบๆ เม็ดสตาร์ชเหลือน้อยลง เม็ดสตาร์ชเคลื่อนไหวได้ยากขึ้น และโมเลกุลสตาร์ชบางส่วนเริ่มละลายน้ำได้ จึงทำให้ส่วนผสมของเพสต์มีความหนืดเพิ่มขึ้น

การเกิดเจลาทีไนเซชันเป็นผลมาจากการแตกของพันธะไฮโดรเจนระหว่างโมเลกุลของสตาร์ช กลไกการเกิดเจลาทีไนเซชันมี 2 ขั้นตอน (Eliasson, 2004)

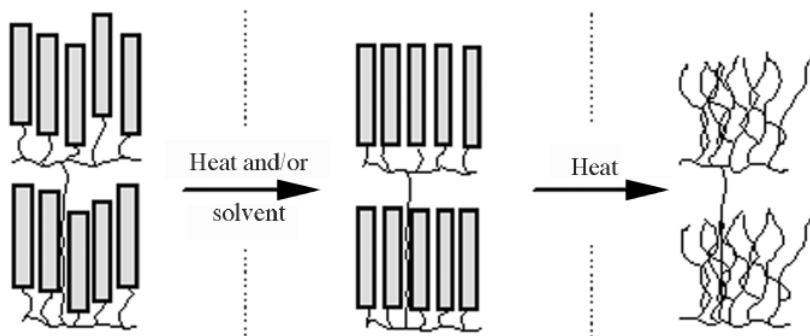
ขั้นตอนที่ 1 การกระจายของน้ำเข้าสู่เม็ดสตาร์ช

เมื่อนำเม็ดสตาร์ชมากระจายตัวในน้ำเย็น เม็ดสตาร์ชจะดูดน้ำและพองตัวแบบผันกลับ และยังคงรักษาปริ่งและโครงสร้างแบบไบร์ฟรินเจนซ์ได้ การเกิดพันธะไฮโดรเจนในสตาร์ชจะเกิดขึ้นที่ออกซิเจนตำแหน่งที่ 6 (O-6) ของอะไมโลสและหมุ่ไฮดรอกซิล (-OH) ตำแหน่งที่ 2 ของอะไมโลเพกติน

ขั้นตอนที่ 2 การพองตัวและการหลอมเหลว

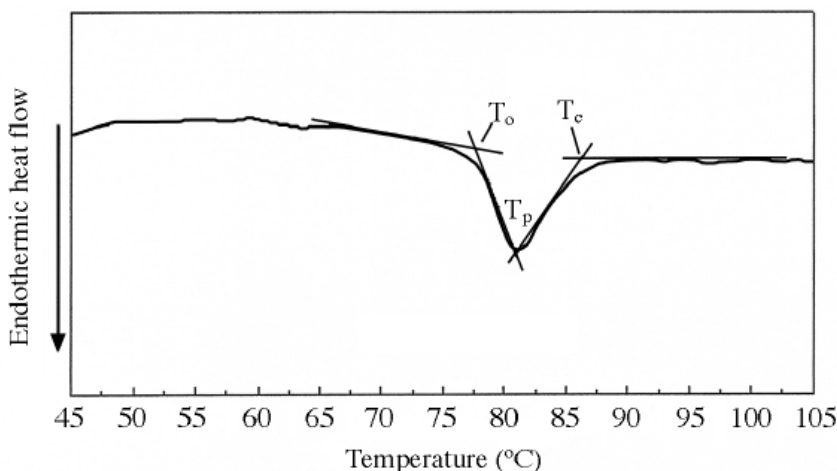
เมื่อนำสารเข้าวนลอยสตาร์ชที่มีปริมาณน้ำมากพอ (ความชื้นประมาณร้อยละ 70) มาให้ความร้อน ผลึกของเม็ดสตาร์ชที่จับกันด้วยพันธะไฮโดรเจนจะถูกทำลาย โดยมีน้ำเข้าไปในช่องว่างของเม็ดสตาร์ชและจับกับหมุ่ไฮดรอกซิลของสตาร์ชทำให้เม็ดสตาร์ชพองตัว ในระหว่างการให้ความร้อนจะเกิดการเปลี่ยนสถานะบริเวณผลึกและบริเวณอสัณฐาน ระบบจะดูดความร้อน (endothermic process) เพื่อทำให้บริเวณอสัณฐานเปลี่ยนสภาพจากของแข็งคล้ายแก้ว (glassy state) ไปเป็นของแข็งคล้ายยาง (rubbery state) หรือเรียกว่าการเกิดกลาสทรานซิชัน (glass transition) โดยมีน้ำและความร้อนที่มีคุณสมบัติในการเป็นพลาสติกเซอร์ ทำให้ระบบมีความหนืดลดลง เมื่ออุณหภูมิเพิ่มสูงขึ้นระบบจะดูดความร้อนครั้งที่สอง ทำให้บริเวณผลึกเปลี่ยนสถานะจากของแข็งไปเป็นของเหลว การเปลี่ยนแปลงที่อุณหภูมิหลอมเหลวที่เป็นการเปลี่ยนแปลงอันดับหนึ่ง (first-order transition) ในช่วงนี้เม็ดสตาร์ชแตกออก อะไมโลสซึ่งละลายน้ำได้จะออกจากเม็ดสตาร์ชเข้าไปในสารละลาย ส่วนอะไมโลเพกตินซึ่งจับกันแน่นจะเกิดเป็นเจล ปรากฏการณ์นี้เรียกว่า “การเกิดเจลาทีไนเซชัน” และอุณหภูมิที่ทำให้เกิดปรากฏการณ์ดังกล่าวเรียกว่า “อุณหภูมิเจลาทีไนเซชัน” การเปลี่ยนแปลงภายในเม็ดสตาร์ชระหว่างการเกิด

เจลาทีไนเซชันแสดงในภาพที่ 2-6 โดยเม็ดสตาร์ซจะถูกทำลายจากผลของการร้อนและ/หรือตัวทำละลายบางชนิด ทำให้เกิดการคลายเกลียวของเกลียวคู่ (Eliasson, 2004)



ภาพที่ 2-6 ขั้นตอนการเปลี่ยนแปลงโครงสร้างของเม็ดสตาร์ซในการเกิดเจลาทีไนเซชัน
ที่มา : Eliasson (2004)

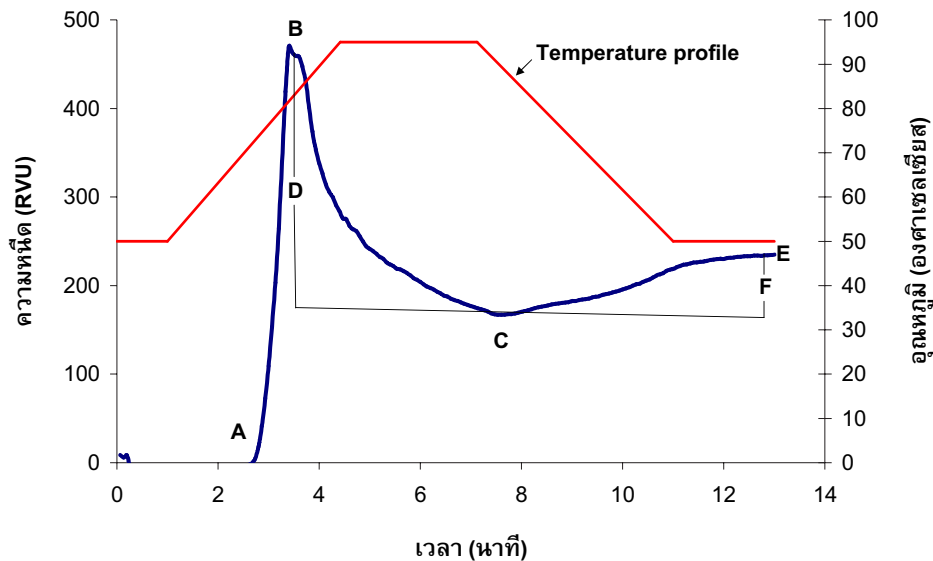
การตรวจสอบกระบวนการเกิดเจลาทีไนเซชัน นอกจากการใช้การสังเกตการเปลี่ยนคุณสมบัติการบิดระนาบแสงโพลาไรซ์ภายใต้กล้องจุลทรรศน์แล้ว ยังสามารถตรวจสอบโดยเครื่องมือที่วัดและบันทึกปริมาณความร้อนที่เปลี่ยนแปลงระหว่างกระบวนการ เครื่องมือที่นิยมในปัจจุบันนี้คือเครื่อง Differential Scanning Calorimeter (DSC) ซึ่งเป็นเครื่องมือที่ใช้วัดคุณลักษณะทางด้านความร้อนของสตาร์ซ การเกิดเจลาทีไนเซชันและการเกิดรีโกรเดชันเป็นคุณลักษณะทางด้านความร้อนที่สำคัญของสตาร์ซ ผลของ DSC จะสามารถวัดปริมาณการเกิดเจลาทีไนเซชัน (Stevens และคณะ, 1971, Biliaderis และคณะ, 1980, Nakazawa และคณะ, 1984, Krueger และคณะ, 1987) และรีโกรเดชัน (Atwell และคณะ, 1988, Yuan และคณะ, 1993) ซึ่งสังเกตได้จากการฟูโนไดเทอร์มที่ให้ผลค่า อุณหภูมิเริ่มเปลี่ยนแปลง (onset temperature; T_0) อุณหภูมิสูงสุด (peak temperature; T_p) อุณหภูมิสุดท้าย (conclusion temperature; T_c) และエネกาลปี (ΔH) ดังแสดงในภาพที่ 2-7



ภาพที่ 2-7 คุณสมบัติทางด้านความร้อนของสตาร์ชเมื่อวิเคราะห์ด้วยเครื่อง Differential Scanning Calorimetry (DSC) โดย T_o : อุณหภูมิเริ่มเปลี่ยนแปลง, T_p : อุณหภูมิสูงสุด และ T_c : อุณหภูมิสุดท้าย

ที่มา : Eliasson (2004)

การวัดการเปลี่ยนแปลงสมบัติด้านกระแสวิถยา (rheological properties) ของสตาร์ช เป็นการวัดคุณสมบัติทางด้านความหนืดในระหว่างการพองตัวและการเกิดเจลที่ในเชิงของสตาร์ชซึ่งสามารถวิเคราะห์ด้วยเครื่องบราเบนเดอร์ (brabender Visco Amylograph) และเครื่อง Rapid Visco Analyzer (RVA) โดยเครื่องจะระบุค่าของอุณหภูมิในช่วงการเกิดเจลที่ในเชิงต่างๆ ดังภาพที่ 2-8 ในช่วงริมตันสารแควร์แลอยสตาร์ชจะมีความหนืดเพิ่มขึ้นอย่างรวดเร็วเมื่อมีการเพิ่มอุณหภูมิ สตาร์ชจะเกิดการพองตัวอย่างเต็มที่จนสตาร์ชมีความหนืดสูงสุด (peak viscosity) จากนั้นความหนืดจะลดลงเมื่อเม็ดสตาร์ชที่พองตัวเกิดการแตกออกจากการกวนด้วยเครื่อง RVA เม็ดสตาร์ชที่เกิดการแตกสลายจะส่งผลให้ความหนืดของสตาร์ชมีค่าลดลงจนถึงความหนืดต่ำสุด (through) และเมื่อสตาร์ชถูกทำให้เย็นลง โมเลกุลสตาร์ชบางส่วนจะสามารถรวมตัวกันอีกรังหนึ่งเกิดเป็นเจล เรียกว่าการเกิดรีไทร์เกรเดชันซึ่งเป็นผลมาจากการโมเลกุลอะไมโลสที่รวมตัวกันโดยความสามารถในการเกิดรีไทร์เกรเดชันของสตาร์ชทราบได้จากค่า เชคแบค (setback)



ภาพที่ 2-8 ตัวอย่างกราฟที่ได้จากการวิเคราะห์ความหนืดด้วยเครื่อง Rapid Visco Analyzer (RVA) โดย A= อุณหภูมิเริ่มเกิดความหนืด (pasting temperature), B=ความหนืดสูงสุด (peak viscosity), C=ความหนืดต่ำสุด (Though), D=ความหนืดลดลงหรือความแตกต่างระหว่างความหนืดสูงสุดและความหนืดต่ำสุด (breakdown), E=ผลต่างระหว่างความหนืดสุดท้ายกับความหนืดต่ำสุด (setback) และ F=ความหนืดสุดท้าย (final viscosity)

คุณสมบัติทางด้านความหนืดของสตาร์ชข้าวขึ้นกับปัจจัยต่างๆ เช่น ชนิดของพันธุ์ข้าว สภาพแวดล้อมในการปลูก โครงสร้างอะไมโลเพกตินภายในเม็ดสตาร์ช ปริมาณอะไมโลส และอะไมโลเพกตินภายในเม็ดสตาร์ช และระดับขั้นการเกิดพอลิเมอร์ของสตาร์ชข้าว เป็นต้น Han และคณะ (2001) ได้ศึกษาการเปลี่ยนแปลงคุณสมบัติทางด้านความหนืดของสตาร์ชข้าว ก้าว 10 พันธุ์ที่มีปริมาณอะไมโลสใกล้เคียงกัน พบว่าสตาร์ชข้าวที่มีระดับขั้นการเกิดพอลิเมอร์ที่มากกว่า 100 จะให้ค่าความหนืดต่ำสุด (breakdown) ที่แตกต่างจากสตาร์ชข้าวที่มีสายของอะไมโลเพกตินที่สั้นซึ่งมีระดับขั้นการเกิดพอลิเมอร์ประมาณ 17 ซึ่งแตกต่างจากผลการศึกษาของ Vandepitte และคณะ (2003) ที่เมื่อพับความแตกต่างของความหนืดสูงสุด ความหนืดลดลง และความหนืดสุดท้ายในสตาร์ชข้าวเหนียว 5 พันธุ์และสตาร์ชข้าวเจ้า 10 พันธุ์ที่มีความยาวของสายอะไมโลเพกตินที่แตกต่างกัน นอกเหนือคุณสมบัติทางด้านความหนืดของสตาร์ชยังขึ้นกับปริมาณของโปรตีนและไขมันที่ถูกกำจัดออกไปในกระบวนการผลิตสตาร์ช โดย Singh และคณะ (2000) และ Fitzgerald และคณะ (2003) ได้ศึกษาคุณสมบัติทางด้านความหนืดของสตาร์ชก่อนและหลังการกำจัดโปรตีนและไขมันออก พบว่าโปรตีนเป็นส่วนประกอบที่สำคัญที่ทำ

ให้สตาร์ชเกิดการเปลี่ยนแปลงทางด้านความหนืด โดยโปรดีนส่งผลให้ค่าความหนืดสูงสุดของสตาร์ชมีค่าลดลง และการศึกษาของ Wang และคณะ (2002) ที่ศึกษาการเปลี่ยนแปลงคุณสมบัติทางด้านความหนืดของสตาร์ชข้าวจากข้าวเต้มเมล็ด ข้าวหัก และข้าวเหลืองเปรียบเทียบกับแป้งข้าวจากข้าวเต้มเมล็ด ข้าวหัก และข้าวเหลือง พบร่วมแป้งข้าวและสตาร์ชข้าวมีอุณหภูมิในการเกิดเจลาทีนในเซซันเหมือนกัน แต่แป้งข้าวจากข้าวเหลืองจะมีอุณหภูมิในการเกิดเจลาทีนในเซซันที่สูงกว่า มีค่าความหนืดต่ำสุดน้อยกว่า และมีค่าความหนืดต่ำสุดและความหนืดสุดท้ายที่สูงกว่าอย่างมีนัยสำคัญทางสถิติ

2.3.5 การเกิดรีโตรเกรเดชันของสตาร์ช

การเกิดรีโตรเกรเดชันเป็นปรากฏการณ์ที่เกิดขึ้นเมื่อน้ำแป้งสุกที่ร้อนถูกทำให้เย็นลงที่อุณหภูมิต่ำกว่าจุดหลอมเหลวของสตาร์ช โดยขณะที่อุณหภูมิลดลง โมเลกุลอะโนะไมโลสซึ่งอยู่ใกล้กันจะเคลื่อนที่เข้าหากันและจับกันด้วยพันธะไฮโดรเจนทำให้เกิดการจัดเรียงตัวของโมเลกุลขึ้นมาใหม่ทั้งในส่วนของอะโนโลสและอะโนโลเพกตินซึ่งส่งผลทำให้สตาร์ชเกิดความหนืดเพิ่มสูงขึ้นและเจลเมื่อความเย็นแรงมากขึ้น

การเกิดรีโตรเกรเดชันของสตาร์ชโดยทั่วไปจะเกิดได้เมื่อน้ำแป้งมีความเย็นขึ้นสูงและทิ้งไว้ให้เย็นที่อุณหภูมิต่ำ สтар์ชแต่ละชนิดมีอัตราการเกิดรีโตรเกรเดชันต่างกัน โดยทั่วไปสตาร์ชจากพืชหัวและรากจะมีอัตราการเกิดรีโตรเกรเดชันได้ช้ากว่าสตาร์ชจากธัญพืช เนื่องจากสตาร์ชจากพืชหัวและรากเมื่อได้รับความร้อนจะพองตัวมากและเร็ว เม็ดแป้งแตกง่ายทำให้โมเลกุลสตาร์ซหักหมัดกระจายอยู่ทั่วไปในน้ำแป้ง โมเลกุลอะโนโลสซึ่งเกิดการรวมตัวกันใหม่ได้ยาก แต่สตาร์ชจากธัญพืชเมื่อได้รับความร้อนจะเกิดการพองตัวน้อยกว่า เม็ดแป้งแตกน้อยโมเลกุลที่เกิดการแยกตัวกันออกยังอยู่ใกล้ชิดกันทำให้เกิดการรวมตัวกันใหม่ได่ง่ายกว่า ซึ่งอาจจับตัวกันระหว่างการพองตัวของสตาร์ซซึ่งอยู่ใกล้กันหรือระหว่างชิ้นส่วนของโมเลกุลอะโนโลส อิสระที่หลุดออกจาก ทำให้เกิดการรวมตัวกันเป็นโครงร่างตาข่ายซึ่งจับกันด้วยพันธะไฮโดรเจนและสามารถกักเก็บน้ำไว้ได้ (Karim และคณะ, 2000)

การเกิดรีโตรเกรเดชันของสตาร์ชเกิดจากการรวมตัวกันของเกลียวคู่ของอะโนโลสและอะโนโลเพกตินที่เป็นส่วนผลึกของสตาร์ช การเกิดรีโตรเกรเดชันจะสัมพันธ์กับการสูญเสียโครงสร้างของอะโนโลส การเกิดการรวมตัวกันใหม่ของอะโนโลส และการรวมตัวกันของชิ้นส่วนเล็กๆ ของอะโนโลส การเกิดรีโตรเกรเดชันของอะโนโลสจะเกิดขึ้นได้อย่างรวดเร็ว (น้อยกว่า 1 วัน) (Zhou และคณะ, 2002) ส่วนการเกิดรีโตรเกรเดชันของอะโนโลเพกตินจะมีอัตราการเกิดได้ช้ากว่าอะโนโลส ซึ่งอาจใช้เวลานานหลายสัปดาห์ (Lii และคณะ, 1998; Zhou และคณะ, 2002) เนื่องจากโมเลกุลอะโนโลเพกตินมีกิ่งก้านสาขามากทำให้เป็นอุปสรรคในการเคลื่อนที่เข้ามาจับกันใหม่ได้

2.3.6 ความใสของสตาร์ชสูก

ความใสของสตาร์ชสูกเป็นคุณสมบัติที่สำคัญมากของสตาร์ชในการนำไปใช้ประโยชน์ในอุตสาหกรรมอาหารหลายชนิด เช่น ในอาหารจำพวกไส้ข้นมต้องการสตาร์ชสูกที่มีคุณสมบัติโปร่งแสง แต่ในน้ำผลัดต้องการสตาร์ชสูกที่มีคุณสมบัติทึบแสง ซึ่งความใสของสตาร์ชสูกขึ้นกับการจัดเรียงตัวกันในโมเลกุลในเม็ดสตาร์ช และความเป็นเนื้อเดียวกันของเม็ดสตาร์ชที่พองตัว (Schoch, 1942)

ความใสของสตาร์ชแตกต่างกันขึ้นกับชนิดของสตาร์ช ขนาดเม็ดสตาร์ช และปริมาณอะไมโลสในสตาร์ช Sodhi และคณะ (2003) พบว่าความใสของสตาร์ชขึ้นกับระยะเวลาในการเก็บของสตาร์ชสูก โดยสตาร์ชสูกที่มีระยะเวลาการเก็บที่นานกว่าจะมีความใสน้อยกว่า สตาร์ชสูกที่มีระยะเวลาการเก็บสั้นกว่า ซึ่งเป็นผลมาจากการเก็บรักษาที่นานทำให้เกิดการละลายของอะไมโลส และสายโซ่ของอะไมโลเพกตินเกิดการรวมตัวกันทำให้เกิดบริเวณที่โมเลกุลรวมตัวกันหรือ junction zone ซึ่งเป็นส่วนที่ทำให้เกิดการหักเหของแสง (Perera และคณะ, 1999) นอกจากนี้ความใสของสตาร์ชสูกยังเกิดจากฟอสเฟตโมโนเอสเทอร์และปริมาณของฟอสโฟลิปิดภายในสตาร์ช (Jane และคณะ, 1996) โดยฟอสเฟตโมโนเอสเทอร์จะทำให้สตาร์ชมีความใสเพิ่มมากขึ้นเมื่อมีการเติมฟอสโฟลิปิดเข้าไป (Kasemsuwan และคณะ, 1996) การวิเคราะห์ความใสของสตาร์ชทำได้โดยการวัดการส่องผ่านของแสงที่ความยาวคลื่นต่างๆ กัน (Kerr และคณะ, 1962; Mellies และคณะ, 1961; Hoover และคณะ, 1981; Maningat, 1986)

2.4 การดัดแปลงสตาร์ชด้วยวิธีการให้ความร้อนชื้น

การดัดแปลงสตาร์ชด้วยวิธีการให้ความร้อนชื้นเป็นการดัดแปลงสตาร์ชทางกายภาพโดยใช้วิธีการหมาย喻อย่างร่วมกัน เช่น อุณหภูมิ ความดัน แรงเนื้อ และความชื้นกับสตาร์ช การดัดแปลงสตาร์ชด้วยวิธีการให้ความร้อนชื้นเป็นการปรับปรุงคุณสมบัติทางกายภาพของสตาร์ชโดยไม่ทำลายโครงสร้างของเม็ดสตาร์ช โดยกระบวนการจะมีการปั่นสตาร์ชในสภาวะที่มีน้ำพอตีหรือมากเกินพอ และมีการให้ความร้อนที่อุณหภูมิสูงกว่าอุณหภูมิในการเกิดกลาสทรานซิชันแต่ต่ำกว่าอุณหภูมิในการเกิดเจลของสตาร์ช (Jacob และคณะ, 1998) โดยการดัดแปลงด้วยวิธีการให้ความร้อนชื้นนั้นทำได้หลายวิธี เช่น

1. การให้ความร้อนโดยการใช้ห้องน้ำเชื้อความดันสูง (autoclave) จากการวิจัยของ Lim และคณะ (2001) ที่ศึกษาการดัดแปลงสตาร์ชมันฝรั่งและข้าวโพด และของพินกิพย์ (2547) ในการศึกษาการดัดแปลงสตาร์ชข้าวเจ้าและข้าวเหนียว
2. การให้ความร้อนโดยการใช้ตู้อบลมร้อน (hot-air oven) จากการวิจัยของ Adebowale และ Lawal (2003) ในการศึกษาการดัดแปลงสตาร์ชแป้งถั่ว และของ Hoover และ Manuel (1996) ในการศึกษาการดัดแปลงสตาร์ชแป้งข้าวโพดสายพันธุ์ต่างๆ และในแป้งมันฝรั่ง

3. การให้ความร้อนโดยการใช้มีโครเวฟจากการวิจัยของ Anderson และ Guraya (2006)

การศึกษาการดัดแปลงสตาร์ชข้าวเจ้าและข้าวเหนียว ซึ่งความชื้นที่ใช้ในการศึกษาอยู่ในช่วง 18-30% อุณหภูมิในช่วง 100-120 องศาเซลเซียส และเวลา 30 นาทีถึง 16 ชั่วโมง ซึ่งวิธีการให้ความร้อนในการดัดแปลงที่แตกต่างกัน มีผลต่อการเปลี่ยนแปลงทางกายภาพของเม็ดสตาร์ชคือการเปลี่ยนแปลงรูปร่างของเม็ดสตาร์ช พบว่า การให้ความร้อนด้วยตู้อบลมร้อนไม่พบการเปลี่ยนแปลงของขนาดและรูปร่างหรือลักษณะผิวหน้าของเม็ดสตาร์ชมันฝรั่ง มันสำปะหลัง มันเทศ เพื่อก ข้าวโพด และข้าวสาลี (Kulp และ Lorenz, 1981; Hoover และ Manuel, 1996; Perera และคณะ, 1997 และ Gunaratne และ Hoover, 1996) แต่พบการเปลี่ยนแปลงของเม็ดสตาร์ชมันฝรั่งโดยพบรอยแตกบริเวณผิวหน้าของเม็ดสตาร์ช และมีการยุบตัวที่บริเวณกึ่งกลางเม็ดสตาร์ชข้าวโพดเมื่อให้ความร้อนโดยการใช้หม้อนึ่งฆ่าเชื้อ (retort sterilizer) (Maruta และคณะ, 1994) แต่ไม่พบการเปลี่ยนแปลงของสตาร์ชข้าวเจ้าและสตาร์ชข้าวเหนียวหลังการดัดแปลงด้วยความร้อนซึ่นในการให้ความร้อนโดยไม่มีโครเวฟ พบรการเปลี่ยนแปลงของสตาร์ชแกรนูลเพียงเล็กน้อยเนื่องจากการรวมตัวกันบริเวณผิวหน้าเป็นกลุ่มก้อนที่ใหญ่ขึ้น (Anderson และ Guraya, 2006)

จากการดัดแปลงด้วยวิธีการให้ความร้อนซึ่นของสตาร์ชข้าวพบว่า อุณหภูมิในการเกิดเจลاتิกในเชื้นของสตาร์ชเพิ่มขึ้น และค่าการละลายลดลง (Lu และคณะ, 1996, Kim และคณะ, 1990) และมีการเปลี่ยนแปลงของพลังงานเอนthalpy (Lu และคณะ, 1996)

Kim และคณะ (1990) พบรการดัดแปลงสตาร์ชข้าวด้วยวิธีการให้ความร้อนซึ่น มีผลทำให้สตาร์ชข้าวเจ้ามีกำลังการพองตัวที่ลดลง ซึ่งสอดคล้องกับผลการศึกษาของ Lu และคณะ (1994) ที่พบการเปลี่ยนแปลงของค่ากำลังการพองตัวและความหนืดของสตาร์ชลดลงในสตาร์ชข้าวเจ้า ส่วนสตาร์ชข้าวเหนียวให้ผลในทางกลับกัน

Hoover และ Manuel (1996), Hoover และคณะ (1993) และ Hoover และ Vasanthan (1994) ได้ทำการศึกษาการดัดแปลงด้วยความร้อนซึ่นกับสตาร์ชหลายชนิด พบรการดัดแปลงด้วยความร้อนซึ่นทำให้เกิดการเปลี่ยนแปลงทั้งในส่วนของผลึกและส่วนอสัณฐานภายในเม็ดสตาร์ช โดยความร้อนหรือความชื้นที่มากพอในการดัดแปลงด้วยความร้อนซึ่นมีผลทำให้ผลึกลดลง (Takaya และคณะ, 2000) และพบว่าการดัดแปลงด้วยความร้อนซึ่นทำให้สตาร์ชาจากพืชหัวเกิดการเปลี่ยนรูปแบบของโครงสร้างผลึกซึ่งมีโครงสร้างผลึกเป็นแบบ B ให้เป็นแบบ A ได้ (Kawabata และคณะ, 1982) ซึ่งสอดคล้องกับการทดลองของ Gunaratne และ Hoover (2001) ที่พบการเปลี่ยนแปลงโครงสร้างผลึกของแป้งมันสำปะหลังและแป้งมันฝรั่งที่ดัดแปลงด้วยความร้อนซึ่นจากแบบ B เป็นแบบ A+B ได้ และจากการศึกษาการดัดแปลงด้วยความร้อนซึ่นในแป้งข้าวเจ้าและแป้งข้าวเหนียว (พินทิพย์, 2547) พบรการดับความเป็นผลึกลดลง

การดัดแปลงสตาร์ชด้วยความร้อนชื้นมีผลต่อการเกิดเจลาทีไนเซชันของสตาร์ช ซึ่งพบว่า การดัดแปลงสตาร์ชด้วยความร้อนชื้นทำให้ค่า T_o (onset temperature), T_p (peak temperature) และ T_c (conclusion temperature) ของการเจลาทีไนเซชันมีค่าสูงขึ้นในสตาร์ชข้าวสาลี มันฝรั่ง มันเทศ มันสำปะหลัง ข้าวโพด ถ้า เปือก รวมทั้งแป้งข้าวเจ้าและแป้งข้าวเหนียว และช่วงกว้าง ของอุณหภูมิในการเกิดเจลาทีไนเซชัน (T_c-T_p) เพิ่มสูงขึ้น (Donovan และคณะ, 1983; Stute, 1992; Hoover และ Manuel, 1996; Lu และคณะ, 1996; Perera และคณะ, 1997; Collado และ Corke, 1999; Takaya และคณะ, 2000; Lai, 2001; Lim และคณะ, 2001; Miyoshi, 2002; Gunaratne และ Hoover, 2002) ซึ่งการเปลี่ยนแปลงของ transition temperature ที่ สูงขึ้น สอดคล้องกับผลต่อคุณสมบัติทางด้านความหนืดของสตาร์ชซึ่งพบว่า การดัดแปลงด้วย ความร้อนชื้นทำให้เกิดการเปลี่ยนแปลงของอุณหภูมิที่เริ่มเกิดเจลาทีไนเซชันมีค่าสูงขึ้นและ ความหนืดสูงสุดมีค่าลดลงในสตาร์ชข้าวโพดและสตาร์ชมันฝรั่ง (Miyoshi, 2002) และจากการ ดัดแปลงสตาร์ชด้วยความร้อนชื้นยังมีผลทำให้ความสามารถในการพองตัวในสตาร์ชมันฝรั่งลดลง ด้วย (Stute, 1992)

ความคงทนต่อการย่อยด้วยเอนไซม์ของสตาร์ชเกิดการเปลี่ยนแปลงเนื่องจากการดัดแปลง ด้วยความร้อนชื้น กล่าวคือ ความคงทนต่อการย่อยโดยเอนไซม์มีค่าเพิ่มขึ้นในสตาร์ชมันฝรั่ง มันสำปะหลัง เปือก ข้าวโพด และสตาร์ชข้าวเจ้าและสตาร์ชข้าวเหนียว (Hoover และ Gaunaratne, 2002; Hoover และ Manuel, 1996; Anderson และ Guraya, 2006) ซึ่งมี ประโยชน์ในด้านโภชนาการ โดยทำให้ระบบการย่อยและการดูดซึมช้าลง ช่วยลดการเพิ่มขึ้น ของระดับน้ำตาลในเลือดหลังจากทานอาหารผู้ป่วยที่เป็นโรคเบาหวานและโรคอ้วน (Anderson, 2002, Guraya และคณะ, 2002)

2.5 ผลของการดัดแปลงสตาร์ชด้วยความร้อนชื้นต่อลักษณะของสตาร์ช

2.5.1 ผลของการดัดแปลงสตาร์ชด้วยวิธีการให้ความร้อนชื้นต่อลักษณะสัณฐานของเม็ด สตาร์ช

Anderson และคณะ (2006) ศึกษาการเปลี่ยนแปลงขนาดและรูปร่างของสตาร์ช ข้าวจ้าวและสตาร์ชข้าวเหนียวที่ผ่านการดัดแปลงด้วยวิธีการให้ความร้อนชื้นด้วยไมโครเวฟ พบว่า การดัดแปลงสตาร์ชด้วยวิธีการให้ความร้อนชื้นโดยไมโครเวฟไม่มีผลทำให้เกิดการ เปลี่ยนแปลงของเม็ดสตาร์ชทั้งสองชนิด แต่การดัดแปลงทำให้เม็ดสตาร์ชเกิดการรวมตัวกันมาก กว่าเดิม ซึ่งให้ผลเช่นเดียวกับ พินทิพย์ (2547) ที่ไม่พบการเปลี่ยนแปลงขนาดและรูปร่างของ เม็ดสตาร์ชในแป้งข้าวจ้าวและแป้งข้าวเหนียวที่ผ่านการดัดแปลงด้วยวิธีการให้ความร้อนชื้น แต่ พบว่าเม็ดสตาร์ชในแป้งข้าวทั้งสองชนิดที่ผ่านการดัดแปลงมีการรวมตัวกันเป็นกลุ่มก้อนมาก กว่าเดิม ซึ่งเกิดจากแป้งบางส่วนเกิดเจลาทีไนเซชันในระหว่างการดัดแปลง

Hoover และคณะ (1996) ศึกษาการเปลี่ยนแปลงขนาดและรูปร่างของสตาร์ชข้าวโพด สตาร์ชข้าวโพดข้าวเหนียว และสตาร์ชข้าวโพดอะไมโลสูง ที่ผ่านการดัดแปรด้วยวิธีการให้ความร้อนซึ่นด้วยตู้อบลมร้อนที่อุณหภูมิ 100 องศาเซลเซียส ระยะเวลาการให้ความร้อน 16 ชั่วโมง โดยมีการปรับความชื้นให้เป็นร้อยละ 30 พบว่า การดัดแปรสตาร์ชไม่มีผลทำให้เกิดการเปลี่ยนแปลงของขนาดหรือรูปร่างของเม็ดสตาร์ช ซึ่งให้ผลเช่นเดียวกับ Sair (1967) ที่ทำการศึกษาการเปลี่ยนแปลงขนาดและรูปร่างของเม็ดสตาร์ชข้าวโพดที่ผ่านการดัดแปรด้วยวิธีการให้ความร้อนซึ่นด้วยตู้อบลมร้อนที่อุณหภูมิ 95, 105 และ 110 องศาเซลเซียส ระยะเวลาการให้ความร้อน 16 ชั่วโมง

Adebawale และคณะ (2003) ศึกษาการเปลี่ยนแปลงขนาดและรูปร่างของสตาร์ชถ้วนที่ผ่านการดัดแปรด้วยวิธีการให้ความร้อนซึ่นด้วยตู้อบลมร้อนที่อุณหภูมิ 100 องศาเซลเซียส ระยะเวลาการให้ความร้อน 16 ชั่วโมง โดยมีการปรับความชื้นให้เป็นร้อยละ 18, 21, 24 และ 27 พบว่า ไม่พบการเปลี่ยนแปลงขนาดและรูปร่างของเม็ดสตาร์ชเมื่อส่องด้วยกล้องจุลทรรศน์อิเล็กตรอนแบบส่องกราด (Scanning Electron Microscopy) โดยเม็ดสตาร์ชถ้วนยังคงรูปร่างทรงกลมและทรงตัวที่มีขนาดแตกต่างกันไป ซึ่งให้ผลเช่นเดียวกับเม็ดสตาร์ชมันสำปะหลังเมื่อผ่านการดัดแปรด้วยวิธีการให้ความร้อนซึ่น (Abraham, 1993)

Kulp และคณะ (1981) ศึกษาการเปลี่ยนแปลงขนาดและรูปร่างของเม็ดสตาร์ชข้าวสาลีและสตาร์ชข้าวโพดที่ผ่านการดัดแปรด้วยวิธีการให้ความร้อนซึ่นด้วยตู้อบลมร้อนที่อุณหภูมิ 100 องศาเซลเซียส ระยะเวลาการให้ความร้อน 16 ชั่วโมง โดยมีการปรับความชื้นให้เป็นร้อยละ 18, 21, 24 และ 27 พบว่า การดัดแปรสตาร์ชด้วยวิธีการให้ความร้อนซึ่นไม่ทำให้เกิดการเปลี่ยนแปลงขนาดและรูปร่างของเม็ดสตาร์ชเมื่อส่องด้วยกล้องจุลทรรศน์อิเล็กตรอนแบบส่องกราด (Scanning Electron Microscopy) โดยสตาร์ชทั้งสองชนิดยังคงรูปร่างที่สมบูรณ์เมื่อผ่านการให้ความร้อนที่สภาวะต่างๆ สตาร์ชไม่เกิดรอยแตกร้าวหรือผิดรูปไปจากเดิม ซึ่งให้ผลการทดลองที่แตกต่างจาก Kawabata และคณะ, 1994 ที่พบการเปลี่ยนแปลงของเม็ดสตาร์ชข้าวโพดและสตาร์ชมันฝรั่งที่ผ่านการดัดแปรด้วยวิธีการให้ความร้อนซึ่นที่อุณหภูมิ 125 และ 110 องศาเซลเซียส ระยะเวลาการให้ความร้อน 20 และ 30 นาทีตามลำดับ โดยพบความเสียหายของเม็ดสตาร์ชที่เกิดเป็นโพรงภายหลังการดัดแปร

Gunaratne และคณะ (2002) ได้ศึกษาการเปลี่ยนแปลงขนาดและรูปร่างของสตาร์ชาจากพืชหัวและราก ซึ่งประกอบด้วย สตาร์ชทຽรม สตาร์ชาโระ สตาร์ชนิวโกโก้แยม สตาร์ชมันสำปะหลัง และสตาร์ชมันฝรั่ง ที่ผ่านการดัดแปรด้วยวิธีการให้ความร้อนซึ่นด้วยตู้อบลมร้อนที่อุณหภูมิ 100 องศาเซลเซียส ระยะเวลาการให้ความร้อน 10 ชั่วโมง โดยมีการปรับความชื้นของสตาร์ชให้เป็นร้อยละ 30 พบว่าการดัดแปรสตาร์ชไม่มีผลทำให้เกิดการเปลี่ยนแปลงขนาดและรูปร่างของเม็ดสตาร์ช โดยที่ผิวของเม็ดสตาร์ชาทุกชนิดมีความเรียบซึ่งไม่ถูกทำลาย ซึ่งให้ผลเช่นเดียวกับ Lawal (2005) ที่ไม่พบการเปลี่ยนแปลงขนาดและรูปร่างของ

เม็ดสตาร์ชนิวโภกแยมที่ผ่านการให้ดัดแปรด้วยวิธีการให้ความร้อนชั้นที่อุณหภูมิ 100 องศาเซลเซียส เป็นเวลา 16 ชั่วโมง

2.5.2 ผลของการดัดแปรสตาร์ชด้วยวิธีการให้ความร้อนชั้นต่อโครงสร้างผลึก

การเปลี่ยนแปลงโครงสร้างผลึกของสตาร์ชขึ้นกับปัจจัยหลายอย่าง เช่น ชนิดของสตาร์ช และที่ปลูก รูปแบบการจัดเรียงตัวของสายอะไมโลสและอะไมโลเพกตินในเม็ดสตาร์ช วิธีการที่ใช้ในการตัดแปร และวิธีการในการให้ความร้อน เป็นต้น

การดัดแปรสตาร์ชด้วยวิธีการให้ความร้อนชั้นที่อุณหภูมิ 125 องศาเซลเซียส ระยะเวลาการให้ความร้อน 20 นาที ส่งผลให้เกิดการเปลี่ยนแปลงโครงสร้างผลึกของสตาร์ชมัน ฝรั่ง โดยผลึกเกิดการเปลี่ยนรูปแบบจากแบบบีเป็นแบบเอ (Kawabata และคณะ, 1994) เมื่อวัดด้วยเครื่องเอกซ์เรย์ดิฟเฟρερกโตมิเตอร์ ซึ่งให้ผลการทดลองเช่นเดียวกับ Miyoshi (2002) ที่ศึกษาการเปลี่ยนแปลงโครงสร้างผลึกของสตาร์ชมันฝรั่งที่ผ่านการดัดแปรด้วยวิธีการให้ความร้อนชั้นที่อุณหภูมิ 110 องศาเซลเซียส ระยะเวลาการให้ความร้อน 30 นาที และจากการศึกษาของ Vermeulen และคณะ (2006) ในสตาร์ชมันฝรั่งที่ผ่านการดัดแปรด้วยวิธีการให้ความร้อนชั้นที่อุณหภูมิ 90, 100, 110, 120 และ 130 องศาเซลเซียส ระยะเวลาการให้ความร้อน 24 ชั่วโมง มีการปรับความชื้นของสตาร์ชเป็นร้อยละ 23 ซึ่งพบว่าสตาร์ชมันฝรั่งมีการเปลี่ยนแปลงรูปแบบผลึกจากแบบบีเป็นแบบเอในทุกอุณหภูมิของการดัดแปร และพบว่าที่สภาวะการดัดแปรที่อุณหภูมิ 130 องศาเซลเซียสจะมีความเป็นผลึกมากที่สุดและความเป็นผลึกจะลดลงตามสภาวะการดัดแปรของอุณหภูมิที่ลดลง โดยให้เหตุผลว่าความร้อนที่สูงมากทำให้เกิดการแยกตัวของเกลียวคู่ระหว่างอะไมโลเพกตินกับสายหลัก (backbone) และทำให้เกิดการเคลื่อนที่ซึ่งสามารถเกิดการจัดเรียงตัวใหม่เป็นผลึกที่มีความสมบูรณ์มากกว่าเดิม ซึ่งแตกต่างจากผลการทดลองของ Lim และคณะ (2001) ที่ไม่พบการเปลี่ยนแปลงรูปแบบผลึกของสตาร์ชมันฝรั่งที่ผ่านการดัดแปรโดยใช้หัวม้อนนึ่งความดันสูงที่อุณหภูมิ 120 องศาเซลเซียส ระยะเวลาการให้ความร้อน 1 ชั่วโมง โดยมีการปรับความชื้นของสตาร์ชเป็นร้อยละ 20-25 แต่พบว่าการดัดแปรทำให้ความสูงของพีคลดลงซึ่งเกิดจากความร้อนหรือความชื้นที่มากเกินพอในการดัดแปรส่งผลให้ความเป็นผลึกของสตาร์ชลดลง (Takaya และคณะ, 2000)

Shin และคณะ (2004) ศึกษาการเปลี่ยนแปลงโครงสร้างผลึกของสตาร์ชมันฝรั่ง และสตาร์ชมันฝรั่งหวานที่มีรูปแบบผลึกตามธรรมชาติแบบบีและเอตามลำดับ เมื่อนำสตาร์ชมาดัดแปรด้วยวิธีทางเคมี (acid-hydrolysis) ร่วมกับการดัดแปรด้วยวิธี autoclaving-cooling และการให้ความร้อนชั้นด้วยตู้อบลมร้อน พบร่วมกับการดัดแปรในขั้นตอนของ autoclaving-cooling สตาร์ชจะมีความสูงของพีคน้อยกว่าสตาร์ชธรรมชาติเมื่อวัดด้วยเครื่องเอกซ์เรย์ดิฟเฟρερกโตมิเตอร์ และสตาร์ชมันเทศจะมี

การเปลี่ยนแปลงตำแหน่งของพีคที่ 17.3 และ $5.6^{\circ}2\theta$ และเมื่อสตาร์ชถูกดัดแปลงต่อด้วยวิธีการให้ความร้อนซึ่นจะทำให้สตาร์ชมันเทค้มีความสูงของพีคเพิ่มขึ้นเล็กน้อยที่ 15 และ $17^{\circ}2\theta$ โดยเกิดจากการที่เม็ดสตาร์ชเกิดความเสียหายในระหว่างการดัดแปลง

Lawal (2005) ศึกษาการเปลี่ยนแปลงโครงสร้างผลึกของสตาร์ชนิวโภกแยมที่ผ่านการดัดแปลงด้วยวิธีการให้ความร้อนซึ่นที่อุณหภูมิ 100 องศาเซลเซียส ระยะเวลาการให้ความร้อน 16 ชั่วโมง โดยมีการปรับความชื้นของสตาร์ชเป็นร้อยละ $18, 21, 24$ และ 27 พบร่วมกับการดัดแปลงสตาร์ชไม่ทำให้เกิดการเปลี่ยนแปลงรูปแบบผลึกในสตาร์ชนิวโภกแยม โดยสตาร์ชยังคงรูปแบบผลึกแบบเดิม

Hoover และคณะ (1996) ศึกษาการเปลี่ยนแปลงโครงสร้างผลึกของสตาร์ชข้าวโพด สтар์ชข้าวโพดข้าวเหนียว และสตาร์ชอะไมโลสสูง ที่ผ่านการดัดแปลงด้วยวิธีการให้ความร้อนซึ่นด้วยตู้อบลมร้อนที่อุณหภูมิ 100 องศาเซลเซียส ระยะเวลาการให้ความร้อน 16 ชั่วโมง โดยปรับความชื้นของสตาร์ชให้เป็นร้อยละ 30 พบร่วมสตาร์ชทุกชนิดยังคงรักษารูปแบบผลึกแบบบีแต่เมื่อการเปลี่ยนแปลงความสูงของพีคที่เพิ่มขึ้นตามสภาพการดัดแปลงโดยสตาร์ชข้าวโพดข้าวเหนียวมีความสูงของพีคเพิ่มขึ้นมากที่สุด รองลงมาเป็นสตาร์ชข้าวโพดและสตาร์ชข้าวโพดอะไมโลสสูง ตามลำดับ โดยให้เหตุผลว่าอาจเกิดจากการดัดแปลงทำให้เกลี่ยรูปแบบผลึกสตาร์ชที่ดัดแปลงด้วยวิธีการให้ความร้อนซึ่นด้วยเครื่องนีฟ่าเชื้อ (retort) ที่อุณหภูมิ 125 องศาเซลเซียส ระยะเวลาการให้ความร้อน 5 และ 20 นาที โดยพบร่วงแห้งเหลวลำดับที่ 5 มีพีคที่แหลมมากขึ้นและพบพีคใหม่ที่เกิดขึ้นที่ตำแหน่ง $13^{\circ}2\theta$ และดังให้เห็นว่าเกิดสารประกอบเชิงซ้อนระหว่างอะไมโลสกับไขมัน ซึ่งให้ผลการศึกษาเช่นเดียวกับ Miyoshi (2002) ที่พบร่วมสตาร์ชข้าวโพดที่ผ่านการดัดแปลงอะมีรูปแบบผลึกเป็นแบบเอ และมีแบบวีร่วงด้วยซึ่งเกิดจากการทำปฏิกิริยาระหว่างอะไมโลสกับอะไมโลส และอะไมโลสกับลิปิด เกิดการจัดเรียงตัวใหม่ของผลึกในระหว่างการดัดแปลง

พินทิพย์ (2547) ศึกษาการเปลี่ยนแปลงโครงสร้างผลึกของแป้งข้าวเหนียวและแป้งข้าวเจ้าที่ดัดแปลงด้วยวิธีการให้ความร้อนซึ่นด้วยหม้อนึ่งผ่าเชือความดันสูงที่อุณหภูมิ 120 องศาเซลเซียส ระยะเวลาการให้ความร้อน 60 นาที โดยปรับความชื้นของแป้งเป็นร้อยละ 25 พบร่วมแป้งทั้งสองชนิดยังคงรูปแบบผลึกแบบเอ แต่มีความหนาแน่นของผลึกและระดับความเป็นผลึกลดลง โดยให้เหตุผลว่าเกิดจากโครงสร้างอะไมโลเพกตินถูกทำให้แตกสลายไปด้วยความร้อนในระหว่างการดัดแปลง ทำให้โมเลกุลขนาดใหญ่ของอะไมโลเพกตินมีจำนวนลดลงและเกิดโมเลกุลขนาดเล็กของอะไมโลเพกตินเพิ่มขึ้น ซึ่งส่วนของอะไมโลเพกตินที่ถูกทำให้แตกสลายนั้นเป็นสายโซ่ตรงต้านนอก หรือสายเอของโครงสร้าง (Lu และคณะ, 1996)

2.5.3 ผลของการดัดแปลงสตาร์ชต่อกุณสมบัติทางด้านความร้อนเมื่อวิเคราะห์ด้วยเครื่อง Differential Scanning Calorimetry (DSC)

Lu และคณะ (1996) ศึกษาการเปลี่ยนแปลงคุณสมบัติทางด้านความร้อนในสตาร์ชข้าวเจ้าและสตาร์ชข้าวเหนียวที่ผ่านการดัดแปลงด้วยวิธีการให้ความร้อนชื้นด้วยหม้อนึ่งฆ่าเชื้อ ความดันสูงที่อุณหภูมิ 100 และ 121 องศาเซลเซียสเป็นเวลา 10 และ 20 นาที พบร่วมกับผลลัพธ์ การดัดแปลงสตาร์ชมีการเปลี่ยนแปลงของอุณหภูมิในการเกิดเจลที่เพิ่มขึ้นในสตาร์ชทั้งสองชนิด และค่าเอนthalpie ของสตาร์ชข้าวเจ้ามีค่าลดลง ส่วนสตาร์ชข้าวเหนียวเกิดการเปลี่ยนแปลงของ เอนthalpie โดยพบว่าพีคหายไปภายหลังจากการดัดแปลงที่อุณหภูมิ 100 องศาเซลเซียส ระยะเวลาการให้ความร้อน 20 นาที ซึ่งแสดงให้เห็นว่าผลลัพธ์ของสตาร์ชข้าวเหนียวแตกสลายได้โดยง่ายเมื่อถูกดัดแปลง และการดัดแปลงที่อุณหภูมิ 121 องศาเซลเซียส พบร่วมกับการเปลี่ยนแปลงของ เอนthalpie โดยพบร่วมกับการดัดแปลงที่อุณหภูมิ 100 องศาเซลเซียส ที่เพิ่มขึ้น (Mahanta และคณะ, 1989; Murugesan และคณะ, 1989) และการดัดแปลงสตาร์ชด้วย วิธีการให้ความร้อนชื้นยังส่งผลทำให้เกิดการเสื่อมสลายของโครงสร้างทางโมเลกุลของสตาร์ช (Kulp และคณะ, 1981) ซึ่งให้ผลเช่นเดียวกับ พินทิพย์ (2547) ที่ดัดแปลงข้าวเจ้าและแป้ง ข้าวเหนียวที่อุณหภูมิ 120 องศาเซลเซียส ระยะเวลา 60 นาที โดยมีการปรับความชื้นเป็นร้อยละ 25 พบร่วมกับสตาร์ชทั้งสองชนิดมีค่า T_0 , T_p , T_c และ (T_c-T_0) ที่สูงขึ้น ในขณะที่ค่าเอนthalpie มีค่าลดลง โดยให้เหตุผลว่าเกิดจากโครงสร้างของโมเลกุลของสตาร์ชที่เปลี่ยนแปลงข้าวถูกทำให้แตกออกด้วย ความร้อนซึ่งเห็นได้จากการที่ระดับความเป็นผลลัพธ์ของสตาร์ชที่เปลี่ยนแปลงเมื่อวิเคราะห์ด้วยเทคนิคการเสื่อมสลาย ของรังสีเอกซ์และโครงสร้างของโมเลกุลที่เหลืออยู่หรืออาจเปลี่ยนแปลงไปนี้มีความคงทนต่อ ความร้อนได้มากกว่าเดิม จึงทำให้อุณหภูมิของการเกิดเจลาทีนเซชันของแป้งข้าวที่ผ่านการดัดแปลงมีค่าเพิ่มสูงขึ้น

Adebawale และคณะ (2003) ศึกษาคุณสมบัติการเกิดเจลาทีนเซชันของสตาร์ช ถ้าที่ผ่านการดัดแปลงด้วยวิธีการให้ความร้อนชื้นที่อุณหภูมิ 100 องศาเซลเซียส ระยะเวลาการให้ความร้อน 16 ชั่วโมง โดยมีการปรับความชื้นของสตาร์ชเป็นร้อยละ 18, 21, 24 และ 27 พบร่วมกับการดัดแปลงสตาร์ชส่งผลให้ค่าอุณหภูมิเริ่มเปลี่ยนแปลง (onset temperature; T_0) อุณหภูมิที่จุดสูงสุด (peak temperature; T_p) อุณหภูมิที่จุดสิ้นสุดการเกิดเจลาทีนเซชัน (conclusion temperature; T_c) ช่วงกว้างในการเกิดเจลาทีนเซชัน (T_c-T_0) และเอนthalpie (ΔH) เกิดการเปลี่ยนแปลง โดยค่า T_0 , T_p , T_c และ (T_c-T_0) มีค่าเพิ่มขึ้นตามความชื้นที่ใช้ในการดัดแปลง และค่าเอนthalpie ของสตาร์ชที่เปลี่ยนแปลง ซึ่งเกิดจากการเกิดอันตรกิริยาระหว่างอะไรมอเลสกับอะไรมอเลสและการเกิดสารประกอบเชิงช้อนระหว่างอะไรมอเลสกับลิปิด ซึ่งส่งผลทำให้การเคลื่อนที่ในส่วนอสัณฐานลดลง ทำให้ค่า T_0 , T_p , T_c และ (T_c-T_0) มีค่าสูงขึ้น และอาจเกิดจากการดัดแปลงผลให้เกิดการรวมตัว

กันระหว่างอะไมโลสกับอะไมโลสซึ่งกีดขวางการเคลื่อนที่ภายในส่วนอสัณฐาน จึงทำให้ต้องใช้อุณหภูมิสูงขึ้นเพื่อให้ส่วนอสัณฐานเกิดการพองตัวและเกิดการทำลายโครงสร้างผลึกได้ (Hoover และคณะ, 1996)

Hoover และคณะ (1996) พบการเปลี่ยนแปลงของค่า T_0 , T_p และ T_c ที่สูงขึ้นของสตาร์ชข้าวโพด สตาร์ชข้าวโพดข้าวเหนียว และสตาร์ชข้าวโพดอะไมโลสสูงที่ผ่านการดัดแปร และค่า T_c-T_0 ของสตาร์ชข้าวโพดและสตาร์ชข้าวโพดอะไมโลสสูงมีค่าเพิ่มขึ้นเนื่องจากการเกิดอันตรกิริยาระหว่างอะไมโลสกับอะไมโลส และการเกิดสารประกอบเชิงข้อนระหว่างอะไมโลสกับลิปิด และอาจเกิดจากการรวมตัวกันของผลึกที่แตกต่างกัน ส่วนค่าของ T_c-T_0 ในสตาร์ชข้าวโพดข้าวเหนียวไม่เกิดการเปลี่ยนแปลงเป็นผลมาจากการเกิดอันตรกิริยาของสายอะไมโลเพกตินในระหว่างการดัดแปรไม่ส่งผลกระทบต่อการเกิดผลึกใหม่ของสตาร์ช ส่วนค่าเอนทาลปี (ΔH) ในสตาร์ชทุกชนิดไม่เกิดการเปลี่ยนแปลงซึ่งแสดงให้เห็นว่าสายเกลียวคู่ของอะไมโลเพกตินไม่ถูกทำลายภายใต้การดัดแปร

Gunaratne และคณะ (2002) ศึกษาการเปลี่ยนแปลงการเกิดเจลาทีนเซชันของสตาร์ชจากพืชหัวและรากที่ผ่านการดัดแปรด้วยวิธีการให้ความร้อนซึ่งที่อุณหภูมิ 100 องศาเซลเซียส ระยะเวลา 10 ชั่วโมง โดยมีการปรับความชื้นของสตาร์ชเป็นร้อยละ 30 พบว่าสตาร์ชมีค่า T_0 , T_p และ T_c เพิ่มขึ้นส่วนค่าเอนทาลปีมีค่าลดลงซึ่งเป็นผลมาจากการเกลียวคู่ทึบในส่วนที่เป็นผลึกและส่วนไม่เป็นผลึกของสตาร์ชถูกทำลายภายหลังการดัดแปร

Donovan และคณะ (1983) ศึกษาการเปลี่ยนแปลงคุณสมบัติทางด้านความร้อนของสตาร์ชข้าวสาลีและสตาร์ชมันฝรั่งที่ผ่านการดัดแปรด้วยวิธีการให้ความร้อนซึ่งที่อุณหภูมิ 100 องศาเซลเซียส ระยะเวลา 16 ชั่วโมง โดยมีการปรับความชื้นของสตาร์ชเป็นร้อยละ 18, 21, 24 และ 27 พบว่าสตาร์ชทึบสองชนิดมีอุณหภูมิที่เพิ่มสูงขึ้นและมีค่าพลังงานเอนทาลปีที่ลดลงมากกว่าสตาร์ชข้าวสาลีโดยได้เหตุผลว่า ผลของการดัดแปรทำให้เกิดการเคลื่อนที่หรือการจัดเรียงตัวใหม่ของโมเลกุลในส่วนอสัณฐาน ทำให้เกิดโครงสร้างผลึกใหม่หรือเกิดการจัดเรียงตัวใหม่ของโครงสร้างผลึกเดิม และเกิดโครงสร้างผลึกขนาดเล็กที่มีความสมบูรณ์มากกว่าเดิม ซึ่งให้ผลเช่นเดียวกับ Miyoshi (2002) และ Lim และคณะ (2001) ที่พบการเปลี่ยนแปลงของค่า T_0 , T_p และ T_c ที่สูงขึ้นภายหลังการดัดแปรสตาร์ชมันฝรั่งและสตาร์ชข้าวโพด และค่าพลังงานเอนทาลปีมีค่าลดลงซึ่งเป็นผลมาจากการดัดแปรทำให้ส่วนผลึกของสตาร์ชเกิดการเสื่อมสภาพโดยส่วนผลึกที่มีโครงสร้างไม่สมบูรณ์จะเกิดการเสื่อมสภาพได้โดยง่าย โมเลกุลของอะไมโลเพกตินที่เหลือจึงกลับเป็นโครงสร้างผลึกที่มีความสมบูรณ์มากกว่าเดิม จึงทำให้อุณหภูมิในการเกิดเจลาทีนเซชันสูงขึ้น และการเกิดเอนโดเทอร์มใหม่ในช่วงอุณหภูมิที่สูงขึ้น เป็นผลมาจากการดัดแปรสตาร์ชทำให้เกิดการเปลี่ยนแปลงของส่วนอสัณฐานที่อยู่ในโครงสร้างส่วนผลึก (intercrystalline

amorphous region) เปเปลี่ยนมาเป็นในส่วนของอสัณฐานแทน ซึ่งอาจทำให้สายโซ่สั้นๆ ในโครงสร้างส่วนผลึกมีความเป็นอิสระมากขึ้นและเกิดการจัดเรียงตัวใหม่ สตาร์ชจึงมีความคงทนต่อพลังงานความร้อนมากกว่าเดิม และการเปลี่ยนแปลงที่เกิดขึ้นอาจเป็นผลมาจากการจัดเรียงตัวใหม่ของอะไมโลเพกตินสายสั้นๆ เมื่อได้รับพลังงานความร้อนและความชื้นในการดัดแปลง ทำให้สตาร์ชมีความคงตัวต่อการเปลี่ยนแปลงอุณหภูมิที่สูงขึ้น (Lim และคณะ, 2001)

2.5.4 ผลของการดัดแปลงสตาร์ชด้วยวิธีการให้ความร้อนชี้น์ต่อคุณสมบัติทางด้านความหนืดของสตาร์ช

การดัดแปลงสตาร์ชข้าวเจ้าและสตาร์ชข้าวเหนียวด้วยวิธีการให้ความร้อนชี้น์ส่งผลให้สตาร์ชข้าวมีการเปลี่ยนแปลงของค่าความหนืดเมื่อวิเคราะห์ด้วยเครื่อง Rapid Visco Analyzer (RVA) โดยสตาร์ชที่ผ่านการดัดแปลงจะมีค่าความหนืดสูงสุด (peak viscosity), ความแตกต่างระหว่างความหนืดสูงสุดและความหนืดต่ำสุด (breakdown) เชตแบค และความหนืดสุดท้าย (final viscosity) มีค่าลดลง (Anderson และคณะ, 2006; พินทิพย์, 2547) และอุณหภูมิเริ่มเกิดความหนืดของสตาร์ชข้าวเจ้าและสตาร์ชข้าวเหนียวมีค่าเพิ่มขึ้นตามสภาวะการดัดแปลงที่สูงขึ้น (พินทิพย์, 2547)

Adebawale และคณะ (2003) ศึกษาการเปลี่ยนแปลงของค่าความหนืดของสตาร์ชถ้วนที่ผ่านการดัดแปลงด้วยวิธีการให้ความร้อนชี้น์พบว่าสตาร์ชถ้วนที่ผ่านการดัดแปลงจะมีค่าอุณหภูมิเริ่มเกิดความหนืด (pasting temperature) เพิ่มขึ้นตามสภาวะการดัดแปลงที่สูงขึ้น และมีค่าความหนืดสูงสุด (peak viscosity) ลดลงอย่างมีนัยสำคัญทางสถิติทุกสภาวะในการดัดแปลงเว้นการดัดแปลงที่ระดับความชื้นร้อยละ 24 และ 27 จะมีค่าความหนืดสูงสุดที่คงที่ ซึ่งเป็นผลมาจากการดัดแปลงทำให้สตาร์ชมีความเป็นผลึกเพิ่มมากขึ้น และการจัดเรียงตัวใหม่ภายในเม็ดสตาร์ชทำให้เกิดแรงยึดเหนี่ยวระหว่างโมเลกุลและภายในเม็ดสตาร์ชที่แข็งแรงกว่าเดิม และสตาร์ชถ้วนที่มีค่าความหนืดภายในเม็ดสตาร์ชที่สูงกว่าเดิม ทำให้สตาร์ชข้าวมีค่าเชตแบคที่ลดลง โดยค่าเชตแบคเป็นค่าที่ใช้บวกอัตราการเกิดรีไทร์เกเรเดชันของสตาร์ช ส่วนค่าความหนืดต่ำสุด (breakdown) เป็นค่าที่วัดความอ่อนแอกของสตาร์ช (Collado และคณะ, 2001) เมื่อสตาร์ชเกิดการพองตัวและถูกทำให้แตกออก โดยการดัดแปลงสตาร์ชส่งผลให้สตาร์ชที่เกิดการพองตัวทนต่อแรงเนื้อนและความร้อนมากยิ่งขึ้น

2.5.5 ผลของการดัดแปลงสตาร์ชด้วยวิธีการให้ความร้อนชื้นต่อค่ากำลังการพองตัวและการละลายของสตาร์ช

การพองตัวและการละลายของสตาร์ชสูกเป็นคุณสมบัติที่สำคัญอย่างหนึ่งของสตาร์ชในการนำไปใช้ประโยชน์ทางอุตสาหกรรมอาหาร ซึ่งการดัดแปลงสตาร์ชด้วยวิธีการให้ความร้อนชื้นสามารถเปลี่ยนคุณสมบัติทางด้านการพองตัวและการละลายของสตาร์ชได้

Hoover และคณะ (1995) ได้ศึกษาการเปลี่ยนแปลงค่ากำลังการพองตัวและการละลายของสตาร์ชข้าวโพดและสตาร์ชข้าวโพดข้าวเหนียวที่ผ่านการดัดแปลงด้วยวิธีการให้ความร้อนชื้นด้วยตู้อบลมร้อนที่อุณหภูมิ 100 องศาเซลเซียส ระยะเวลาการให้ความร้อน 16 ชั่วโมง โดยปรับความชื้นของสตาร์ชให้เป็นร้อยละ 30 พบร่วมค่ากำลังการพองตัวและการละลายของสตาร์ชมีค่าลดลงหลังการดัดแปลง โดยให้เหตุผลว่าเกิดจากการที่อะไมโลสกับลิปิดในสตาร์ชเกิดเป็นสารประกอบเชิงซ้อนระหว่างอะไมโลสกับลิปิด ทำให้ยับยั้งการพองตัวของสตาร์ช และพบว่าในสตาร์ชข้าวโพดข้าวเหนียวจะมีค่ากำลังการพองตัวและการละลายที่ลดลงมากกว่าสตาร์ชข้าวโพดปกติ เนื่องมาจากอะไมโลเพกตินซึ่งเป็นส่วนที่สำคัญ กิจการเปลี่ยนแปลงในระดับโมเลกุลระหว่างการดัดแปลง โดยเกิดอันตรายร้ายระหว่างสายโซ่ของอะไมโลเพกติน ทำให้ยับยั้งการพองตัวและการละลายของเม็ดสตาร์ช

Adebawale และคณะ (2003) และ Lawal (2005) ได้ศึกษาการเปลี่ยนแปลงค่ากำลังการพองตัวและการละลายของสตาร์ชถ้วนและสตาร์ชโกโก้แยมที่ผ่านการดัดแปลงด้วยวิธีการให้ความร้อนชื้นด้วยตู้อบลมร้อนที่อุณหภูมิ 100 องศาเซลเซียส ระยะเวลาการให้ความร้อน 16 ชั่วโมง โดยปรับความชื้นของสตาร์ชให้เป็นร้อยละ 18, 21, 24 และ 27 พบร่วมค่ากำลังการพองตัวและการละลายของสตาร์ชโกโก้แยมมีค่าลดลงเนื่องจากเกิดการเปลี่ยนแปลงโครงสร้างภายในเม็ดสตาร์ช ซึ่งจะเพิ่มความเป็นผลึกและการเปลี่ยนแปลงของแรร์เจนที่ยาวภายในโมเลกุลทำให้เกิดการจับตัวกันของเกลียวคู่ของสายอะไมโลเพกตินทำให้จำกัดการพองตัวและการละลาย และการกัดสารประกอบเชิงซ้อนระหว่างอะไมโลสกับลิปิด ซึ่งให้ผลเช่นเดียวกับการศึกษาของ Kulp และคณะ (1981) ที่พบการเปลี่ยนแปลงค่ากำลังการพองตัวและการละลายของสตาร์ชข้าวสาลี และสตาร์ชมันฝรั่ง ที่ผ่านการดัดแปลงด้วยวิธีการให้ความร้อนชื้นด้วยตู้อบลมร้อนที่สภาวะเดียวกัน โดยพบการเปลี่ยนแปลงของค่ากำลังการพองตัวของห้งสองชนิดที่ลดลงตามสภาวะของการดัดแปลงที่สูงขึ้น และพบการเปลี่ยนแปลงของค่าการละลายของสตาร์ชข้าวสาลีที่เพิ่มขึ้นตามสภาวะการดัดแปลงค่าการละลายของสตาร์ชมันฝรั่งมีค่าลดลงตามสภาวะการดัดแปลงที่สูงขึ้น

Gunaratne และคณะ (2002) "ได้ศึกษาการเปลี่ยนแปลงค่ากำลังการพองตัวและการละลายของสตาร์ชจากพืชหว้าและรากร ได้แก่ สตาร์ชทรูแยม สตาร์ชาโตโร่ สตาร์ชมัน สำปะหลัง สตาร์ชมันฝรั่ง และสตาร์ชนิวโกโก้แยม ที่ผ่านการดัดแปลงด้วยวิธีการให้ความร้อนชื้นด้วยตู้อบลมร้อนที่อุณหภูมิ 100 องศาเซลเซียส ระยะเวลาการให้ความร้อน 10 ชั่วโมง โดยมี

การปรับความชื้นของสตาร์ชเป็นร้อยละ 30 พบร้าค่ากำลังการพองตัวและการละลายของสตาร์ชทุกชนิดมีค่าลดลงเมื่อผ่านการดัดแปลงเป็นผลจากการเปลี่ยนแปลงส่วนผลึกและอัตราเผาไหม้ของสตาร์ช ปริมาณฟอสเฟตในสตาร์ช การเกิดสารประกอบเชิงช้อนของอะไมโลสกับลิปิด และเกิดจากความเสียรุขของเม็ดสตาร์ชลดลงจากการคลายตัวและแยกตัวของเกลี่ยวคู่ เกิดความเสียหายของส่วนผลึก

Sair (1976) ได้ศึกษาการเปลี่ยนแปลงของค่ากำลังการพองตัวและการละลายของสตาร์ชมันฝรั่งและสตาร์ชข้าวโพดที่ผ่านการดัดแปลงด้วยวิธีการให้ความร้อนชื้นด้วยตู้อบลมร้อนที่อุณหภูมิ 100, 105 และ 110 องศาเซลเซียส ระยะเวลาการให้ความร้อน 2, 4, 8, 12 และ 18 ชั่วโมงสำหรับสตาร์ชมันฝรั่ง ส่วนสตาร์ชข้าวโพดมีการให้ความร้อนด้วยตู้อบลมร้อนที่อุณหภูมิ 95, 105 และ 110 องศาเซลเซียส ระยะเวลาการให้ความร้อน 16 ชั่วโมง โดยสตาร์ชทั้งสองชนิด มีการปรับความชื้นของสตาร์ชให้เป็นร้อยละ 18, 21, 24 หรือ 27 พบร้าค่ากำลังการพองตัวของสตาร์ชทั้งสองชนิดมีค่าลดลงตามสภาวะการดัดแปลงที่สูงขึ้น ส่วนค่าการละลายของสตาร์ชทั้งสองชนิด พบร้าการดัดแปลงสตาร์ชมันฝรั่งเมื่อมีการเพิ่มระยะเวลาการให้ความร้อนจะทำให้ค่าการละลายของสตาร์ชลดลงจากร้อยละ 60 เป็นร้อยละ 30 ส่วนการดัดแปลงสตาร์ชข้าวโพดที่อุณหภูมิต่ำกว่า 105 องศาเซลเซียสจะไม่มีผลอย่างชัดเจนกับการเปลี่ยนแปลงของค่าการละลาย และการดัดแปลงสตาร์ชทั้งสองชนิดที่อุณหภูมิ 110 องศาเซลเซียส จะทำให้ค่าการละลายลดลงเนื่องจากที่อุณหภูมนี้ทำให้เม็ดสตาร์ชเกิดการเสื่อมสภาพบางส่วนในระหว่างการดัดแปลง

พินทิพย์ (2547) ได้ศึกษาการเปลี่ยนแปลงของค่ากำลังการพองตัวของแป้งข้าวเหนียวพันธุ์ กข 6 แป้งข้าวพันธุ์ขาวดอกมะลิ 90, 105 และแป้งข้าวพันธุ์ปุ่มราชานี 60 ที่ผ่านการดัดแปลงด้วยวิธีการให้ความร้อนชื้นที่อุณหภูมิ 105 และ 120 องศาเซลเซียส ระยะเวลาการให้ความร้อน 30 และ 60 นาที โดยมีการปรับความชื้นให้เป็นร้อยละ 20 และ 25 พบร้าค่ากำลังการพองตัวของแป้งข้าวทั้งสี่ชนิดมีค่าลดลงตามสภาวะการดัดแปลงที่สูงขึ้น โดยให้เหตุผลว่าการลดลงของค่ากำลังการพองตัวในแป้งข้าวเหนียวพันธุ์ กข 6 เกิดจากการคลายเกลี่ยวของเกลี่ยวคู่ในส่วนโครงสร้างผลึก ส่วนในแป้งข้าวจ้าวอาจเป็นผลมาจากการคลายเกลี่ยวคู่ในส่วนโครงสร้างผลึกและการเกิดสารประกอบเชิงช้อนระหว่างอะไมโลสกับลิปิด

2.5.6 ผลของการดัดแปลงสตาร์ชด้วยวิธีการให้ความร้อนชื้นต่อความเสื่อมของสตาร์ชสูง

ความเสื่อมของสตาร์ชเป็นคุณสมบัติเฉพาะที่สำคัญอีกอย่างหนึ่งของสตาร์ช เนื่องจากมีการใช้สตาร์ชในการผลิตผลิตภัณฑ์อาหารต่างๆ เช่น การผลิตไส้ข้นนมชีส์แต่ละชนิดก็ต้องการความเสื่อมของสตาร์ชแตกต่างกันไป และอาหารบางชนิด เช่น น้ำสลัดต้องการผลิตภัณฑ์ที่มีความข้นหนืดและชุ่น ซึ่งความเสื่อมของสตาร์ชชี้นำกับชนิดของสตาร์ช โดยคุณสมบัตินี้สามารถเปลี่ยนแปลงได้โดยการดัดแปลงสตาร์ช (Craig และคณะ, 1989)

Lawal (2005) ได้ศึกษาการเปลี่ยนแปลงของค่าความใส่ของสตาร์ซโกโก้แยมจากการวัดค่าการส่องผ่านของแสง (transmittance) โดยสตาร์ซผ่านการดัดแปลงด้วยวิธีการให้ความร้อนชีนที่อุณหภูมิ 100 องศาเซลเซียส ระยะเวลาการให้ความร้อน 16 ชั่วโมง โดยมีการปรับความชื้นของสตาร์ซเป็นร้อยละ 18, 21, 24 และ 27 พบร่วมกับความใส่ของสตาร์ซโกโก้แยมมีค่าลดลงตามสภาวะการดัดแปลงสตาร์ซที่สูงขึ้น ซึ่งปัจจัยที่ทำให้ความใส่ของสตาร์ซลดลง ได้แก่ การพองตัวของเม็ดสตาร์ซ การละลายของอะไมโลสและอะไมโลเพกติน ความเยาว์ของสายอะไมโลสและอะไมโลเพกติน พันธะภายในและภายนอกระหว่างโมเลกุล ปริมาณลิปิดในเม็ดสตาร์ซ และการดัดแปลงสตาร์ซ ซึ่งมีผลกับความชื้นของสตาร์ซ โดยการลดลงของค่าความใส่ของสตาร์ซโกโก้แยมที่ผ่านการดัดแปลงเกิดจากอันตรกิริยาระหว่างสายอะไมโลสและอะไมโลเพกตินที่ละลายออกมายังระหว่างเม็ดสตาร์ซเกิดการพองตัวและเกิดการรวมตัวกันเป็นบริเวณหรือที่เรียกว่า junction zone ซึ่งบริเวณที่โมเลกุลเกิดการรวมตัวกันนี้จะทำให้เกิดการสะท้อนกลับและระเจิงของแสง และการดัดแปลงสตาร์ซด้วยวิธีการให้ความร้อนชีนนี้ยังส่งผลให้สตาร์ซเกิดมีการปรับปรุงความเป็นผลึกให้มีความแข็งแรงมากยิ่งขึ้น ซึ่งจำกัดการพองตัวของสตาร์ซ จึงทำให้ค่าความใส่ของสตาร์ซมีค่าลดลง ซึ่งแตกต่างจากผลการศึกษาของ Sair (1967) ที่ไม่พบความแตกต่างของค่าความใส่ของสตาร์ซข้าวโพดที่ผ่านการดัดแปลงด้วยวิธีการให้ความร้อนชีนที่อุณหภูมิ 105 องศาเซลเซียส ระยะเวลาการให้ความร้อน 16 ชั่วโมง เมื่อเทียบกับสตาร์ซข้าวโพดที่ไม่ผ่านการดัดแปลง และพบว่าสตาร์ซมันสำปะหลังที่ผ่านการดัดแปลงด้วยวิธีการให้ความร้อนชีนที่อุณหภูมิ 95 และ 105 องศาเซลเซียส ระยะเวลาการให้ความร้อน 2, 4, 8, 16 และ 18 ชั่วโมง มีค่าความใส่เพิ่มขึ้นตามสภาวะการดัดแปลงที่สูงขึ้น

พิณทิพย์ (2547) ได้ศึกษาการเปลี่ยนแปลงของค่าความใส่ของแป้งข้าวเหนียวและแป้งข้าวจ้าวที่ผ่านการดัดแปลงด้วยวิธีการให้ความร้อนชีนที่อุณหภูมิ 105 และ 120 องศาเซลเซียส ระยะเวลาการให้ความร้อน 30 และ 60 นาที โดยมีการปรับความชื้นให้เป็นร้อยละ 20 และ 25 พบร่วมกับความเยาว์พันธุ์ข 6 และแป้งข้าวตอกมะลิ 105 มีค่าร้อยละการส่องผ่านเพิ่มขึ้นเล็กน้อยโดยให้เหตุผลว่าเกิดจากขนาดหรือรูปร่างของเม็ดสตาร์ซที่เกิดการพองตัวอาจเกิดการเปลี่ยนแปลงมีผลทำให้เกิดการหักเหของแสงได้น้อยลง และแป้งข้าวพันธุ์ปุทุมธานี 60 มีค่าร้อยละการส่องผ่านเพิ่มขึ้นเล็กน้อย เนื่องจากการเกิดสารประกอบเชิงช้อนระหว่างอะไมโลสกับลิปิด จึงมีผลทำให้ค่าร้อยละการส่องผ่านลดลง

2.5.7 ผลของการดัดแปลงสตาร์ซด้วยวิธีการให้ความร้อนชีนต่อความคงทนต่อการย่อยด้วยเอนไซม์และฟาร์มาโนเจล

Hoover และคณะ (1996) ศึกษาความคงทนต่อการย่อยด้วยเอนไซม์อะไมเลสในสตาร์ซข้าวโพด สตาร์ซข้าวโพดข้าวเหนียว สตาร์ซข้าวโพดอะไมโลสูง และสตาร์ซอะไมโลเมชีวี ที่ผ่านการดัดแปลงด้วยวิธีการให้ความร้อนชีนด้วยตู้อบลมร้อนที่อุณหภูมิ 100 องศาเซลเซียส

ระยะเวลาการให้ความร้อน 16 ชั่วโมง พบร้า สถาร์ชทනต่อการย่ออยด้วยกรดมากขึ้นเล็กน้อย ซึ่งให้ผลการศึกษาเช่นเดียวกับสถาร์ชข้าวสาลีและสถาร์ชถั่ว โดยสถาร์ชข้าวโพด และสถาร์ชอะไมโลเมซมีการทนต่อการย่ออยด้วยกรดเพิ่มขึ้นมากกว่าสถาร์ชข้าวโพดข้าวเหนียว จากงานวิจัยต่างๆ กล่าวว่า การคงทนต่อการย่ออยด้วยกรดเป็นผลมาจากการเกิดอะไมโลสลิปิดคอมเพล็กซ์ และระดับการเกิดปฏิกิริยาของสถาร์ชต่อเอนไซม์แอลฟาราše ไมเลสจะแตกต่างกันขึ้นกับปริมาณของลิปิด และ/หรือเกิดจากการจัดเรียงตัวที่แตกต่างกันของสายโซ่ภายในโมเลกุลของสถาร์ช แกรนูล โดยสถาร์ชที่ต่างกันจะมีความคงทนต่อการย่ออยด้วยเอนไซม์อะไมเลสที่แตกต่างกัน จากการศึกษาของ Kulp และคณะ (1981) ที่ศึกษาความคงทนต่อการย่ออยด้วยเอนไซม์แอลฟาราše ไมเลสในสถาร์ชมันฝรั่งและสถาร์ชข้าวสาลีที่ผ่านการดัดแปลงด้วยวิธีการให้ความร้อนชื่นด้วยตู้อบลมร้อนที่อุณหภูมิ 100 องศาเซลเซียส เป็นเวลา 16 ชั่วโมง และมีการปรับความชื้นของสถาร์ชเป็นร้อยละ 18 21 24 และ 27 พบร้า สถาร์ชมันฝรั่งจะมีความคงทนต่อการย่ออยด้วยเอนไซม์แอลฟาราše ไมเลสมากกว่าสถาร์ชข้าวสาลีในทุกสภาพที่ทำการศึกษา

Gunaratne และคณะ (2002) ศึกษาความคงทนต่อการย่ออยด้วยเอนไซม์แอลฟาราše ไมเลสในสถาร์ชากรากและพืชหัวที่ผ่านการดัดแปลงด้วยวิธีการให้ความร้อนชื่นด้วยตู้อบลมร้อนที่อุณหภูมิ 100 องศาเซลเซียส ที่ระดับความชื้นร้อยละ 30 ระยะเวลาการให้ความร้อนนาน 10 ชั่วโมง พบร้าในสถาร์ชทุกชนิดมีความคงทนต่อการย่ออยด้วยเอนไซม์แอลฟาราše ไมเลสเพิ่มมากขึ้น โดยเรียงลำดับจากมากไปน้อยดังนี้ สถาร์ชมันฝรั่ง สถาร์ชทรูร่าย สถาร์ชมันสำปะหลัง และสถาร์ชนิวโภโก้ร่าย โดยปัจจัยสำคัญที่ทำให้สถาร์ชแกรนูลมีความคงทนต่อการย่ออยด้วยเอนไซม์แอลฟาราše ไมเลสมากน้อยเพียงใดนั้นขึ้นอยู่กับสัดส่วนของโครงสร้างส่วนที่เป็นผลึกภายในสถาร์ช (Planchot และคณะ, 1997) ถ้าโครงสร้างส่วนที่เป็นผลึกเกิดการอ่อนแอจะทำให้การเข้าไปทำปฏิกิริยาของเอนไซม์แอลฟาราše ไมเลสง่ายขึ้น ซึ่งแตกต่างจากผลการศึกษาของ Kurakake และคณะ (1996) ที่ศึกษาความคงทนต่อการย่ออยด้วยเอนไซม์แอลฟาราše ไมเลสของสถาร์ชข้าวโพดที่ผ่านการดัดแปลงด้วยวิธีการให้ความร้อนชื่น พบร้าสถาร์ชข้าวโพดภายหลังการดัดแปลงร้อยละการย่อยสลายด้วยเอนไซม์แอลฟาราše ไมเลสมากกว่าสถาร์ชข้าวโพดปกติ เช่นเดียวกับผลการศึกษาของ Anderson และคณะ (2002) ที่ศึกษาความคงทนต่อการย่ออยด้วยเอนไซม์แอลฟาราše ไมเลสของสถาร์ชข้าวเจ้าและสถาร์ชข้าวเหนียวที่ผ่านการดัดแปลงด้วยวิธีการให้ความร้อนชื่นด้วยตู้อบลมร้อนและไมโครเวฟ พบร้าสถาร์ชข้าวโพดข้าวเหนียวภายหลังการดัดแปลงมีความคงทนต่อการย่ออยด้วยเอนไซม์แอลฟาราše ไมเลสลดลงในทุกสภาพที่ทำการศึกษา

ระดับความชื้นที่ใช้ในการดัดแปลงเป็นอีกปัจจัยหนึ่งที่ทำให้สถาร์ชมีความคงทนต่อการย่ออยด้วยเอนไซม์แอลฟาราše ไมเลสที่แตกต่างกัน จากการศึกษาของ Celia และคณะ (1996) ที่ศึกษาความคงทนต่อการย่ออยด้วยเอนไซม์แอลฟาราše ไมเลสของสถาร์ชข้าวโพดและสถาร์ชข้าวโพดข้าวเหนียวที่ดัดแปลงด้วยวิธีการให้ความร้อนชื่นที่อุณหภูมิ 100 องศาเซลเซียส ระยะเวลา 16 ชั่วโมง และมีการปรับความชื้นให้เป็นร้อยละ 18 24 และ 27 พบร้า สถาร์ชทั้งสอง

ชนิดที่ระดับความซึ้นในการดัดแปลร้อยละ 18 จะมีความคงทนต่อการย่ออั้ดวยเอนไซม์ แอลฟ่าอะไมเลสماกกว่าสตาร์ชปกติ ซึ่งเกิดจากการดัดแปลร้อยละ 18 ทำให้เกิดการเปลี่ยนแปลงและจัดรูปแบบใหม่ภายในแกรนูลซึ่งส่งผลทำให้โครงสร้างภายในสตาร์ชแกรนูลมีความแข็งแรงมากขึ้น ส่วนสตาร์ชที่ระดับความซึ้นในการดัดแปลร้อยละ 24 และ 27 จะมีความคงทนต่อการย่ออั้ดวยเอนไซม์และฟ้าอะไมเลสที่น้อยกว่าสตาร์ชปกติ จากการเปลี่ยนแปลงโครงสร้างภายในหลังการดัดแปลร้อยทำให้โครงสร้างภายในสตาร์ชแกรนูลอ่อนแอกว่าเดิม

2.6 การใช้ประโยชน์ของสตาร์ชที่ผ่านการดัดแปลร้อยวิธีการให้ความร้อนซึ้น

จากการศึกษาของ อโนชา และคณะ (2547) พบว่าสตาร์ชข้าวที่ผ่านการดัดแปลร้อยรังสีไมโครเวฟสามารถนำไปใช้ในการผลิตเส้นก๋วยเตี๋ยวแซ่บเยือกแข็ง โดยมีการใช้แป้งข้าวเหนียวที่ผ่านการดัดแปลร้อยเป็นส่วนผสมในเส้นก๋วยเตี๋ยวเพื่อให้ได้ผลิตภัณฑ์มีความคงตัวต่อการคีนรูปจากเยือกแข็งได้ดียิ่งขึ้น โดยแป้งข้าวเหนียวที่ผ่านการดัดแปลร้อยรังสีไมโครเวฟจะมีคุณสมบัติทางเคมีเชิงฟิสิกส์ที่เปลี่ยนแปลง โดยมีค่าอุณหภูมิเริ่มเกิดเจลาทีนในเซชันและค่าความแข็งแรงของเจลเพิ่มขึ้น และเมื่อผสมแป้งข้าวเหนียวที่ผ่านการดัดแปลร้อยแทนแป้งข้าวเจ้าในสูตรน้ำแป้ง จะทำให้คุณสมบัติความคงตัวต่อการคีนรูปจากเยือกแข็งของเส้นก๋วยเตี๋ยวดีขึ้น และเมื่อนำเส้นที่ปรับปรุงมาผลิตเป็นผัดไทยแซ่บเยือกแข็ง พบร่วมกับความชื้นและวิธีการใช้รังสีญี่ปุ่นโดยการใช้แป้งดัดแปลร้อยวิธีการให้ความร้อนร่วมกับความชื้นและวิธีการใช้รังสีญี่ปุ่น ทดสอบแป้งข้าวเจ้าพันธุ์ชัยนาท 1 พบร่วมกับความชื้นและวิธีการใช้รังสีญี่ปุ่นโดยการปรับปรุงรังสีญี่ปุ่นให้มีอุณหภูมิสูงสุดของการเกิดเจลาทีนในเซชันสูงขึ้น แต่มีค่ากำลังการพองตัวและค่าความหนืดสูงสุดลดลง ส่วนแป้งดัดแปลร้อยรังสีญี่ปุ่นโดยการปรับปรุงความชื้นของแป้งและจายรังสีญี่ปุ่น พบร่วมกับความชื้นและวิธีการให้ความร้อนร่วมกับความชื้นทำให้เส้นก๋วยเตี๋ยวพอกพาสเจอโร๊รีซซ์มีค่าแรงตัดสูงกว่าเส้นก๋วยเตี๋ยวที่ไม่ผสมแป้งดัดแปลร้อย ส่วนเส้นก๋วยเตี๋ยวที่ผสมแป้งดัดแปลร้อยรังสีญี่ปุ่นนั้น เมื่อพาสเจอโร๊รีซซ์แล้วมีค่าแรงตัดไม่แตกต่างจากเส้นก๋วยเตี๋ยวที่ผลิตจากแป้งปกติ

Miyazaki และคณะ (2005) ศึกษาผลของสตาร์ชข้าวโพดที่ผ่านการดัดแปลร้อยวิธีการให้ความร้อนต่อคุณสมบัติของโดและนมปัง พบร่วมกับการทดสอบสตาร์ชดัดแปลร้อยรังสีญี่ปุ่น 20 จะช่วยเพิ่มคุณสมบัติในการดูดซึมน้ำและความคงตัวในการผสมของโด แต่จะทำให้ความยืดหยุ่นของโดลดลงเมื่อเทียบกับสตาร์ชปกติ และปริมาตรของนมปังที่มีส่วนผสมของสตาร์ชตัดแปลร้อยจะลดลงมากกว่าสตาร์ชปกติ แต่เมื่อมีการใช้สตาร์ชดัดแปลร้อยรังสีญี่ปุ่นจะช่วยให้สตาร์ชดัดแปลร้อยรังสีญี่ปุ่นคงตัวเดิมและบริเวณขอบของนมปังจะมีคุณภาพดีขึ้น

บทที่ 3

วัตถุดิบ อุปกรณ์และวิธีการ

3.1 วัตถุดิบ

สารซึ่งข้าวเหนียวจากบริษัท กรุงเทพสถาชินดัลเทรี่ยล จำกัด ซึ่งผ่านการสกัดโปรดีนออกแล้วและมีโปรดีนไม่เกินร้อยละ 0.5

3.2 เครื่องมือและอุปกรณ์

3.2.1 เครื่องชั่งน้ำหนัก (Sartorius, BP 3100S, Germany)

3.2.2 ตู้อบลมร้อนควบคุมอุณหภูมิ (hot air oven) (WTB binder, Germany)

3.3.3 เครื่องวัดความหนืดแบบรวดเร็ว (Rapid Visco Analyzer; RVA) (Newport Scientific, Model RVA-4, Australia)

3.3.4 เครื่องเคลือบทอง (sputter coater) (Cressington, 108, England)

3.3.5 กล้องจุลทรรศน์อิเล็กตรอนแบบส่องกราด (Scanning Electron Microscopy; SEM) (Camscan, MX 2000, England)

3.3.6 เครื่องหมุนเหวี่ยง (Kendro, RC-6, Germany)

3.3.7 เครื่องวัดค่าพีเอช (standard pH meter) (PHM 210, France)

3.3.8 เครื่องกรอง (suction pump) (Eyela, Aspirator A-3S, Tokyo)

3.3.9 อ่างน้ำควบคุมอุณหภูมิ (stuart Scientific, SBS 30, USA)

3.3.10 แท่นให้ความร้อนพร้อมระบบกวนด้วยแม่เหล็ก (Type M 22111, Thailand)

3.3.11 เครื่องวัดค่าการดูดกลืนแสง (UV-visible spectrophotometer) (Spectronic Unicam, GENESYS 10 UV, USA)

3.3.12 เครื่อง Differential Scanning Calorimeter; DSC (Pyris1, USA)

3.3.13 เครื่องวัดสี (colorimeter)

3.3.14 เครื่อง X-ray Diffractometer (Bruker, D8 Advance, Germany)

3.3.15 ภาชนะสแตนเลสมีฝาปิดสนิททนความร้อน

3.3.16 ตะแกรงร่อนขนาด 50 เมช

3.3.17 ถาดอลูมิเนียมขนาด 17×20 นิ้ว

3.3.18 ถุงพลาสติกทนความร้อนขนาด 6×8 และ 12×18 นิ้ว

3.3.19 เทอร์โมมิเตอร์

- 3.3.20 ไมโครมิเตอร์
- 3.3.21 แท่งแม่เหล็กสำหรับกวน
- 3.3.22 บีกเกอร์
- 3.3.23 ปิเปต
- 3.3.24 ขวดรูปซมพู
- 3.3.25 หลอดทดลอง
- 3.3.26 แท่งแก้วกวน
- 3.3.27 กระบอกตวง
- 3.3.28 ขวดน้ำกลั้น
- 3.3.29 ขวดแก้ววัดปริมาตร (volumetric flask)
- 3.3.30 หลอดวัดค่าการดูดกลืนแสง (cuvette)
- 3.3.31 หลอดเหวี่ยง
- 3.3.32 กระดาษกรอง (whatman) เบอร์ 1
- 3.3.33 กรวยกรอง (funnel)
- 3.3.34 ที่คีบ (tongs และ forceps)
- 3.3.35 โถดูดความชื้น (desiccator)
- 3.3.36 ถ้วยอลูมิเนียมมีฝา (moisture can)
- 3.3.37 อลูมิเนียมฟอยด์
- 3.3.38 ชุดกรอง (suction flask และ buchner funnel)

3.3 สารเคมี

- 3.3.1 สารเคมีที่ใช้ในเคราะห์ปริมาณอะไมโลส
 - อัลไนโอลิสบริสุทธิ์จากมันฝรั่ง
 - เอกานอลร้อยละ 95
 - โซเดียมไฮดรอกไซด์
 - กรดแгалเชียลอะซีดิก
 - ไอโอดีน
 - بوتัลสเซียมไฮโดรเจน
- 3.3.2 สารเคมีที่ใช้ในเคราะห์ปริมาณคาร์บอไฮเดรตทั้งหมดภายหลังถูกย่อยด้วยเอนไซม์
 - โซเดียมไฮดรอกไซด์
 - โซเดียมคลอไรด์
 - โซเดียมฟอสเฟตโมโนเบสิกแอนไฮดรัส

- สตาร์ชมันฝรั่งที่ละลายนำ้ได้ (Soluble potato starch)
- โซเดียมโพแทสเซียมทาเทրต
- กรดไดอีโนโตรชาลิกไซคลิก
- น้ำตาลมอลโตスマตรฐาน
- นำ้ดีโอโอยาซ (Deionized water)
- น้ำตาลกลูโคスマตรฐาน
- ฟีโนล
- กรดซัลฟิวเริก
- เอนไซม์แอลฟ่าอะไมเลสจากตับอ่อนของสุกร (Alpha-amylase from porcine pancreatic suspension in 2.9 M NaCl solution containing 3 mM CaCl₂) (Sigma Aldrich, Germany)

3.4 วิธีการดำเนินการวิจัย

3.4.1 การผลิตสตาร์ชข้าวเหนียวด้วยวิธีการให้ความร้อนชื้น

3.4.1.1 ชั้งนำ้หนักสตาร์ชข้าวเหนียวซึ่งมีความชื้นริ่มต้นประมาณไม่เกินร้อยละ 13 (นำ้หนักแห้ง) 250 กรัม นำไปปรับความชื้นที่ระดับความชื้นต่างๆ คือร้อยละ 10 โดยการอบแห้งที่อุณหภูมิ 50 องศาเซลเซียสเป็นเวลาประมาณ 1 ชั่วโมง ร้อยละ 20 และร้อยละ 30 โดยการพ่นฝอยนำ้กลั่นลงในสตาร์ช

3.4.1.2 นำสตาร์ชที่ปรับความชื้นแล้วร่อนผ่านตะแกรงขนาด 50 เมช และเก็บในถุงปิดสนิทนาน 2 ชั่วโมง เพื่อปรับสภาพให้ความชื้นกระจายอย่างสม่ำเสมอ จากนั้นบรรจุสตาร์ชในภาชนะแสดงผลที่ปิดสนิทและทนความร้อน

3.4.1.3 นำสตาร์ชเข้าอบในเต้อบลมร้อนที่อุณหภูมิ 100 และ 120 องศาเซลเซียส เป็นเวลา 1 และ 4 ชั่วโมงตามลำดับ (แสดงดังตารางที่ 1)

3.4.1.4 เมื่อครบเวลาที่กำหนดนำสตาร์ชดัดแปรที่ได้มาเทและเกลี่ยลงบนถาดอลูมิเนียมที่รองด้วยพลาสติกทนความร้อน ผึ่งที่อุณหภูมิห้องจนสตาร์ชมีความชื้นไม่เกินร้อยละ 13 จากนั้นนำไปบดและร่อนผ่านตะแกรงขนาด 50 เมช และเก็บในภาชนะปิดสนิทเพื่อเตรียมนำไปวิเคราะห์คุณสมบัติของสตาร์ชดัดแปรต่อไป

ตารางที่ 1 สภาพการดัดแปลงสตาร์ชข้าวเหนียวที่ระดับความชื้น อุณหภูมิ และระยะเวลาการให้ความร้อนต่างๆ

ตัวอย่าง	ความชื้น (ร้อยละ)	อุณหภูมิการให้ความร้อน (องศาเซลเซียส)	ระยะเวลาการให้ความร้อน (ชั่วโมง)
1 (native starch)	-	-	-
2	10	100	1
3	10	100	4
4	10	120	1
5	10	120	4
6	20	100	1
7	20	100	4
8	20	120	1
9	20	120	4
10	30	100	1
11	30	100	4
12	30	120	1
13	30	120	4

3.4.2 การตรวจสอบคุณสมบัติของสตาร์ชข้าวเหนียวดัดแปลงวิธีการให้ความร้อนชั้นสตาร์ชแต่ละตัวอย่างจะผ่านการตรวจสอบและวิเคราะห์คุณสมบัติ (รายละเอียดแสดงไว้ในภาคผนวก ก) ดังต่อไปนี้

3.4.2.1 ลักษณะปราการทางสัณฐานโดยใช้ Scanning Electron Microscopy (SEM) (Walker, 1976)

3.4.2.2 ปริมาณความชื้น โดยวิธีการอบแห้ง (AOAC, 1990)

3.4.2.3 สี โดยใช้ Colorimeter (Nollet, 1996) เพื่อตรวจสอบการเปลี่ยนสีของสตาร์ชหลังการดัดแปลง

3.4.2.4 การพองตัวและการละลาย (Leach et al., 1959)

3.4.2.5 ความใส (Craig et al., 1989)

3.4.2.6 การเปลี่ยนแปลงความหนืด โดยใช้ Rapid Visco Analyzer (RVA) (Newport Scientific Pty, Ltd., 1995)

3.4.2.7 การเปลี่ยนแปลงเชิงความร้อน โดยใช้ Differential Scanning Calorimeter (DSC) (Perdon, 1999)

3.4.2.8 โครงสร้างภายใน โดยใช้ X-ray Diffraction (Shi and Seib, 1992)

ปริมาณอะไมโลส (Juliano, 1971)

3.4.2.9 ความคงตัวต่อการย่อยด้วยเอนไซม์ (susceptibility to enzyme digestion) (Dubois et al., 1956)

3.4.3 การวางแผนการทดลองและวิเคราะห์ข้อมูลทางสถิติ

วิเคราะห์ผลของความชื้น (ร้อยละ 10, 20 และ 30) อุณหภูมิ (100 และ 120 องศา เชลเซียส) ระยะเวลา (1 และ 4 ชั่วโมง) ที่ใช้ในการตัดแปรสตราชข้าวเหนียวต่อคุณสมบัติทางเคมีกายภาพของสตราชข้าวที่ผ่านการตัดแปรเบรี่ยบเทียบกับสตราชที่ไม่ผ่านการตัดแปร โดยการวางแผนการทดลองแบบ $3 \times 2 \times 2 + 1$ Augmented Factorial Design วิเคราะห์ความแตกต่างด้วยวิธี Least Significant Difference (LSD) ที่ระดับความเชื่อมั่นร้อยละ 95 วิเคราะห์ผลโดยใช้โปรแกรมสำเร็จรูป SAS รุ่น 8.1 (SAS Institute, NC, USA)

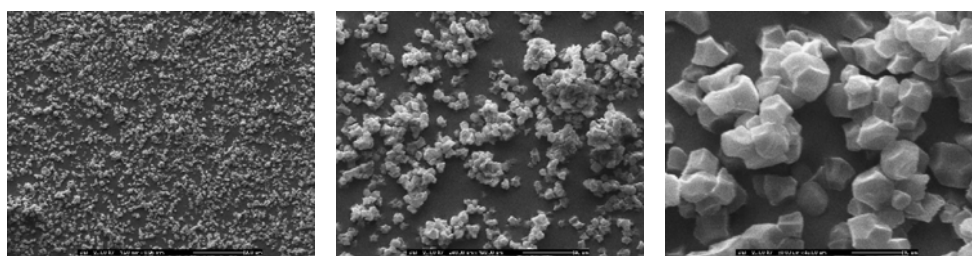
ศึกษาผลของปัจจัยต่างๆ ได้แก่ ความชื้น (ร้อยละ 10, 20 และ 30) อุณหภูมิ (100 และ 120 องศาเชลเซียส) ระยะเวลา (1 และ 4 ชั่วโมง) ที่ใช้ในการตัดแปรสตราชข้าวเหนียวต่อคุณสมบัติทางเคมีกายภาพของสตราชข้าวที่ผ่านการตัดแปร โดยการวางแผนการทดลองแบบ $3 \times 2 \times 2$ Factorial Design วิเคราะห์ความแตกต่างด้วยวิธี Least Significant Difference (LSD) ที่ระดับความเชื่อมั่นร้อยละ 95 วิเคราะห์ผลโดยใช้โปรแกรมสำเร็จรูป SAS รุ่น 8.1 (SAS Institute, NC, USA)

บทที่ 4

ผลการทดลองและวิจารณ์

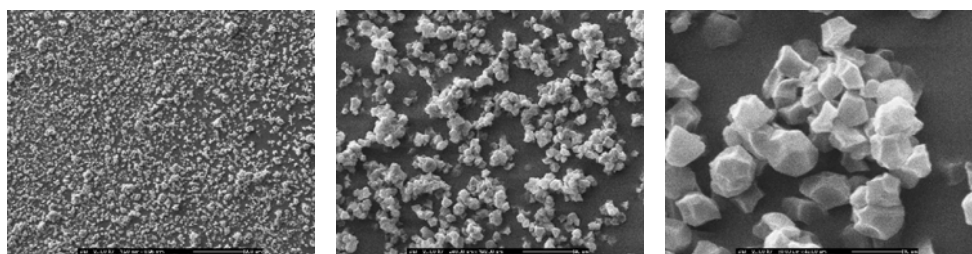
4.1 ผลของการดัดแปลงสตาร์ชข้าวเหนียวด้วยวิธีการให้ความร้อนชั้นต่อลักษณะ ปรากฏทางสัณฐานโดยใช้กล้องจุลทรรศน์อิเล็กตรอนแบบส่องกราด Scanning Electron Microscopy (SEM)

สตาร์ชข้าวเหนียวที่ไม่ผ่านการดัดแปลงมีลักษณะรูปร่างของสตาร์ชแกรนูลเป็นมุกหลายเหลี่ยมที่มีผิวน้ำเรียบและมีขนาดเล็กใหญ่แตกต่างกันไป ขนาดเส้นผ่านศูนย์กลางของแกรนูลอยู่ในช่วง 3-9 ไมครอน แกรนูลมีการเกาะรวมกันไม่มากนัก ดังภาพที่ 4-1

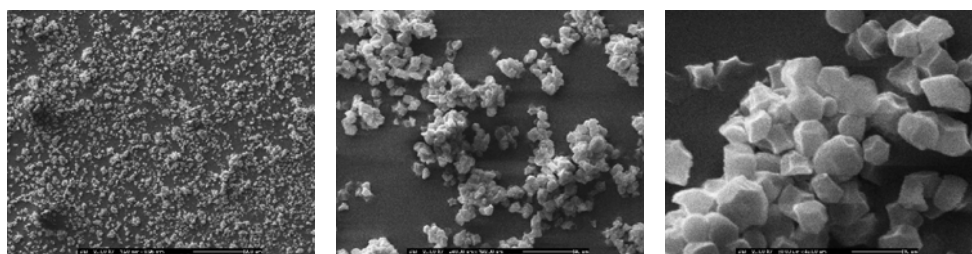


ภาพที่ 4-1 ลักษณะทางสัณฐานของสตาร์ชข้าวเหนียวที่ไม่ผ่านการดัดแปลงที่กำลังขยาย 100, 500 และ 2000 เท่า ตามลำดับ

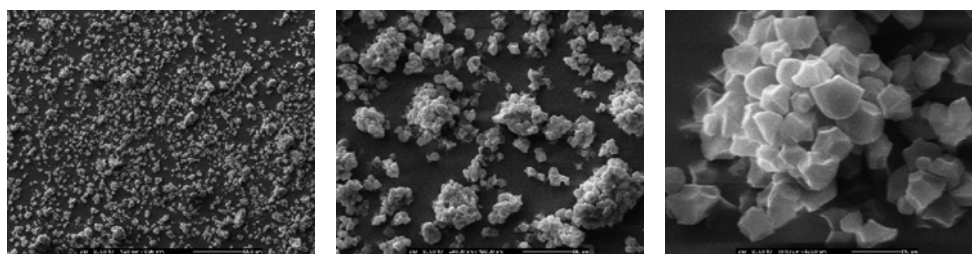
การดัดแปลงสตาร์ชข้าวเหนียวในทุกสภาพที่ทำการศึกษา ยกเว้นการดัดแปลงที่สภาพ 30-120-4 ไม่พบการเปลี่ยนแปลงทั้งขนาดและรูปร่างของสตาร์ชแกรนูล โดยแกรนูลยังคงมีผิวน้ำเรียบและไม่พบความเสียหายที่ผิวน้ำของแกรนูล ดังภาพที่ 4-2 ถึง 4-11 แต่การดัดแปลงสตาร์ชข้าวเหนียวในสภาพที่สูงขึ้น พบว่าสตาร์ชแกรนูลมีการเชื่อมติดกันเป็นกลุ่มก้อนมากขึ้นจากการที่สตาร์ชบางส่วนเกิดเจลอาทิในเซซัน โดยพบการเกาะรวมกลุ่มกันอย่างเห็นได้ชัดเมื่อมีการดัดแปลงสตาร์ชที่ระดับความชื้นร้อยละ 30 ดังภาพที่ 4-13 ซึ่งความชื้นหรือน้ำมีคุณสมบัติเป็นพลาสติกเซอร์ในการเกิดกลาสทรานชิชัน โดยเกิดการเปลี่ยนสถานะจากของแข็งคล้ายแก้วเป็นของแข็งคล้ายยางในการเกิดเจลอาทิในเซซัน



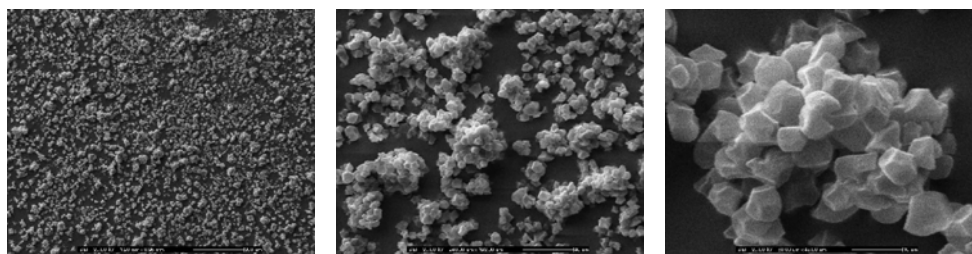
ภาพที่ 4-2 ลักษณะทางสัณฐานของสตาร์ชข้าวเหนียวที่ผ่านการดัดแปลงที่สภาวะ 10-100-1 ที่กำลังขยาย 100, 500 และ 2000 เท่า ตามลำดับ



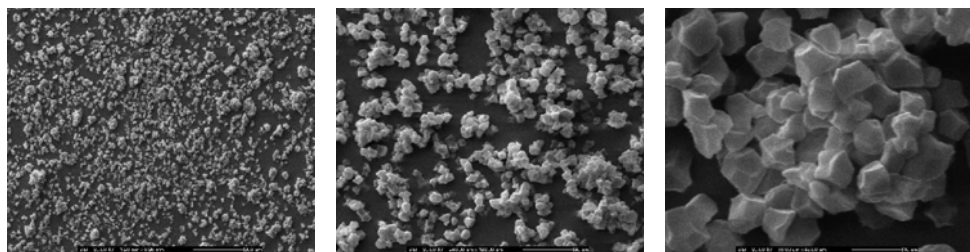
ภาพที่ 4-3 ลักษณะทางสัณฐานของสตาร์ชข้าวเหนียวที่ผ่านการดัดแปลงที่สภาวะ 10-100-4 ที่กำลังขยาย 100, 500 และ 2000 เท่า ตามลำดับ



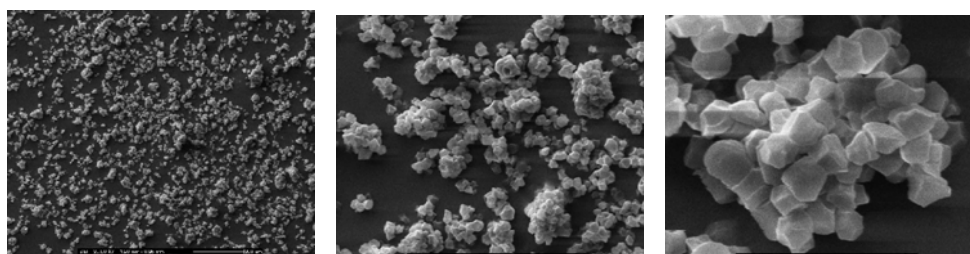
ภาพที่ 4-4 ลักษณะทางสัณฐานของสตาร์ชข้าวเหนียวที่ผ่านการดัดแปลงที่สภาวะ 10-120-1 ที่กำลังขยาย 100, 500 และ 2000 เท่า ตามลำดับ



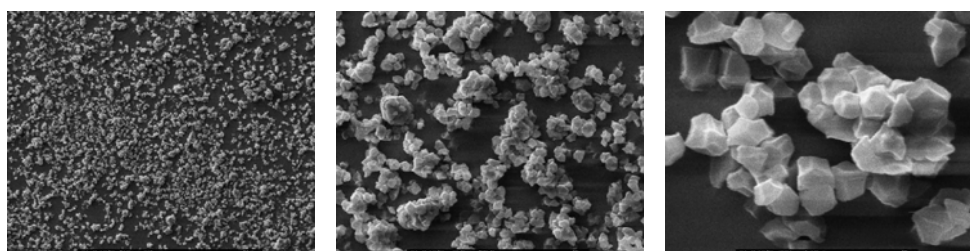
ภาพที่ 4-5 ลักษณะทางสัณฐานของสตาร์ชข้าวเหนียวที่ผ่านการดัดแปลงที่สภาวะ 10-120-4 ที่กำลังขยาย 100, 500 และ 2000 เท่า ตามลำดับ



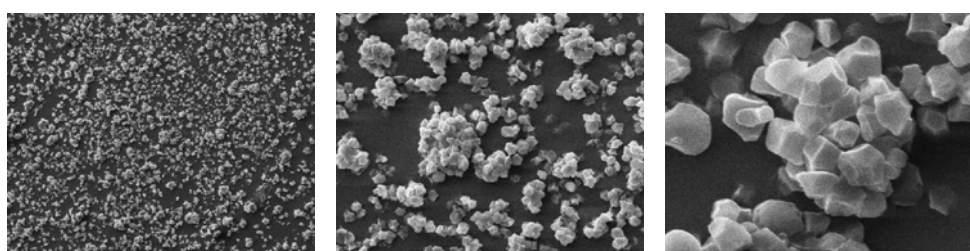
ภาพที่ 4-6 ลักษณะทางสัณฐานของสตาร์ชข้าวเหนียวที่ผ่านการดัดแปรที่สภาวะ 20-100-1 ที่
กำลังขยาย 100, 500 และ 2000 เท่า ตามลำดับ



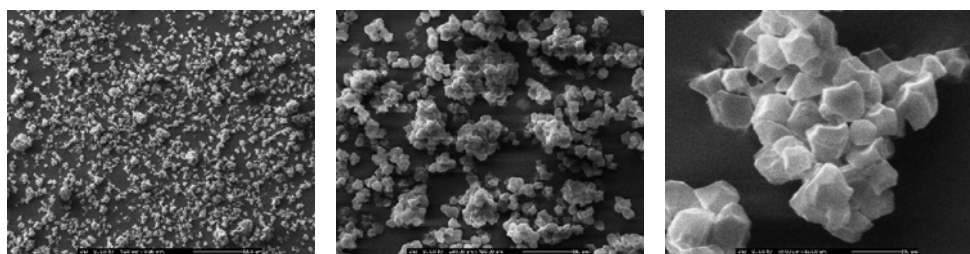
ภาพที่ 4-7 ลักษณะทางสัณฐานของสตาร์ชข้าวเหนียวที่ผ่านการดัดแปรที่สภาวะ 20-100-4 ที่
กำลังขยาย 100, 500 และ 2000 เท่า ตามลำดับ



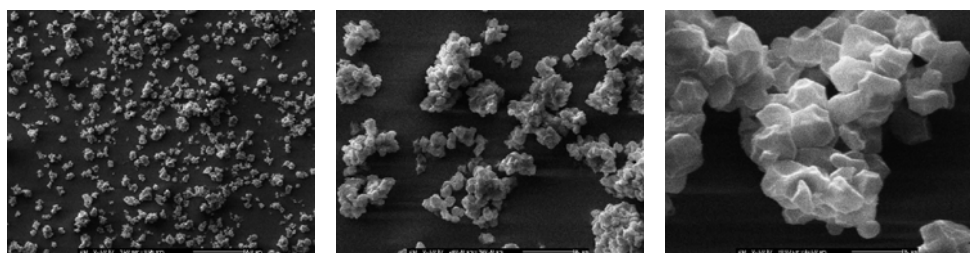
ภาพที่ 4-8 ลักษณะทางสัณฐานของสตาร์ชข้าวเหนียวที่ผ่านการดัดแปรที่สภาวะ 20-120-1 ที่
กำลังขยาย 100, 500 และ 2000 เท่า ตามลำดับ



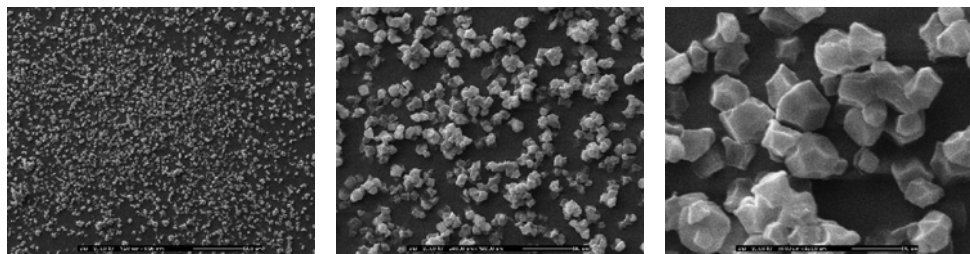
ภาพที่ 4-9 ลักษณะทางสัณฐานของสตาร์ชข้าวเหนียวที่ผ่านการดัดแปรที่สภาวะ 20-120-4 ที่
กำลังขยาย 100, 500 และ 2000 เท่า ตามลำดับ



ภาพที่ 4-10 ลักษณะทางสัณฐานของสาร์ช้าวเหนียวที่ผ่านการตัดแปรที่สภาวะ 30-100-1 ที่
กำลังขยาย 100, 500 และ 2000 เท่า ตามลำดับ



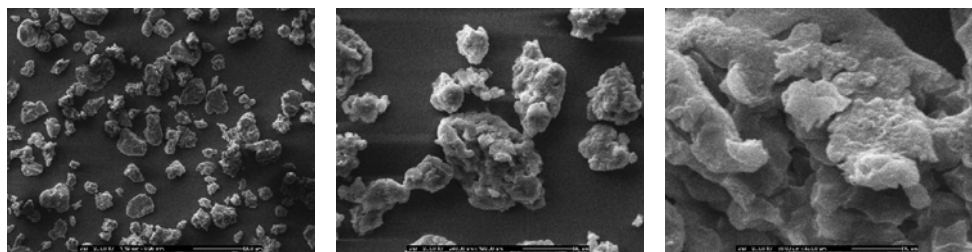
ภาพที่ 4-11 ลักษณะทางสัณฐานของสาร์ช้าวเหนียวที่ผ่านการตัดแปรที่สภาวะ 30-100-4 ที่
กำลังขยาย 100, 500 และ 2000 เท่า ตามลำดับ



ภาพที่ 4-12 ลักษณะทางสัณฐานของสาร์ช้าวเหนียวที่ผ่านการตัดแปรที่สภาวะ 30-120-1 ที่
กำลังขยาย 100, 500 และ 2000 เท่า ตามลำดับ

ผลการทดลองที่ได้สอดคล้องกับ พินทิพย์ (2547) และ Anderson และคณะ (2006) ที่ไม่พบการเปลี่ยนแปลงขนาดและรูปร่างของแป้งข้าวเจ้าและแป้งข้าวเหนียว และสาร์ช้าวเจ้าและสาร์ช้าวเหนียวที่ดัดแปรด้วยวิธีการให้ความร้อนซึ่น และการดัดแปรด้วยวิธีการให้ความร้อนซึ่นไม่มีผลกับการเปลี่ยนแปลงขนาดและรูปร่างของสาร์ช้าวโพด สาร์ช้าวโพดข้าวเหนียว สาร์ช้อว์โนโลเมชี (Hoover และคณะ, 1996; Sair, 1967) สาร์ชั่ว (Adebawale และคณะ, 2003) สาร์ชมันสำปะหลัง (Abraham, 1993; Gunaratne และคณะ, 2002) สาร์ช้าวสาลี (Kulp และคณะ, 1981) สาร์ชทรุแยก สาร์ชาโร่ สาร์ชนิวโกโกแยก และสาร์ชมันฝรั่ง (Gunaratne และคณะ, 2002)

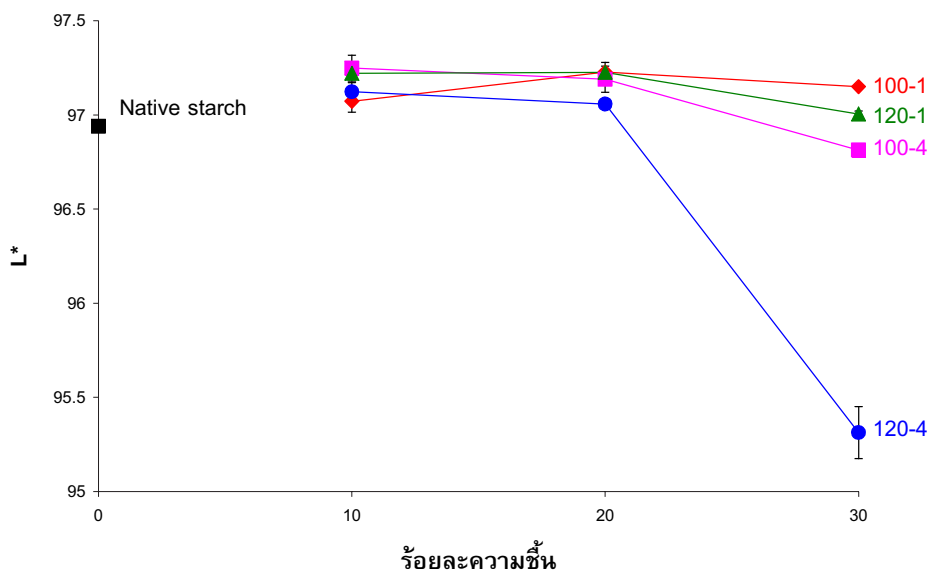
การดัดแปรสตาร์ชข้าวเหนียวที่สภาวะ 30-120-4 พบรการเปลี่ยนแปลงขนาดและรูปร่างของแกรนูลเป็นอย่างมาก ดังภาพที่ 4-13 โดยพบว่าแกรนูลเกิดการเชื่อมติดกันเป็นกลุ่มก้อนขนาดใหญ่และเกิดการสูญเสียรูปร่างของแกรนูลเดิม ไม่สามารถดูดขนาดเส้นผ่านศูนย์กลางของแกรนูลได้ ซึ่งเป็นผลมาจากการดัดแปรสตาร์ชในสภาวะที่รุนแรง โดยความร้อนและความชื้นเป็นปัจจัยสำคัญที่ทำให้สตาร์ชเกิดการเปลี่ยนแปลงของกลาสทรานซิชัน ซึ่งมีคุณสมบัติในการเป็นพลาสติกเซอร์ทีดี ทำให้สตาร์ชเกิดการเปลี่ยนสถานะจากของแข็งคล้ายแก้วเป็นของแข็งคล้ายยางหรือการเกิดเจลอาทิในเซ้น โดยน้ำจะเป็นตัวหล่อลินและแทรกซึมเข้าไปในโครงสร้างภายในสตาร์ชแกรนูลและเข้าไปจับกับพันธะไฮโดรเจนภายในโมเลกุลสตาร์ชแกรนูล ส่วนความร้อนจะทำให้โมเลกุลเกิดการสั่นสะเทือนและเกิดการเคลื่อนที่ของโมเลกุลต่างๆ ได้ดีขึ้น และความร้อนยังทำลายพันธะไฮโดรเจนภายในโมเลกุลสตาร์ช ทำให้โมเลกุลของน้ำเข้าไปทำปฏิกิริยาได้เต็มที่ ทำให้สตาร์ชเกิดการพองตัวและเกิดเจล แกรนูลจึงเกิดการหลอมรวมตัวกันเป็นกลุ่มก้อนขนาดใหญ่ซึ่งเห็นได้อย่างชัดเจนเมื่อส่องด้วยกล้องจุลทรรศน์อิเล็กตรอนแบบส่องกราด



ภาพที่ 4-13 ลักษณะทางสัณฐานของสตาร์ชข้าวเหนียวที่ผ่านการดัดแปรที่สภาวะ 30-120-4 ที่กำลังขยาย 100, 500 และ 2000 เท่า ตามลำดับ

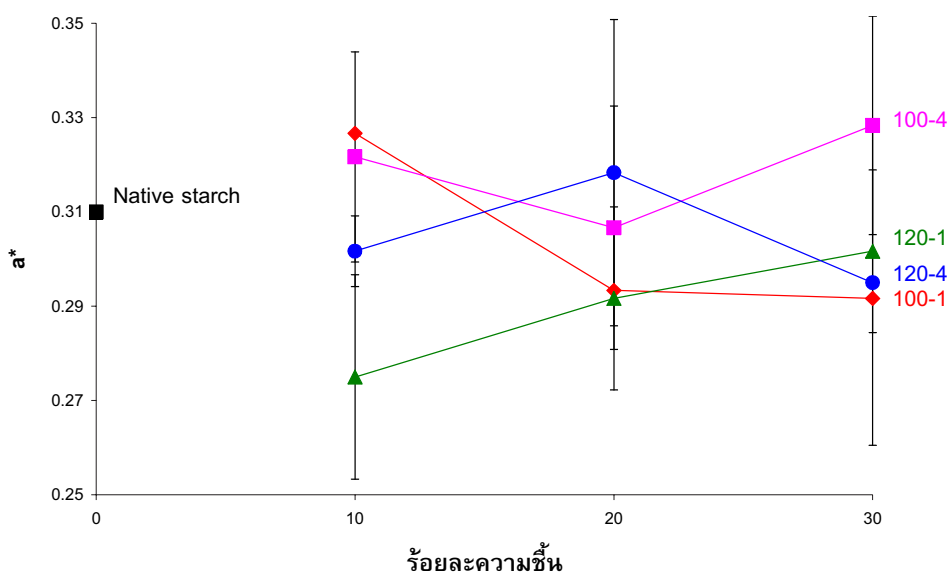
4.2 ผลของการตัดแปรสตาร์ชข้าวเหนียวด้วยวิธีการให้ความร้อนชั้นต่อการเปลี่ยนแปลงสี

การตัดแปรสตาร์ชข้าวเหนียวด้วยวิธีการให้ความร้อนชั้นส่งผลให้ค่าสี L^* , a^* และ b^* ของสตาร์ชข้าวเหนียวเปลี่ยนแปลงดังตารางผนวกที่ ข-2 และแนวโน้มการเปลี่ยนแปลงค่าสีของสตาร์ชข้าวเหนียวดังภาพที่ 4-14 ถึง 4-16

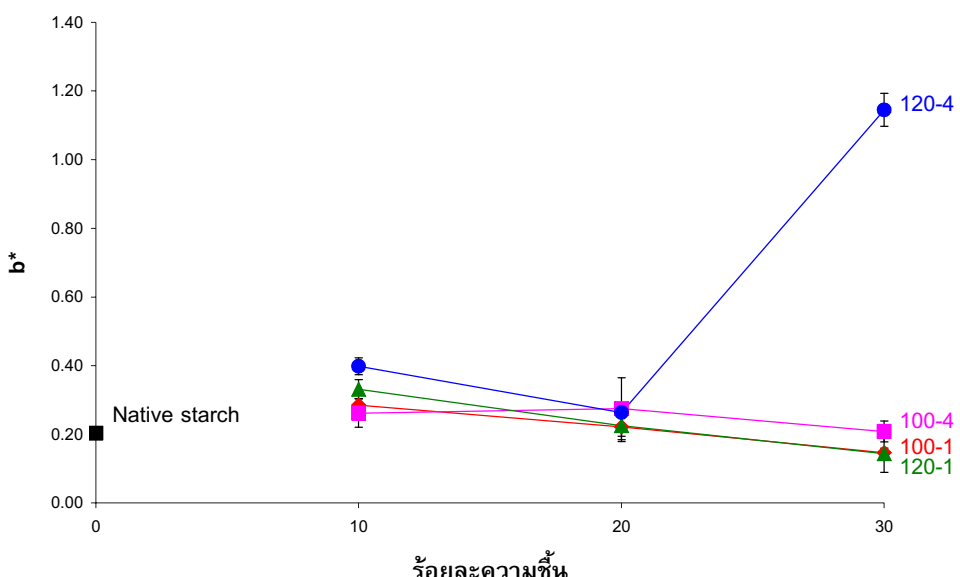


ภาพที่ 4-14 ค่าสี L^* ของสตาร์ชข้าวเหนียวที่ผ่านการตัดแปรที่ระดับความชื้นร้อยละ 10, 20 และ 30 และสตาร์ชข้าวเหนียวที่ไม่ผ่านการตัดแปร (Native starch)

ค่า L^* เป็นค่าที่ใช้บอกรายงานส่วนของสตาร์ช โดยพบว่าการตัดแปรสตาร์ชส่งผลให้ค่าความส่วนของสตาร์ชข้าวเหนียวมีแนวโน้มเพิ่มขึ้นมากกว่าสตาร์ชข้าวเหนียวที่ไม่ผ่านการตัดแปรยกเว้นการตัดแปรที่สภาวะ 30-100-4 และ 30-120-4 ที่มีค่าความส่วนลดลง ส่วนค่า a^* เป็นค่าที่ใช้บอกรายงานเป็นสีแดงหรือสีเขียวของสตาร์ช โดยค่า a^* ที่เป็นค่าบวกจะใช้บอกรายงานเป็นสีแดง และค่า a^* ที่เป็นค่าลบจะใช้บอกรายงานเป็นสีเขียวของตัวอย่าง จากการตัดแปรสตาร์ชข้าวเหนียวพบว่าสตาร์ชข้าวเหนียวก่อนการตัดแปรมีค่า a^* เป็นค่าบวก และสตาร์ชที่ผ่านการตัดแปรจะมีค่า a^* ที่ไม่แตกต่างจากสตาร์ชข้าวเหนียวที่ไม่ผ่านการตัดแปร ดังตารางผนวกที่ ข-2 และภาพที่ 4-15



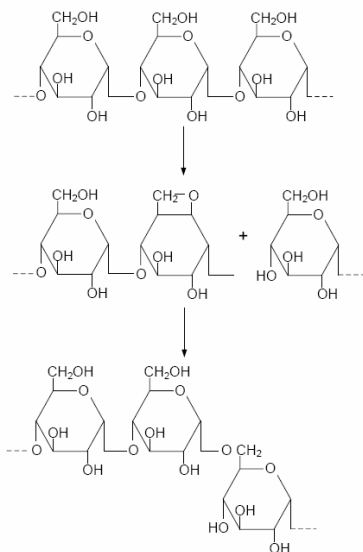
ภาพที่ 4-15 ค่าสี a^* ของสารช้ำเหนียวที่ผ่านการดัดแปลงที่ระดับความชื้นร้อยละ 10, 20 และ 30 และสารช้ำเหนียวที่ไม่ผ่านการดัดแปลง (Native starch)



ภาพที่ 4-16 ค่าสี b^* ของสารช้ำเหนียวที่ผ่านการดัดแปลงที่ระดับความชื้นร้อยละ 10, 20 และ 30 และสารช้ำเหนียวที่ไม่ผ่านการดัดแปลง (Native starch)

ค่าสี b^* เป็นค่าที่ใช้บอกความเป็นสีเหลืองหรือสีน้ำเงินของตัวอย่าง โดยค่า b^* ที่เป็นค่าบวกจะบอกความเป็นสีเหลืองและค่า b^* ที่เป็นค่าลบจะบอกความเป็นสีน้ำเงินของตัวอย่าง ส塔าร์ชข้าวเหนียวที่ผ่านการดัดแปรจะมีค่า b^* ที่เพิ่มขึ้นซึ่งแสดงความเป็นสีเหลืองมากขึ้น ดังตารางผนวกที่ ข-2 และภาพที่ 4-16 ซึ่งให้ผลการศึกษาเช่นเดียวกับ บ. และคณ., 1994 ที่พบการเปลี่ยนแปลงของแป้งข้าวที่มีสีเหลืองมากขึ้นภายหลังการดัดแปรด้วยวิธีการให้ความร้อนซึ่งและการศึกษาของ พิณพิพิพย์ (2547) ที่พบการเปลี่ยนแปลงของค่า b^* ในแป้งข้าวเหนียวมีแนวโน้มมากขึ้นแสดงว่าแป้งข้าวเป็นสีเหลืองเข้มมากขึ้น

การเกิดปฏิกิริยาสีน้ำตาลของสตาร์ชข้าวเหนียวที่ผ่านการดัดแปรด้วยวิธีการให้ความร้อนซึ่นอาจเกิดจากปฏิกิริยาไฟโรไอลซิส (pyrolysis) ซึ่งเป็นปฏิกิริยาการเกิดสีน้ำตาลแบบไม่ใช้ออนไซม์ (non-enzymatic browning) จากการให้ความร้อนที่อุณหภูมิสูง (dry heat) โดยตรงกับการโบไไซเดรตโดยเฉพาะที่มีองค์ประกอบของ D-glucose เช่นสตาร์ช โดยจะทำให้เกิดการเปลี่ยนแปลงโครงสร้างภายในสตาร์ช เกิดการทำลายพันธะ α -D-(1 \rightarrow 4)-glycosidic พร้อมกับการสร้างพันธะไกลโคลซิดขึ้นมาใหม่ เช่นพันธะ α -D-(1 \rightarrow 6), β -D-(1 \rightarrow 6) เป็นต้น ดังภาพที่ 4-17 เป็นการแตกสลายพันธะโดยความร้อน เกิดเป็นวงแหวนที่เรียกว่า anhydro ring ชนิด 1,6-anhydro ซึ่งเป็นสารตัวกลางในการทำให้เกิดการเปลี่ยนแปลงเป็นสารที่มีพันธะคู่ภายในวงแหวน (Whistler และคณ., 1985) ซึ่งพันธะคู่ภายในโครงสร้างจะสามารถถูกดูดซับแสงและทำให้เกิดสีขึ้น

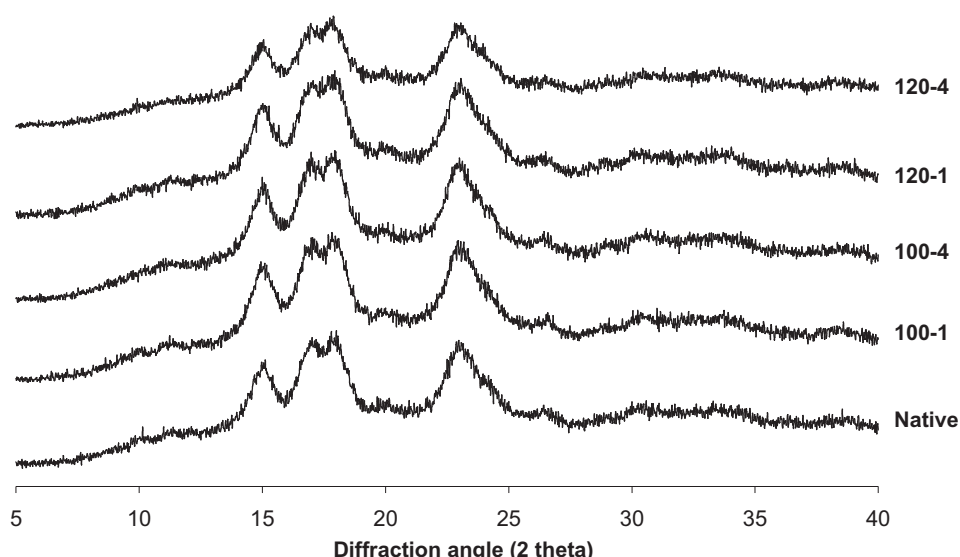


ภาพที่ 4-17 ตัวอย่างกลไกการเกิดปฏิกิริยาไฟโรไอลซิส (pyrolysis)
ที่มา : Horton (1965)

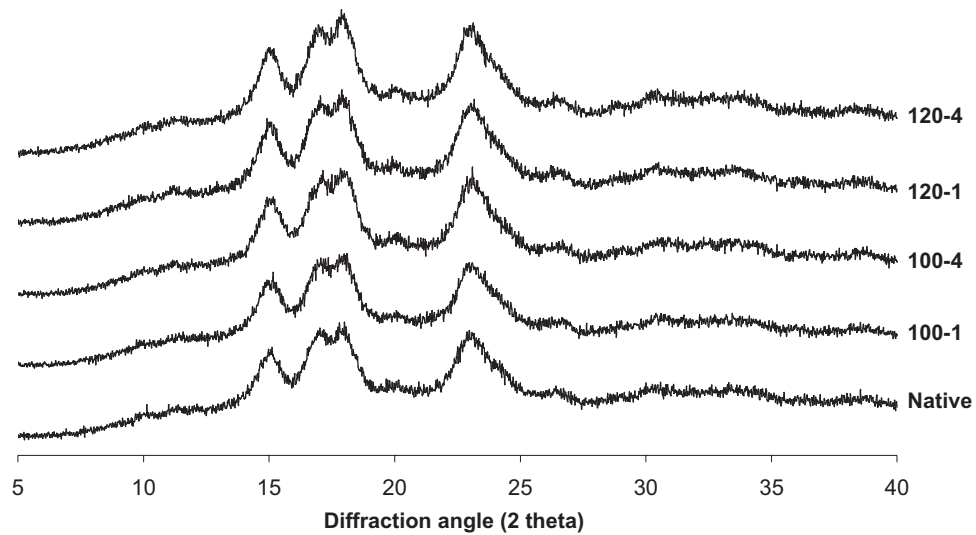
การเกิดปฏิกิริยาไฟโรไลซิสของสารซ้ำโพดและสารชมันฟรั่ง (Horton, 1989) ได้ผลิตภัณฑ์เป็น Furan, 2-Furaldehyde, 2,5-Dimethylfuran โดยผลิตภัณฑ์ตั้งต้นเป็น 1,6-anhydro- β -D-glucopyranose และเกิดการเปลี่ยนรูป (isomerization) เป็นรูปแบบฟิวราโนส (Furanose) ซึ่งเกิดการเปลี่ยนแปลงรูปแบบได้อีกเมื่อมีปัจจัยอื่น เช่น เมื่อมีการสูญเสียน้ำและฟอร์มัลดีไฮด์ (Formaldehyde) จะให้ผลิตภัณฑ์เป็น 2-furaldehyde และเมื่อมีการสูญเสียคาร์บอนมอนออกไซด์จะให้ผลิตภัณฑ์เป็นฟูราน (Furan)

4.3 ผลของการดัดแปลงสตาร์ชข้าวเหนียวด้วยวิธีการให้ความร้อนชั้นต่อการเปลี่ยนแปลงโครงสร้างผลึก

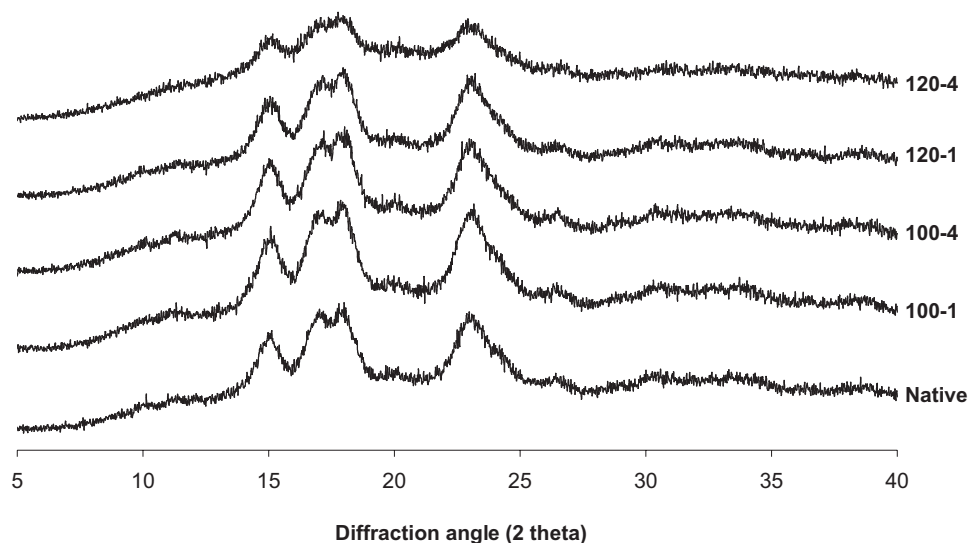
สตาร์ชข้าวเหนียวที่ไม่ผ่านการดัดแปลง (Native starch) เมื่อผ่านการวิเคราะห์รูปแบบการเลี้ยวเบนของรังสีเอกซ์และความเป็นผลึกด้วยเครื่องเอกซ์เรย์ดิฟแฟร์กโตมิเตอร์ (X-ray diffractometer) พบว่าสตาร์ชมีรูปแบบผลึกเป็นแบบเอโดยจะปรากฏพีคหลักที่ตำแหน่ง 2θ เท่ากับ 15 องศา จำนวน 1 พีค ตำแหน่ง 2θ เท่ากับ 17-18 องศาจำนวน 2 พีคเชื่อมตอกัน และที่ตำแหน่ง 2θ เท่ากับ 23 องศา จำนวน 1 พีค ซึ่งเป็นรูปแบบโครงสร้างผลึกแบบเอและเป็นแบบที่พบมากที่สุดในสตาร์ชบลูนพีช (Buleon และคณะ, 1998) และเมื่อดัดแปลงสตาร์ชข้าวเหนียวด้วยวิธีการให้ความร้อนชั้นในทุกสภาวะที่ศึกษา พบว่าสตาร์ชข้าวเหนียว yang คงรักษารูปแบบโครงสร้างผลึกแบบเอ ไม่มีการเปลี่ยนแปลงรูปแบบผลึก โดยจะปรากฏพีคที่ตำแหน่งเดิมทั้ง 3 พีคดังภาพที่ 4-18 ถึง 4-20 แต่สตาร์ชดัดแปลงมีการเปลี่ยนแปลงพีคของดิฟแฟร์กโตแกรม โดยการดัดแปลงบางสภาวะ เช่น ที่สภาวะ 10-120-4 และ 30-120-4 จะมีความหนาแน่นของพีคลดลง และจุดสูงสุดของพีคลดลง



ภาพที่ 4-18 รูปแบบการเลี้ยวเบนของรังสีเอกซ์ของสตาร์ชข้าวเหนียวที่ผ่านการดัดแปลงที่ความชื้นร้อยละ 10 และสตาร์ชข้าวเหนียวที่ไม่ผ่านการดัดแปลง (Native starch)

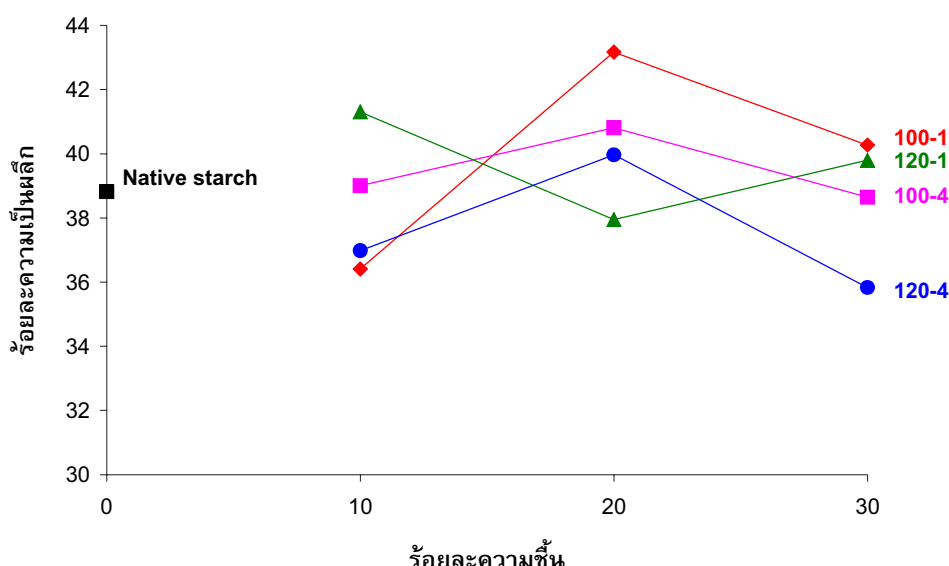


ภาพที่ 4-19 รูปแบบการเลี้ยวเบนของรังสีเอกซ์ของสารช้าวนียาที่ผ่านการดัดแปลงที่ความชื้นร้อยละ 20 และสารช้าวนียาที่ไม่ผ่านการดัดแปลง (Native starch)



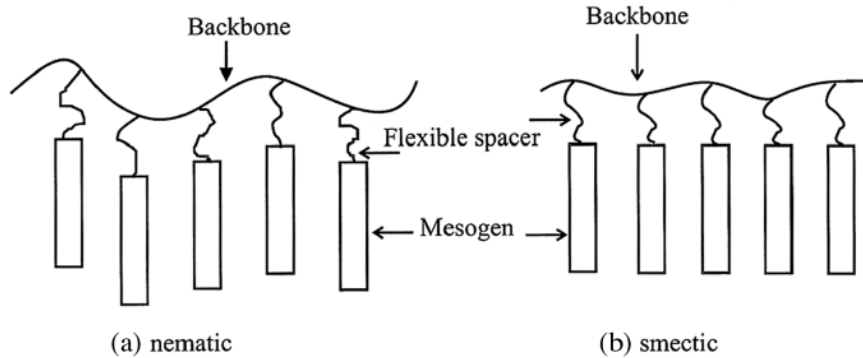
ภาพที่ 4-20 รูปแบบการเลี้ยวเบนของรังสีเอกซ์ของสารช้าวนียาที่ผ่านการดัดแปลงที่ความชื้นร้อยละ 30 และสารช้าวนียาที่ไม่ผ่านการดัดแปลง (Native starch)

เมื่อวิเคราะห์ร้อยละความเป็นผลึกของสารช้าเหนียวที่ผ่านและไม่ผ่านการดัดแปลงว่าสารช้าเหนียวที่ผ่านการดัดแปลงส่วนใหญ่จะมีร้อยละความเป็นผลึกเพิ่มขึ้น ดังตาราง ผนวกที่ ข-1 และเมื่อนำมาพล็อตกราฟความสัมพันธ์ระหว่างร้อยละความชื้นและร้อยละความเป็นผลึกให้ผลดังภาพที่ 4-21 โดยสารช้าเหนียวที่ผ่านการดัดแปลงที่สภาวะ 20-100-1 มีร้อยละความเป็นผลึกมากที่สุด และการดัดแปลงที่สภาวะ 30-120-4 มีร้อยละความเป็นผลึกน้อยที่สุด



ภาพที่ 4-21 ร้อยละความเป็นผลึกของสารช้าเหนียวที่ผ่านการดัดแปลงที่ระดับความชื้นร้อยละ 10, 20 และ 30 และสารช้าเหนียวที่ไม่ผ่านการดัดแปลง (Native starch)

การเปลี่ยนแปลงของความหนาแน่นของพีคและร้อยละความเป็นผลึกที่ลดลงหรือเพิ่มขึ้นนั้น เป็นผลมาจากการดัดแปลงสารช้าทำให้เกิดการเปลี่ยนแปลงโครงสร้างภายในส่วนอะไมโลส และอะไมโลเพกตินซึ่งเป็นส่วนสำคัญที่ทำให้เกิดโครงสร้างผลึกของสารช้า โดยโมเลกุลอะไมโลเพกตินจะเป็นส่วนที่แข็งเปรียบได้กับส่วน Mesogen และมีเชิงของโมเลกุลอะไมโลเพกตินที่ติดกับส่วนแบนโบที่ยืดหยุ่นได้ที่เรียกว่า flexible spacers โดยโซ่อ้างของโมเลกุลอะไมโลเพกตินสามารถรวมตัวกับโมเลกุลอื่นๆ โดยเกิดการพักกันเป็นเกลียวคู่เกิดเป็นโครงสร้างผลึก เมื่อเกิดการเปลี่ยนแปลงของส่วนที่ยืดหยุ่นได้ (flexible spacers) เช่น ไม่เกิดความยืดหยุ่นหรือมีขนาดสั้นเกินไปจะทำให้เกิดการเปลี่ยนแปลงโครงสร้างจากรูปแบบที่เป็นระเบียบคือ smetic ไปเป็นรูปแบบที่ไม่เป็นระเบียบคือ nematic ดังภาพที่ 4-22 ซึ่งโครงสร้างแบบ smetic เป็นโครงสร้างที่อยู่ในส่วนลาเมลารของพีช (Eliasson, 2004)



ภาพที่ 4-22 แบบจำลองโครงสร้างสายโซ่ในส่วนผลึกของสตาร์ช (a) แสดงโครงสร้างที่ไม่เป็นระเบียบในส่วน nematic (nematic phase) และ (b) แสดงโครงสร้างในส่วน smetic (smetic phase)

ที่มา : Eliasson (2004)

การดัดแปรสตาร์ชทำให้การเปลี่ยนแปลงของสายโซ่อะไมโลเพกตินภายในสตาร์ซซึ่งส่งผลให้การรวมตัวเป็นโครงสร้างผลึกเกิดการเปลี่ยนแปลง สตาร์ชดัดแปรที่มีร้อยละความเป็นผลึกที่เพิ่มขึ้น (10-100-4, 10-120-1, 20-100-1, 20-100-4, 20-120-4, 30-100-1 และ 30-120-4) เนื่องจากการดัดแปรไม่ได้ทำให้เกิดการลดจำนวนของเกลียวคู่ในอะโนะไมโลเพกตินแต่ยังทำให้เกิดการรวมตัวกันของเกลียวคูมากขึ้น ส่งผลให้เกิดการจัดเรียงตัวเป็นโครงสร้างผลึกมีความสมบูรณ์มากขึ้น (Eliasson, 2004) จากการศึกษาของ Tester และคณะ (2000) พบว่า การดัดแปรสตาร์ชด้วยการให้ความร้อนชื้นส่งผลให้โซ่อังของอะโนะไมโลเพกตินในส่วน lameola เกิดการเชื่อมต่อกันมากขึ้นจึงทำให้เกลียวคูมีความยาวเฉลี่ยมากขึ้นและยังทำให้ผลึกในส่วนที่ไม่สมบูรณ์มีความสมบูรณ์มากยิ่งขึ้น

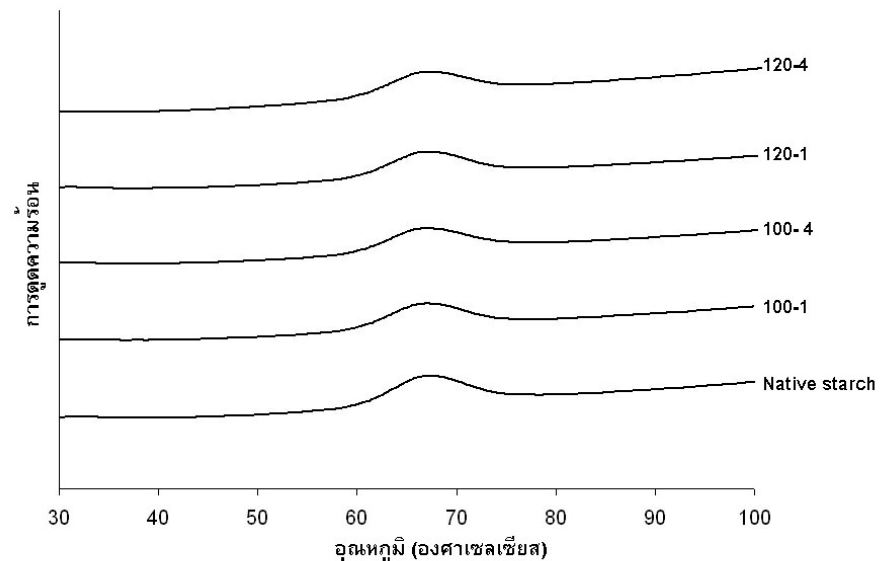
น้ำเป็นปัจจัยสำคัญในการทำให้เกิดการเปลี่ยนแปลงโครงสร้างภายในผลึก เนื่องจากน้ำมีคุณสมบัติในการเป็นพลาสติกizer (plasticizer) ช่วยลดอุณหภูมิในการเกิดglas transition (t_g) สตาร์ชที่แห้งปราศจากน้ำจะมีผลทำให้ส่วนที่ยืดหยุ่นได้ (flexible spacer) ของอะโนะไมโลเพกตินมีความยืดหยุ่นลดลง เกลียวคูไม่เกิดการเชื่อมต่อกันและทำให้เกิดการเปลี่ยนแปลงรูปแบบเป็น nematic phase ส่วนสตาร์ชที่มีปริมาณน้ำภายในจะทำให้โซ่อังของอะโนะไมโลเพกตินเกิดการเชื่อมต่อกันและรวมตัวกันเป็นเกลียวคู น้ำเป็นตัวทำละลายที่ดีในการที่จะผ่านเข้าไปในแก้วนุลซึ่งมีผลทำให้เกิดการเปลี่ยนแปลงรูปแบบจากที่ไม่เป็นระเบียบคือ nematic phase ให้เป็นรูปแบบที่มีความเป็นระเบียบคือ smetic phase หากมีความสมบูรณ์มากขึ้น

ดังเช่นในการดัดแปลงสตาร์ชความซึ้นและความร้อนที่สูงมาก ทำให้เกิดการแยกตัวกันของเกลียวคู่ระหว่างสายของอะไมโลเพกตินกับแบคโบัน (backbone) และเกิดการเคลื่อนที่ได้ ทำให้เกิดการจัดเรียงตัวใหม่เป็นผลึกที่มีความสมบูรณ์มากกว่าเดิม (Vermeylen และคณะ, 2006)

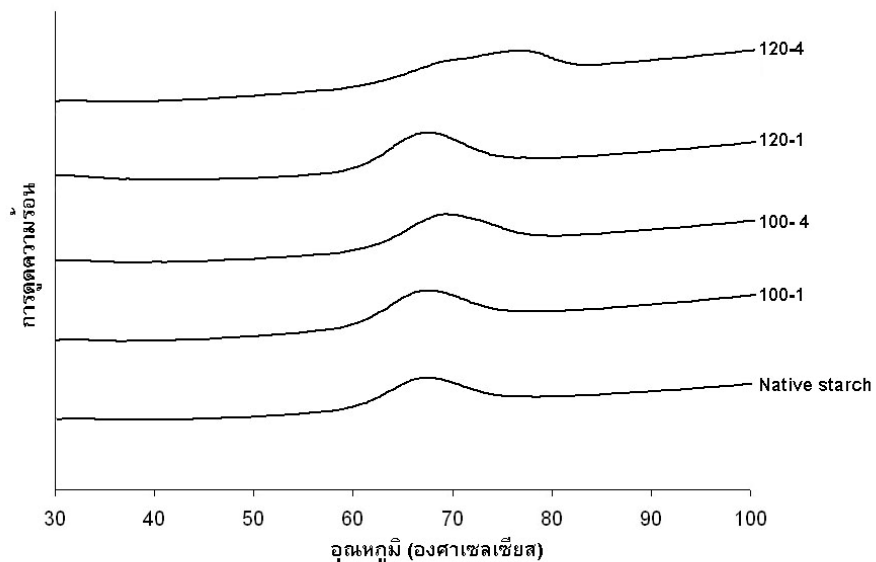
สตาร์ชดัดแปลงที่มีค่าร้อยละความเป็นผลึกลดลง (10-100-1, 10-120-4, 20-120-1, 30-100-4 และ 30-120-4) อาจเกิดจากความซึ้นหรือความร้อนที่มากเกินพอในการดัดแปลงทำลายความเป็นผลึกของสตาร์ช (Takaya และคณะ, 2000) โดยโครงสร้างอะไมโลเพกตินถูกทำให้แตกสลายไปด้วยความร้อนในระหว่างการดัดแปลง ทำให้โมเลกุลขนาดใหญ่ของอะไมโลเพกตินมีจำนวนลดลงและเกิดโมเลกุลขนาดเล็กของอะไมโลเพกตินเพิ่มขึ้น ซึ่งส่วนอะไมโลเพกตินที่ถูกทำให้แตกสลายนั้นเป็นสายโซ่ต่อง้านอก หรือสายเอของโครงสร้าง (Lu และคณะ, 1996) ความร้อนทำให้โมเลกุลเกิดการสั่นและเคลื่อนที่ทำให้ความแข็งแรงของพันธะในการจับกันของโมเลกุลลดลง และน้ำจะทำลายความเป็นระเบียบของอะไมโลเพกติน (Adebawale และคณะ, 2005) ใน การดัดแปลงสตาร์ชข้าวเหนียวที่สภาวะ 30-120-4 พบการเปลี่ยนแปลงร้อยละความเป็นผลึกที่ลดลงและมีการเปลี่ยนแปลงรูปแบบของพีค โดยมีความหนาแน่นของพีคลดลงและมีการเชื่อมตอกันของพีคที่ตำแหน่ง 20 เท่ากับ 17-18 องศา มากขึ้น (ดังภาพที่ 4-21) ซึ่งเป็นผลมาจากการดัดแปลงสตาร์ชที่สภาวะนี้เป็นสภาวะที่มีความซึ้นและความร้อนสูงที่สุดในการดัดแปลง ทำให้สตาร์ชเกิดการเปลี่ยนแปลงของกลาสทรานชิชัน โดยการเปลี่ยนสถานะจากของแข็งคล้ายแก้วเป็นของแข็งคล้ายยางหรือการเกิดเจลาทีไนเซชันบางส่วน ทำให้ความเป็นผลึกของสตาร์ชลดลง รูปแบบการเลี้ยวเบนของรังสีเอกซ์ซึ่งเปลี่ยนแปลงไปด้วย

4.4 ผลของการดัดแปลงสตาร์ชข้าวเหนียวด้วยวิธีการให้ความร้อนชึ้นต่อการเกิดเจลาติในเชื้ันเมื่อวิเคราะห์ด้วยเครื่อง Differential Scanning Calorimeter (DSC)

เมื่อสตาร์ชถูกให้ความร้อนที่มีนำปริมาณที่มากพอ เมื่อวิเคราะห์ด้วยเครื่อง Differential Scanning Calorimetry จะพบการเปลี่ยนแปลงของเอนโดเทอร์มเป็นรูปแบบการดูดความร้อนซึ่งแสดงถึงการหลอมละลายในส่วนผลึกของสตาร์ช โดยสตาร์ชข้าวเหนียวที่ผ่านการดัดแปลงรูปแบบเอนโดเทอร์มดังภาพที่ 4-23 ถึง 4-25

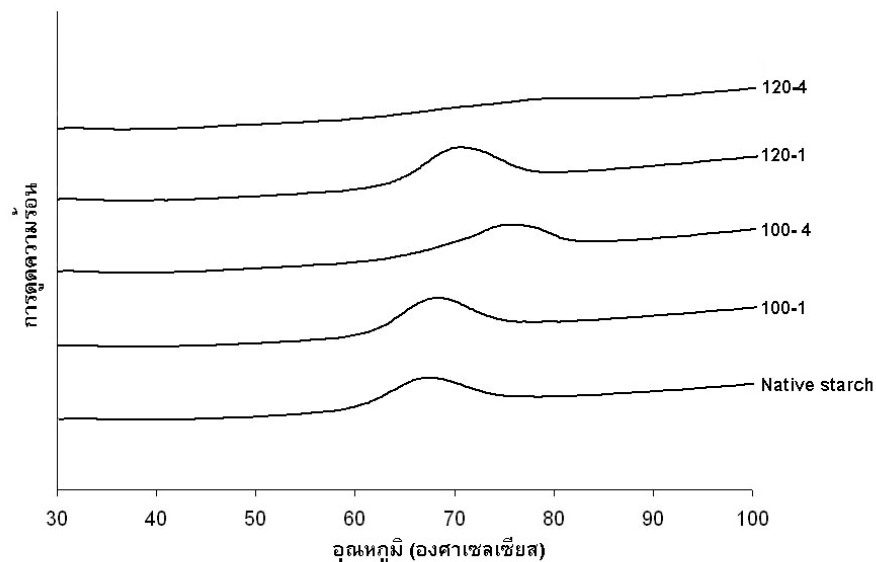


ภาพที่ 4-23 รูปแบบการเกิดเจลาติในเชื้ันจากการวิเคราะห์ด้วยเครื่อง DSC ของสตาร์ชข้าวเหนียวที่ผ่านการดัดแปลงที่ระดับความชื้นร้อยละ 10 และสตาร์ชข้าวเหนียวที่ไม่ผ่านการดัดแปลง (Native starch)



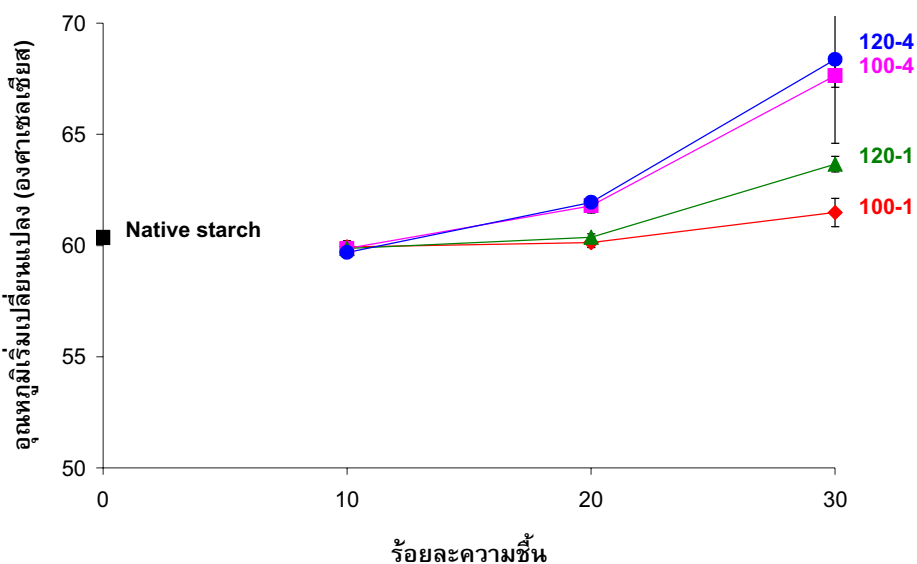
ภาพที่ 4-24 รูปแบบการเกิดเจลาติไนเซชันจากการวิเคราะห์ด้วยเครื่อง DSC ของสตาร์ชข้าวเหนียวที่ผ่านการดัดแปลงที่ระดับความชื้นร้อยละ 20 และสตาร์ชข้าวเหนียวที่ไม่ผ่านการดัดแปลง (Native starch)

รูปแบบเดอนโดเทอร์มของสตาร์ชข้าวเหนียวที่ผ่านการดัดแปลงและไม่ผ่านการดัดแปลงมีรูปแบบเป็นพีคเดี่ยว ในการดัดแปลงที่ระดับความชื้นร้อยละ 20 และ 30 จะพบความเปลี่ยนแปลงของเส้นกราฟโดยมีการเปลี่ยนตำแหน่งของพีค และพบว่าในการดัดแปลงที่สภาวะ 30-120-4 เส้นกราฟมีลักษณะของพีคที่หายไปดังภาพที่ 4-25 ซึ่งให้ผลเช่นเดียวกับ Lu และคณะ (1996) ที่พบการเปลี่ยนแปลงของพีคที่หายไปของสตาร์ชข้าวเจ้าและสตาร์ชข้าวเหนียวที่ผ่านการดัดแปลงด้วยวิธีการให้ความร้อนชื้น ซึ่งแสดงให้เห็นว่าผลลัพธ์ของสตาร์ชข้าวเหนียวถูกทำลายได้โดยง่ายเมื่อมีการดัดแปลงที่ความร้อนสูง



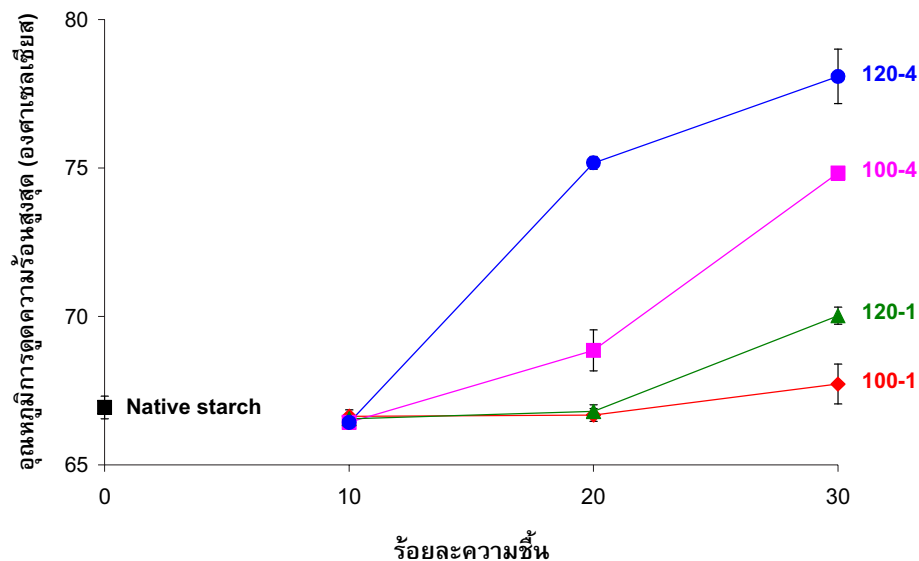
ภาพที่ 4-25 รูปแบบการเกิดเจลาตินเซ็นจากการวิเคราะห์ด้วยเครื่อง DSC ของสารช้ำาเหนียวที่ผ่านการดัดแปรที่ระดับความชื้นร้อยละ 30 และสารช้ำาเหนียวที่ไม่ผ่านการดัดแปร (Native starch)

จากราฟเอนโดเทอร์มของสารช้ำาที่ได้ทำให้ทราบว่าการดัดแปรสารช้ำาเหนียวส่งผลให้ค่า อุณหภูมิเริ่มเปลี่ยนแปลง (T_0) อุณหภูมิการลดความร้อนสูงสุด (T_p) และอุณหภูมิสุดท้าย (T_c) มีแนวโน้มที่สูงขึ้นเมื่อมีการดัดแปรที่ระดับความชื้นร้อยละ 20 และ 30 จากภาพที่ 4-26 ถึง 4-28 และตารางผนวกที่ ข-3 โดยพบว่าสารช้ำาเหนียวที่ผ่านการดัดแปรที่ระดับความชื้นร้อยละ 30 จะมีการเปลี่ยนแปลงของค่า T_0 , T_p และ T_c ที่สูงขึ้นมากกว่าที่สภาวะอื่นๆ ซึ่งเป็นผลจาก การดัดแปรสารช้ำาทำให้เกิดการจัดเรียงตัวใหม่ในส่วนของไมโลสและอะไมโลเพกตินภายใน แกนูลสารช้ำาทั้งในส่วนผลึกและส่วนอสัณฐานของสารช้ำา โดยการดัดแปรที่ใช้ความร้อนสูงร่วมกับการเติมน้ำทำให้เกิดการหลอมละลายของส่วนอสัณฐานและส่วนผลึกที่ไม่สมบูรณ์หรือ การเกิดเจลาตินเซ็น เกลี่ยวคู่ภายใต้โครงสร้างผลึกเกิดการแตกสลายและเกิดการแยกตัวออก จากกัน ส่วนอสัณฐานเกิดการพองตัวและส่วนผลึกที่เหลือเกิดความเครียดส่งผลให้เกิดการจัดเรียงตัวใหม่ของผลึกที่มีความสมบูรณ์มากยิ่งขึ้น และอาจเกิดจากการดัดแปรส่งผลให้เกิดการเกะกะเกี่ยวกันระหว่างอะไมโลส ซึ่งกีดขวางการเคลื่อนที่ภายในส่วนของอสัณฐาน จึงทำให้ต้องใช้อุณหภูมิสูงขึ้นเพื่อให้ส่วนอสัณฐานเกิดการพองตัวและเกิดการทำลายโครงสร้างผลึกได้ (Hoover และคณะ, 1996)

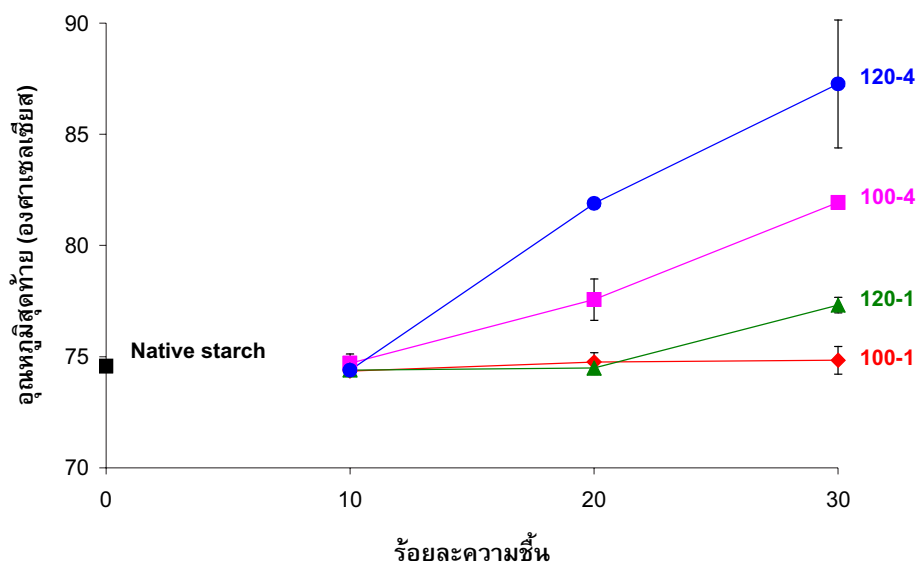


ภาพที่ 4-26 อุณหภูมิเริ่มเปลี่ยนแปลง (T_g) ของสตาร์ชข้าวเหนียวที่ผ่านการดัดแปลปรีระดับความชื้นร้อยละ 10, 20 และ 30 และสตาร์ชข้าวเหนียวที่ไม่ผ่านการดัดแปลปรีระดับ (Native starch)

ความแตกต่างกันของอุณหภูมิในการเกิดเจลาตินในเชื้นของสตาร์ช เกิดจากปัจจัย 3 อย่างคือ (1) โครงสร้างโมเลกุลในส่วนของไบโอลอเพกติน ได้แก่ความยาวของสายโซ่ และจำนวนกิ่งของอะไบโอลอเพกติน (2) ส่วนประกอบของสตาร์ช คือสัดส่วนของอะไบโอลสต์ต่ออะไบโอลอเพกติน ปริมาณการเกิดสารประกอบเชิงซ้อนกับลิปิด สายโซ่อะไบโอลส และปริมาณฟอฟอรัส (3) รูปแบบของแกรนูลสตาร์ช ซึ่งได้แก่สัดส่วนของส่วนผลึกและส่วนอสัณฐาน (Gunaratne และคณะ, 2002)

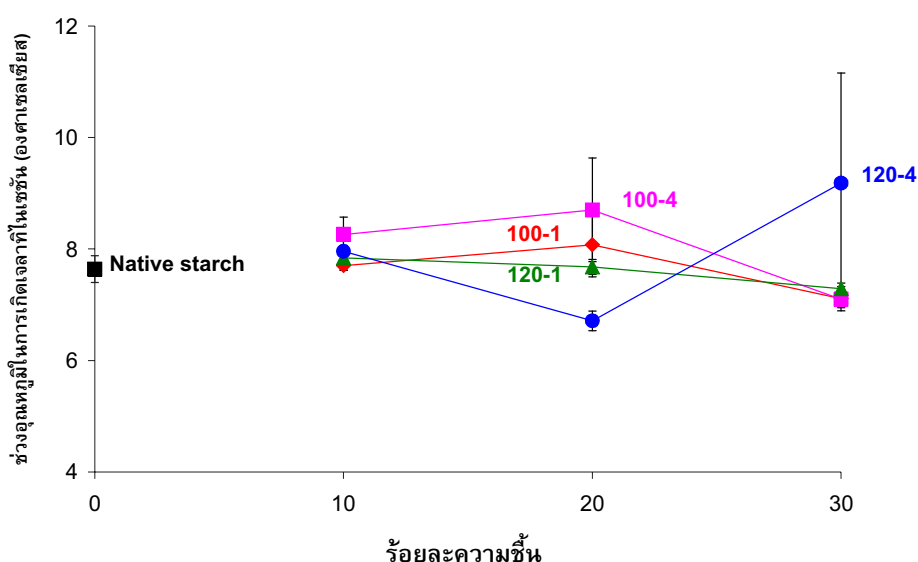


ภาพที่ 4-27 อุณหภูมิการดูดความร้อนสูงสุด (T_p) ของสตาร์ชข้าวเหนียวที่ผ่านการดัดแปลปรักีระตับความชื้นร้อยละ 10, 20 และ 30 และสตาร์ชข้าวเหนียวที่ไม่ผ่านการดัดแปลปรักีระ (Native starch)

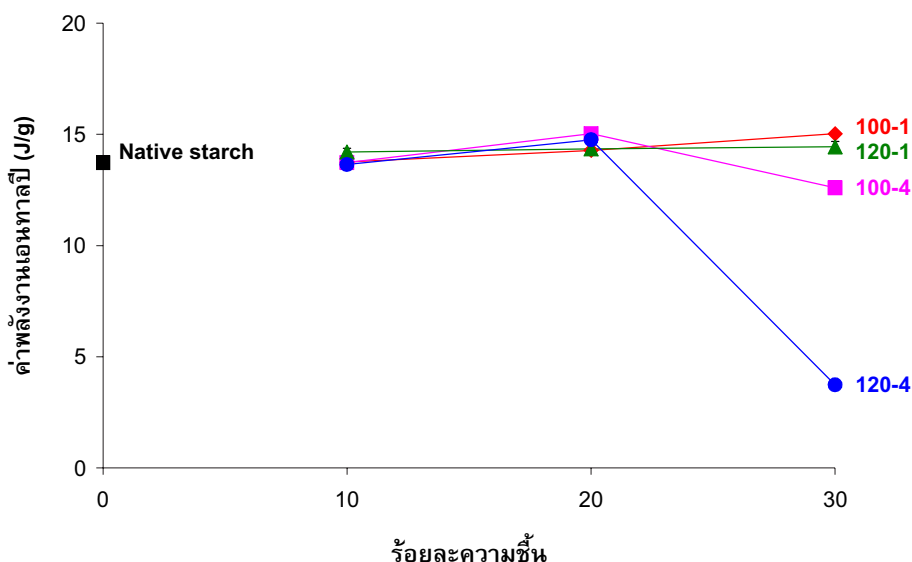


ภาพที่ 4-28 อุณหภูมิสุดท้าย (T_c) ของสตาร์ชข้าวเหนียวที่ผ่านการดัดแปลปรักีระตับความชื้นร้อยละ 10, 20 และ 30 และสตาร์ชข้าวเหนียวที่ไม่ผ่านการดัดแปลปรักีระ (Native starch)

ช่วงอุณหภูมิในการเกิดเจลาทีไนเซชัน ($T_c - T_0$) ของสาร์ซข้าวเหนียวที่ผ่านการดัดแปลงเมื่อความแตกต่างจากสาร์ซข้าวเหนียวที่ไม่ผ่านการดัดแปลงต่างระหว่าง α -3 และ α -29 ซึ่งให้ผลการศึกษาเช่นเดียวกับ Hoover และคณะ (1996) ที่ไม่พบการเปลี่ยนแปลงของช่วงอุณหภูมิในการเกิดเจลาทีไนเซชันของสาร์ซข้าวโพดข้าวเหนียวในบางสภาวะของการดัดแปลงสาร์ซด้วยวิธีการให้ความร้อนชื้น โดยให้เหตุผลว่าการดัดแปลงทำให้เกิดอันตรกิริยาของสายอะไมโลเพกตินแต่ไม่มีผลต่อการเกิดผลึกใหม่ ส่วนการดัดแปลงสาร์ซข้าวเหนียวที่สภาวะ 20-100-4 และ 30-120-4 มีช่วงอุณหภูมิในการเกิดเจลาทีไนเซชันสูงขึ้น จากเป็นผลมาจากการเคลื่อนที่หรือการจัดเรียงตัวใหม่ของโมเลกุลในส่วนโซลูชันในระหว่างการดัดแปลงทำให้เกิดโครงสร้างผลึกใหม่ หรือเกิดการจัดเรียงตัวใหม่ของผลึกเดิม และเกิดโครงสร้างผลึกขนาดเล็กที่มีความสมบูรณ์ขึ้น ภายใต้แรงโน้มถ่วง (Donovan และคณะ, 1983) ซึ่งให้ผลเช่นเดียวกับ Perera และคณะ (1997) ที่พบว่าช่วงของอุณหภูมิในการเกิดเจลาทีไนเซชันของสาร์ซมันฟรังที่ผ่านการดัดแปลงด้วยวิธีการให้ความร้อนชื้นมีค่ากว้างขึ้น เนื่องจากต้องทำลายโครงสร้างผลึกจากการเกะเกี่ยวกันของสายโมเลกุลระหว่างอะไมโลสกับอะไมโลส และ/หรือระหว่างอะไมโลสกับอะไมโลเพกติน ซึ่งทั้งสองส่วนนี้มีเสถียรภาพต่างกัน



ภาพที่ 4-29 ช่วงอุณหภูมิในการเกิดเจลาทีไนเซชัน ($T_c - T_0$) ของสาร์ซข้าวเหนียวที่ผ่านการดัดแปลงที่ระดับความซึ้นร้อยละ 10, 20 และ 30 และสาร์ซข้าวเหนียวที่ไม่ผ่านการดัดแปลง (Native starch)



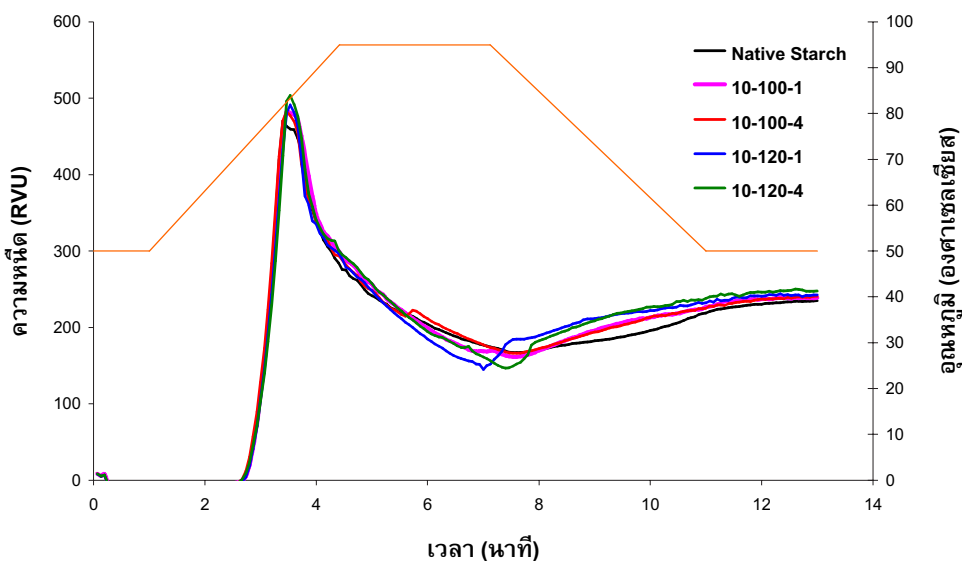
ภาพที่ 4-30 พลังงานเอนทอลปี (ΔH) ของสตาร์ชข้าวเหนียวที่ผ่านการดัดแปรที่ระดับความซึ้งร้อยละ 10, 20 และ 30 และสตาร์ชข้าวเหนียวที่ไม่ผ่านการดัดแปร (Native starch)

พลังงานเอนทอลปี (ΔH) เป็นพลังงานที่ใช้ในการสลายโครงสร้างผลึกในการเกิดเจลาทีนเซชัน โดยค่าเอนทอลปีสตาร์ชข้าวเหนียวที่ผ่านการดัดแปรที่ระดับความซึ้งร้อยละ 10 ไม่แตกต่างจากสตาร์ชข้าวเหนียวที่ไม่ผ่านการดัดแปร ดังตารางผนวกที่ ข-3 และภาพที่ 4-30 ซึ่งให้ผลเช่นเดียวกับ Hoover และคณะ (1996) ที่ไม่พบการเปลี่ยนแปลงของค่าเอนทอลปีของสตาร์ชข้าวโพดและสตาร์ชข้าวโพดข้าวเหนียวที่ผ่านการดัดแปรด้วยวิธีการให้ความร้อนชื้น ซึ่งเกิดจากสายเกลียวคู่ในส่วนของโมเลกุลไม่เกิดการเสื่อมสลายและไม่ถูกทำลายภายในสภาวะในการดัดแปร ถึงแม้ว่าการดัดแปรที่สภาวะ 10-100-4 และ 10-120-1 ซึ่งเมื่อวิเคราะห์โดยการใช้เทคนิคการเลี้ยวเบนของรังสีเอกซ์พบว่าสตาร์ชที่ผ่านการดัดแปรทั้งสองสภาวะนี้มีร้อยละความเป็นผลึกที่มากกว่าสตาร์ชที่ไม่ผ่านการดัดแปร อาจเป็นผลมาจากการดัดแปรที่สภาวะนี้ส่งผลให้เกิดการจัดเรียงตัวใหม่ของโมเลกุลอะไมโนเลกุลินและเกิดโครงสร้างของผลึกใหม่มากขึ้น แต่ผลึกที่เกิดขึ้นใหม่นี้เป็นผลึกที่ไม่สมบูรณ์และถูกหลอมละลายได้เมื่อรูมตัวกับน้ำและความร้อนที่ใช้ในการวิเคราะห์ด้วยเครื่อง Differential scanning calorimetry (DSC) ส่วนการดัดแปรที่ระดับความซึ้งร้อยละ 20 และ 30 ส่งผลให้ค่าพลังงานเอนทอลปี (ΔH) มีค่าสูงขึ้น อาจเป็นผลมาจากการดัดแปรสตาร์ชส่งผลให้เกิดการจัดเรียงตัวใหม่ของโครงสร้างส่วนอะไมโนเลกุลินเกิดเป็นโครงสร้างผลึกที่มีจำนวนมากกว่าเดิม และการดัดแปรยังส่งผลให้โครงสร้างผลึกมีความแข็งแรงสมบูรณ์มากขึ้น ส่วนการดัดแปรที่สภาวะ 30-120-4 พบว่ามีค่าเอนทอลปีที่ลดลง

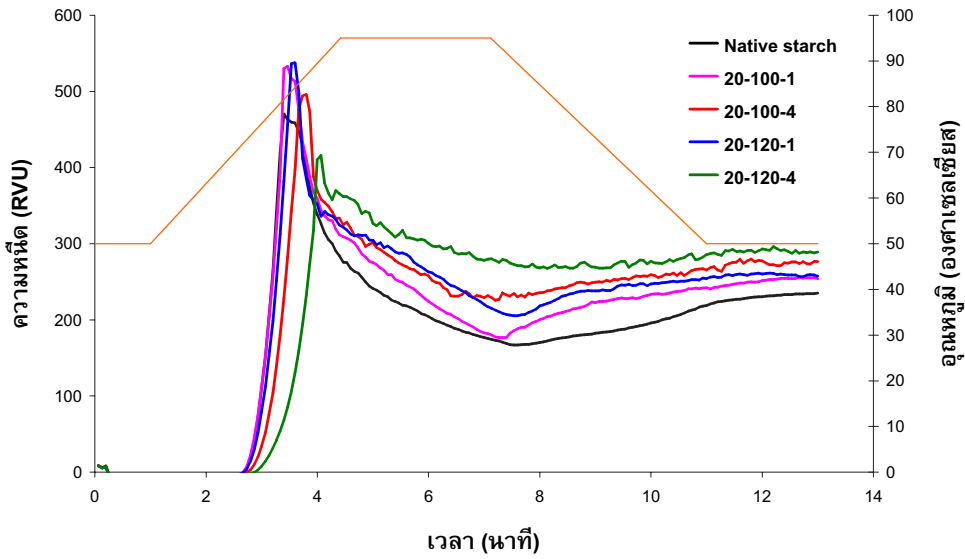
เป็นอย่างมาก ซึ่งเป็นผลมาจากการดัดแปรที่สภาวะนี้ทำให้สตาร์ชเกิดเจลาติไนเซชันบางส่วน (partial gelatinization) โครงสร้างในส่วนผลึกที่ไม่สมบูรณ์และส่วนอัณฑูจันถูกทำลายในระหว่างการดัดแปร จึงทำให้มีจำนวนผลึกลดลงซึ่งสังเกตได้จากการวิเคราะห์ด้วยวิธีการเลือยวนของรังสีเอกซ์ โดยพบว่าการดัดแปรที่สภาวะนี้ส่งผลให้ค่าร้อยละความเป็นผลิกมีค่าลดลงเป็นอย่างมาก (ตารางผนวก ข-1) และการดัดแปรสตาร์ชทำให้เกิดการสูญเสียโครงสร้างผลึกจากการเปลี่ยนแปลงของเกลียวคู่ในส่วนที่เป็นผลึกและส่วนที่ไม่เป็นผลึกโดยเกลียวคู่อาจเกิดการคลายตัวออกหรือหลอมละลายในระหว่างการเกิดเจลาติไนเซชันของสตาร์ช (Adebawale และคณะ, 2003) ซึ่งให้ผลเช่นเดียวกับ Donavan และคณะ, 1983; Stute 1992; Lu และคณะ, 1996; Perera และคณะ, 1997; Miyoshi, 2002 และ Gunaratne และคณะ, 2002 ที่พบรากการเปลี่ยนแปลงของค่าเอนทอลปีที่ลดลงของสตาร์ชข้าวสาลี มันฝรั่ง มันสำปะหลัง ข้าวโพด และแป้งข้าว ที่ผ่านการดัดแปรด้วยวิธีการให้ความร้อนชื้น

4.5 ผลของการดัดแปลงสตาร์ชข้าวเหนียวด้วยวิธีการให้ความร้อนชั้นต่อการเปลี่ยนแปลงความหนืด

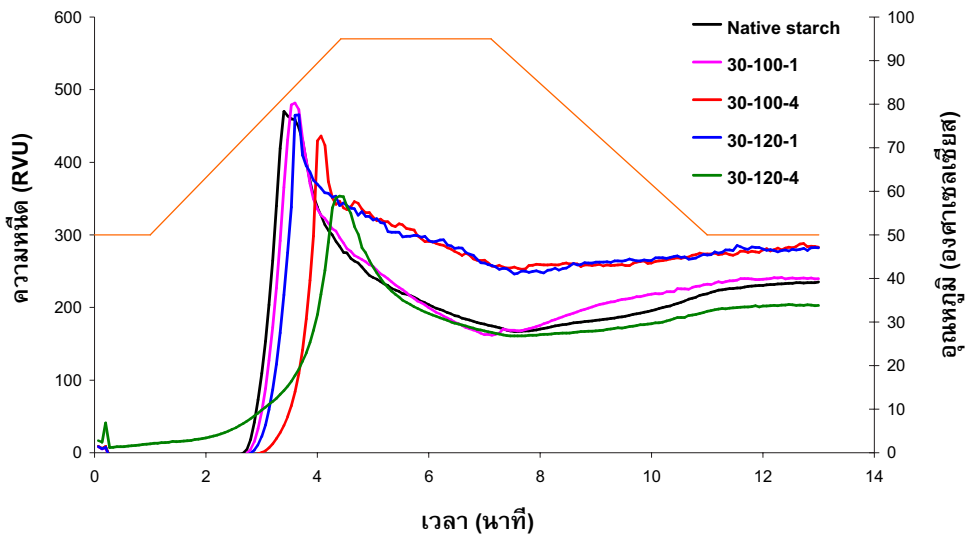
การดัดแปลงสตาร์ชส่งผลทำให้เกิดการเปลี่ยนแปลงความหนืดเมื่อวิเคราะห์ด้วยเครื่อง Rapid Visco Analyser (RVA) ดังภาพที่ 4-31 ถึง 4-33 และตารางผนวกที่ ข-4 ซึ่งการดัดแปลงสตาร์ชข้าวเหนียวที่ระดับความชื้นร้อยละ 10 และ 20 ไม่ทำให้เกิดการเปลี่ยนแปลงของอุณหภูมิเริ่มเกิดความหนืดเมื่อเทียบกับสตาร์ชข้าวเหนียวที่ไม่ผ่านการดัดแปลงตารางผนวกที่ ข-4 แต่เมื่อเพิ่มสภาวะในการดัดแปรที่สูงขึ้น คือที่ระดับความชื้นร้อยละ 20 อุณหภูมิในการให้ความร้อน 120 องศาเซลเซียส ระยะเวลาการให้ความร้อน 4 ชั่วโมง (20-120-4) จะเริ่มเกิดการเปลี่ยนแปลงของอุณหภูมิเริ่มเกิดความหนืดโดยอุณหภูมิเริ่มเกิดความหนืดมีค่าสูงขึ้น และมีแนวโน้มสูงขึ้นตามสภาวะของอุณหภูมิและเวลาในการดัดแปรที่เพิ่มขึ้น (30-100-1, 30-100-4, 30-120-1 และ 30-120-4) เมื่อนำมาพล็อตกราฟความสัมพันธ์ระหว่างร้อยละความชื้นและค่าอุณหภูมิเริ่มเกิดความหนืดพบว่า อุณหภูมิเริ่มเกิดความหนืดสูงขึ้นตามสภาวะการดัดแปลงสตาร์ชข้าวเหนียวที่สูงขึ้น ดังภาพที่ 4-34



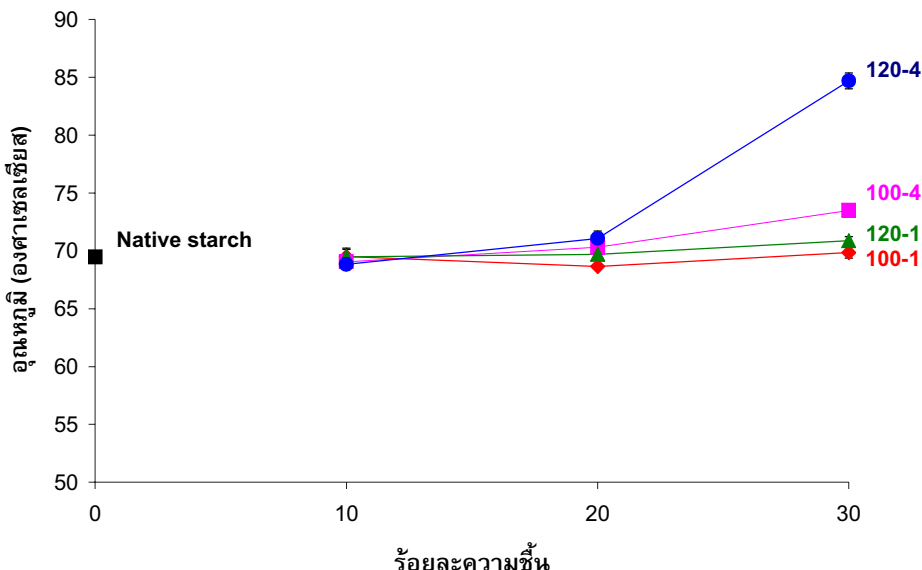
ภาพที่ 4-31 การเปลี่ยนแปลงความหนืดของสตาร์ชข้าวเหนียวที่ไม่ผ่านการดัดแปลง (Native starch) และสตาร์ชข้าวเหนียวที่ผ่านการดัดแปลงที่ความชื้นร้อยละ 10 เมื่อวิเคราะห์ด้วยเครื่อง RVA



ภาพที่ 4-32 การเปลี่ยนแปลงความหนืดของสตาร์ชข้าวเหนียวที่ไม่ผ่านการดัดแปร (Native starch) และสตาร์ชข้าวเหนียวที่ผ่านการดัดแปรที่ความชื้นร้อยละ 20 เมื่อวิเคราะห์ด้วยเครื่อง RVA



ภาพที่ 4-33 การเปลี่ยนแปลงความหนืดของสตาร์ชข้าวเหนียวที่ไม่ผ่านการดัดแปร (Native starch) และสตาร์ชข้าวเหนียวที่ผ่านการดัดแปรที่ความชื้นร้อยละ 30 เมื่อวิเคราะห์ด้วยเครื่อง RVA



ภาพที่ 4-34 อุณหภูมิเริ่มเกิดความหนืด (pasting temperature) ของสตาร์ชข้าวเหนียวดัดแปรที่ระดับความซึ้นร้อยละ 10, 20 และ 30 และสตาร์ชข้าวเหนียวที่ไม่ผ่านการดัดแปร (Native starch)

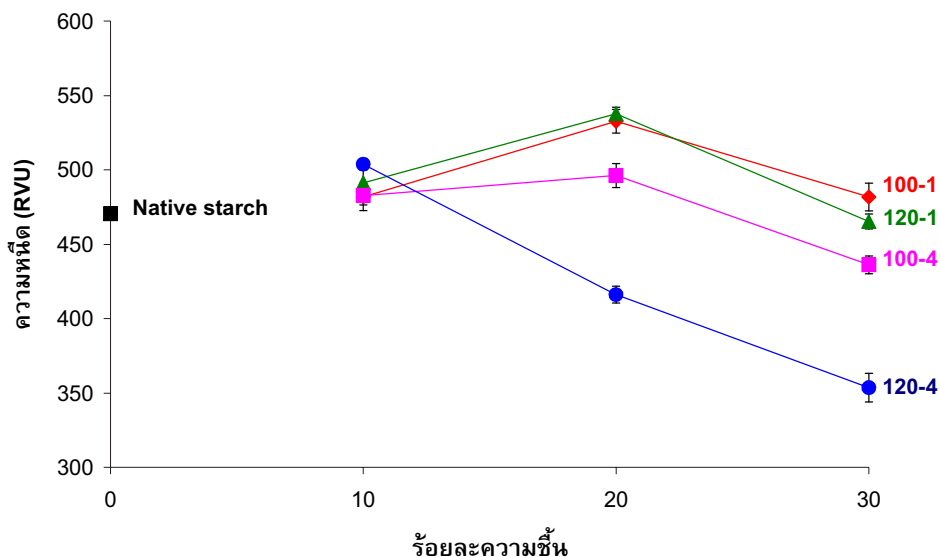
การเปลี่ยนแปลงที่เกิดขึ้นเป็นผลมาจากการให้ความร้อนและความชื้นในการดัดแปรทำให้สตาร์ชเกิดการเปลี่ยนแปลงโครงสร้างภายใน ทำให้มีอ่อนนวยต่อการเกิดเจลาตินเซชัน กล่าวคือ การดัดแปรทำให้เกิดการเปลี่ยนแปลงของอะไมโลเพกตินที่เป็นส่วนผลึกในสตาร์ช แกรนูลเกิดการคลายเกลียวของเกลียวคู่และเกิดการจัดเรียงตัวใหม่ส่งผลให้มีความเป็นผลึกเพิ่มมากขึ้น (ผลึกมีความสมบูรณ์มากขึ้น) แรงยึดเหนี่ยวภายในโมเลกุลมีความแข็งแรงมากขึ้น ยกต่อการถูกทำลายจึงต้องใช้อุณหภูมิที่สูงขึ้นในการทำลายโครงสร้างภายในก่อนที่จะเกิดเจลได้ (Eliasson, 1980)

ปกติสตาร์ชแกรนูลตามธรรมชาติจะไม่ละลายในน้ำเย็นเนื่องจากมีการเรียงตัวกันของอะไมโลสและอะไมโลเพกตินที่จับกันด้วยพันธะไฮโดรเจนเกิดเป็นร่างแท้ผลึก แต่สตาร์ชสามารถละลายน้ำได้เมื่อให้ความร้อนกับสตาร์ชที่มีน้ำปริมาณมากเกินพอ โมเลกุลของแป้งจะถูกกระแทกกระเทือนพันธะไฮโดรเจนจะแยกออกจากกัน ทำให้มีบริเวณที่เกิดพันธะไฮโดรเจนรวมตัวกันน้ำได้ การซึมเข้าของน้ำทำให้สลายโซเดียมแอลูมิโนไซด์ในโมเลกุลของสตาร์ชแยกออกจากกันจากการคลายเกลียวของเกลียวคู่ทำให้มีขนาดสั้นลง และความเป็นผลึกลดลง สตาร์ชจึงสามารถละลายน้ำได้เกิดการพองตัวและเกิดเป็นร่างแท้ 3 มิติ คือมีการรวมตัวยึดกันระหว่างแกรนูลทำให้เกิดเป็นโครงสร้างเจลที่มีความหนืด หรือการเกิดเจลาตินเซชัน แต่การดัดแปรสตาร์ชข้าวเหนียว

ซึ่งมีปริมาณอะไมโลเพกตินสูง มีโครงสร้างผลึกจากอะไมโลเพกติน เมื่อมีการให้ความชื้นกับสตาร์ช น้ำจะไม่สามารถเข้าไปแทรกในโครงสร้างผลึกที่แข็งแรงได้ และเมื่อมีการให้ความร้อนที่สูงจะทำให้น้ำในส่วนรอบๆ ผลึกนั้นเกิดการระเหยออกอย่างรวดเร็ว และความร้อนยังทำให้พันธะไฮโดรเจนภายในผลึกเกิดความแข็งแรงจับกันแน่นมากยิ่งขึ้น ผลึกจึงมีความแข็งแรงมากขึ้น และความแข็งแรงของพันธะไฮโดรเจนในสตาร์ชแกรนูลยังมีผลมาจากการยึดเกาะกันระหว่างสายอะไมโลสและการจับกันของอะไมโลสกับลิปิดเกิดเป็นอะไมโลสลิปิดคอมเพล็ก น้ำจึงเข้ารวมตัวกับพันธะภายนอกในโมเลกุลได้ไม่มากนักจึงทำให้มีเดบีปิงเกิดการพองตัวได้เล็กน้อย จึงต้องใช้อุณหภูมิที่สูงขึ้นในการที่จะทำให้มีเดบีปิงเกิดการพองตัวและมีความหนืดที่เพียงพอในการเกิดเจล ซึ่งสอดคล้องกับการทดลองของ Hoover และคณะ (1996) ที่พบว่า อุณหภูมิเริ่มเกิดความหนืดของสตาร์ชข้าวโพดและสตาร์ชข้าวโพดข้าวเหนียวสูงขึ้นตามสภาวะการตัดประดับยความร้อนชนิดที่สูงขึ้นและให้ผลการทดลองเช่นเดียวกับสตาร์ชมันฝรั่ง (Kulp และคณะ, 1981; Lorenz และคณะ, 1982; Hoover และคณะ, 1994) สตาร์ชถ้วน (Hoover และคณะ, 1994; Adebawale และคณะ, 2003)

การเปลี่ยนแปลงอุณหภูมิเริ่มเกิดความหนืดของสตาร์ชข้าวเหนียวที่ผ่านการตัดประดับมีค่าสูงขึ้นตามสภาวะการตัดประดับที่สูงขึ้นเนื่องจาก น้ำและความร้อนที่สูงจะมีคุณสมบัติในการเป็นพลาสติกไซเซอร์ (plasticizers) ซึ่งจะช่วยลดอุณหภูมิในการเกิดglasstransition (glass transition temperature) ในการเปลี่ยนสถานะของส่วนประกอบภายในของสตาร์ชในส่วนของผลึกและส่วนอสัณฐานโดยน้ำจะเป็นตัวหล่อลื่นและแทรกซึมเข้าไปในโครงสร้างภายในสตาร์ช แกรนูลและเข้าไปจับกับพันธะไฮโดรเจนภายในโมเลกุลสตาร์ชแกรนูล ส่วนความร้อนจะทำให้โมเลกุลเกิดการสั่นสะเทือนและเกิดการเคลื่อนที่ของโมเลกุลต่างๆ ได้ดีขึ้น และความร้อนยังทำลายพันธะไฮโดรเจนภายในโมเลกุลของน้ำเข้าไปทำปฏิกิริยาได้เต็มที่ ทำให้เกิดการเปลี่ยนสถานะจากของแข็งคล้ายแก้วเป็นของแข็งคล้ายยางหรือบางส่วนอาจเกิดการหลอมเหลวในส่วนของผลึกที่ไม่สมบูรณ์ในส่วนอะไมโลเพกติน โดยระยะเวลาการให้ความร้อนที่นานจะช่วยให้โครงสร้างภายในสตาร์ชในส่วนของอะไมโลเพกตินเกิดการเปลี่ยนแปลงและเกิดการจัดเรียงตัวใหม่ของโครงสร้างผลึกทำให้เกิดการเปลี่ยนแปลงของโครงสร้างผลึกที่มีความสมบูรณ์ของผลึกมากขึ้น จึงต้องใช้อุณหภูมิสูงขึ้นในการทำให้สตาร์ชดัดประดับเกิดเจลได้

เมื่อสตาร์ชเริ่มเกิดเจลและมีการให้ความร้อนสูงขึ้นเรื่อยๆ สตาร์ชแกรนูลจะเกิดการพองตัว โมเลกุลนำ้อิสระรอบๆ เม็ดสตาร์ชลดลง ทำให้มีเดสตาร์ชเคลื่อนไหวได้やすくและเกิดความหนืดขึ้น เมื่อสตาร์ชมีความหนืดเพิ่มขึ้น การพองตัวของสตาร์ชจะเพิ่มขึ้นเรื่อยๆ จนสตาร์ชเกิดการพองตัวอย่างเต็มที่จนเกิดความหนืดสูงที่สุด เรียกว่าค่า pasting temperature สตาร์ชข้าวเหนียวที่ผ่านการดัดประดับส่งผลทำให้ค่าความหนืดสูงสุดของสตาร์ชมีค่าลดลงดังภาพที่ 4-35

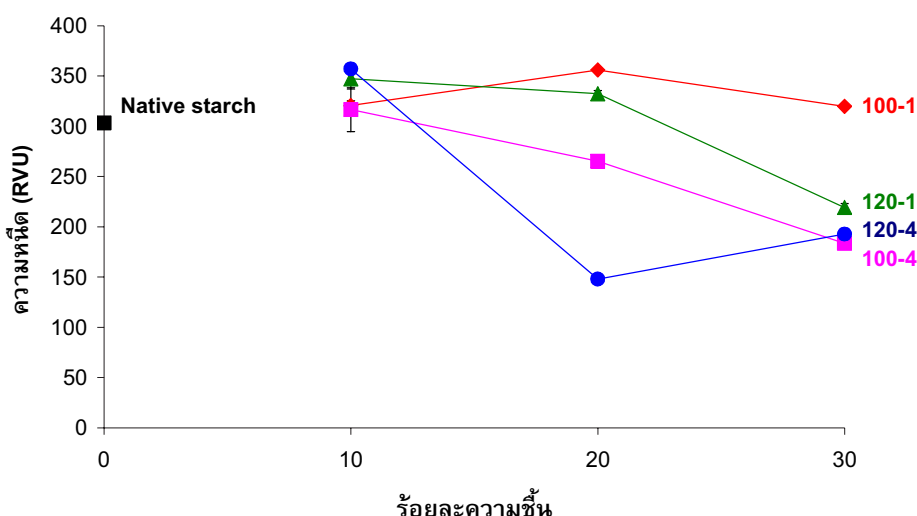


ภาพที่ 4-35 ความหนืดสูงสุด (peak viscosity) ของสารช้ำเหนียวดัดแปรที่ระดับความซึ้งร้อยละ 10, 20 และ 30 และสารช้ำเหนียวที่ไม่ผ่านการดัดแปร (Native starch)

การดัดแปรสารช้ำเหนียวที่สภาวะที่สูงขึ้นทำให้ค่าความหนืดสูงสุดมีแนวโน้มลดลงจากผลของการเปลี่ยนแปลงโครงสร้างภายในของสารช้ำกรนูลเมื่อได้รับความร้อนและความซึ้งทำให้ค่าความหนืดสูงสุดของสารช้ำเหนียวที่ผ่านการดัดแปรที่สภาวะ 20-120-4, 30-100-4, 30-120-1 และ 30-120-4 มีค่าลดลงเมื่อเปรียบเทียบกับสารช้ำเหนียวที่ไม่ผ่านการดัดแปรอย่างมีนัยสำคัญทางสถิติที่ระดับความเชื่อมั่นร้อยละ 95 (ตารางผนวกที่ ข-4) จากการให้ความร้อนกับสารช้ำเพิ่มขึ้นจาก 50 องศาเซลเซียสเป็น 95 องศาเซลเซียส ซึ่งเป็นผลโดยตรงจากการเกิดการจัดเรียงตัวใหม่ภายในกรนูลสารช้ำ ทำให้มีความเป็นผลลัพธ์มากขึ้นภายหลังการดัดแปร ทำให้จำกัดการพองตัวซึ่งมีผลต่อค่าความหนืดของสารช้ำ (Lawal, 2005) ซึ่งให้ผลเช่นเดียวกันกับ สารช้ำมันฝรั่ง (Stute, 1992) สารช้ำโกโก้แยม (Lawal, 2005) สารช้ำถั่ว (Adebowale และคณะ, 2003) สารช้ำข้าวโพด (Hoover และคณะ, 1994) สารช้ำข้าวเหนียวและข้าวเจ้า (Anderson, และคณะ, 2002, 2006) แต่พบว่าสารช้ำดัดแปรที่สภาวะ 10-100-1, 10-100-4, 10-120-1, 10-120-4, 20-100-1 และ 30-100-1 มีค่าความหนืดสูงสุดที่เพิ่มขึ้นเมื่อเทียบกับสารช้ำที่ไม่ผ่านการดัดแปรอย่างมีนัยสำคัญทางสถิติที่ระดับความเชื่อมั่นร้อยละ 95 อาจเป็นเพราะกำลังการพองตัวของสารช้ำเหนียวที่ไม่ผ่านการดัดแปรมีค่าสูงกว่าสารช้ำเหนียวที่ผ่านการดัดแปรที่สภาวะ 10-100-1, 10-100-4, 10-120-1, 10-120-4, 20-100-1 และ 30-100-1 ค่อนข้างมาก การที่สารช้ำมีร้อยละการพองตัวที่มากเมื่อมีการให้

ความร้อนแก่สตาร์ชที่มีปริมาณน้ำมากพอโครงสร้างภายในของสตาร์ชจะจับกันอย่างหลامๆ เกิดการพองตัวได้อย่างเต็มที่และเมื่อได้รับแรงเนื้อนจากการกวนของเครื่อง RVA แรงเนื้อนจะทำลายโครงสร้างภายในเม็ดสตาร์ชทำให้สตาร์ชเกิดการแตกออกได้ง่ายจึงทำให้ค่าความหนืดต่ำกว่าสตาร์ชดัดแปร ส่วนสตาร์ชที่ผ่านการดัดแปรที่มีค่าการพองตัวที่ต่ำ เกิดการพองตัวน้อยกว่า เมื่อได้รับความร้อนและปริมาณน้ำที่มากพอ จะสามารถทนต่อแรงเนื้อนได้มากกว่า ซึ่งผลที่ได้ สอดคล้องกับการทดลองของ พินทิพย์ (2547) ที่พบว่าแป้งข้าวเหนียวพันธุ์ กข 6 ที่ผ่านการดัดแปรตัวความร้อนขึ้น มีค่าความหนืดสูงสุดเพิ่มขึ้น ถึงแม้ว่าค่ากำลังการพองตัวของแป้งจะลดลงก็ตาม

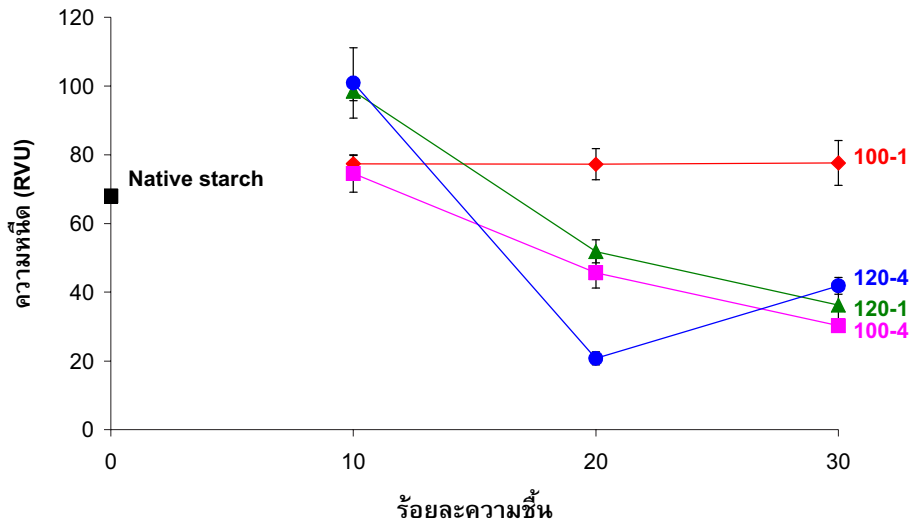
เมื่อสตาร์ชเกิดการพองตัวอย่างเต็มที่และมีความหนืดที่สูงขึ้น และสตาร์ชได้รับการกวนอย่างสม่ำเสมอจะทำให้แกรนูลถูกทำลายเกิดการแตกออกของแกรนูลสตาร์ช ส่วนของเหลวที่สามารถละลายได้ภายในจะถูกละลายออกมาทำให้สตาร์ชมีความหนืดต่ำ สตาร์ชที่มีความแข็งแรงของโครงสร้างภายในจะทนต่อแรงเนื้อนได้ดีกว่าสตาร์ชที่มีโครงสร้างที่อ่อนแอซึ่งวัดความแข็งแรงของสตาร์ชแกรนูลได้จากค่าความหนืดลดลง (breakdown) ซึ่งเป็นค่าที่ใช้วัดความอ่อนแอของสตาร์ชแกรนูล (Collado และคณะ, 2001) โดยวัดการแตกสลายของสตาร์ชแกรนูลที่พองตัวเมื่อได้รับแรงเนื้อนอย่างต่อเนื่อง ซึ่งค่าความหนืดลดลงที่มากแสดงว่าสตาร์ชมีความอ่อนแอมากกว่าสตาร์ชที่มีค่าความหนืดลดลงที่น้อยกว่า สตาร์ชข้าวเหนียวที่ผ่านการดัดแปรมีแนวโน้มของค่าความหนืดลดลงที่ลดลง ดังภาพที่ 4-36



ภาพที่ 4-36 ความหนืดลดลง (breakdown) ของสตาร์ชข้าวเหนียวดัดแปรที่ระดับความซึ้งร้อยละ 10, 20 และ 30 และสตาร์ชข้าวเหนียวที่ไม่ผ่านการดัดแปร (Native starch)

สตาร์ชข้าวเหนียวที่ผ่านการดัดแปรที่ความชื้นร้อยละ 20 และ 30 มีค่าความหนืดลดลงที่น้อยกว่าสตาร์ชข้าวเหนียวที่ไม่ผ่านการดัดแปรซึ่งเป็นผลมาจากการที่กลีกมีความสมบูรณ์มากขึ้นทำให้สตาร์ชทันต่อแรงเฉือนได้มากขึ้น และค่าความหนืดสูงสุดของสตาร์ชดัดแปรที่สภาวะดังกล่าวมีค่าความหนืดสูงสุดที่ต่ำกว่าสตาร์ชที่ไม่ผ่านการดัดแปรซึ่งแสดงให้เห็นว่า การดัดแปรสตาร์ชที่สภาวะดังกล่าวทำให้สตาร์ชซึ่งพองตัวเต็มที่มีความแข็งแรง ทนต่อแรงเฉือนและความร้อนได้มากขึ้น ส่วนสตาร์ชข้าวเหนียวที่ผ่านการดัดแปรที่ความชื้นร้อยละ 10 มีแนวโน้มของค่าความหนืดลดลงที่มากกว่าสตาร์ชที่ไม่ผ่านการดัดแปรซึ่งเป็นผลมาจากการดัดแปรสตาร์ชข้าวเหนียวทำให้สตาร์ชเมื่อมีการพองตัวเต็มที่แล้วจะสามารถทนต่อความร้อนและแรงเฉือนได้น้อยลง อาจเป็นผลมาจากการเปลี่ยนแปลงของโครงสร้างอะไมโลเพกตินภายในห้งการดัดแปรส่งผลให้แกรนูลที่พองตัวมีความเปราะบางมากขึ้น (พินทิพย์, 2004) สอดคล้องกับการทดลองของ Anderson และคณะ(2002), (2006) ที่พบการเปลี่ยนแปลงที่ลดลงของค่าความหนืดลดลงในสตาร์ชข้าวเหนียว และสตาร์ชข้าวเจ้าที่ผ่านการดัดแปรด้วยความร้อนซึ่น และให้ผลเช่นเดียวกับ สตาร์ชโกโก้เยม (Lawal, 2005) และสตาร์ชถั่ว (Adebawale และคณะ, 2003)

เมื่อสตาร์ชแกรนูลถูกทำให้แตกออกและความหนืดลดลงเรื่อยๆ และเมื่อลดอุณหภูมิจาก 95 เป็น 50 องศาเซลเซียส จะทำให้สตาร์ชมีความหนืดเพิ่มขึ้นได้อีก วัดได้จากค่าเซตแบค ค่าเซตแบคเป็นค่าที่ใช้วัดการเกิดรีໂโทรเกรเดชันหรือการขับน้ำออกของสตาร์ชซึ่งการเกิดรีໂโทรเกรเดชันเกิดจากปฏิกิริยาระหว่างสายพอลิเมอร์ของอะไมโลสทำให้เกิดเป็นโครงร่างตาข่าย ความหนืดของสารละลายแป้งจึงเพิ่มขึ้น เมื่ออุณหภูมิลดลงโมเลกุลของอะไมโลสที่อยู่ใกล้กันจะเกิดการจัดเรียงตัวใหม่ด้วยพันธะไอกอโรเจน เกิดเป็นร่างแท้สามมิติที่อุ้มน้ำได้ ความหนืดและความคงตัวมากขึ้น และมีลักษณะเป็นเจลเหนียว (กล้านรงค์, 2546) ซึ่งค่าเซตแบคเป็นความแตกต่างระหว่างค่าความหนืดต่ำสุดและค่าความหนืดสูงที่สุดท้าย สตาร์ชข้าวเหนียวที่ผ่านและไม่ผ่านการดัดแปรมีแนวโน้มในการเกิดรีໂโทรเกรเดชันลดลง ดังภาพที่ 4-37



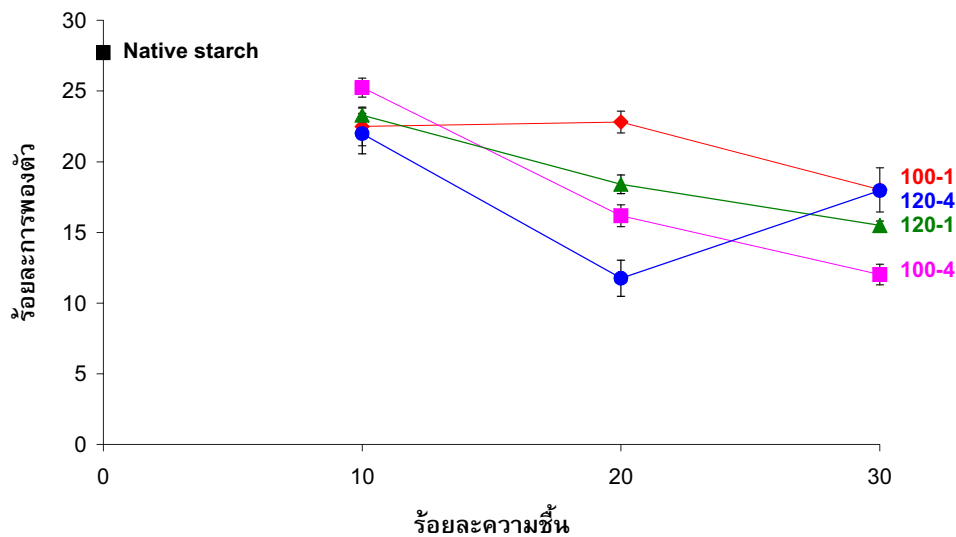
ภาพที่ 4-37 เชตแบค (setback) ของสตาร์ชข้าวเหนียวดัดแปรที่ระดับความเชื่อมร้อยละ 10, 20 และ 30 และสตาร์ชข้าวเหนียวที่ไม่ผ่านการดัดแปร (Native starch)

ค่าเชตแบคในการดัดแปรที่ระดับความเชื่อมร้อยละ 10 ทุกสภาวะของอุณหภูมิและเวลาในการให้ความร้อนมีแนวโน้มที่สูงขึ้น และสูงกว่าสตาร์ชที่ไม่ผ่านการดัดแปร แสดงว่าในการดัดแปรที่ความเชื่อมร้อยละ 10 ทำให้สตาร์ชสามารถเกิดรีโตรเกรเดชันได้มากขึ้น ซึ่งสอดคล้องกับงานวิจัยของ Lai (2001) และ พินทิพย์ (2547) ที่พบว่า การดัดแปรสตาร์ชข้าวเหนียวทำให้ความหนืดเนื้อห่วงทำให้เย็นของเป็นข้าวเหนียวมีค่าสูงขึ้น การที่สตาร์ชดัดแปรมีค่าเชตแบคที่เพิ่มขึ้น อาจเป็นผลมาจากการดัดแปรทำให้สตาร์ชเกิดความเสียหาย แกรนูลสตาร์ชถูกทำลายโดยโครงสร้างผลึกถูกทำลายบางส่วน เมื่อมีการให้ความร้อนและน้ำในปริมาณที่มากพอในการวัดความหนืด น้ำสามารถแทรกซึมเข้าไปจับกับพันธะระหว่างสายของอะไมโลสกับอะไมโลส และอะไมโลสกับอะไมโลเพกตินภายในโมเลกุลได้มากขึ้น เมื่อมีการให้ความร้อนจะสามารถทำลายพันธะ ทำให้น้ำเข้าไปจับกับพันธะของอะไมโลสและอะไมโลเพกตินอย่างหลวมๆ ทำให้เกิดการพองตัวและเกิดเจลาทีนเซชัน เมื่อแกรนูลถูกทำให้แตกออกด้วยแรงเฉือน โครงสร้างภายในคือส่วนของอะไมโลสและอะไมโลเพกตินจะถูกละลายออกจาก เมื่อลดอุณหภูมิลงส่วนของอะไมโลสจะเข้ามายับกัน ทำให้เกิดรีโตรเกรเดชัน ความหนืดสุดท้ายจึงเพิ่มขึ้นส่งผลให้ค่าเชตแบคสูงขึ้น และพบว่าที่สภาวะในการดัดแปรที่ความเชื่อมร้อยละ 20 และ 30 มีแนวโน้มของค่าเชตแบคที่ลดลง แสดงถึงการดัดแปรสตาร์ชข้าวเหนียวที่สภาวะดังกล่าวทำให้สตาร์ชเกิดรีโตรเกรเดชันหรือการคืนตัวที่ลดลงเมื่อเทียบกับสตาร์ชที่ไม่ผ่านการดัดแปร ซึ่งที่สภาวะการดัดแปรดังกล่าวจะมีค่าอุณหภูมิเริ่มเกิดความหนืด และค่าความหนืดสูงสุดที่มากกว่าสตาร์ชที่ไม่ผ่าน

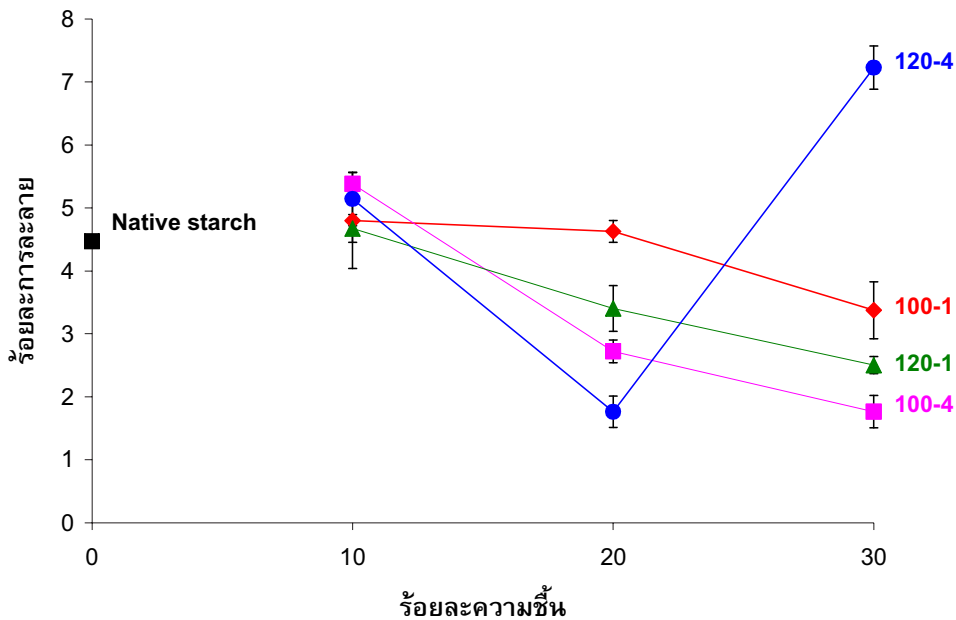
การดัดแปร ซึ่งแสดงให้เห็นว่า การดัดแปรสตาร์ชทำให้สตาร์ชมีความแข็งแรงของสตาร์ชแกรนูลที่มากขึ้น น้ำจะแทรกซึมเข้าไปจับกับพันธะภายในยาก เกิดการละลายของส่วนของไมโลสและอะไมโลเพกตินน้อย ทำให้การเกิดรีโตรเกรเดชันเป็นไปได้ยากกว่าค่าเซตแบคจึงมีค่าที่ต่ำกว่าส่วนสตาร์ชข้าวเหนียวที่ผ่านการดัดแปรที่สภาวะที่รุนแรงที่สุดคือ 30-120-4 จะมีค่าเซตแบคที่สูงกว่าสตาร์ชข้าวเหนียวที่ผ่านการดัดแปรที่สภาวะ 20-100-4, 30-100-4 และ 30-120-1 แต่ยังต่ำกว่าสตาร์ชที่ไม่ผ่านการดัดแปร เป็นผลมาจากการดัดแปรสตาร์ชที่ระดับความชื้นและความร้อนสูงร่วมกับระยะเวลาการให้ความร้อนที่เน้นทำให้สตาร์ชข้าวเหนียวเกิดเจลอาทิในเชื้ันบางส่วน (partial gelatinization) เมื่อมีการละลายน้ำและให้ความร้อนในการวัดความหนืด ทำให้สตาร์ชในส่วนที่เกิดเจลเกิดการรวมตัวกับน้ำได้ดีขึ้น เกิดการละลายของสารต่างๆภายในสตาร์ชแกรนูลได้ดีขึ้นซึ่งก่อให้ไมโลสที่มีการละลายมากขึ้น เมื่อสตาร์ชเกิดการพองตัวและแตกออกของไมโลสจึงเคลื่อนที่เข้ามาใกล้กันเกิดรีโตรเกรเดชันได้มากขึ้น

4.6 ผลของการดัดแปลงสตาร์ชข้าวเหนียวด้วยวิธีการให้ความร้อนชึ้นต่อค่าการพองตัวและการละลาย

จากการวัดการเปลี่ยนแปลงความหนืดด้วยเครื่อง Rapid Visco Analyzer (RVA) พบว่า สตาร์ชส่วนใหญ่มีค่าความหนืดสูงสุดที่อุณหภูมิช่วง 80-90 องศาเซลเซียส จึงได้ทำการศึกษา การพองตัวของสตาร์ชที่อุณหภูมิ 85 องศาเซลเซียส ซึ่งพบการเปลี่ยนแปลงของค่าร้อยละการ พองตัวและร้อยละการละลายของสตาร์ชที่ผ่านการดัดแปลงและไม่ผ่านการดัดแปลง โดยการดัด แปลงสตาร์ชในทุกสภาวะของการศึกษาส่งผลให้ค่าร้อยละการพองตัวและร้อยละการละลายของ สตาร์ชลดลงเมื่อเทียบกับสตาร์ชที่ไม่ผ่านการดัดแปลง จากตารางที่ พบว่า สตาร์ชดัดแปลงมีค่า ร้อยละการพองตัวที่ลดลงและแตกต่างกับสตาร์ชที่ไม่ผ่านการดัดแปลงอย่างมีนัยสำคัญทางสถิติที่ ระดับความเชื่อมั่นร้อยละ 95 และค่าร้อยละการพองตัวและร้อยละการละลายที่ระดับความชัน ต่างๆ มีแนวโน้มที่ลดลงดังภาพที่ 4-38 ถึง 4-39



ภาพที่ 4-38 ร้อยละการพองตัวของสตาร์ชข้าวเหนียวดัดแปลงที่ระดับความชื้นร้อยละ 10, 20 และ 30 และสตาร์ชข้าวเหนียวที่ไม่ผ่านการดัดแปลง (Native starch)



ภาพที่ 4-39 ร้อยละการละลายน้ำของสตาร์ชข้าวเหนียวดัดแปรที่ระดับความชื้นร้อยละ 10, 20 และ 30 และสตาร์ชข้าวเหนียวที่ไม่ผ่านการดัดแปร (Native starch)

ผลการทดลองที่ได้สอดคล้องกับการทดลองของ Hoover และคณะ (1995) ที่พิบการเปลี่ยนแปลงของค่าการพองตัวและค่าการละลายที่ลดลงในสตาร์ชข้าวโพด สตาร์ชข้าวโพดข้าวเหนียว และสตาร์ชข้าวโพดอะไมโลสสูงที่ดัดแปรด้วยความร้อนชื้น และพบว่าให้ผลเช่นเดียวกับสตาร์ชข้าวสาลี ข้าวโอ๊ต โดยให้เหตุผลว่าค่าการพองตัวที่ลดลงเป็นผลมาจากการการรวมตัวกันของอะไมโลสและลิปิดเกิดเป็นอะไมโลสลิปิดคอมเพล็ก และเกิดจากการที่พันธะภายในสตาร์ชแกรนูลเกิดการจัดเรียงตัวใหม่ที่มีความแข็งแรงมากกว่าเดิม โครงสร้างภายในแข็งแรงมากขึ้น ทำให้จำกัดการพองตัวของสตาร์ช ซึ่งผลที่ได้เหมือนกันกับ สตาร์ชถั่ว (Adebawale และคณะ, 2003) สตาร์ชข้าวเจ้าและสตาร์ชข้าวเหนียว (Anderson, 2002, 2006) และสตาร์ชมันฝรั่ง (Harry และคณะ, 1959)

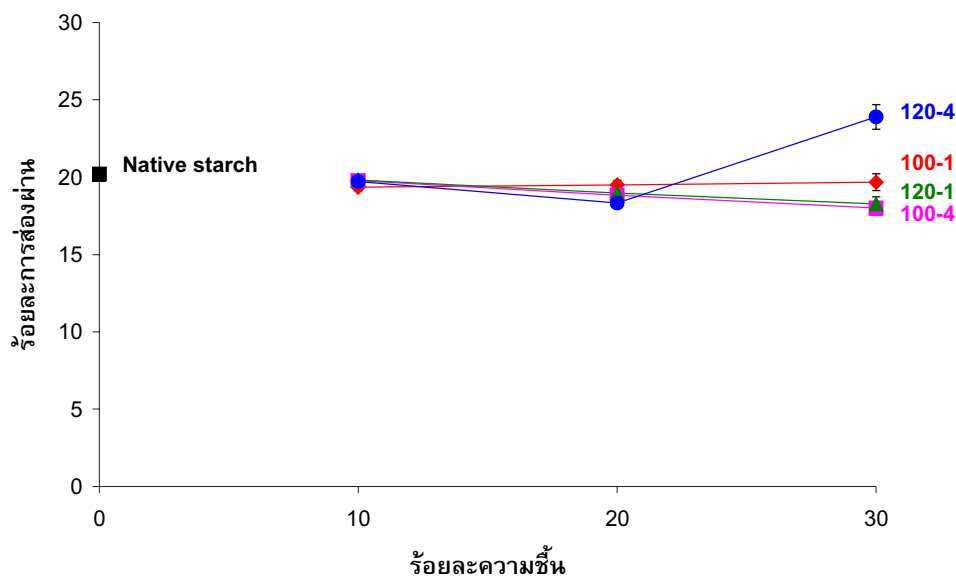
เมื่อมีการให้ความร้อนกับสตาร์ชแกรนูลที่อุณหภูมิสูงกว่าอุณหภูมิในการเกิดเจลาทีนเซชันในสภาวะที่มีน้ำมากเกินพอ จะเกิดการส่งผ่านของพลังงานความร้อนและความชื้นส่งผลให้แกรนูลเกิดการพองตัวซึ่งเป็นผลมาจากการสูญเสียส่วนที่เป็นผลึกในสตาร์ชแกรนูลจึงทำให้มีการดูดซึมน้ำเข้าไปได้ (Whister, 1964) ซึ่งอะไมโลเพกตินภายในสตาร์ชแกรนูลมีความสำคัญอย่างยิ่งกับการพองตัวของสตาร์ชขัญพิช (Lii และคณะ, 1990) โดยการพองตัวจะเกิดขึ้นในส่วนของอะไมโลเพกตินที่เป็นส่วนของผลึกที่ไม่สมบูรณ์และส่วนของสักูจาน น้ำสามารถเคลื่อนที่เข้า

ไปจับกับพันธะไฮโดรเจนระหว่างสายของอะไมโลสและอะไมโลเพกตินทำให้โครงสร้างภายในเกิดการขยายตัวออกเป็นโครงสร้างร่องแทะและเกิดการพองตัว สถาร์ชที่ผ่านการดัดแปลงร้อนและความชื้นจะทำให้เกิดการแยกตัวของเกลี่ยว้ำคู่และทำลายโครงสร้างผลึกจึงเกิดการหลอมเหลวของผลึกที่ไม่สมบูรณ์และส่วนอสัณฐาน ทำให้ปริมาณผลึกที่ไม่สมบูรณ์และส่วนอสัณฐานลดลงจึงไม่มีบริเวณที่น้ำจะเข้าไปเชื่อมต่อระหว่างพันธะและเกิดการพองตัวได้ และการดัดแปลงทำให้เกิดการเปลี่ยนแปลงโครงสร้างและแรงยึดเหนี่ยวภายในสถาร์ชแกรนูลทำให้เกิดการจับตัวของเกลี่ยว้ำคู่ของกลุ่มของสายอะไมโลเพกตินและอะไมโลสในส่วนของผลึกที่สมบูรณ์ ทำให้ผลึกมีความแข็งแรงมากขึ้น ซึ่งมีผลในการจำกัดการพองตัวและการละลาย และผลของการจับกันของอะไมโลสกับลิปิดเป็นอะไมโลสลิปิดคอมเพล็กทำให้ค่าการพองตัวลดลงในสถาร์ชที่ผ่านการดัดแปลงเมื่อสถาร์ชเกิดการพองตัวอย่างเต็มที่และได้รับอุณหภูมิสูงอย่างต่อเนื่อง จะทำให้เกิดการละลายออกของส่วนประกอบที่สามารถละลายหน้าได้ละลายออกมา ซึ่งเป็นส่วนของแข็งทั้งหมดในสารละลายและส่วนของอะไมโลสสายสั้นๆ สถาร์ชที่มีกำลังการพองตัวสูงจะมีความสามารถในการละลายที่สูงด้วย สถาร์ชที่ผ่านการดัดแปลงมีค่าการพองตัวและค่าการละลายที่ลดลง สถาร์ชข้าวเหนียวที่ผ่านการดัดแปลงรีระดับความชื้นร้อยละ 20 และ 30 มีแนวโน้มของค่าการละลายที่ลดลง (ภาพที่ 4-39) อาจเป็นผลมาจากการดัดแปลงทำให้โครงสร้างอะไมโลสภายในเกิดการจัดเรียงตัวใหม่และมีความแข็งแรงมากกว่าเดิม ทำให้เกิดการละลายออกมากได้น้อย

การดัดแปลงสถาร์ชข้าวเหนียวที่สภาวะ 30-120-4 มีค่าร้อยละการละลายที่สูงกว่าสถาร์ชข้าวเหนียวที่ไม่ผ่านการดัดแปลง อาจเป็นผลมาจากการดัดแปลงสถาร์ชที่สภาวะนี้ทำให้สถาร์ชข้าวเหนียวเกิดเจลอาทิในเชซันบางส่วน (partial gelatinization) จากการเปลี่ยนแปลงของกลาสทรานซิชันในการใช้สภาวะในการดัดแปลงที่สูงคือความชื้นและความร้อนซึ่งมีคุณสมบัติในการเป็นพลาสติกไซเซอร์ (plasticizers) มีผลทำให้เกิดการเปลี่ยนแปลงโครงสร้างผลึกในส่วนอะไมโลเพกตินทำให้ผลึกเกิดความเสียหายบางส่วน และบางส่วนอาจเกิดเป็นอะไมโลสเล็กๆจากการแตกสลายของอะไมโลเพกตินทำให้เกิดการละลายของอะไมโลโซกามากกว่าสถาร์ชข้าวเหนียวที่ไม่ผ่านการดัดแปลง

4.7 ผลของการดัดแปลงสารช้าเหนี่ยวด้วยวิธีการให้ความร้อนชั่นต่อความใสของสารชาก

การดัดแปลงสารช้าเหนี่ยวด้วยวิธีการให้ความร้อนชั่นมีผลทำให้ความใสสารชากซึ่งวัดได้จากค่าร้อยละการส่องผ่าน (% Transmittance) มีค่าลดลงเมื่อเปรียบเทียบกับสารช้าเหนี่ยวที่ไม่ผ่านการดัดแปลง และพบว่าการดัดแปลงสารช้าเหนี่ยวด้วยวิธีการให้ความร้อนชั่นที่ระดับความชื้นร้อยละ 20 และ 30 มีค่าร้อยละการส่องผ่านที่ลดลงแตกต่างจากสารช้าเหนี่ยวที่ไม่ผ่านการดัดแปลงอย่างมีนัยสำคัญทางสถิติที่ระดับความเชื่อมั่นร้อยละ 95 ดังตารางผนวกที่ ข-6 และการดัดแปลงที่ความชื้นร้อยละ 10, 20 และ 30 ทำให้ค่าร้อยละการส่องผ่านมีแนวโน้มลดลงเล็กน้อย ดังภาพที่ 4-40 แต่พบว่าการดัดแปลงสารช้าเหนี่ยวที่ระดับ 30-120-4 จะมีผลทำให้ค่าร้อยละการส่องผ่านเพิ่มขึ้นอย่างมีนัยสำคัญทางสถิติที่ระดับความเชื่อมั่นร้อยละ 95



ภาพที่ 4-40 ความใสสารชากของสารช้าเหนี่ยวดัดแปลงที่ระดับความชื้นร้อยละ 10, 20 และ 30 และสารช้าเหนี่ยวที่ไม่ผ่านการดัดแปลง (Native starch)

ความใสสารชากมีความสัมพันธ์โดยตรงกับค่าการพองตัวของสารชาก เมื่อให้ความร้อนกับสารชากที่มีปริมาณน้ำมากพอ ความร้อนจะทำให้โครงสร้างภายในส่วนของอะไมโลสและอะไมโลเพกตินเกิดการกระแทกกระเทือน พันธะระหว่างโมเลกุลจะถูกแยกออกจากกัน ทำให้มีบริเวณที่เกิดพันธะไฮโดรเจนที่รวมตัวกันน้ำได้ การซึมเข้าของน้ำทำให้โมเลกุลของสารชาก

แยกออกจากกันและมีขนาดสั้นลง ส่วนที่เป็นผลึกลดลง สตาร์ชเกิดการพองตัวและเกิดเจลซึ่งแสงสามารถทะลุผ่านแกรนูลได้ ซึ่งการที่สตาร์ชเกิดการพองตัวมากจะทำให้แสงส่องผ่านได้มาก แทนที่จะเกิดการสะท้อนกลับหรือกระจายของแสง (Craig และคณะ, 1989)

ความใสของสตาร์ชสูกยังสัมพันธ์กับการกระจายตัวของสตาร์ชและแนวโน้มในการเกิดริโตรเกรเดชัน (Bhandari และคณะ, 2002) การเกิดริโตรเกรเดชันทำให้การส่องผ่านของแสงลดลงจากการที่โมเลกุลอะไมโลสเกิดการรวมตัวกันใหม่และมีความหนาแน่นของโมเลกุลมากขึ้น เมื่อแสงส่องผ่านจะเกิดการสะท้อนกลับและการเงิงของแสง และการเชื่อมต่อ กันของโมเลกุลภายในหลังการเกิดเพสต์ยังส่งผลให้ค่าร้อยละการส่องผ่านลดลง เนื่องจากการเกิดบริเวณที่โมเลกุลรวมตัวกันหรือ junction zone มีจำนวนมากก็มีผลทำให้เกิดการสะท้อนกลับและการเงิงของแสง ขนาดของแกรนูลที่พองตัวก็เป็นอีกปัจจัยหนึ่งที่มีผลต่อค่าร้อยละการส่องผ่านของแสง โดยพบว่าการพองตัวของแกรนูลที่ไม่สมบูรณ์ ซึ่งเป็นแกรนูลชิ้นส่วนเล็กๆ ที่เกิดการเชื่อมต่อ กันของสายโซ่หลังการเกิดเพสต์ จะมีผลทำให้ร้อยละการส่องผ่านลดลง เนื่องจากแกรนูลชิ้นส่วนเล็กๆ จะทำให้เกิดการสะท้อนและการเงิงของแสง เนื่องจากความแตกต่างของรูปร่างที่ผิดปกติของแกรนูลที่เกิดการพองตัว นอกจากนี้ความใสของสตาร์ชสูกยังขึ้นกับปัจจัยอีกหลายอย่าง เช่น ความเข้มข้น ความเป็นกรดด่าง และการดัดแปลงสตาร์ช (Bhandari และคณะ, 2002)

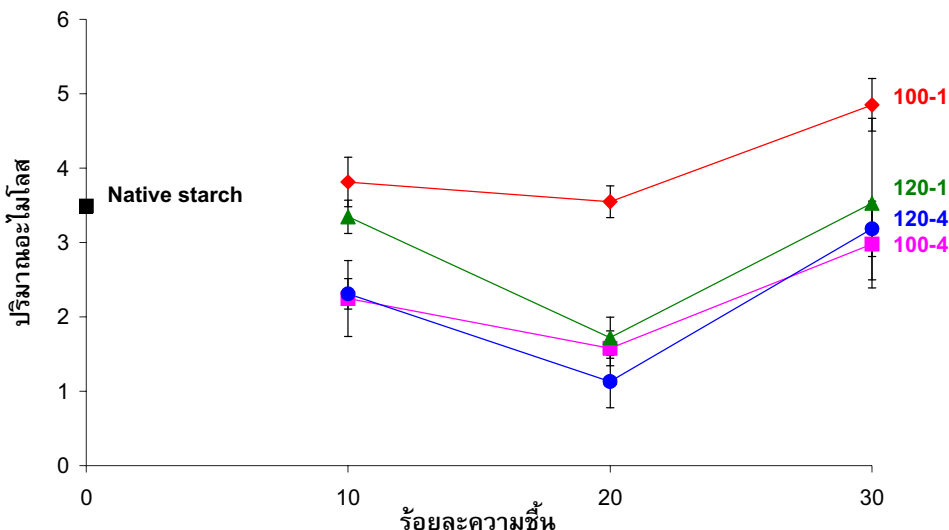
สตาร์ชข้าวเหนียวที่ผ่านการดัดแปลงมีความใสน้อยกว่าสตาร์ชข้าวเหนียวที่ไม่ผ่านการดัดแปลงเนื่องจากสตาร์ชที่ไม่ผ่านการดัดแปลงมีการพองตัวที่มากกว่าสตาร์ชดัดแปลง (ตารางผนวกที่ ข-6) ซึ่งการพองตัวของสตาร์ชสัมพันธ์โดยตรงกับค่าการส่องผ่านของแสงและความใสของสตาร์ช และในการดัดแปลงสตาร์ชความร้อนและความชื้นทำให้เกิดการเปลี่ยนแปลงในระดับโมเลกุลและแกรนูลสตาร์ช ทำให้เกิดความเสียหายของโครงสร้างภายในส่วนผลึกและส่วนอสังฐาน โดยการดัดแปลงสตาร์ชทำให้โครงสร้างผลึกซึ่งเป็นส่วนอะไมโลเพกตินเกิดการจัดเรียงตัวใหม่ ผลึกมีความสมบูรณ์มากยิ่งขึ้นและทำลายส่วนอสังฐานทำให้น้ำเข้าไปได้ยาก การพองตัวสูง จำกัด ส่งผลให้แสงส่องผ่านเข้าไปได้น้อย ค่าความใสจึงลดลง และความเสียหายของแกรนูลสตาร์ชหลังการดัดแปลงส่งผลให้ความใสของสตาร์ชลดลงจากการพองตัวของแกรนูลสตาร์ชที่ไม่สมบูรณ์ทำให้ขัดขวางการส่องผ่านของแสง และอาจเป็นผลมาจากการที่สตาร์ชเกิดการเย็นตัวลงเมื่อทำการวัดค่าร้อยละการส่องผ่านของแสง จะเกิดการรวมตัวกันใหม่ของโมเลกุลภายในแกรนูลสตาร์ชเกิดเป็นบริเวณที่ไม่เลกุลเกิดการเชื่อมต่อ กัน (junction Zone) ซึ่งส่งผลให้แสงส่องผ่านได้น้อยทำให้ค่าร้อยละการส่องผ่านของแสงลดลง

การดัดแปลงสตาร์ชที่สภาวะ 30-120-4 มีค่าร้อยละการส่องผ่านที่มากที่สุด (ตารางผนวกที่ ข-6) ซึ่งตรงกันข้ามกับค่าร้อยละการพองตัวของสตาร์ช (ตารางผนวกที่ ข-5) อาจเป็นผลมาจากการที่สตาร์ชได้รับความร้อนที่อุณหภูมิสูง ความชื้นสูง และระยะเวลาที่นาน ปริมาณน้ำที่มากจะเข้าไปปัจจับกับพันธะภายในสตาร์ชได้เต็มที่และเมื่อให้ความร้อนที่อุณหภูมิสูงจะทำให้เกิดการ

หลอมเหลาของส่วนอสังฐานมาก ทำให้สตาร์ชเกิดเจลบางส่วน (partial gelatinization) ซึ่งสตาร์ชส่วนที่เกิดเจลจะสามารถดูดซับน้ำได้มากกว่าสตาร์ชดิบ ทำให้เกิดการละลายได้มากขึ้น (กล้านรงค์, 2546) โครงสร้างภายในเมื่อดูดซับน้ำมากจะเกิดการขยายตัวของโครงสร้างได้มาก ทำให้แสงสามารถส่องผ่านได้มาก

4.8 ผลของการดัดแปลงสตาร์ชข้าวเหนียวด้วยวิธีการให้ความร้อนชั้นต่อปริมาณอะไมโลส

การดัดแปลงด้วยวิธีการให้ความร้อนชั้นส่งผลให้ปริมาณอะไมโลสของสตาร์ชข้าวเหนียวมีค่าเพิ่มขึ้นและลดลงดังภาพที่ 4-41 แต่เมื่อพิจารณาปริมาณอะไมโลสดังตารางผนวกที่ ข-7 พบว่าสตาร์ชข้าวเหนียวที่ผ่านการดัดแปลงมีปริมาณอะไมโลสที่ไม่แตกต่างกันกับสตาร์ชปกติยกเว้นการดัดแปลงที่ส่วน率 10-100-4 10-120-4 20-100-4 20-120-1 และ 20-120-4 ที่มีปริมาณอะไมโลสที่ลดลงกว่าสตาร์ชข้าวเหนียวปกติ และที่ส่วน率 30-100-1 มีปริมาณอะไมโลสที่มากกว่าสตาร์ชข้าวเหนียวปกติอย่างมีนัยสำคัญทางสถิติที่ระดับความเชื่อมั่นร้อยละ 95



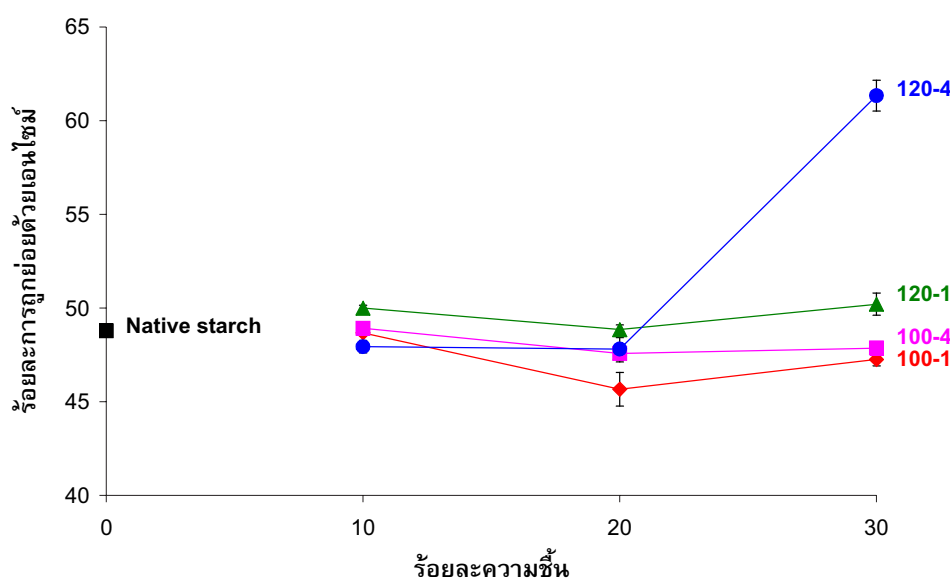
ภาพที่ 4-41 ร้อยละอะไมโลสของสตาร์ชข้าวเหนียวดัดแปลงที่ระดับความชื้นร้อยละ 10, 20 และ 30 และสตาร์ชข้าวเหนียวที่ไม่ผ่านการดัดแปลง (Native starch)

สตาร์ชข้าวเหนียวที่ผ่านการดัดแปลงมีปริมาณอะไมโลสลดลง อาจเป็นผลมาจากการดัดแปลงสตาร์ชทำให้เกิดการจัดเรียงตัวใหม่ของโมเลกุลอะไมโลส โดยโมเลกุลอะไมโลสอาจเกิดการจับตัวกันและรวมตัวกันกับส่วนอะไมโลเพกตินเกิดเป็นโครงสร้างผลึก ซึ่งสังเกตได้จากค่าร้อยละความเป็นผลึกของสตาร์ชที่ส่วน率การดัดแปลงที่ความชื้นร้อยละ 20 ที่เพิ่มขึ้น ดังภาพที่ 4-21 หรืออาจเกิดจากการรวมตัวกันของอะไมโลสกับอะไมโลเพกตินทำให้ส่วนผลึกของอะไมโลเพกตินมีความเป็นผลึกที่แข็งแรงกว่าเดิม ส่วนปริมาณอะไมโลสของสตาร์ชดัดแปลงมีค่าเพิ่มขึ้น อาจเป็นผลมาจากการใช้ความร้อนและความชื้นในการดัดแปลงทำให้สายโซ่ด้านนอกของอะไมโล

เพกติน ถูกทำลายเกิดเป็นสารโซเดียมสันนิชี ซึ่งเป็นสารของอะไมโลสมีจำนวนเพิ่มมากขึ้น (Liu และคณะ, 1996) ซึ่งให้ผลการศึกษาเช่นเดียวกับ Miyoshi (2002) ที่พบการเปลี่ยนแปลงของปริมาณอะไมโลสของสตาร์ชข้าวโพดและสตาร์ชมันฝรั่งที่เพิ่มขึ้นภายหลังการตัดแปรด้วยวิธีการให้ความร้อนชื้น และจากการศึกษาของ Leach และคณะ (1959) พบว่าการสูญเสียอะไมโลส จะลดลงเมื่อสตาร์ชผ่านการตัดแปรด้วยวิธีการให้ความร้อนชื้น

4.9 ผลของการดัดแปลงสตาร์ชข้าวเหนียวด้วยวิธีการให้ความร้อนชึ้นต่อความคงทนต่อการถูกย่อยด้วยเอนไซม์แอลฟ่าอะไมเลสจากตับอ่อนของสกุ

การดัดแปลงสตาร์ชข้าวเหนียวด้วยวิธีการให้ความร้อนชึ้น ส่งผลทำให้สตาร์ชมีความคงทนต่อการถูกย่อยด้วยเอนไซม์แอลฟ่าอะไมเลสเพิ่มมากขึ้นตามสภาพการดัดแปลงที่สูงขึ้น ยกเว้นการดัดแปลงที่สภาวะ 30-100-4 ที่มีค่าร้อยละการถูกย่อยด้วยเอนไซม์แอลฟ่าอะไมเลสลดลงมากกว่าที่สภาวะ 20-100-4 และในการดัดแปลงที่ระดับความชื้นร้อยละ 20 และ 30 ส่งผลให้สตาร์ชมีร้อยละการถูกย่อยด้วยเอนไซม์แอลฟ่าอะไมเลสมากกว่าสตาร์ชที่ไม่ผ่านการดัดแปลงอย่างมีนัยสำคัญทางสถิติที่ระดับความเชื่อมั่นร้อยละ 95



ภาพที่ 4-42 ร้อยละการถูกย่อยด้วยเอนไซม์แอลฟ่าอะไมเลสของสตาร์ชข้าวเหนียวดัดแปลงที่ระดับความชื้นร้อยละ 10, 20 และ 30 และสตาร์ชข้าวเหนียวที่ไม่ผ่านการดัดแปลง (Native starch)

การทำงานของเอนไซม์แอลฟ่าอะไมเลสในการย่อยองค์ประกอบภายในสตาร์ช มี 3 ขั้นตอน (พักร์ประไฟ และคณะ, 2546) ขั้นตอนแรกเป็นขั้นตอนการทำให้มีดสตาร์ชเกิดการเจล荔枝ในเชซันทำให้มีดแบ่งเกิดการพองตัว ขั้นตอนถัดมาคือการเกิดลิโคแฟคชัน (Liquefaction) เป็นขั้นตอนการลดความหนืดของสตาร์ชที่เกิดเจล โดยการย่อยโมเลกุลของ

สตาร์ชแบบสุ่มของลูกโซ่กลูโคส ทำให้แยกเป็นสายสัน្តิ โมเลกุลเมื่อหาดเล็กลง และความหนืดลดลง ขั้นตอนสุดท้ายเรียกว่า การเกิดแซคคาเรฟิเคชัน (saccharification) เป็นขั้นตอนการย่อยแบ่งให้เป็นโมเลกุลน้ำตาล ภายหลังจากการย่อยจะได้น้ำตาลโมเลกุลเดียวหรือน้ำตาลที่มีโมเลกุลสูงกว่า ผลผลิตที่ได้คือกลูโคส มอลโตส หรือมอลโตไตรอส และปัจจัยที่ทำให้สตาร์ชแต่ละชนิดมีความคงทนต่อการถูกย่อยด้วยเอนไซม์แอลฟาระไม่เหลสารแต่กันขึ้นกับ ขนาดสตาร์ชแกรนูล พื้นที่ผิว, ชนิดของหน่วยเซลล์ (แบบเอ, แบบบี หรือแบบเอบวกบี), สัดส่วนของอะไมโลสและอะไมโลเพกติน, ปริมาณการเกิดอะไมโลสสิบิดคอมเพล็กซ์, ความเป็นผลึกและการกระจายตัวของกิ่งอะไมโลเพกตินระหว่างส่วนอสัณฐานและส่วนผลึกภายในโครงสร้างของอะไมโลเพกติน (Holm และคณะ, 1983, Hoover และคณะ, 1991, Jane และคณะ, 1997 และ Planchot และคณะ, 1997)

จากการวิเคราะห์ความคงทนต่อการย่อยด้วยเอนไซม์แอลฟาระไม่เหลของสตาร์ชข้าวเหนียวที่ผ่านการดัดแปรและสตาร์ชข้าวเหนียวปกติจากค่าร้อยละการถูกย่อยด้วยเอนไซม์พบว่าสตาร์ชดัดแปรที่ระดับความชื้นร้อยละ 10 และ 20 มีค่าร้อยละการถูกย่อยด้วยเอนไซม์น้อยกว่าสตาร์ชปกติอย่างมีนัยสำคัญทางสถิติที่ระดับความเชื่อมั่นร้อยละ 95 อาจเนื่องมาจากการดัดแปรสตาร์ชส่งผลให้เกิดการเรียงตัวใหม่ภายในโมเลกุลสตาร์ชทำให้สตาร์ชมีโครงสร้างที่แข็งแรงกว่าเดิม (Celia และคณะ, 1995) ซึ่งผลที่ได้สอดคล้องกับค่าร้อยละความเป็นผลึกของสตาร์ช (ตารางผนวกที่ ข-1) โดยสตาร์ชที่มีร้อยละความเป็นผลึกมาก โครงสร้างภายในมีความแข็งแรงจึงทำให้อ่อนไชม์แอลฟาระไม่เหลเข้าไปทำปฏิกิริยาได้ยากขึ้น

ส่วนสตาร์ชข้าวเหนียวที่ดัดแปรที่สภาวะ 30-120-1 และ 30-120-4 มีความคงทนต่อการถูกย่อยด้วยเอนไซม์แอลฟาระไม่เหลลดลง จากค่าร้อยละการถูกย่อยด้วยเอนไซม์แอลฟาระไม่เหลที่สูงขึ้น เป็นผลมาจากการชั้นชั้นมีคุณสมบัติในการเป็นพลาสติกizer (plasticizer) ใน การเปลี่ยนสถานะของโครงสร้างภายในจากของแข็งคล้ายแก้วเป็นของแข็งคล้ายยางหรือการเกิดเจลาทีนเซชัน ส่งผลให้อ่อนไชม์เข้าไปทำปฏิกิริยาและเกิดการย่อยได้ดียิ่งขึ้น ซึ่งให้ผลการศึกษาเช่นเดียวกับ Celia และคณะ (1995) ที่พบว่าการดัดแปรสตาร์ชข้าวโพดและสตาร์ชข้าวโพดข้าวเหนียวที่ระดับความชื้นที่ร้อยละ 27 สตาร์ชทั้งสองชนิดมีค่าร้อยละการถูกย่อยด้วยเอนไซม์แอลฟาระไม่เหลมากกว่าสตาร์ชดัดแปรที่ระดับความชื้นร้อยละ 24 และร้อยละ 18 ตามลำดับ โดยให้เหตุผลว่าเกิดจากการดัดแปรที่ความชื้นสูงทำให้เกิดการทำลายแรงยึดเหนี่ยวภายในโมเลกุลสตาร์ช ส่งผลให้อ่อนไชม์แอลฟาระไม่เหลสามารถเข้าไปทำปฏิกิริยาได้ดีขึ้น และสตาร์ชที่ผ่านการดัดแปรมีค่าร้อยละการถูกย่อยด้วยเอนไซม์แอลฟาระไม่เหลสูงกว่าสตาร์ชที่ไม่ผ่านการดัดแปร อาจเป็นผลมาจากการดัดแปรสตาร์ชทำให้เกิดความเสียหายที่บริเวณผิวของสตาร์ชแกรนูล ทำให้อ่อนไชม์แอลฟาระไม่เหลเข้าไปทำปฏิกิริยาได้ง่ายขึ้น (Planchot และคณะ, 1997) และการดัดแปรสตาร์ชอาจทำให้เกิดการทำลายเกลี่ยวคู่และส่วนอสัณฐานถูกทำลาย ซึ่งการที่เกลี่ยวคู่ถูกทำลายจะทำให้เกิดการคลายเกลี่ยวของเกลี่ยวคู่ ส่งผลให้บริเวณแอดคีฟไชร์

(Active site) ของเอนไซม์แอลฟ่าอะไมเลสเข้าไปทำปฏิกิริยาที่ได้รับขึ้น (Gunaratne และคณะ, 2002) ซึ่งให้ผลเช่นเดียวกับ Anderson และคณะ (2002) ที่ศึกษาความคงทนต่อการถูกย่อยด้วยเอนไซม์แอลฟ่าอะไมเลสในสตาร์ชข้าวเหนียวที่ผ่านการดัดแปลงด้วยวิธีการให้ความร้อนขึ้น พบว่าสตาร์ชที่ผ่านการดัดแปลงถูกย่อยด้วยเอนไซม์แอลฟ่าอะไมเลสมากขึ้น

บทที่ 5

สรุปผลการทดลองและข้อเสนอแนะ

การดัดแปลงสตาร์ชข้าวเหนียวด้วยวิธีการให้ความร้อนชื้นส่งผลให้สตาร์ชเกิดการเปลี่ยนแปลงคุณสมบัติทางเคมีกายภาพต่างๆดังนี้

5.1 การเปลี่ยนแปลงลักษณะทางสัณฐานโดยใช้กล้องจุลทรรศน์อิเล็กตรอนแบบส่องกราด (Scanning Electron Microscopy, SEM) พบว่าการดัดแปลงสตาร์ชไม่ทำให้เกิดการเปลี่ยนแปลงขนาดและรูปร่างของเม็ดสตาร์ช และการดัดแปลงสตาร์ชที่อุณหภูมิสูงขึ้นและระดับความชื้นที่สูงขึ้นจะทำให้เม็ดสตาร์ชเกิดการเกาะรวมตัวกันมากขึ้น

5.2 การเปลี่ยนแปลงสีของสตาร์ชข้าวเหนียว พบร่วมกับการดัดแปลงสตาร์ชส่งผลให้เกิดการเปลี่ยนแปลงสีของสตาร์ชเมื่อวิเคราะห์ด้วยเครื่องวัดสี (colorimeter) โดยสตาร์ชที่ผ่านการดัดแปลงมีค่าความสว่าง (L^*) เพิ่มขึ้นในทุกสภาวะที่ทำการศึกษา ยกเว้นที่สภาวะ 30-100-4 และ 30-120-4 ที่มีค่าความสว่างลดลง ส่วนค่าสี a^* พบร่วมกับการดัดแปลงมีค่า a^* ไม่แตกต่างจากสตาร์ชข้าวเหนียวปกติ และพบว่าสตาร์ชที่ผ่านการดัดแปลงมีความเป็นสีเหลืองมากขึ้นจากค่า b^*

5.3 การเปลี่ยนแปลงโครงสร้างผลึกเมื่อวิเคราะห์ด้วยเครื่อง X-ray diffractometer พบร่วมกับการดัดแปลงรูปแบบผลึก โดยยังคงรักษารูปแบบโครงสร้างผลึกแบบเดิมทั้ง 3 พิค แต่สตาร์ชที่ผ่านการดัดแปลงมีการเปลี่ยนแปลงของพีคของดิฟเฟรนซ์ไดแกรมโดยมีความหนาแน่นของพีคลดลง และจุดสูงสุดของพีคลดลง และเมื่อวิเคราะห์ความเป็นผลึกของสตาร์ชดัดแปลงพบว่าสตาร์ชที่ผ่านการดัดแปลงร้อยละความเป็นผลึกเพิ่มขึ้นและลดลงกว่าสตาร์ชข้าวเหนียวปกติโดยสตาร์ชดัดแปลงที่สภาวะ 20-100-1 มีร้อยละความเป็นผลึกมากที่สุด และที่สภาวะ 30-120-4 มีร้อยละความเป็นผลึกน้อยที่สุด

5.4 การเปลี่ยนแปลงการเกิดเจลาทีนเซชันเมื่อวิเคราะห์ด้วยเครื่อง Differential Scanning Calorimeter (DSC) พบร่วมกับการดัดแปลงรูปแบบเนื้อโดยเทอร์มแบบดูดความร้อนเป็นพีคเดี่ยว และในการดัดแปลงที่ระดับความชื้นร้อยละ 20 และ 30 จะพบร่วมกับการเปลี่ยนแปลงของเส้นกราฟโดยมีการเปลี่ยนตำแหน่งของพีค ส่วนการดัดแปลงที่สภาวะ 30-120-4 เส้นกราฟมีลักษณะของพีคที่หายไป และการดัดแปลงสตาร์ชยังส่งผลต่ออุณหภูมิเริ่มเปลี่ยนแปลง (T_0) อุณหภูมิการดูดความร้อนสูงสุด (T_p) และอุณหภูมิสุดท้าย (T_c) ที่มีแนวโน้มที่สูงขึ้นเมื่อมีการดัดแปลงที่ระดับความชื้นร้อยละ 20 และ 30 โดยพบร่วมกับการดัดแปลงที่ผ่าน

การดัดแปรที่ระดับความชื้นร้อยละ 30 จะมีการเปลี่ยนแปลงของค่า T_0 , T_p และ T_c ที่สูงขึ้นมากกว่าที่สภาวะอื่นๆ ส่วนช่วงอุณหภูมิในการเกิดเจลาติในเซชัน (T_c-T_0) ของสารช้าเหนียวที่ผ่านการดัดแปรพบว่าไม่มีความแตกต่างจากสารช้าเหนียวปกติ และค่าพลังงานเอนthalpie (ΔH) ซึ่งเป็นพลังงานที่ใช้ในการถลายนโครงสร้างผลึกในการเกิดเจลาติในเซชันของสารช้าเหนียวที่ผ่านการดัดแปรที่ระดับความชื้นร้อยละ 10 ไม่แตกต่างจากสารช้าเหนียวที่ไม่ผ่านการดัดแปร และการดัดแปรที่ระดับความชื้นร้อยละ 20 และ 30 ส่งผลให้ค่าพลังงานเอนthalpie (ΔH) มีค่าสูงขึ้น ยกเว้นการดัดแปรที่สภาวะ 30-120-4 ที่มีค่าพลังงานเอนthalpie น้อยกว่าสารช้าปกติ

5.5 การเปลี่ยนแปลงความหนืดของสารช้าเมื่อวิเคราะห์ด้วยเครื่อง Rapid Visco Analyser (RVA) พบว่าสารช้าดัดแปรที่ระดับความชื้นร้อยละ 10 และ 20 มีอุณหภูมิเริ่มเกิดความหนืด (pasting temperature) ไม่แตกต่างจากสารช้าปกติ แต่สารช้าดัดแปรที่ระดับความชื้นร้อยละ 30 มีอุณหภูมิเริ่มเกิดความหนืดสูงขึ้น และการดัดแปรสารช้าเหนียวที่สภาวะที่สูงขึ้นทำให้ความหนืดสูงสุด (peak viscosity) ความหนืดต่อสุญญากาศ (Through viscosity) หนึ่งลดลง (breakdown) เช็ตแบค (setback) มีแนวโน้มลดลงตามสภาวะการดัดแปรที่สูงขึ้น

5.6 การเปลี่ยนแปลงค่าร้อยละการพองตัวและร้อยละการละลายของสารช้า พบว่าสารช้าเหนียวที่ผ่านการดัดแปรในทุกสภาวะมีค่าร้อยละการพองตัวที่น้อยกว่าสารช้าปกติ และมีค่าลดลงเรื่อยๆ ตามสภาวะการดัดแปรที่สูงขึ้น ส่วนค่าร้อยละการละลายของสารช้าเหนียวดัดแปรที่ระดับความชื้นร้อยละ 10 มีค่ามากกว่าสารช้าปกติ และการดัดแปรสารช้าที่ระดับความชื้นร้อยละ 20 และ 30 มีค่าร้อยละการละลายที่น้อยกว่าสารช้าปกติ ยกเว้นการดัดแปรที่สภาวะ 30-120-4 ที่มีค่าร้อยละการละลายมากที่สุด

5.7 การเปลี่ยนแปลงความใสของสารช้า พบว่าสารช้าเหนียวที่ผ่านการดัดแปรที่ระดับความชื้นร้อยละ 10 มีความใสไม่แตกต่างกับสารช้าปกติ และสารช้าดัดแปรที่ระดับความชื้นร้อยละ 20 และ 30 มีแนวโน้มของความใสลดลงตามสภาวะการดัดแปรที่สูงขึ้น ยกเว้นการดัดแปรที่สภาวะ 30-120-4 ที่มีความใสมากที่สุด

5.8 การเปลี่ยนแปลงปริมาณอะไมโลส พบว่าสารช้าเหนียวที่ผ่านการดัดแปรส่งผลให้ปริมาณอะไมโลสเพิ่มขึ้นและลดลง โดยการดัดแปรที่สภาวะ 20-120-4 มีปริมาณอะไมโลสน้อยที่สุด และที่สภาวะ 30-100-1 มีปริมาณอะไมโลสมากที่สุดและมากกว่าสารช้าปกติ

5.9 ความคงทนต่อการย่อยด้วยเอนไซม์แอลฟาระไมเลส พบว่าความคงทนต่อการย่อยด้วยเอนไซม์แอลฟาระไมเลสที่ระดับความชื้นร้อยละ 10 มีแนวโน้มน้อยกว่าสารช้าปกติ ส่วนที่ระดับความชื้นร้อยละ 20 และ 30 ความคงทนต่อการย่อยด้วยเอนไซม์แอลฟาระไมเลสมีแนวโน้มเพิ่มขึ้น ยกเว้นที่สภาวะ 30-120-1 และ 30-120-4 ที่มีความคงทนต่อการย่อยด้วยเอนไซม์แอลฟาระไมเลสลดลงอย่างมาก

ข้อเสนอแนะ

การดัดแปลงสตาร์ช้าวนี้ยังด้วยวิธีการให้ความร้อนชื้นเป็นการศึกษาถึงปัจจัยต่างๆ ที่ใช้ในการดัดแปลงที่มีผลต่อการเปลี่ยนแปลงคุณสมบัติของสตาร์ช้าวนี้ โดยปัจจัยที่ศึกษาได้แก่ อุณหภูมิ ความชื้น และระยะเวลาที่ใช้ในการดัดแปลง ใน การนำไปใช้ประโยชน์ทางอุตสาหกรรม จึงควร มีการศึกษาปัจจัยร่วมต่างๆ นี้ให้หลากหลายยิ่งขึ้น เพื่อให้เหมาะสมกับผลิตภัณฑ์อาหารและอุตสาหกรรมต่างๆ ที่ใช้สตาร์ช้าวนี้ หรือสามารถใช้สตาร์ช้าวนี้ เป็นส่วนประกอบทดแทนได้

การศึกษานี้ เป็นการทดลองในระดับห้องปฏิบัติการ ซึ่งจะเป็นข้อมูลพื้นฐานที่เป็นประโยชน์อย่างยิ่งในการศึกษาการดัดแปลงสตาร์ชชนิดอื่นๆ ด้วยวิธีการให้ความร้อนชื้น และควร มีการทดลองการดัดแปลงสตาร์ชด้วยวิธีการให้ความร้อนชื้นในระดับอุตสาหกรรม เพื่อให้มั่นใจว่า สตาร์ชดัดแปลงที่ได้มีคุณสมบัติที่เหมือนหรือใกล้เคียงกับผลการทดลองที่ได้จากการศึกษาใน ระดับห้องปฏิบัติการ และในอุตสาหกรรมการดัดแปลงสตาร์ชควร มีการศึกษาวิธีการให้ความร้อน ต่างๆ เช่น การให้ความร้อนโดยการใช้คลื่นไมโครเวฟ หรือการใช้รังสีอินฟราเรด เพื่อ เปรียบเทียบกับวิธีการใช้ความร้อน และการพากความร้อน

เอกสารอ้างอิง

- กล้านรงค์ ศรีรอด และ เกื้อกูล ปิยะจอมขวัญ. 2546. เทคโนโลยีของแป้ง. พิมพ์ครั้งที่3.
สำนักพิมพ์มหาวิทยาลัยเกษตรศาสตร์, กรุงเทพฯ. 303 หน้า.
- พักรธ์ประไพ ประจำเมือง และ วิชัย ลีลาธรรมชาต. 2546. เอนไซม์ที่เกี่ยวข้องกับการย่อยแป้ง.
วารสารศูนย์บริการวิชาการ มหาวิทยาลัยขอนแก่น. ปีที่ 11 ฉบับที่ 4 ประจำเดือน
ตุลาคมถึงธันวาคม.
- พินทิพย์ รัมภากරณ์. 2547. การดัดแปลงสตาร์ชข้าวโดยใช้ความร้อนร่วมกับความชื้น. บริษัท
วิทยาศาสตร์มหาบัณฑิต. สาขาวิชาวิทยาศาสตร์การอาหาร. ภาควิชาวิทยาศาสตร์และ
เทคโนโลยีการอาหาร. มหาวิทยาลัยเกษตรศาสตร์. กรุงเทพฯ.
- อรонงค์ นัยวิกุล. 2538. เคมีทางธัญญาหาร. ภาควิชาวิทยาศาสตร์และเทคโนโลยีการอาหาร.
คณะอุตสาหกรรมเกษตร. มหาวิทยาลัยเกษตรศาสตร์, กรุงเทพฯ.
- ออนไล ສุขสมบูรณ์, พัลลภ ไพบูลย์, กรกช หล่อโลหการ, กิตติญาณ เชี่ยวเชิงค้า, มนต์ราม
อินทร์, และ อรอนงค์ นัยวิกุล. 2547. งานวิจัยด้านพีช. การใช้ประโยชน์จากสตาร์ช
ข้าว. ภาควิชาวิทยาศาสตร์และเทคโนโลยีการอาหาร. คณะอุตสาหกรรมเกษตร.
มหาวิทยาลัยเกษตรศาสตร์.
- Adebawale, O.K. and Lawal, S.O. 2003. Microstructure, physicochemical properties and
retrogradation behaviour of Mucuna bean (*Mucuna pruriens*) starch on heat
moisture treatments. *Food Hydrocolloids* 17: 265-272.
- Anderson, K.A. and Guraya, S.H. 2006. Effect of microwave heat-moisture treatment
on properties of waxy and non-waxy rice starches. *Food Chemistry* 97: 318-323.
- Anderson, K.A., Guraya, S.H., James, C. and Salvaggio, L. 2002. Digestibility and
pasting properties of rice starch heat-moisture treated at melting temperature
(T_m). *Starch/Starke* 54: 401-409.
- Atwell, W.A., Hosney, R.C. and Lineback, D.R. 1980. Debranching of wheat
amylopectin. *Cereal Chemistry* 57: 12.
- BeMiller, J.N. and Whistler, R.L. 1996. Carbohydrates In O.R. Tennema (Ed.). *Food
Chemistry*. New York. Marcel Dekker. 157-224.
- Biliaderis, C.G., Maurice, T.J. and Vose, J.R. 1980. Starch gelatinization phenomena
studied by differential scanning calorimetry. *Journal Food Science* 45: 1669.

- Bogracheva, T., Wang, T., Morris, V.J., Ring, S.G. and Hedley, C.L. 1998. The granular structure of C-type pea starch and its role in gelatinization. *Biopolymer* 45: 323-332.
- Buleon, A., Colonna, P., Planchot, V. and Ball, S. 1998. Starch granules: structure and biosynthesis. *International Journal of Biological Macromolecules* 23: 85-112.
- Chen, J-J., Lai, M-F.V. and Lii, C-Y. 2003. Effects of compositional and granular properties on the pasting viscosity of rice starch blends. *Starch/Starke* 55: 203-212.
- Chungcharoen, A. and Lund, B.D. 1987. Influence of solutes and water on rice starch gelatinization. *Cereal Chemistry* 64(4): 240-243.
- Collado, L.S., Mahesa, L.B., Oates, C.G. and Corke, H. 2001. Bihon-type noodles from heat-moisture treated sweet potato starch. *Journal of Food Science* 66: 604-609.
- Craig, A.S.S., Maningat, C.C., Seib, A.P. and Hoseney, C.R. 1989. Starch paste clarity. *Cereal Chemistry* 66(3): 173-182.
- Donovan, W.J., Lorenz, K. and Kulp, K. 1983. Differential scanning calorimetry of heat-moisture treated wheat and potato starches. *Cereal Chemistry* 60(5): 381-387.
- Eliasson, A.C. 2004. *Starch in Food: Structure, Function and Applications*. Woodhead Publishing Limited. England.
- Eliasson, A.C. and Gudmundsson, M. 1996. Starch: physicochemical and functional aspects. In *Carbohydrates in Foods*. Marcel Dekker. New York.
- Farhat, A.I., Protzmann, J., Becker, A., Neale, R. and Hill, E.S. 2001. Effect of the extent of conversion and retrogradation on the digestibility of potato starch. *Starch/Starke* 53: 431-436.
- Fitzgerald, M.A., Martin, M., Ward, R.M., Park, W.D. and Shead, H.J. 2003. Viscosity of rice flour: a rheological and biological study. *Journal Agricultural Food Chemistry*, 51: 2295-2299.
- Gerard, C., Barron, C., Colonna, P. and Planchot, V. 2001. Amylose determination in genetically modified starches. *Carbohydrate Polymer* 44: 19-27.
- Gunaratne, A. and Hoover, R. 2002. Effect of heat-moisture treatment on the structure and physicochemical properties of tuber and root starches. *Carbohydrate Polymer* 49: 425-437.

- Hamaker, R.B. and Griffin, K.V. 1993. Effect of disulfide bond-containing protein on rice starch gelatinization and pasting. *Cereal Chemistry* 70(4): 377-380.
- Han, X.Z. and Hamaker, B.R. 2001. Amylopectin fine structure and rice starch paste breakdown. *Journal of Cereal Science* 34: 279-284.
- Hermans, H.P. and Weidinger, A. Quantitative x-ray investigations on the crystallinity of cellulose fibers: a background analysis. *Journal of Applied Physics* 19:491-506.
- Hizukuri, S. 1986. Polymodal distribution of the chain lengths of amylopectin and its significance. *Carbohydrate Research* 147: 342-347.
- Holm, J., Bjorck, I., Ostrowska, S., Eliasson, A.C., Asp, N. G., Larsson, K. and Lundquist, L. 1983. Digestibility of amylase-lipid complexes in vitro and in vitro. *Starch* 35: 294-297.
- Hoover, R. and Hadziyev, D. 1981. Characterization of potato starch and its monoglyceride complex. *Starch/staerke* 33: 290.
- Hoover, R. and Manule, H. 1996. The Effect of heat-moisture treatment on the structure and physicochemical properties of normal maize, waxy maize, dull waxy maize and amylo maize V starches. *Journal of Cereal Science* 23: 153-162.
- Hoover, R. and Sosulski, F.W. 1991. Composition, structure, functionality and chemical modification of legume starches. A review. *Canadian Journal of Physiology and Pharmacology* 69: 79-92.
- Hoover, R. and Vasanthan, T. 1994. Effect of heat moisture treatment on the structure and physicochemical properties of cereal; tuber and legume starches. *Carbohydrate Research* 252: 33-53.
- Imbery, A., Buleon, A., Tran, V. and Perez, S. 1991. Recent advances in knowledge of starch structure. *Starch* 43: 375-384.
- Jacobs, H. and Delcour, A.J. 1998. Hydrothermal modifications of granular starch, with retention of the granular structure: review. *Journal of Food Chemistry* 46: 2895-2905.
- Jacobs, H., Mischenko, N., Koch, H.J.M., Eerlingen, C.R., Delcour, A.J. and Reynaers, H. 1998. Evaluation of the Impact of annealing on gelatinization at intermediate water content of wheat and potato starches: a differential scanning calorimetry and small angle x-ray scattering study. *Carbohydrate Research* 306: 1-10.

- Jane, J.L., Wang, K.S. and Mcpherson, A.E. 1997. Branch structure difference in starches of A and B-type X-ray pattern revealed by their Naegeli dextrins. Carbohydrate Research 300: 219-227.
- Juliano, B.O. 1998. Varietal impact on rice quality. Cereal Food World 43: 207-222.
- Kasemsuwan, T. and Jane, L. 1996. A quantitative method for the survey of starch phosphate derivatives and starch phospholipids by 31P nuclear magnetic resonance spectroscopy. Cereal Chemistry 73: 702-707.
- Karim, A.A., Norziah, M.H. and Seow, C.C. 2000. Methods for the study of starch retrogradation. Journal of Food Chemistry 71: 9-36.
- Katz, J.R. and Van Itallie, T.B. 1930. Abhandlungen zur physikalischen Chenie der Starke und der Brotbereitung. Z.Physikal Chem 150: 90-99.
- Kawabata, A., Takase, N., Miyoshi, E., Sawayama, S., Kimura, T.S. and Kudo, K. 1994. Microscopic observation and x-ray diffractometry of heat/moisture-treated starch granules. Starch/Stake 46: 463-469.
- Kennedy G, Burlingame, B. 2003. Analysis of food composition data on rice from a plantgenetic resources perspective. Food Chemistry 80: 589±596.
- Kerr, R.W. and Cleveland, F.C. 1962. Thickening agent and method of making the same. U.S.patent no. 3,021,222.
- Krueger, B.R., Walker, C.E., Knutson, C.A. and Inglett, G.E. 1987. Differential scanning calorimetry of raw and annealed starch isolated from normal and maize genotypes. Cereal Chemistry 54: 187.
- Kulp, K. and Lorenz, K. 1981. Heat-moisture treatment of starches. I. Physicochemical properties. Cereal Chemistry 58: 46-48.
- Lawal, S.O. 2005. Studies on the hydrothermal modifications of new cocoyam (*Xanthosoma sagittifolium*) starch. International Journal of Biological Macromolecules 37: 268-277.
- Lii, C-Y., Lai, M-F.V. and Shen, M-C. 2004. Changes in retrogradation properties of rice starches with amylose content and molecular properties. Cereal Chemistry 81(3): 392-398.
- Lii, C.Y., Lai, V.M.F., Lu, S. and Tsai, M.L. 1998. Correlation between the physical property, eating quality and the molecular structure of rice-starchy systems. Zywnosc Technologia Jakosc (Poland) 4: 72-86.

- Lii, C.Y., Tsai, M.L. and Tseng, K.H. 1996a. Effect of amylose content on the rheological property of rice starch. *Cereal Chemistry* 73: 415±420.
- Lim, S.T., Chang, H.E. and Chung, J.H. 2001. Thermal transition characteristics of heat-moisture treated corn and potato starches. *Carbohydrate Polymer* 46: 107-115.
- Lim, S.T., Kasemsuwan, T. and Jane, J. 1994. Characterization of phosphorus in starch by 31P-nuclear magnetic resonance spectroscopy. *Cereal Chemistry* 71: 488.
- Lorenz, K. and Kulp, K. 1982. Cereal and root starch modification by heat-moisture treatment.I.Physico-chemical properties. *Starch/Stärke* 34: 50-54.
- Lu, S., Chen, Y.N. and Lii, C.Y. 1997. Correlation between the fine structure, physicochemical properties, and retrogradation of amylopectins from Taiwan rice varieties. *Cereal Chemistry* 74: 34-39
- Lu, S., Chen, Y.N. and Lii, C.Y. 1996. Gel-chromatography fractionation and thermal characterization of rice starch affected by hydrothermal treatment. *Cereal Chemistry* 73: 5-11.
- Mahanta, C.L. and Bhattachacharya, K.R. 1989. Thermal degradation of starch in parboiled rice. *Starch/Stärke* 41:9.
- Maningat, C.C. 1986. Chemical modification of wheat starch. Ph.D. dissertation. Kansas State University, Manhattan. KS.
- Maruta, I., Kurahashi, Y., Takano, R., Hayashi, K., Yoshino, Z., Komaki, T. and Hara, S. 1994. Reduced-pressure heat-moisture treatment: a new method for heat-moisture treatment of starch. *Starch/Stärke* 5: 177-181.
- Mellies, R.L., Yeats, T.E., Mehlretter, C.L. and Senti, F.R. 1961. Preparation and physical characteristics of cross-linked hypochlorite-oxidized corn starch. *Starch/Stärke* 13: 114.
- Miyazaki, M. and Morita, N. 2005. Effect of heat-moisture treated maize starch on the properties of dough and bread. *Food Research International* 38: 369-376.
- Miyoshi, E. 2002. Effects of heat-moisture and lipids on gelatinization and retrogradation of maize and potato starches. *Cereal Chemistry* 79(1): 72-77.
- Morikawa, K. and Nishinari, K. 2000. Rheological and DSC studies of gelatinization of chemically modified starch heated at various temperatures. *Carbohydrate Polymer* 43: 241-247.
- Morrison, W.R. and Azudin, M.N. 1987. Variation in the amylose and lipid contents and some physical properties of rice starches. *Journal of Cereal Science* 5: 35±39.

- Morrison, W.R., Milligan, T.P. and Azudin, M.N. 1984. A relationship between the amylose and lipid contents of starches from diploid cereals. *Journal of Cereal Science* 2: 257-260.
- Morrison, W.R., Tester, F.R., Snape, E.C., Law, R. and Gidley, J.M. 1993. Swelling and gelatinization of cereal starches. IV. Some effects of lipid-complexed amylose and free amylose in waxy and normal barley starches. *Cereal Chemistry* 70(4): 385-391.
- Murugesan, G. and Bhattacharya, K.R. 1989. The nature of starch in popped rice. *Carbohydrate Polymer* 10: 215.
- Nakazawa, F., Noguchi, S., Takahashi, J. and Takada, M. 1984. Gelatinization and retrogradation of rice starch studies by differential scanning calorimetry. *Agriculture Biological Chemistry* 48: 201.
- Ott, M. and Hester, E.E. 1965. Gel formation as related to concentration of amylose and degree of starch swelling. *Cereal Chemistry* 42: 476-484.
- Patel, K.B., Saibene, D. and Seetharaman, K. 2006. Restriction of starch granule swelling by iodine during heating. *Cereal Chemistry* 83(2): 173-178.
- Perera, C., Hoover, R. and Martin, A.M. 1997. The effect of hydroxypropylation on the structure and physicochemical properties of native, defatted and heat-moisture treated potato starches. *Food Research International* 30: 235-337.
- Perera, C. and Hoover, R. 1999. Influence of hydroxypropylation on retrogradation properties of native, defatted and heat-moisture treated potato starches. *Food Chemistry* 64: 361-375.
- Planchot, V., Colonna, P., Buleon, A. and Gallant, D. 1997. Amylolysis of starch granules and α -glucan crystallites. In R. J. Frazier, A. M. Donald & P. Richmond, *Starch structure and functionality*. Cambridge, UK. 141-152.
- Qi, X., Tester, R.F., Snape, C.E. and Ansell, R. 2003. Molecular basis of the gelatinization and swelling characteristics of waxy rice starches grown in the same location during the same season. *Journal of Cereal Science* 37: 363-376.
- Qit, X., Tester, F.R., Snape, E.C. and Ansell, R. 2003. Molecular basis of the gelatinization and swelling characteristics of waxy rice starches grown in the same location during the same season. *Journal of cereal science* 37: 363-376.

- Sair, L. 1966. Heat-moisture treatment of starch. *Cereal Chemistry* 44: 8-26.
- Schoch, T.J. 1942. Fractionality of starch by selective precipitation with butanol. *J.Am.Chem.Soc* 64: 2957.
- Shin, S., Byun, J., Park, K.H. and Moon, T.W. 2004. Effect of Partial Acid Hydrolysis and Heat-Moisture Treatment on Formation of Resistant Tuber Starch. *Cereal Chemistry* 81(2): 194-198.
- Sievert, D. and Pomeranz, Y. 1989. Enzyme-resistance starch. I. Characteristic and evaluation by enzymatic, thermoanalytical, and microscopic methods. *Cereal Chemistry* 66(4): 342-347.
- Singh, V., Okadome, H., Toyoshima, H., Isobe, S. and Ohtsubo, K. 2000. Thermal and physicochemical properties of rice grain, flour and starch. *Journal Agriculture of Food Chemistry* 48: 2639-2647.
- Slade, L., Lade, L. and Levine, H. 1988. Non-equilibrium melting of native granular starch. Part I. Temperature location of the glass transition associated with gelatinization of A-type cereal starches. *Carbohydrate Polymers* 8:183-208.
- Sodhi, N.S. and Singh, N. 2003. Morphological, thermal and rheological properties of starches separated from rice cultivars grown in India. *Food Chemistry* 80: 99-108.
- Stevens, D.J. and Elton, G.A.H. 1971. Thermal properties of the starch/water system. I. Measurement of heat of gelatinization by differential scanning calorimetry. *Starke* 23:8.
- Takaya, T., Sano, C. and Nishinari, K. 2000. Thermal studies on the gelatinization and retrogradation of heat-moisture treated starch. *Carbohydrate Polymer* 41: 97-100.
- Tester, F.R. and Morrison, R.W. 1990a. Swelling and gelatinization of cereal starches. I. Effects of amylopectin, amylose, and lipids. *Journal of Cereal Chemistry* 67(6): 551-557.
- Tester, F.R. and Morrison, R.W. 1990b. Swelling and gelatinization of cereal starches. II. Waxy rice starches. *Journal of Cereal Science* 67(6): 558-563.
- Tester, F.R., Karkalas, J. and Qi, X. 2004. Starch-composition, fine structure and architecture: review. *Journal of Cereal Science* 39: 151-165.

- Vandeputte, G.E., Derycke, V., Geeroms, J., Delcour, J.A. 2003b. Rice starches, II. Structural aspects provide insight in swelling and pasting properties. *Journal of Cereal Science* 38: 53-59.
- Vermeylen, R., Goderis, B. and Delcour, J.A. 2006. An X-ray study of hydrothermally treated potato starch. *Carbohydrate Polymer* 64: 364-375.
- Waigh, A.T., Hopkinson, I. and Donald, M.A. 1997. Analysis of the native structure of starch granules with x-ray microfocus diffraction. *Macromolecule* 30: 3813-3820.
- Wang, Y.J. and Wang, L.F. 2002. Structures of four waxy rice starches in relation to thermal, pasting and textural properties. *Journal of Cereal Chemistry* 79: 252-256.
- Yanagisawa, T., Domon, E., Fujita, M., Kiribuchi-Otobe, C. and Takayama, T. 2006. Starch pasting properties and amylose content from 17 waxy barley lines. *Cereal Chemistry* 83(4): 354-357.
- Yano, M., Okuno, K., Kawakami, J., Satoh, H. and Omura, T. 1985. High amylose mutants of rice, *Oryza sativa* L. *Theor Appl Genet* 69: 253-257.
- Zeleznak, J.K. and Hoseney, C.R. 1987. The glass transition in starch. *Cereal Chemistry* 64(2): 121-124.
- Zobel, H.F. 1988. Starch crystal transformations and their industrial importance. *Starch/Starke* 40(1): 1-7.
- Zhou, Z.K., Robards, K., Helliwell, S. and Blanchard, C. 2002. Composition and functional properties of rice. *International Journal of Food Science and Technology* 37: 849-868.

ภาคผนวก ก

วิธีการวิเคราะห์คุณสมบัติทางเคมีและกายภาพ

1. ปริมาณความชื้น (AOAC, 1990)

นำภาชนะใส่ตัวอย่างที่ทำด้วยอลูมิเนียมพร้อมฝาไปอบด้วยตู้อบลมร้อนควบคุมอุณหภูมิที่ 130 องศาเซลเซียสข้ามคืนและนำมาใส่ไว้ในโถดูดความชื้นทึบไว้ 1 ชั่วโมง ทำการซึ่งน้ำหนักภาชนะด้วยเครื่องซึ่งทchniy 4 ตำแหน่งบันทึกค่าน้ำหนักที่แน่นอน ใส่สตาร์ชลงในภาชนะที่ทราบน้ำหนักประมาณ 2 กรัมด้วยเครื่องซึ่งทchniy 4 ตำแหน่ง บันทึกค่าน้ำหนักที่แน่นอนของสตาร์ชนำไปโดยเปิดฝาในตู้อบลมร้อนควบคุมอุณหภูมิที่ 130 องศาเซลเซียสข้ามคืนจนน้ำหนักคงที่ นำออกมากจากตู้อบ ทำการปิดฝาทันทีและนำไปใส่ในโถดูดความชื้น 2 ชั่วโมง ทำการซึ่งน้ำหนักด้วยเครื่องซึ่งทchniy 4 ตำแหน่งบันทึกค่า และคำนวณเปอร์เซ็นต์ความชื้นตามสูตร

$$\text{ร้อยละความชื้น} = (\text{น้ำหนักสตาร์ชที่หายไป}/\text{น้ำหนักสตาร์ชก่อนอบ}) \times 100$$

2. การตรวจสอบลักษณะปรากฏทางสัณฐานของเม็ดสตาร์ชด้วยกล้องจุลทรรศน์อิเลคตรอนแบบส่องกราด (Scanning Electron Microscopy, SEM) (Walker, 1976)

2.1 นำสตาร์ชตัวอย่างติดกระจาดจำบันเทบกาวสองหน้าที่ติดอยู่บนแท่งอลูมิเนียม (aluminium stub)

2.2 นำแท่งอลูมิเนียมที่ติดสตาร์ชตัวอย่างแล้วนำเข้าเครื่องเคลือบทองเพื่อเคลือบทองลงที่ผิวของสตาร์ชสำหรับช่วยในการนำประจุอิเล็กตรอน

2.3 วางแท่งอลูมิเนียมที่ผ่านการเคลือบทองแล้วลงในช่องสำหรับใส่แท่งอลูมิเนียมภายในกล้องจุลทรรศน์อิเล็กตรอน

2.4 ตรวจดูลักษณะรูปร่างและลักษณะที่จะบันทึกภาพของเม็ดสตาร์ชโดยควบคุมความต่างศักย์ไฟฟ้าที่ 15 กิโลโวลต์ ใช้กำลังขยายที่ 100, 500 และ 2000 เท่าตามลำดับ

3. ค่าสี (Nollet, 1996)

ตรวจด้วยเครื่องวัดสีโดยนำตัวอย่างสตาร์ชบรรจุในภาชนะใส่ทรงกระบอกสำหรับวัดสีของเครื่อง และบันทึกค่าของสีที่วัดในระบบ Hunter เป็น L, a และ b

4. ปริมาณอะไมโลส (Juliano, 1971)

4.1 การเตรียมสารละลายน้ำมันฟรั่ง 0.040 กรัม ใส่ในขวดปริมาตรขนาด 100 มิลลิลิตร เติมเฉพาะน้ำมันละลายน้ำมันฟรั่ง 95 ปริมาตร 1 มิลลิลิตร เขย่าเบาๆอย่าให้อะไมโลสเกาะผนังขวดเดิมสารละลายน้ำมันฟรั่งให้ติดตัวอยู่ในขวด

เติมสารละลายน้ำมันฟรั่งให้ติดตัวอยู่ในขวด 1 มิลลิลิตร ใส่ในขวดปริมาตรขนาด 100 มิลลิลิตร เติมน้ำมันฟรั่งให้ติดตัวอยู่ในขวด 10 นาที นำแท่งแม่เหล็กลงไปในขวดปริมาตร จำนวนของเหลวน้ำมันฟรั่ง 10 นาที นำแท่งแม่เหล็กออกและล้างส่วนที่ติดมาให้กลับไปในขวดด้วยน้ำกลั่น เติมน้ำกลั่นให้ได้ปริมาตร 100 มิลลิลิตร เขย่าให้สารละลายน้ำมันฟรั่งเข้ากันดี

4.2 การเตรียมตัวอย่าง

เช่นเดียวกับการเตรียมสารละลามาตรฐานอะไมโลส ยกเว้นการซึ่งตัวอย่างสตาร์ช 0.100 กรัมโดยนำหันแห้ง แทนอะไมโลสบริสุทธิ์

4.3 การวิเคราะห์ตัวอย่าง

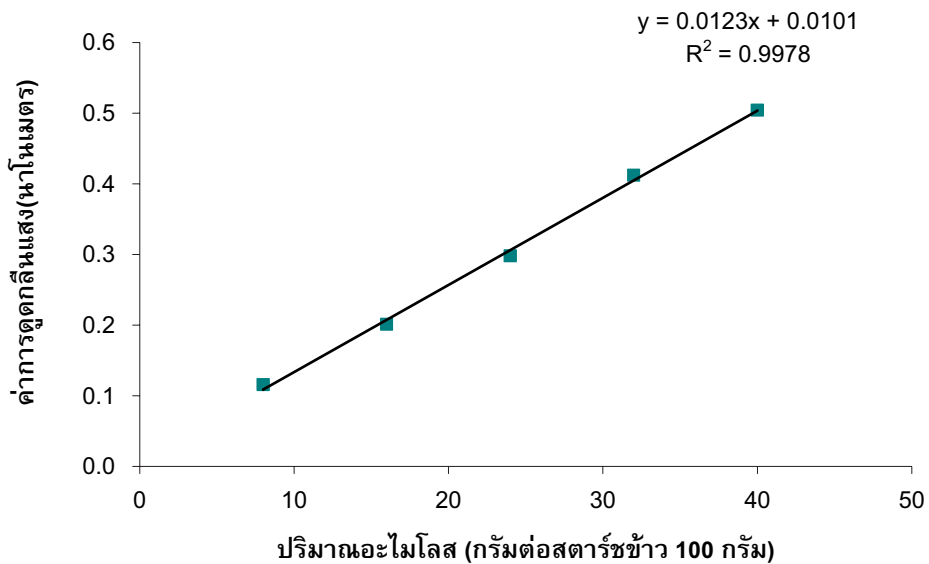
ปีเปตสารละลายน้ำหนักแห้ง แทนอะไมโลสบริสุทธิ์ 0.2 กรัม และปีเปตสารละลามาตรฐานอะไมโลดีน (เตรียมโดยละลายไอก็อดีน 0.2 กรัม และปีเปตสารละลามาตรฐานอะไมโลดีน 2.0 กรัมในน้ำหนักล้วน 100 มิลลิลิตร) ปริมาตร 2 มิลลิลิตร ปรับปริมาตรด้วยน้ำหนักล้วนให้ได้ 100 มิลลิลิตร เขย่าและตั้งทิ้งไว้ 20 นาที และทำเช่นเดียวกันแต่ไม่ใส่สารตัวอย่างเพื่อใช้เป็นแบลงค์ วัดค่าการดูดกลืนแสงของสารละลายที่ความยาวคลื่น 620 นาโนเมตร โดยปรับค่าสารละลายน้ำหนักต่อเท่ากับ 0

4.3 การเตรียมกราฟมาตราฐาน

ปีเปตสารละลามาตราฐานจากข้อ 4.1 ปริมาตร 1, 2, 3, 4 และ 5 มิลลิลิตร ใส่ขวดวัดปริมาตรขนาด 100 มิลลิลิตร เดิมนำหันล้วนปริมาตร 70 มิลลิลิตร ปีเปตกรดอะซิติกเข้มข้น 1 โมลาร์ ปริมาตร 1 มิลลิลิตรและสารละลายน้ำหนักต่อเท่ากับ 0.2, 0.4, 0.6, 0.8 และ 1.0 มิลลิลิตร ใส่ลงในขวดวัดปริมาตรที่มีสารละลามาตราฐานตามลำดับ และปีเปตสารละลายน้ำหนักต่อเท่ากับ 0.2 (นำหันกลับปริมาตร) ปริมาตร 2.0 มิลลิลิตร เดิมนำหันล้วนเพื่อปรับปริมาตรให้ได้ 100 มิลลิลิตร เขย่าสารละลายให้เข้ากันดี วัดค่าการดูดกลืนแสงของสารละลามาตราฐานที่ความยาวคลื่น 620 นาโนเมตรและวัดกราฟระหว่างปริมาณอะไมโลส (กรัมต่อແປงข้าว 100 กรัม หรือคิดเป็นร้อยละ 8, 16, 24, 32 และ 40) กับค่าการดูดกลืนแสง โดยใช้น้ำหนักล้วนเป็นแบลงค์ (แสดงดังภาพผนวกที่ ก-1)

4.4 การเปลี่ยนค่าการดูดกลืนแสงเป็นปริมาณอะไมโลส

นำค่าการดูดกลืนแสงที่ปริมาณตัวอย่าง 0.1000 กรัมของแต่ละตัวอย่างเทียบกับกราฟมาตราฐานแล้วอ่านค่าเป็นร้อยละของอะไมโลสต่อสตาร์ชข้าว 100 กรัม



ภาพพนวกที่ ก-1 グラฟมาตรฐานระหว่างปริมาณอะไมโลส (กรัมต่อสตาร์ชข้าว 100 กรัม) กับค่าการดูดกลืนแสงที่ความยาวคลื่น 620 นาโนเมตร

5. การวิเคราะห์ลักษณะโครงสร้างรังสีกลีกภายในเม็ดสตาร์ชด้วยเครื่อง X-ray Diffractometer (Cheetham และคณะ, 1998)

5.1 การเตรียมสตาร์ชก่อนการวิเคราะห์

ชั้งสตาร์ชประมาณ 7 กรัมใส่ลงในจานแก้ว (Petri dish) และเกลี่ยสตาร์ชให้ทั่ว นำจานแก้ววางเรียงในโถดูดความชื้น (desiccator) เป็นเวลาที่มีน้ำกลันอยู่ด้านล่างของภาชนะนาน 24 ชั่วโมง เพื่อให้ตัวอย่างสตาร์ชที่จะนำไปวิเคราะห์มีปริมาณความชื้นใกล้เคียงกัน (ร้อยละ 13-14)

5.2 การวิเคราะห์ด้วยเครื่อง X-ray Diffractometer

5.2.1 บรรจุสตาร์ชที่ปรับความชื้นแล้วลงในอุปกรณ์สำหรับบรรจุตัวอย่างโดยต้องเกลี่ยผิวน้ำของตัวอย่างให้เรียบ

5.2.2 นำตัวอย่างใส่เข้าเครื่อง โดยกำหนดสภาวะการทดสอบ คือใช้เป้าหมาย (target) เป็นทองแดง (Cu) ความต่างศักย์ไฟฟ้า 30 กิโลโวลท์ ใช้กระแสไฟฟ้า 40 มิลลิแอม培ร์ เริ่มสแกนที่มุมหักเหช่วง 5.00 ถึง 40.00 องศา ด้วยอัตราเร็ว 0.02 องศา 2 ต่อวินาที

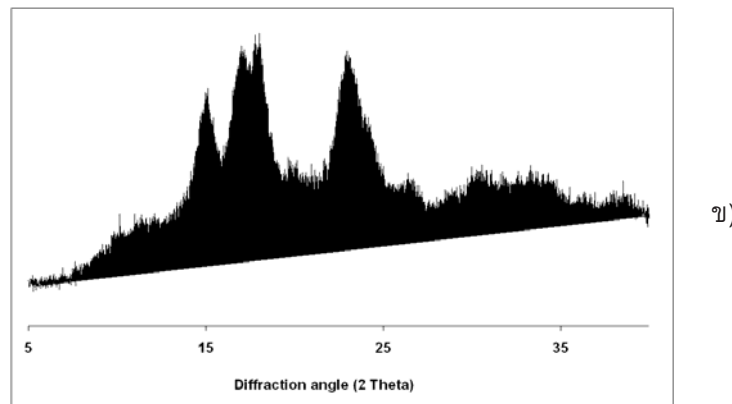
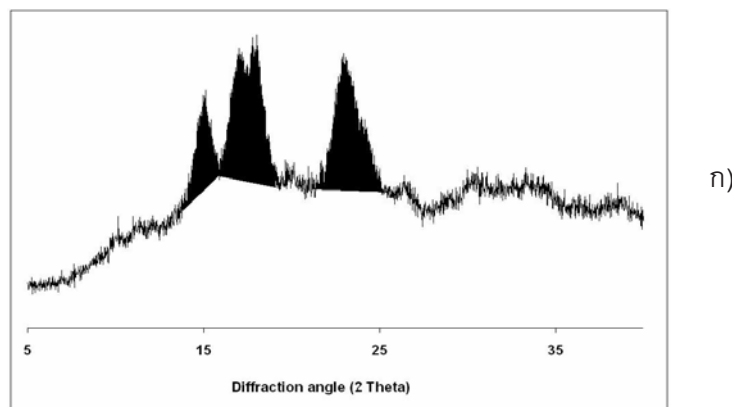
5.2.3 บันทึกรูปแบบการเลี้ยวเบนของรังสีเอกซ์ที่ได้และคำนวณค่าร้อยละความเป็นผลึก (Relative crystallinity) จากสมการซึ่งดัดแปลงมาจากวิธีการของ Cheetham และคณะ (1998) ดังนี้คือ

$$\text{ค่าร้อยละความเป็นผลึก} = \frac{\text{พื้นที่ได้พีด (A)} \times 100}{\text{พื้นที่ทั้งหมดของสเปกตรัม (B)}}$$

ค่าของพื้นที่ได้พีด (A) และพื้นที่ทั้งหมดของสเปกตรัม (B) สามารถคำนวณได้จาก การใช้โปรแกรมภาษาในเครื่อง ดังแสดงในภาพผนวกที่ ก-2

5.3 สถานที่วิเคราะห์

ห้องปฏิบัติการเอกซ์เรย์ดิฟแฟร์กชัน มหาวิทยาลัยเทคโนโลยีพระจอมเกล้าธนบุรี



ภาพผนวกที่ ก-2 ลักษณะสเปกตรัมที่วัดได้จากเครื่อง X-ray diffractometer ก) แสดงพื้นที่ได้พีด (A), ข) แสดงพื้นที่ทั้งหมดของสเปกตรัม (B)

6. การวิเคราะห์พฤติกรรมการเปลี่ยนแปลงความหนืดด้วยเครื่อง Rapid Visco Analyser (RVA) (Newport Scientific Pty. Ltd., 1995)

6.1 นำตัวอย่างสตาร์ชไปหาปริมาณความซึ่นตามวิธี AOAC (1990)

6.2 คำนวณน้ำหนักของสตาร์ชที่ใช้และปริมาตรน้ำตามสูตร

$$\text{ปริมาณแป้ง} = \frac{100 \times 4 \text{ กรัม (น้ำหนักแห้ง)}}{(100 - \text{เปอร์เซ็นต์ความซึ่นของสตาร์ช})}$$

$$\text{ปริมาณน้ำ} = 25 + 4 - \text{ปริมาณแป้งที่คำนวณได้}$$

6.3 ชั้งตัวอย่างสตาร์ชและเติมน้ำตามที่คำนวณไว้ลงในภาชนะอลูมิเนียม และใส่ใบพัดกวน (paddle) หมุนใบพัดกวนในลักษณะทวนเข็มและตามเข็มนาฬิกาจนสารละลายสตาร์ชผสมกันดี

6.4 ทำการวัดการเปลี่ยนแปลงความหนืด ตามโปรแกรม STD1 ดังนี้

เวลาเริ่มต้น อุณหภูมิ 50 องศาเซลเซียส ความเร็วรอบ 960 รอบต่อนาที

เวลา 10 วินาที อุณหภูมิ 50 องศาเซลเซียส ความเร็วรอบ 160 รอบต่อนาที

เวลา 1 นาที อุณหภูมิ 50 องศาเซลเซียส ความเร็วรอบ 160 รอบต่อนาที และเริ่มให้ความร้อน

เวลา 4 นาที 42 วินาที อุณหภูมิ 95 องศาเซลเซียส ความเร็วรอบ 160 รอบต่อนาทีจนถึง

เวลา 7 นาที 12 วินาที อุณหภูมิ 95 องศาเซลเซียส ความเร็วรอบ 160 รอบต่อนาที และเริ่มให้ความเย็น

เวลา 11 นาที อุณหภูมิ 50 องศาเซลเซียส ความเร็วรอบ 160 รอบต่อนาทีจนถึง

เวลา 13 นาที อุณหภูมิ 50 องศาเซลเซียส ความเร็วรอบ 160 รอบต่อนาที

ผลที่ได้จะได้ค่าอุณหภูมิเริ่มเกิดความหนืด (pasting temperature) ความหนืดสูงสุด (peak viscosity) ความหนืดต่ำสุดระหว่างการทำให้เย็น (trough) ความแตกต่างของความหนืดสูงสุดและต่ำสุด (breakdown) ความหนืดสุดท้าย (final viscosity) และการคืนตัว (setback)

7. การวิเคราะห์การเปลี่ยนแปลงเชิงความร้อนด้วยเครื่อง Differential Scanning Calorimeter (DSC) (ดัดแปลงจากกล้านรงค์ และเกื้อภูล, 2543 และ Baker และคณะ, 1998)

7.1 วิธีการทดลอง

ชั้งตัวอย่างสตาร์ชประมาณ 3.5 มิลลิกรัมโดยนำหันก้าง เติมน้ำร้อยละ 70 ของหันก้างทั้งหมดโดยใช้เข็มฉีดยาขนาดเล็ก (microsyring) ใส่ลงในภาชนะอลูมิเนียม (DSC pan) ปิดฝาและตั้งทิ้งไว้ 1 ชั่วโมง นำมาวิเคราะห์ด้วยเครื่อง Differential Scanning Calorimeter (DSC) โดยใช้อุณหภูมิเริ่มต้นที่ 25 องศาเซลเซียส คงไว้ 5 นาที แล้วจึงเพิ่มอุณหภูมิจนถึง 120 องศาเซลเซียสโดยใช้อัตราเร็ว 10 องศาเซลเซียสต่อนาที คำนวณหาค่าอุณหภูมิการเกิดเจลาทีไนเซชัน (T_0 , T_{p1} , T_{p2} และ T_c ; องศาเซลเซียส) และค่าเออนทาลปีการเกิดเจลาทีไนเซชัน ($\Delta H_{gelatinization}$; J/g)

7.2 วิธีการคำนวณค่าอุณหภูมิการเกิดเจลาทีไนเซชันและค่าเออนทาลปีการเกิดเจลาทีไนเซชัน

การคำนวณค่าอุณหภูมิการเกิดเจลาทีไนเซชัน (T_0 , T_{p1} , T_{p2} และ T_c ; องศาเซลเซียส) และค่าเออนทาลปีการเกิดเจลาทีไนเซชัน ($\Delta H_{gelatinization}$; J/g) จะสามารถคำนวณได้จากการใช้โปรแกรมภายใต้เครื่อง

8. การวิเคราะห์ความคงตัวต่อการย่อยด้วยเอนไซม์ (Susceptibility to enzyme digestion) ของสตาร์ช

8.1 การวิเคราะห์แอคติวิตี้ของเอนไซม์แอลฟอะไมเลสจากตับอ่อนของสุกร (Alpha-amylase from porcine pancreatic) (Bernfeld, 1995)

8.1.1 การเตรียมสารเคมี

8.1.1.1 สารละลายโซเดียมฟอสเฟตบัฟเฟอร์เข้มข้น 20 มิลลิโมลาร์ในโซเดียมคลอไรด์เข้มข้น 0.0067 โมลาร์ พีเอช 6.9 ที่อุณหภูมิ 20 องศาเซลเซียส ชั้งโซเดียมฟอสเฟตโมโนเบสิกแอนไฮดรัส 0.138 กรัม ปรับปริมาตรเป็น 50 มิลลิลิตรในขวดวัดปริมาตรโดยใช้สารละลายโซเดียมโซเดียมคลอไรด์เข้มข้น 0.0067 โมลาร์ จากนั้นปรับพีเอชเป็น 6.9 ด้วยสารละลายโซเดียมไฮดรอกไซด์เข้มข้น 1 โมลาร์ ในอ่างน้ำเย็นที่อุณหภูมิ 20 องศาเซลเซียส (สารละลายโซเดียมคลอไรด์และโซเดียมไฮดรอกไซด์ใช้น้ำดีไอโอดีน (deionized water) เป็นตัวทำละลาย)

8.1.1.2 สารละลายสตาร์ชมันฝรั่งเข้มข้นร้อยละ 1.0 ชั้งสตาร์ชมันฝรั่งที่ละลายนำไปได้ (Soluble potato starch) 0.250 กรัมใส่บีกเกอร์ เติมสารละลายข้อ 8.1.1.1 พอกว่า ใส่แหงแห้งเหล็กสำหรับ保存 จากนั้นนำไปกวนให้ความร้อนบนแก่นให้ความร้อนที่อุณหภูมิ

100 องศาเซลเซียส จับเวลาขณะเดือด 15 นาที ทำให้เย็นที่อุณหภูมิห้องและปรับปริมาตรเป็น 25 มิลลิลิตรด้วยน้ำดีไอโอดีนซ์

8.1.1.3 สารละลายโซเดียมโพแทสเซียมมาเทրตเข้มข้น 5.3 โมลาร์ ชั้งโซเดียมโพแทสเซียมมาเทรต 37.396 กรัมใส่บีกเกอร์ เติมสารละลายโซเดียมไฮดรอกไซด์เข้มข้น 2 โมลาร์ พอท่อมเป็นดัวทำละลาย ใส่แท่งแม่เหล็กสำหรับกวน นำไปกวนให้ความร้อนบนแท่นให้ความร้อนแต่ห้ามให้สารละลายเดือด เมื่อสารละลายเข้ากันดีทำให้เย็นที่อุณหภูมิห้องและปรับปริมาตรเป็น 25 มิลลิลิตรด้วยสารละลายโซเดียมไฮดรอกไซด์เข้มข้น 2 โมลาร์ที่ทำละลายด้วยน้ำดีไอโอดีนซ์ที่เตรียมไว้

8.1.1.4 สารละลายกรดไดโนโตรชาลิกไซลิกเข้มข้น 96 มิลลิโมลาร์ ชั้งกรดไดโนโตรชาลิกไซลิก 0.548 กรัมใส่บีกเกอร์ เติมน้ำดีไอโอดีนซ์พอท่อม ใส่แท่งแม่เหล็กสำหรับกวน นำไปกวนให้ความร้อนบนแท่นให้ความร้อนแต่ห้ามให้สารละลายเดือด เมื่อสารละลายละลายเข้ากันดี ทำให้เย็นที่อุณหภูมิห้องและปรับปริมาตรเป็น 25 มิลลิลิตรด้วยน้ำดีไอโอดีนซ์

8.1.1.5 สารละลายน้ำ ผสมสารละลายข้อ 8.1.1.3 ปริมาตร 8 มิลลิลิตรและสารละลายข้อ 8.1.1.4 ปริมาตร 20 มิลลิลิตรเข้าด้วยกัน จากนั้นปรับปริมาตรเป็น 40 มิลลิลิตรด้วยน้ำดีไอโอดีนซ์ ผสมให้เข้ากันดีและเก็บสารละลายในขวดสีชาโดยสารละลายน้ำที่เตรียมนี้มีอายุการใช้งานได้ 6 เดือน

8.1.1.6 สารละลายมอลโตสมารฐานเข้มข้นร้อยละ 0.2 (น้ำหนักต่อปริมาตร) นำลงมอลโตสอบในตู้อบลมร้อนที่อุณหภูมิ 90 องศาเซลเซียส นาน 2-3 ชั่วโมงก่อนการนำไปใช้เพื่อไล่ความชื้น ชั่งมอลโตส 0.050 กรัม ปรับปริมาตรเป็น 25 มิลลิลิตรด้วยน้ำดีไอโอดีนซ์

8.1.1.7 สารละลายเอนไซม์พอร์ซีนแพนเครย์สแอลฟ่าอะไมเลส เตรียมสารละลายเอนไซม์พอร์ซีนแพนเครย์สแอลฟ่าอะไมเลสให้มีความเข้มข้น 1 หน่วย เอนไซม์พอร์ซีนแพนเครย์สอัลฟ่าอะไมเลสต่อ 1 มิลลิลิตรในน้ำดีไอโอดีนซ์เย็น (1 ยูนิตต่อมิลลิลิตร)

8.1.2 วิธีการวิเคราะห์แอคติวิตีของเอนไซม์แอลฟ่าอะไมเลส

การวิเคราะห์แอคติวิตีของเอนไซม์จะปีเบตสารละลายเรียงตามลำดับ (ในหน่วยมิลลิลิตร) ดังตารางผนวกที่ ก-1 โดยใช้หลอดทดลองขนาด 10 มิลลิลิตรที่มีฝาปิด จำนวน 4 หลอด (หลอดที่ 1-3 เป็นหลอดทดสอบ และหลอดที่ 4 เป็นหลอดแบล็ค) และทำปฏิกิริยาในอ่างน้ำเย็นควบคุมอุณหภูมิที่อุณหภูมิ 20 องศาเซลเซียส

กำหนดให้ 1 หน่วยเอนไซม์ (Unit enzyme) หมายถึงปริมาณเอนไซม์ที่เร่งปฏิกิริยาการย่อยสลายสตาร์ชมอลโตส 1.0 มิลลิกรัม ในเวลา 3 นาที ที่พีเอช 6.9 อุณหภูมิ 20 องศาเซลเซียส

ตารางผนวกที่ ก-1 วิธีการวิเคราะห์ผลติดต่อของเอนไซม์และฟ้าอะไมเลส

วิธีการทดลอง	หลอดทดลอง (มิลลิลิตร)	หลอดทดสอบ (มิลลิลิตร)	หลอดแบbelงค์ (มิลลิลิตร)
8.1.2.1 ปีเปตสารละลายสถาาร์ชมันฝรั่ง (ข้อ 8.1.1.2) และ แซ่หลอดทดลองในอ่างน้ำเย็นนาน 3 นาที	1.00	1.00	
8.1.2.2 ปีเปตสารละลายเอนไซม์ (ข้อ 8.1.1.7) เขย่า สารละลายให้เข้ากัน ทิ้งให้ทำปฏิกิริยานาน 3 นาทีโดยมี การเขย่าหลอดทดลองตลอดเวลา	1.00	---	
8.1.2.3 ปีเปตสารละลายสี (ข้อ 8.1.1.5)	1.00	1.00	
8.1.2.4 ปีเปตสารละลายเอนไซม์ (ข้อ 8.1.1.7) ปิดฝา หลอดทดลองและรีบนำไปต้มในอ่างน้ำเดือกันที นาน 15 นาที เมื่อครบเวลานำหลอดทดลองมาทำให้เย็นในอ่าง น้ำแข็ง	---	1.00	
8.1.2.5 ปีเปตน้ำดีไอโอดีโนไซด์ใส่หลอดทดลอง เขย่า สารละลายให้เข้ากันและนำไปวัดค่าการดูดกลืนแสงที่ความ ยาวคลื่น 540 นาโนเมตร โดยปรับค่าแบbelงค์เป็น 0	9.00	9.00	

8.1.3 การเตรียมกราฟมาตรฐานมอลโตส

การเตรียมกราฟมาตรฐานจะปีเปตสารละลายเรียงตามลำดับ (ในหน่วย
มิลลิลิตร) ดังแสดงในตารางผนวกที่ ก-2 โดยใช้หลอดทดลองขนาด 10 มิลลิลิตรที่มีฝาปิด⁶
จำนวน 6 หลอด

เขียนกราฟมาตรฐานมอลโตส ระหว่างปริมาณมอลโตส หน่วยเป็นมิลลิกรัม
(คิดเป็น 0.4, 0.8, 1.2, 1.6 และ 2.0 มิลลิกรัมมอลโตส) กับค่าการดูดกลืนแสง (แสดงดังภาพ
ผนวกที่ ก-3)

ตารางผนวกที่ ก-2 การเตรียมกราฟมาตรฐานมอลโตส

วิธีการทดลอง	หลอดสารละลายน้ำที่						แบลงค์
	1	2	3	4	5		
8.1.3.1 สารละลายน้ำที่ต้องการ (ข้อ 8.1.1.2)	0.20	0.40	0.60	0.80	1.00	---	
8.1.3.2 น้ำดื่มไอโอดีโน (ข้อ 8.1.1.5) ปิดฝาหลอดทดลองและนำไปต้มในน้ำเดือดนาน 15 นาที เมื่อครบเวลานำหลอดทดลองมาทำให้เย็นในอ่างน้ำแข็ง	1.80	1.60	1.40	1.20	1.00	2.00	
8.1.3.3 สารละลายน้ำที่ต้องการ (ข้อ 8.1.1.5) ปิดฝาหลอดทดลองและนำไปต้มในน้ำเดือดนาน 15 นาที เมื่อครบเวลานำหลอดทดลองมาทำให้เย็นในอ่างน้ำแข็ง	1.00	1.00	1.00	1.00	1.00	1.00	
8.1.3.4 ปีเปตัน้ำดื่มไอโอดีโน เขย่าสารละลายน้ำเข้ากันและนำไปวัดค่าการดูดกลืนแสงที่ความยาวคลื่น 540 นาโนเมตร โดยปรับค่าสารละลายน้ำที่ต้องการเป็น 0	9.00	9.00	9.00	9.00	9.00	9.00	
สารละลายน้ำที่ต้องการเป็น 0	9.00	9.00	9.00	9.00	9.00	9.00	

8.1.4 การเปลี่ยนค่าการดูดกลืนแสงเป็นปริมาณมิลลิกรัมมอลโตส

นำค่าการดูดกลืนแสงที่ได้จากการวัดแอคติวิตี้ของเอนไซม์ (ข้อ 8.1.2) เทียบกับกราฟมาตรฐานมอลโตสแล้วคำนวณค่าเป็นปริมาณมิลลิกรัมของมอลโตส

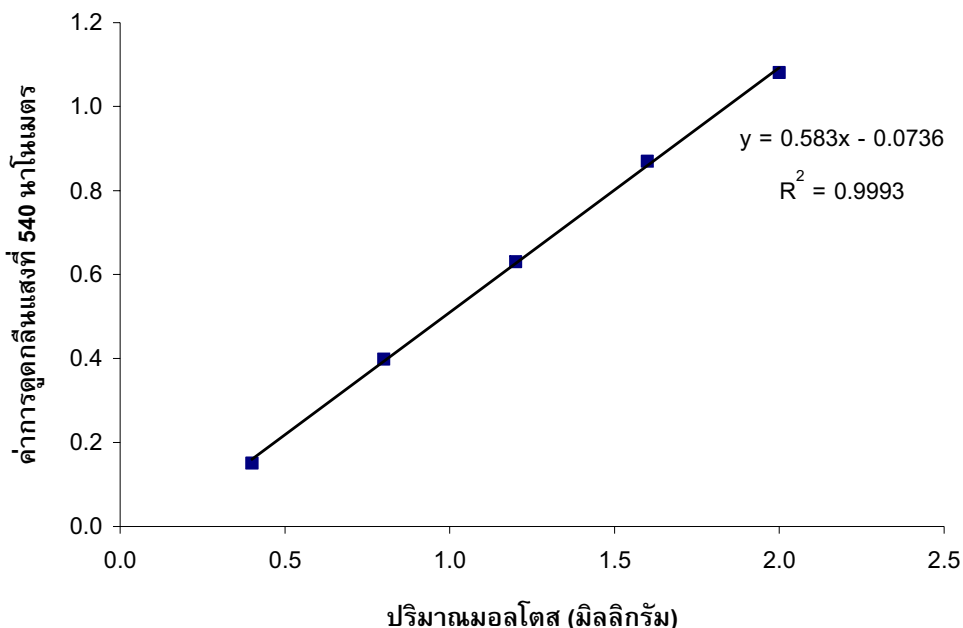
8.1.5 การคำนวณค่าแอคติวิตี้ของเอนไซม์แหล่งไม่เลส คำนวณจาก

$$\text{หน่วยต่อมิลลิกรัมเอนไซม์} = \frac{A \times (df)}{B}$$

A = มิลลิกรัมมอลโตสจากการย่อยด้วยเอนไซม์

B = ปริมาณเอนไซม์ที่ใช้ (ในหน่วยมิลลิลิตร)

df = อัตราการเจือจาง (dilution factor)



ภาพพนวกที่ ก-3 グラฟมาตรฐานระหว่างปริมาณมอลโตส (มิลลิกรัม) กับค่าการดูดกลืนแสงที่ความยาวคลื่น 540 นาโนเมตร สำหรับเทียบค่าแอคติวิตีของเออนไซม์แอลฟาระไม้เลสจากตับอ่อนของสุกร

8.2 การย่อยสตาร์ชด้วยเออนไซม์แอลฟาระไม้เลส (Li และคณะ, 2003)

8.2.1 ชั่งตัวอย่างสตาร์ช 100 มิลลิกรัมโดยน้ำหนักแห้ง ใส่หลอดทดลองที่มีฝาเกลียวปิด (screw cap tube) ปีเปตสารละลายฟอสฟेटบัฟเฟอร์เข้มข้น 0.1 โมลาร์ ในโซเดียมクロไรด์เข้มข้น 0.006 โมลาร์ พีเอช 6.9 ปริมาตร 10 มิลลิลิตร เขย่าสารละลายให้เข้ากัน

8.2.2 นำหลอดทดลองแข็งในอ่างน้ำร้อนที่อุณหภูมิ 37 องศาเซลเซียสนาน 10 นาที

8.2.3 ปีเปตสารละลายเออนไซม์แอลฟาระไม้เลส 31.68 ไมโครลิตร (ใช้อุ่นไซม์ 5 หน่วยต่อมิลลิกรัมสตาร์ชตัวอย่าง โดยเออนไซม์ที่ใช้มีแอคติวิตีจำเพาะ (specific activity) เท่ากับ 1,122 หน่วยต่อมิลลิกรัมโปรตีน และมี 32 มิลลิกรัมโปรตีนต่อมิลลิลิตร) นำหลอดทดลองแข็งในอ่างน้ำร้อนอุณหภูมิ 37 องศาเซลเซียสที่มีการเขย่าตลอดเวลาด้วยความเร็ว 160 รอบต่อนาทีนาน 6 ชั่วโมง

8.2.4 เมื่อครบระยะเวลาที่กำหนด นำสารละลายไปเทรี่ยงที่ความเร็ว 7,000 รอบต่อนาที นาน 5 นาที แยกส่วนไส้ด้านบนไปทำการวิเคราะห์ปริมาณคราบไม้ไผ่เดรตต่อไป ส่วนสตาร์ชที่เหลือด้านล่างนำมาล้างด้วยน้ำกลั่นซ้ำ 3 ครั้ง และเอทานอลร้อยละ 95 ซ้ำ 2 ครั้ง

8.3 การวิเคราะห์ปริมาณคาร์บอไฮเดรตทั้งหมดโดยวิธีฟีโนล-ซัลฟูริก (Dubois และคณะ, 1956)

8.3.1 การเตรียมกราฟมาตราตรฐานกลูโคส

8.3.1.1 เตรียมสารละลายน้ำตาลกลูโคสมาตรฐานความเข้มข้นร้อยละ 0.1 (น้ำหนักต่อปริมาตร) จากนั้นนำสารละลายน้ำตาลกลูโคสมาเจือจากอีกครึ่งให้เป็นความเข้มข้นร้อยละ 0.01

8.3.1.2 ปีเปตสารละลายน้ำตาลกลูโคสให้มีความเข้มข้นต่างๆดังแสดงในตารางผนวกที่ ก-3

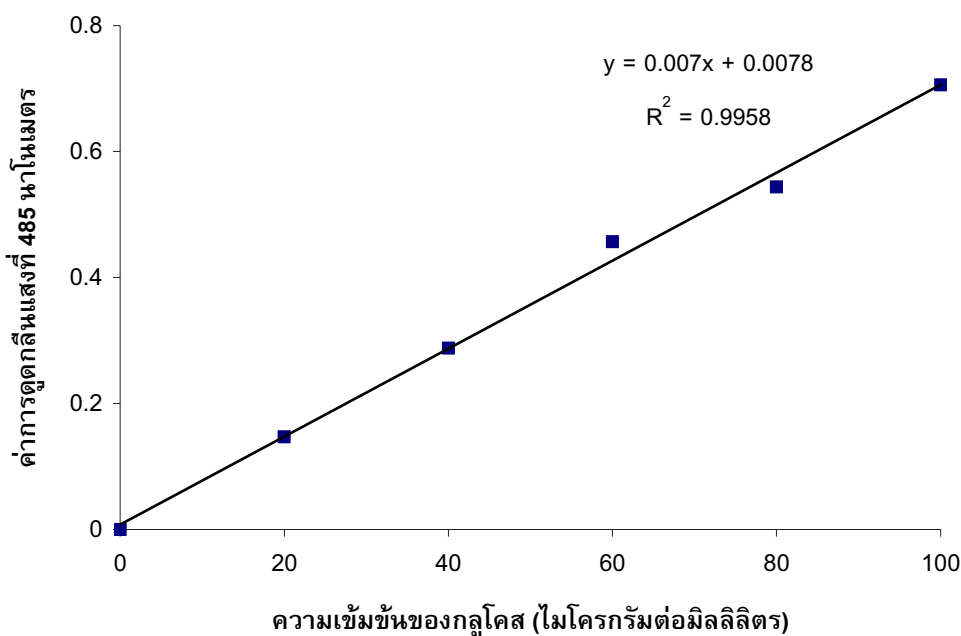
ตารางผนวกที่ ก-3 การเตรียมสารละลายน้ำตาลกลูโคสความเข้มข้น 0-100 ไมโครกรัมต่อมิลลิลิตร

หลอดที่	ปริมาตรสารละลายน้ำตาลกลูโคสความเข้มข้นร้อยละ 0.01 ที่ต้องปีเปต (มิลลิลิตร)	ปริมาตรน้ำกลันที่ต้องเติม (มิลลิลิตร)	คิดเป็นความเข้มข้นของกลูโคส (ไมโครกรัม/มิลลิลิตร)
1	0	1.0	0
2	0.1	0.8	20
3	0.4	0.6	40
4	0.6	0.4	60
5	0.8	0.2	80
6	1.0	0	100

8.3.1.3 ปีเปตสารละลายน้ำตาลฟีโนลความเข้มข้นร้อยละ 5 ปริมาตร 1 มิลลิลิตร ผสมกันอย่างรวดเร็ว

8.3.1.4 ปีเปตกรดซัลฟิวริกเข้มข้นปริมาตร 5 มิลลิลิตร ผสมให้เข้ากันอย่างรวดเร็ว ตั้งทิ้งไว้ในตู้ดูดควันเป็นเวลา 30 นาที

8.3.1.5 นำไปวัดค่าการดูดกลืนแสงที่ความยาวคลื่น 485 นาโนเมตร เขียนกราฟมาตราตรฐานระหว่างค่าการดูดกลืนแสงและความเข้มข้นของน้ำตาลในหน่วยไมโครกรัมต่อมิลลิลิตร (ดังภาพผนวกที่ ก-4)



ภาพพนวกที่ ก-4 กราฟมาตรฐานระหว่างปริมาณกลูโคส (ไมโครกรัมต่อมิลลิลิตร) กับค่าการดูดกลืนแสงที่ความยาวคลื่น 485 นาโนเมตร

8.3.2 การเตรียมตัวอย่าง

8.3.2.1 ทำการเจือจางให้ตัวอย่างมีความเข้มข้นไม่เกิน 100 ไมโครกรัมต่อมิลลิลิตร

8.3.2.2 ปีเปตสารละลายตัวอย่างปริมาตร 1 มิลลิลิตร ใส่ในหลอดทดลองขนาด 10 มิลลิลิตร จากนั้นทำตามขั้นตอนในข้อ 8.3.1.3 ถึง 8.3.1.5

นำค่าการดูดกลืนแสงที่ได้เทียบกับกราฟมาตรฐานกลูโคสและคำนวณความเข้มข้นของกลูโคสทั้งหมด (ปริมาณคาร์บอไฮเดรตทั้งหมด) ในหน่วยไมโครกรัมต่อมิลลิลิตร (1 มิลลิลิตรของสารละลาย) โดยคุณอัตราการเจือจาง (dilution factor) ของตัวอย่างสตาร์ช จากนั้นคูณด้วย 1,000 เพื่อรับหน่วยให้เป็นมิลลิกรัมต่อมิลลิลิตร และคูณด้วย 10 มิลลิลิตรของสารละลาย (มาจากการใช้ฟอสเฟตบัฟเฟอร์ปริมาตร 10 มิลลิลิตร ในการทำละลาย 100 มิลลิกรัมสตาร์ชแห้งในช่วงขั้นเริ่มต้นการย่อยสตาร์ชด้วยเอนไซม์แอลฟ่าอะไมเลสในข้อ 8.2.1) เพื่อจะคำนวณค่าปริมาณความเข้มข้นของกลูโคสทั้งหมดในหน่วยเป็นมิลลิกรัมต่อการย่อยสตาร์ชแห้ง 100 มิลลิกรัมด้วยเอนไซม์แอลฟ่าอะไมเลส ซึ่งก็คือค่าร้อยละการถูกย่อยด้วยเอนไซม์ของสตาร์ช (% enzyme hydrolysis) ของสตาร์ชดัดแปลง (Hoover และคณะ, 1996b)

9. การวิเคราะห์ค่าร้อยละการพองตัวและร้อยละการละลาย (ดัดแปลงจากวิธีการของ Leach และคณะ, 1959)

นำภาชนะใส่ตัวอย่างที่ทำด้วยอลูมิเนียม (moisture can) ไปอบที่อุณหภูมิ 105 องศาเซลเซียสข้ามคืนจนน้ำหนักคงที่และนำไปใส่ไว้ในโถดูดความชื้น ทำการซึ่งด้วยเครื่องซึ่งทศนิยม 4 ตำแหน่งบันทึกน้ำหนักที่แน่นอน จากนั้นซึ่งสตาร์ชจำนวน 0.5 กรัม (น้ำหนักแห้ง) ใส่ในหลอดสำหรับเหวี่ยง และเติมน้ำกากลันจำนวน 25 มิลลิลิตรทำการปิดฝ่าแล้วนำไปวางบนเครื่องเขียวเชิงอยู่ในอ่างน้ำควบคุมอุณหภูมิที่ 85 องศาเซลเซียสเป็นเวลา 30 นาทีโดยเขียวหลอดทดลองที่ความเร็ว 140 รอบต่อนาที จากนั้นนำหลอดไปหมุนเหวี่ยงที่ 15,000 รอบต่อนาที นาน 15 นาที และทำการดูดน้ำตอนบนทั้งหมดออกใส่ภาชนะใส่ตัวอย่างที่ทำด้วยอลูมิเนียม (moisture can) และนำไปอบที่อุณหภูมิ 105 องศาเซลเซียสข้ามคืนจนน้ำหนักคงที่ และนำไปใส่ไว้ในโถดูดความชื้น ทำการซึ่งด้วยเครื่องซึ่งทศนิยม 4 ตำแหน่งและบันทึกค่า ส่วนที่เหลือที่ได้จากการอบจะแสดงถึงจำนวนของสตาร์ชที่ละลายน้ำ นำหลอดเหวี่ยงที่มีสตาร์ชสูญด้านล่างมาซึ่งน้ำหนักจะเป็นส่วนของแป้งที่พองตัว คำนวณค่าร้อยละการพองตัวและร้อยละการละลายตามสูตร

$$\text{ร้อยละการละลาย} = \frac{\text{น้ำหนักส่วนที่ละลายน้ำ}}{\text{น้ำหนักแห้งของตัวอย่าง}} \times 100$$

$$\text{ร้อยละการพองตัว} = \frac{\text{น้ำหนักของสตาร์ชที่พองตัวแล้ว}}{\text{น้ำหนักแห้งของตัวอย่าง} \times (100 - \text{ร้อยละการละลาย})} \times 100$$

10. การวิเคราะห์ความใส หรือค่าร้อยละการส่องผ่าน (Craig และคณะ, 1989)

ซึ่งน้ำหนักสตาร์ช 0.05 กรัม (น้ำหนักแห้ง) ใส่ในหลอดทดลองที่มีฝ่าปิดขนาด 10 มิลลิลิตรและใส่น้ำกากลันปริมาณ 5 มิลลิลิตร นำหลอดทดลองไปวางในอ่างน้ำเดือดอุณหภูมิ 100 องศาเซลเซียส นาน 30 นาทีโดยเขียวหลอดทดลองที่ความเร็ว 140 รอบต่อนาที นำหลอดทดลองออกมาทิ้งไว้ให้เย็นที่อุณหภูมิห้อง (ใช้เวลาประมาณ 30 นาที) จากนั้นนำไปวัดร้อยละการส่องผ่านของแสง (%) transmittance) ด้วยเครื่องสเปกโทรโฟโตมิเตอร์ที่ความยาวคลื่น 650 นาโนเมตร โดยใช้น้ำกากลันเป็นแบลนค์

ภาคผนวก ข

ตารางผลการทดลอง

ตารางผนวกที่ ข-1 ร้อยละความเป็นผลึก (% Relative crystallinity) ของสารชี้ว่าเห็นยาที่ผ่านการดัดแปรและไม่ผ่านการดัดแปร (Native starch)

ตัวอย่าง	ร้อยละความเป็นผลึก (% Relative crystallinity)
Native starch	38.82
10-100-1	36.41
10-100-4	39.01
10-120-1	41.31
10-120-4	36.98
20-100-1	43.17
20-100-4	40.81
20-120-1	37.95
20-120-4	39.97
30-100-1	40.27
30-100-4	38.65
30-120-1	39.80
30-120-4	35.83

ตารางผนวกที่ ข-2 ค่าสี L*, a*, b* ของสาร์ซที่ผ่านการดัดแปลงและไม่ผ่านการดัดแปลง
(Native starch)

ตัวอย่าง	ค่าสี		
	L*	a*	b*
Native starch	96.94 ± 0.01 ^g	0.31 ± 0.00 ^{abcd}	0.20 ± 0.03 ^f
10-100-1	97.07 ± 0.06 ^{de}	0.33 ± 0.02 ^{ab}	0.29 ± 0.04 ^d
10-100-4	97.25 ± 0.07 ^a	0.32 ± 0.02 ^{ab}	0.26 ± 0.04 ^{de}
10-120-1	97.22 ± 0.03 ^a	0.29 ± 0.02 ^{de}	0.33 ± 0.03 ^c
10-120-4	97.12 ± 0.05 ^{cd}	0.30 ± 0.01 ^{bcd}	0.40 ± 0.02 ^b
20-100-1	97.22 ± 0.01 ^a	0.29 ± 0.01 ^{cde}	0.22 ± 0.04 ^{ef}
20-100-4	97.19 ± 0.07 ^{ab}	0.31 ± 0.03 ^{abcd}	0.28 ± 0.09 ^d
20-120-1	97.23 ± 0.05 ^a	0.29 ± 0.02 ^{de}	0.23 ± 0.03 ^{ef}
20-120-4	97.06 ± 0.03 ^{ef}	0.32 ± 0.03 ^{abc}	0.26 ± 0.01 ^{de}
30-100-1	97.15 ± 0.01 ^{bc}	0.29 ± 0.03 ^{de}	0.12 ± 0.01 ^g
30-100-4	96.81 ± 0.02 ^h	0.33 ± 0.02 ^a	0.21 ± 0.03 ^f
30-120-1	97.01 ± 0.02 ^f	0.30 ± 0.02 ^{bcd}	0.14 ± 0.02 ^g
30-120-4	95.31 ± 0.14 ⁱ	0.30 ± 0.03 ^{cde}	1.15 ± 0.05 ^a

หมายเหตุ : ค่าเฉลี่ยจากการวิเคราะห์ 3 ชั้จาก 2 ตัวอย่าง ± ส่วนเบี่ยงเบนมาตรฐาน

: ^{abcd...} ตัวอักษรที่แตกต่างกันในแนวตั้งแสดงว่าแตกต่างกันอย่างมีนัยสำคัญทางสถิติที่ระดับความเชื่อมั่นร้อยละ 95

ตารางผนวกรที่ ช-3 ค่าการเปลี่ยนแปลงรีติค่าวัฒนธรรมร้อนต่อการปริมาณเจลอาทีโนเซ็นจากการวิเคราะห์ด้วยเครื่อง Differential Scanning Calorimetry (DSC) ของสตารช์ข้าวแห้งที่ผ่านการตัดและปรุงรักษาให้ความร้อนเข้มและสตารช์ข้าวแห้งที่ไม่ผ่านการตัดและปรุงรักษา (Native starch)

ตัวอย่าง	อัฟฟาร์มในการเกิดเจลอาทีโนเซ็น (องศาเซลซีย์)				ค่านาฬิกา ($\Delta H; J/g$)
	T_0	T_p	T_c	$(T_c - T_0)$	
Native starch	60.36 ± 0.17 ^{def}	66.94 ± 0.38 ^f	74.58 ± 0.14 ^d	7.64 ± 0.24 ^{cdef}	13.73 ± 0.29 ^d
10-100-1	59.95 ± 0.27 ^{ef}	66.65 ± 0.21 ^f	74.35 ± 0.15 ^d	7.70 ± 0.08 ^{cde}	13.75 ± 0.12 ^d
10-100-4	59.86 ± 0.25 ^f	66.44 ± 0.14 ^f	74.70 ± 0.42 ^d	8.26 ± 0.31 ^{abc}	13.73 ± 0.10 ^d
10-120-1	59.86 ± 0.25 ^f	66.56 ± 0.08 ^f	74.40 ± 0.17 ^d	7.84 ± 0.22 ^{bcd}	14.20 ± 0.16 ^c
10-120-4	59.70 ± 0.18 ^f	66.43 ± 0.00 ^f	74.39 ± 0.23 ^d	7.96 ± 0.23 ^{bcd}	13.64 ± 0.08 ^d
20-100-1	60.14 ± 0.22 ^{ef}	66.68 ± 0.22 ^f	74.76 ± 0.42 ^d	8.08 ± 0.57 ^{bcd}	14.28 ± 0.21 ^c
20-100-4	61.79 ± 0.33 ^{cd}	68.86 ± 0.69 ^d	77.56 ± 0.92 ^c	8.70 ± 0.93 ^{ab}	15.03 ± 0.23 ^a
20-120-1	60.37 ± 0.16 ^{def}	66.80 ± 0.22 ^f	74.48 ± 0.28 ^d	7.68 ± 0.13 ^{cde}	14.34 ± 0.19 ^c
20-120-4	61.94 ± 0.23 ^c	75.17 ± 0.22 ^b	81.88 ± 0.04 ^b	6.71 ± 0.18 ^f	14.76 ± 0.15 ^b
30-100-1	61.49 ± 0.64 ^{cde}	67.72 ± 0.67 ^e	74.83 ± 0.62 ^d	7.11 ± 0.22 ^{ef}	15.03 ± 0.02 ^a
30-100-4	67.64 ± 0.52 ^a	74.83 ± 0.08 ^b	81.93 ± 0.18 ^b	7.10 ± 0.15 ^{ef}	12.59 ± 0.12 ^e
30-120-1	63.66 ± 0.35 ^b	70.02 ± 0.29 ^c	77.32 ± 0.35 ^c	7.29 ± 0.10 ^{def}	14.44 ± 0.23 ^c
30-120-4	68.37 ± 3.77 ^a	78.08 ± 0.91 ^a	87.26 ± 2.88 ^a	9.18 ± 1.98 ^a	3.74 ± 0.08 ^f

หมายเหตุ : ค่าเฉลี่ยจากการวิเคราะห์ 2 ตัวอย่าง ± ส่วนเบี่ยงเบนมาตรฐาน
 abcd... ตัวอักษรที่แต่ละตัวกันในหน่วงเดียวกันอย่างสำคัญทางสถิติที่ระดับความเชื่อมั่นร้อยละ 95

ตารางผนวากที่ ช-4 อัตราหภูมิริมเกิดความหนืด ค่าความหนืดสูงสุด ความหนืดต่ำสุด ความหนืดเฉลี่ย และค่าซัพเพค ของสตาร์ชข้าวเหนียวที่ผ่านการตัดและปรุงและไม่ผ่านการตัดเป็น

ตัวอย่าง	อัตราหภูมิริมเกิดความหนืด (องศาเซลเซียส)	ตารางผนวากที่ (RVU)			
		ความหนืดสูงสุด	ความหนืดต่ำสุด	ความหนืดเฉลี่ย	ความหนืดซัพเพค
Native starch	69.48 ± 0.03 ^{ef}	470.46 ± 8.04 ^e	167.02 ± 3.29 ^g	303.44 ± 4.84 ^d	235.03 ± 3.11 ^g
10-100-1	69.51 ± 0.72 ^{ef}	481.92 ± 9.30 ^d	161.22 ± 2.34 ⁱ	320.70 ± 4.71 ^c	238.61 ± 1.71 ^{gh}
10-100-4	69.06 ± 0.45 ^{eg}	482.81 ± 6.36 ^d	166.20 ± 3.05 ^{gh}	316.61 ± 21.84 ^c	240.76 ± 4.83 ^{fg}
10-120-1	69.48 ± 0.65 ^{ef}	491.35 ± 9.73 ^{cd}	144.23 ± 1.25 ^j	347.13 ± 10.25 ^a	242.73 ± 3.74 ^{ef}
10-120-4	68.84 ± 0.38 ^{fg}	503.79 ± 3.92 ^b	146.69 ± 3.89 ^g	357.10 ± 0.88 ^a	247.63 ± 2.62 ^{de}
20-100-1	68.65 ± 0.04 ^g	532.75 ± 7.96 ^a	176.64 ± 2.83 ^f	356.11 ± 1.50 ^a	253.88 ± 8.27 ^{cd}
20-100-4	70.32 ± 0.61 ^{de}	496.19 ± 8.12 ^{bc}	231.01 ± 3.33 ^d	265.18 ± 1.68 ^e	276.72 ± 4.20 ^b
20-120-1	69.69 ± 1.05 ^{de}	533.71 ± 4.43 ^a	205.42 ± 2.85 ^e	332.29 ± 3.28 ^b	257.29 ± 3.62 ^c
20-120-4	71.08 ± 0.65 ^c	416.13 ± 5.69 ^g	268.18 ± 3.32 ^a	147.95 ± 2.35 ^h	288.93 ± 4.41 ^a
30-100-1	69.85 ± 0.49 ^{de}	481.79 ± 9.33 ^d	162.02 ± 4.56 ^{hi}	319.77 ± 1.90 ^c	239.65 ± 1.86 ^{gh}
30-100-4	73.50 ± 0.00 ^b	436.13 ± 6.03 ^f	252.57 ± 2.04 ^b	183.56 ± 1.79 ^g	282.80 ± 1.93 ^{ab}
30-120-1	70.88 ± 0.35 ^c	465.34 ± 5.00 ^e	246.11 ± 3.96 ^c	219.23 ± 3.78 ^f	282.35 ± 2.68 ^{ab}
30-120-4	84.69 ± 0.67 ^a	353.61 ± 9.56 ^h	160.83 ± 1.90 ⁱ	192.78 ± 4.14 ^g	202.71 ± 9.35 ^h

หมายเหตุ : ค่าเฉลี่ยจากการวิเคราะห์ 2 ถึง 3 ตัวอย่าง ± ส่วนเบี่ยงบานมาตรฐาน

: abcd... ตัวอักษรที่แตกต่างกันในแบบต่างๆแสดงว่าแตกต่างกันโดยทางสถิติที่ระดับความเชื่อมั่นร้อยละ 95

ตารางผนวกที่ ข-5 ร้อยละการพองตัวและร้อยละการละลายที่อุณหภูมิ 85 องศาเซลเซียสของ
สารซึ่งข้าวเหนียวที่ผ่านการดัดแปลงและไม่ผ่านการดัดแปลง (Native starch)

ตัวอย่าง	ร้อยละการพองตัว	ร้อยละการละลาย
Native starch	27.71 ± 0.32 ^a	4.47 ± 0.85 ^d
10-100-1	22.49 ± 1.36 ^c	4.80 ± 0.76 ^{bcd}
10-100-4	25.24 ± 0.67 ^b	5.38 ± 0.08 ^b
10-120-1	23.30 ± 0.49 ^c	4.67 ± 0.22 ^{cd}
10-120-4	21.98 ± 1.43 ^c	5.14 ± 0.42 ^{bc}
20-100-1	22.81 ± 0.76 ^c	4.63 ± 0.18 ^{cd}
20-100-4	16.18 ± 0.77 ^e	2.72 ± 0.18 ^f
20-120-1	18.40 ± 0.66 ^d	3.40 ± 0.36 ^e
20-120-4	11.76 ± 1.28 ^e	1.76 ± 0.25 ^g
30-100-1	18.02 ± 1.56 ^d	3.38 ± 0.45 ^e
30-100-4	12.02 ± 0.73 ^e	1.77 ± 0.26 ^g
30-120-1	15.49 ± 0.31 ^e	2.50 ± 0.14 ^f
30-120-4	17.96 ± 0.35 ^d	7.23 ± 0.34 ^a

หมายเหตุ : ค่าเฉลี่ยจากการวิเคราะห์ 2 ชั้จาก 2 ตัวอย่าง ± ส่วนเบี่ยงเบนมาตรฐาน

: ^{abcd...} ตัวอักษรที่แตกต่างกันในแนวตั้งแสดงว่าแตกต่างกันอย่างมีนัยสำคัญทาง
สถิติที่ระดับความเชื่อมั่นร้อยละ 95

ตารางผนวกที่ ข-6 ร้อยละการส่องผ่าน (% Transmittance) ของสตาร์ชข้าวเหนียวที่ผ่านการดัดแปลงและไม่ผ่านการดัดแปลง (Native starch)

ตัวอย่าง	ร้อยละการส่องผ่าน (% Transmittance)
Native starch	22.20 ± 0.12 ^b
10-100-1	19.35 ± 0.24 ^{cde}
10-100-4	19.78 ± 0.37 ^{bc}
10-120-1	19.83 ± 0.15 ^{bc}
10-120-4	19.73 ± 0.34 ^{bc}
20-100-1	19.50 ± 0.29 ^{cd}
20-100-4	18.83 ± 0.36 ^{ef}
20-120-1	18.98 ± 0.36 ^{de}
20-120-4	18.33 ± 0.29 ^{fg}
30-100-1	19.68 ± 0.55 ^{bc}
30-100-4	18.00 ± 0.43 ^g
30-120-1	18.28 ± 0.46 ^{fg}
30-120-4	23.90 ± 0.79 ^a

หมายเหตุ : ค่าเฉลี่ยจากการวิเคราะห์ 2 ชั้จาก 2 ตัวอย่าง ± ส่วนเบี่ยงเบนมาตรฐาน
 : ^{abcd...} ตัวอักษรที่แตกต่างกันในแนวตั้งแสดงว่าแตกต่างกันอย่างมีนัยสำคัญทางสถิติที่ระดับความเชื่อมั่นร้อยละ 95

ตารางผนวกที่ ข-7 ปริมาณอะไมโลสของสารช้ำเหนียวที่ผ่านการดัดแปลงและไม่ผ่านการดัดแปลง (Native starch)

ตัวอย่าง	ปริมาณอะไมโลส (กรัมต่อสารช้ำเหนียวโดยน้ำหนักแห้ง 100 กรัม)
Native starch	3.49 ± 0.18^{bc}
10-100-1	3.82 ± 0.33^b
10-100-4	2.25 ± 0.51^d
10-120-1	3.35 ± 0.23^{bc}
10-120-4	2.31 ± 0.21^d
20-100-1	3.55 ± 0.21^{bc}
20-100-4	1.58 ± 0.24^e
20-120-1	1.72 ± 0.28^{de}
20-120-4	1.13 ± 0.35^e
30-100-1	4.85 ± 0.36^a
30-100-4	2.98 ± 0.48^c
30-120-1	3.53 ± 1.14^{cb}
30-120-4	3.18 ± 0.37^{bc}

หมายเหตุ : ค่าเฉลี่ยจากการวิเคราะห์ 2 ชั้จาก 2 ตัวอย่าง \pm ส่วนเบี่ยงเบนมาตรฐาน

: ^{abcd...} ตัวอักษรที่แตกต่างกันในแนวตั้งแสดงว่าแตกต่างกันอย่างมีนัยสำคัญทางสถิติที่ระดับความเชื่อมั่นร้อยละ 95

ตารางผนวกที่ ข-8 ร้อยละการถูกย่อยด้วยเอนไซม์แอลฟาร์บีเมเลสของสารซึวานิยาที่ผ่านการดัดแปลงและไม่ผ่านการดัดแปลง (Native starch)

ตัวอย่าง	ร้อยละการถูกย่อยด้วยเอนไซม์แอลฟาร์บีเมเลส
Native starch	48.79 \pm 0.29 ^h
10-100-1	48.68 \pm 0.49 ^c
10-100-4	48.92 \pm 0.11 ^c
10-120-1	50.00 \pm 0.15 ^b
10-120-4	47.94 \pm 0.34 ⁱ
20-100-1	45.67 \pm 0.90 ^e
20-100-4	47.58 \pm 0.44 ^d
20-120-1	48.85 \pm 0.25 ^c
20-120-4	47.82 \pm 0.61 ^d
30-100-1	47.26 \pm 0.35 ^d
30-100-4	47.87 \pm 0.17 ^d
30-120-1	50.21 \pm 0.59 ^b
30-120-4	61.34 \pm 0.82 ^a

หมายเหตุ : ค่าเฉลี่ยจากการวิเคราะห์ 2 ชั้จาก 2 ตัวอย่าง \pm ส่วนเบี่ยงเบนมาตรฐาน

: ^{abcd...} ตัวอักษรที่แตกต่างกันในแนวตั้งแสดงว่าแตกต่างกันอย่างมีนัยสำคัญทางสถิติที่ระดับความเชื่อมั่นร้อยละ 95

ภาคผนวก ค

การวิเคราะห์ผลทางสถิติ

**ตารางผนวกที่ ค-1 การวิเคราะห์ความแปรปรวน (ANOVA) จากผลของระดับความชื้น
อุณหภูมิ และระยะเวลาในการดัดแปลงต่อค่าความสว่าง (L^*) ของ
สตาร์ชข้าวเหนียว**

The GLM Procedure

Dependent Variable: L

Source	DF	Sum of Squares	Mean Square	F value	Pr > F
Model	11	18.99908194	1.72718927	517.77	<.0001*
Error	60	0.20015000	0.00333583		
Corrected Total	71	19.19923194			
R-Square	Coeff Var	Root MSE	L Mean		
0.989575	0.059561	0.057757	96.97097		
Source	DF	Type III SS	Mean Square	F value	Pr > F
moist*temp*time	2	1.34558611	0.67279306	201.69	<.0001*
moist*temp	2	2.54650833	1.27325417	381.69	<.0001*
moist*time	2	3.91488611	1.95744306	586.79	<.0001*
temp*time	1	1.54586806	1.54586806	463.41	<.0001*
moist	2	5.77701944	2.88850972	865.90	<.0001*
temp	1	1.54001250	1.54001250	461.66	<.0001*
time	1	2.32920139	2.32920139	698.24	<.0001*

color L*

The GLM Procedure

Dependent Variable: color L*

Contrast	DF	Contrast SS	Mean Square	F value	Pr > F
temp effect	1	0.14133472	0.14133472	45.81	<.0001*
time effect	1	0.14133472	0.14133472	45.81	<.0001*
moist effect	2	0.08185278	0.04092639	13.26	<.0001*
control vs rest	1	17.80917959	17.80917959	5772.11	<.0001*

หมายเหตุ : *คือแตกต่างกันอย่างมีนัยสำคัญทางสถิติที่ระดับความเชื่อมั่นร้อยละ 95

**ตารางผนวกที่ ค-2 การวิเคราะห์ความแปรปรวน (ANOVA) จากผลของระดับความชื้น
อุณหภูมิ และระยะเวลาในการตัดแพรต่อค่าความเป็นสีแดง (a*) ของ
สตาร์ชข้าวเหนียว**

The GLM Procedure

Dependent Variable: a*

Source	DF	Sum of Squares	Mean Square	F value	Pr > F
Model	11	0.01788194	0.00162563	3.10	0.0024*
Error	60	0.03148333	0.00052472		
Corrected Total	71	0.04936528			
R-Square	Coeff Var	Root MSE	a Mean		
0.362237	7.527571	0.022907	0.304306		
Source	DF	Type III SS	Mean Square	F value	Pr > F
moist*temp*time	2	0.00458611	0.00229306	4.37	0.0169*
moist*temp	2	0.00505833	0.00252917	4.82	0.0114*
moist*time	2	0.00025278	0.00012639	0.24	0.7867
temp*time	1	0.00000139	0.00000139	0.00	0.9591
moist	2	0.00016944	0.00008472	0.16	0.8513
temp	1	0.00361250	0.00361250	6.88	0.0110*
time	1	0.00420139	0.00420139	8.01	0.0063*

color a*

The GLM Procedure

Dependent Variable: color a*

Contrast	DF	Contrast SS	Mean Square	F value	Pr > F
temp effect	1	0.00568889	0.00568889	11.75	0.0011*
time effect	1	0.00568889	0.00568889	11.75	0.0011*
moist effect	2	0.00353611	0.00176806	3.65	0.0314*
control vs rest	1	0.00061709	0.00061709	1.27	0.2632

หมายเหตุ : *คือแตกต่างกันอย่างมีนัยสำคัญทางสถิติที่ระดับความเชื่อมั่นร้อยละ 95

**ตารางผนวกที่ ค-3 การวิเคราะห์ความแปรปรวน (ANOVA) จากผลของระดับความชื้น
อุณหภูมิ และระยะเวลาในการดัดแปลงต่อค่าความเป็นสีเหลือง (b*)
ของสารชี้ว่าเห็นี่ยา**

The GLM Procedure

Dependent Variable: b*

Source	DF	Sum of Squares	Mean Square	F value	Pr > F
Model	11	4.78601528	0.43509230	272.45	<.0001*
Error	60	0.09581667	0.00159694		
Corrected Total	71	4.88183194			
R-Square	Coeff Var	Root MSE	b Mean		
0.980373	12.35401	0.039962	0.323472		
Source	DF	Type III SS	Mean Square	F value	Pr > F
moist*temp*time	2	0.78120278	0.39060139	244.59	<.0001*
moist*temp	2	0.78300278	0.39150139	245.16	<.0001*
moist*time	2	1.04045278	0.52022639	325.76	<.0001*
temp*time	1	0.49170139	0.49170139	307.90	<.0001*
moist	2	0.30308611	0.15154306	94.90	<.0001*
temp	1	0.64033472	0.64033472	400.97	<.0001*
time	1	0.74623472	0.74623472	467.29	<.0001*

color b*

The GLM Procedure

Dependent Variable: color

Contrast	DF	Contrast SS	Mean Square	F value	Pr > F
temp effect	1	0.03920000	0.03920000	25.49	<.0001*
time effect	1	0.03920000	0.03920000	25.49	<.0001*
moist effect	2	0.04343333	0.02171667	14.12	<.0001*
control vs rest	1	4.48615385	4.48615385	2917.46	<.0001*

หมายเหตุ : *คือแตกต่างกันอย่างมีนัยสำคัญทางสถิติที่ระดับความเชื่อมั่นร้อยละ 95

**ตารางผนวกที่ ค-4 การวิเคราะห์ความแปรปรวน (ANOVA) จากผลของระดับความชื้น
อุณหภูมิ และระยะเวลาในการตัดแปรต่อค่าอุณหภูมิเริ่มเปลี่ยนแปลง
(T_0) ของสตาร์ชข้าวเหนียว**

The GLM Procedure

Dependent Variable: t0

Source	DF	Sum of Squares	Mean Square	F Value	Pr > F
Model	11	400.9152632	36.4468421	28.20	<.0001*
Error	36	46.5314805	1.2925411		
Corrected Total	47	447.4467437			
R-Square	Coeff Var	Root MSE	t Mean		
0.896007	1.831816	1.136900	62.06408		
Source	DF	Type III SS	Mean Square	F Value	Pr > F
moist*temp*time	2	1.2335352	0.6167676	0.48	0.6244
moist*temp	2	5.5704995	2.7852497	2.15	0.1306
moist*time	2	64.6982555	32.3491277	25.03	<.0001*
temp*time	1	0.8704853	0.8704853	0.67	0.4172
moist	2	261.6833207	130.8416603	101.23	<.0001*
temp	1	3.1028670	3.1028670	2.40	0.1300
time	1	63.7563000	63.7563000	49.33	<.0001*

t0

The GLM Procedure

Dependent Variable: t0

Contrast	DF	Contrast SS	Mean Square	F Value	Pr > F
temp effect	1	11.2995317	11.2995317	9.45	0.0038*
time effect	1	11.2995317	11.2995317	9.45	0.0038*
moist effect	2	8.6198120	4.3099060	3.61	0.0366
control vs rest	1	179.6320038	179.6320038	150.26	<.0001*

หมายเหตุ : *คือแตกต่างกันอย่างมีนัยสำคัญทางสถิติที่ระดับความเชื่อมั่นร้อยละ 95

**ตารางผนวกที่ ค-5 การวิเคราะห์ความแปรปรวน (ANOVA) จากผลของระดับความชื้น
อุณหภูมิ และระยะเวลาในการดัดแปลงต่อค่าอุณหภูมิที่สตาร์ชดูดความ
ร้อนสูงสุด (T_p) ของสตาร์ชข้าวเหนียว**

The GLM Procedure

Dependent Variable: tp

Source	DF	Sum of Squares	Mean Square	F value	Pr > F
Model	11	755.1232257	68.6475660	398.65	<.0001*
Error	36	6.1992698	0.1722019		
Corrected Total	47	761.3224955			
R-Square	Coeff Var	Root MSE	t Mean		
0.991857	0.596907	0.414972	69.52040		
Source	DF	Type III SS	Mean Square	F value	Pr > F
moist*temp*time	2	21.8136645	10.9068323	63.34	<.0001*
moist*temp	2	25.0489402	12.5244701	72.73	<.0001*
moist*time	2	126.5716340	63.2858170	367.51	<.0001*
temp*time	1	17.4279152	17.4279152	101.21	<.0001*
moist	2	302.6494082	151.3247041	878.76	<.0001*
temp	1	47.1379060	47.1379060	273.74	<.0001*
time	1	214.4737577	214.4737577	1245.48	<.0001*

tp

The GLM Procedure

Dependent Variable: tp

Contrast	DF	Contrast SS	Mean Square	F value	Pr > F
temp effect	1	67.4241317	67.4241317	396.40	<.0001*
time effect	1	67.4241317	67.4241317	396.40	<.0001*
moist effect	2	34.0618918	17.0309459	100.13	<.0001*
control vs rest	1	332.4755822	332.4755822	1954.69	<.0001*

หมายเหตุ : *คือแตกต่างกันอย่างมีนัยสำคัญทางสถิติที่ระดับความเชื่อมั่นร้อยละ 95

**ตารางผนวกที่ ค-6 การวิเคราะห์ความแปรปรวน (ANOVA) จากผลของระดับความชื้น
อุณหภูมิ และระยะเวลาในการตัดแปรต่อค่าอุณหภูมิสุดท้าย (T_c) ของ
สตาร์ชข้าวเหนียว**

The GLM Procedure

Dependent Variable: tc

Source	DF	Sum of Squares	Mean Square	F Value	Pr > F
Model	11	778.1919637	70.7447240	83.04	<.0001*
Error	36	30.6692908	0.8519247		
Corrected Total	47	808.8612545			
R-Square	Coeff Var	Root MSE	t Mean		
0.962083	1.193708	0.922998	77.32190		
Source	DF	Type III SS	Mean Square	F Value	Pr > F
moist*temp*time	2	12.6160329	6.3080164	7.40	0.0020*
moist*temp	2	32.6310663	16.3155331	19.15	<.0001*
moist*time	2	140.9578315	70.4789158	82.73	<.0001*
temp*time	1	16.7974172	16.7974172	19.72	<.0001*
moist	2	276.7171278	138.3585639	162.41	<.0001*
temp	1	44.8514000	44.8514000	52.65	<.0001*
time	1	253.6210880	253.6210880	297.70	<.0001*

tc

The GLM Procedure

Dependent Variable: tc

Contrast	DF	Contrast SS	Mean Square	F Value	Pr > F
temp effect	1	73.9834680	73.9834680	93.90	<.0001*
time effect	1	73.9834680	73.9834680	93.90	<.0001*
moist effect	2	26.5465564	13.2732782	16.85	<.0001*
control vs rest	1	446.5255717	446.5255717	566.75	<.0001*

หมายเหตุ : *คือแตกต่างกันอย่างมีนัยสำคัญทางสถิติที่ระดับความเชื่อมั่นร้อยละ 95

**ตารางผนวกที่ ค-7 การวิเคราะห์ความแปรปรวน (ANOVA) จากผลของระดับความชื้น
อุณหภูมิ และระยะเวลาในการดัดแปลงต่อช่วงอุณหภูมิในการเกิดเจ^{ลักษณะ}
ลาที่ในเชื้อน (T_c-T_0) ของสตาร์ชข้าวเหนียว**

The GLM Procedure

Dependent Variable: tc-T0

Source	DF	Sum of Squares	Mean Square	F value	Pr > F
Model	11	21.85618150	1.98692559	4.38	0.0004*
Error	36	16.31292650	0.45313685		
Corrected Total	47	38.16910800			
R-Square	Coeff Var	Root MSE	t Mean		
0.572614	8.628525	0.673154	7.801500		
Source	DF	Type III SS	Mean Square	F value	Pr > F
moist*temp*time	2	6.31648962	3.15824481	6.97	0.0028*
moist*temp	2	10.80448054	5.40224027	11.92	0.0001*
moist*time	2	2.47456404	1.23728202	2.73	0.0787
temp*time	1	0.00580800	0.00580800	0.01	0.9105
moist	2	0.58657662	0.29328831	0.65	0.5295
temp	1	0.02842133	0.02842133	0.06	0.8037
time	1	1.63984133	1.63984133	3.62	0.0652

tc-T0

The GLM Procedure

Dependent Variable: tc-T0

Contrast	DF	Contrast SS	Mean Square	F value	Pr > F
temp effect	1	0.15221269	0.15221269	0.36	0.5520
time effect	1	0.15221269	0.15221269	0.36	0.5520
moist effect	2	0.54098904	0.27049452	0.64	0.5328
control vs rest	1	8.39399219	8.39399219	19.85	<.0001*

หมายเหตุ : *คือแตกต่างกันอย่างมีนัยสำคัญทางสถิติที่ระดับความเชื่อมั่นร้อยละ 95

**ตารางผนวกที่ ค-8 การวิเคราะห์ความแปรปรวน (ANOVA) จากผลของระดับความชื้น
อุณหภูมิ และระยะเวลาในการตัดแพรต่อค่าพลังงานเอนทอลปี (ΔH)
ของสารชั้นข้าวเหนียว**

The GLM Procedure

Dependent Variable: ΔH

Source	DF	Sum of Squares	Mean Square	F value	Pr > F
Model	11	418.8722332	38.0792939	1569.03	<.0001*
Error	36	0.8736965	0.0242693		
Corrected Total	47	419.7459297			
R-Square	Coeff Var	Root MSE	H Mean		
0.997919	1.171729	0.155786	13.29542		
Source	DF	Type III SS	Mean Square	F value	Pr > F
moist*temp*time	2	40.9558685	20.4779342	843.78	<.0001*
moist*temp	2	60.5544255	30.2772128	1247.55	<.0001*
moist*time	2	121.6352347	60.8176173	2505.94	<.0001*
temp*time	1	27.8617687	27.8617687	1148.02	<.0001*
moist	2	86.5554807	43.2777403	1783.23	<.0001*
temp	1	28.7835188	28.7835188	1186.00	<.0001*
time	1	52.5259363	52.5259363	2164.29	<.0001*

ΔH

The GLM Procedure

Dependent Variable: ΔH

Contrast	DF	Contrast SS	Mean Square	F value	Pr > F
temp effect	1	2.1922201	2.1922201	76.09	<.0001*
time effect	1	2.1922201	2.1922201	76.09	<.0001*
moist effect	2	7.3961762	3.6980881	128.35	<.0001*
control vs rest	1	398.6147480	398.6147480	13834.7	<.0001*

หมายเหตุ : *คือแตกต่างกันอย่างมีนัยสำคัญทางสถิติที่ระดับความเชื่อมั่นร้อยละ 95

ตารางผนวกที่ ค-9 การวิเคราะห์ความแปรปรวน (ANOVA) จากผลของระดับความชื้นอุณหภูมิ และระยะเวลาในการดัดแปลงต่อค่าอุณหภูมิเริ่มเกิดความหนึ่ด (pasting temperature) ของสตาร์ชข้าวเหนียว

The GLM Procedure

Dependent Variable: pasting temperature

Source	DF	Sum of Squares	Mean Square	F value	Pr > F
Model	11	857.9526562	77.9956960	237.16	<.0001*
Error	36	11.8393750	0.3288715		
Corrected Total	47	869.7920313			
R-Square	Coeff Var	Root MSE	p Mean		
0.986388	0.804346	0.573473	71.29688		
Source	DF	Type III SS	Mean Square	F value	Pr > F
moist*temp*time	2	72.2879167	36.1439583	109.90	<.0001*
moist*temp	2	89.3637500	44.6818750	135.86	<.0001*
moist*time	2	189.7329167	94.8664583	288.46	<.0001*
temp*time	1	31.1213021	31.1213021	94.63	<.0001*
moist	2	286.6962500	143.3481250	435.88	<.0001*
temp	1	63.1354688	63.1354688	191.98	<.0001*
time	1	125.6150521	125.6150521	381.96	<.0001*

pasting temperature

The GLM Procedure

Dependent Variable: pasting temperature

Contrast	DF	Contrast SS	Mean Square	F value	Pr > F
temp effect	1	5.8800000	5.8800000	19.37	<.0001*
time effect	1	5.8800000	5.8800000	19.37	<.0001*
moist effect	2	3.2801042	1.6400521	5.40	0.0085*
control vs rest	1	793.3541026	793.3541026	2612.83	<.0001*

หมายเหตุ : *คือแตกต่างกันอย่างมีนัยสำคัญทางสถิติที่ระดับความเชื่อมั่นร้อยละ 95

**ตารางผนวกที่ ค-10 การวิเคราะห์ความแปรปรวน (ANOVA) จากผลของระดับความชื้น
อุณหภูมิ และระยะเวลาในการดัดแปลงต่อค่าความหนืดสูงสุด (peak
viscosity) ของสารชี้วัดเหนียว**

The GLM Procedure

Dependent Variable: peak viscosity

Source	DF	Sum of Squares	Mean Square	F value	Pr > F
Model	11	114961.1010	10451.0092	190.50	<.0001*
Error	36	1974.9533	54.8598		
Corrected Total	47	116936.0543			
R-Square	Coeff Var	Root MSE	p Mean		
0.983111	1.564942	7.406741	473.2917		
Source	DF	Type III SS	Mean Square	F value	Pr > F
moist*temp*time	2	5235.80112	2617.90056	47.72	<.0001*
moist*temp	2	9482.00647	4741.00323	86.42	<.0001*
moist*time	2	19518.22860	9759.11430	177.89	<.0001*
temp*time	1	6490.47053	6490.47053	118.31	<.0001*
moist	2	36912.09622	18456.04811	336.42	<.0001*
temp	1	6879.87741	6879.87741	125.41	<.0001*
time	1	30442.62068	30442.62068	554.92	<.0001*

peak viscosity

The GLM Procedure

Dependent Variable: peak viscosity

Contrast	DF	Contrast SS	Mean Square	F value	Pr > F
temp effect	1	11451.54083	11451.54083	205.93	<.0001*
time effect	1	11451.54083	11451.54083	205.93	<.0001*
moist effect	2	2042.65690	1021.32845	18.37	<.0001*
control vs rest	1	61848.82254	61848.82254	1112.22	<.0001*

หมายเหตุ : *คือแตกต่างกันอย่างมีนัยสำคัญทางสถิติที่ระดับความเชื่อมั่นร้อยละ 95

**ตารางผนวกที่ ค-11 การวิเคราะห์ความแปรปรวน (ANOVA) จากผลของระดับความชื้น
อุณหภูมิ และระยะเวลาในการตัดแบ่งต่อความหนืดลัดลง
(breakdown) ของสตาร์ชข้าวเหนียว**

The GLM Procedure

Dependent Variable: breakdown

Source	DF	Sum of Squares	Mean Square	F value	Pr > F
Model	11	247259.1065	22478.1006	405.99	<.0001*
Error	36	1993.1935	55.3665		
Corrected Total	47	249252.2999			
R-Square	Coeff Var	Root MSE	b Mean		
0.992003	2.658724	7.440866	279.8660		
Source	DF	Type III SS	Mean Square	F value	Pr > F
moist*temp*time	2	20665.65909	10332.82954	186.63	<.0001*
moist*temp	2	23586.15195	11793.07598	213.00	<.0001*
moist*time	2	40044.86478	20022.43239	361.63	<.0001*
temp*time	1	308.30672	308.30672	5.57	0.0238
moist	2	91307.93703	45653.96851	824.58	<.0001*
temp	1	9125.94630	9125.94630	164.83	<.0001*
time	1	62220.24060	62220.24060	1123.79	<.0001*

breakdown

The GLM Procedure

Dependent Variable: breakdown

Contrast	DF	Contrast SS	Mean Square	F value	Pr > F
temp effect	1	34428.90377	34428.90377	650.73	<.0001*
time effect	1	34428.90377	34428.90377	650.73	<.0001*
moist effect	2	21220.57292	10610.28646	200.54	<.0001*
control vs rest	1	34246.79883	34246.79883	647.29	<.0001*

หมายเหตุ : *คือแตกต่างกันอย่างมีนัยสำคัญทางสถิติที่ระดับความเชื่อมั่นร้อยละ 95

**ตารางผนวกที่ ค-12 การวิเคราะห์ความแปรปรวน (ANOVA) จากผลของระดับความชื้น
อุณหภูมิ และระยะเวลาในการดัดแปลงต่อค่าเซตแบค (setback) ของ
สตาร์ชข้าวเหนียว**

The GLM Procedure

Dependent Variable: setback

Source	DF	Sum of Squares	Mean Square	F value	Pr > F
Model	11	31428.00640	2857.09149	127.45	<.0001*
Error	36	807.02030	22.41723		
Corrected Total	47	32235.02670			
R-Square	Coeff Var	Root MSE	S Mean		
0.974964	7.751928	4.734684	61.07750		
Source	DF	Type III SS	Mean Square	F value	Pr > F
moist*temp*time	2	1692.45732	846.22866	37.75	<.0001*
moist*temp	2	5318.85195	2659.42598	118.63	<.0001*
moist*time	2	2008.74980	1004.37490	44.80	<.0001*
temp*time	1	1149.15041	1149.15041	51.26	<.0001*
moist	2	17243.61545	8621.80773	384.61	<.0001*
temp	1	353.81880	353.81880	15.78	0.0003
time	1	3661.36268	3661.36268	163.33	<.0001*

setback

The GLM Procedure

Dependent Variable: setback

Contrast	DF	Contrast SS	Mean Square	F Value	Pr > F
temp effect	1	2063.120752	2063.120752	97.45	<.0001*
time effect	1	2063.120752	2063.120752	97.45	<.0001*
moist effect	2	3367.538804	1683.769402	79.53	<.0001*
control vs rest	1	1687.408296	1687.408296	79.70	<.0001*

หมายเหตุ : *คือแตกต่างกันอย่างมีนัยสำคัญทางสถิติที่ระดับความเชื่อมั่นร้อยละ 95

ตารางผนวกที่ ค-13 การวิเคราะห์ความแปรปรวน (ANOVA) จากผลของระดับความชื้น
อุณหภูมิ และระยะเวลาในการดัดแปลงต่อความหนืดสุดท้าย (final viscosity) ของสารซึ่งข้าวเหนียว

The GLM Procedure

Dependent Variable: final viscosity

Source	DF	Sum of Squares	Mean Square	F value	Pr > F
Model	11	27173.99831	2470.36348	110.84	<.0001*
Error	36	802.36088	22.28780		
Corrected Total	47	27976.35918			
R-Square	Coeff Var	Root MSE	f Mean		
0.971320	1.854976	4.720996	254.5044		
Source	DF	Type III SS	Mean Square	F value	Pr > F
moist*temp*time	2	11036.88904	5518.44452	247.60	<.0001*
moist*temp	2	1724.45138	862.22569	38.69	<.0001*
moist*time	2	4140.32499	2070.16249	92.88	<.0001*
temp*time	1	4124.22302	4124.22302	185.04	<.0001*
moist	2	5900.17076	2950.08538	132.36	<.0001*
temp	1	38.64635	38.64635	1.73	0.1962
time	1	209.29277	209.29277	9.39	0.0041*

final viscosity

The GLM Procedure

Dependent Variable: final viscosity

Contrast	DF	Contrast SS	Mean Square	F value	Pr > F
temp effect	1	1097.10563	1097.10563	51.46	<.0001*
time effect	1	1097.10563	1097.10563	51.46	<.0001*
moist effect	2	2585.41033	1292.70516	60.64	<.0001*
control vs rest	1	10960.87319	10960.87319	514.15	<.0001*

หมายเหตุ : *คือแตกต่างกันอย่างมีนัยสำคัญทางสถิติที่ระดับความเชื่อมั่นร้อยละ 95

ตารางผนวกที่ ค-14 การวิเคราะห์ความแปรปรวน (ANOVA) จากผลของระดับความชื้น อุณหภูมิ และระยะเวลาในการดัดแปลงต่อค่ากำลังการพองตัว (swelling power) ที่อุณหภูมิ 85 องศาเซลเซียส ของสตาร์ชข้าว เห็นได้

The GLM Procedure

Dependent variable: swelling power

Source	DF	Sum of Squares	Mean Square	F value	Pr > F
Model	11	865.5064729	78.6824066	85.71	<.0001*
Error	36	33.0482250	0.9180062		
Corrected Total	47	898.5546979			
R-Square	Coeff Var	Root MSE	s Mean		
0.963221	5.095457	0.958126	18.80354		
Source	DF	Type III SS	Mean Square	F value	Pr > F
moist*temp*time	2	81.7915292	40.8957646	44.55	<.0001*
moist*temp	2	74.9219792	37.4609896	40.81	<.0001*
moist*time	2	111.8451042	55.9225521	60.92	<.0001*
temp*time	1	6.3875021	6.3875021	6.96	0.0122*
moist	2	491.3364542	245.6682271	267.61	<.0001*
temp	1	20.6063021	20.6063021	22.45	<.0001*
time	1	78.6176021	78.6176021	85.64	<.0001*

swelling power

The GLM Procedure

Dependent variable: swelling power

Contrast	DF	Contrast SS	Mean Square	F value	Pr > F
temp effect	1	10.47200833	10.47200833	12.24	0.0012*
time effect	1	10.47200833	10.47200833	12.24	0.0012*
moist effect	2	68.22341250	34.11170625	39.88	<.0001*
control vs rest	1	10.15920577	10.15920577	11.88	0.0014*

หมายเหตุ : *คือแตกต่างกันอย่างมีนัยสำคัญทางสถิติที่ระดับความเชื่อมั่นร้อยละ 95

**ตารางผนวกที่ ค-15 การวิเคราะห์ความแปรปรวน (ANOVA) จากผลของระดับความชื้น
อุณหภูมิ และระยะเวลาในการตัดแปรต่อค่าการละลายที่อุณหภูมิ 85
องศาเซลเซียส ของสารซ้ำหนึ่ง**

The GLM Procedure

Dependent Variable: amylose leaching

Source	DF	Sum of Squares	Mean Square	F value	Pr > F
Model	11	118.8564667	10.8051333	87.54	<.0001*
Error	36	4.4434000	0.1234278		
Corrected Total	47	123.2998667			
R-Square	Coeff Var	Root MSE	a Mean		
0.963963	8.898005	0.351323	3.948333		
Source	DF	Type III SS	Mean Square	F value	Pr > F
moist*temp*time	2	26.17640417	13.08820208	106.04	<.0001*
moist*temp	2	24.60790417	12.30395208	99.69	<.0001*
moist*time	2	23.23007917	11.61503958	94.10	<.0001*
temp*time	1	14.04003333	14.04003333	113.75	<.0001*
moist	2	29.29142917	14.64571458	118.66	<.0001*
temp	1	1.38040833	1.38040833	11.18	0.0019*
time	1	0.13020833	0.13020833	1.05	0.3112

amylose leaching

The GLM Procedure

Dependent Variable: amylose leaching

Contrast	DF	Contrast SS	Mean Square	F value	Pr > F
temp effect	1	1.51585208	1.51585208	8.91	0.0049*
time effect	1	1.51585208	1.51585208	8.91	0.0049*
moist effect	2	0.54727917	0.27363958	1.61	0.2131
control vs rest	1	45.46260401	45.46260401	267.27	<.0001*

หมายเหตุ : *คือแตกต่างกันอย่างมีนัยสำคัญทางสถิติที่ระดับความเชื่อมั่นร้อยละ 95

**ตารางผนวกที่ ค-16 การวิเคราะห์ความแปรปรวน (ANOVA) จากผลของระดับความชื้น
อุณหภูมิ และระยะเวลาในการดัดแปลงต่อค่าความใส (Clarity) ของ
สตาร์ชข้าวเหนียว**

The GLM Procedure

Dependent Variable: clarity

Source	DF	Sum of Squares	Mean Square	F value	Pr > F
Model	11	102.0225000	9.2747727	53.59	<.0001*
Error	36	6.2300000	0.1730556		
Corrected Total	47	108.2525000			
R-Square	Coeff Var	Root MSE	C Mean		
0.942449	2.131964	0.415999	19.51250		
Source	DF	Type III SS	Mean Square	F value	Pr > F
moist*temp*time	2	38.15291667	19.07645833	110.23	<.0001*
moist*temp	2	16.41125000	8.20562500	47.42	<.0001*
moist*time	2	14.56291667	7.28145833	42.08	<.0001*
temp*time	1	15.41333333	15.41333333	89.07	<.0001*
moist	2	9.51125000	4.75562500	27.48	<.0001*
temp	1	5.07000000	5.07000000	29.30	<.0001*
time	1	2.90083333	2.90083333	16.76	0.0002*

clarity

The GLM Procedure

Dependent Variable: clarity

Contrast	DF	Contrast SS	Mean Square	F Value	Pr > F
temp effect	1	0.18750000	0.18750000	1.17	0.2868
time effect	1	0.18750000	0.18750000	1.17	0.2868
moist effect	2	4.39291667	2.19645833	13.66	<.0001*
control vs rest	1	81.41852564	81.41852564	506.43	<.0001*

หมายเหตุ : *คือแตกต่างกันอย่างมีนัยสำคัญทางสถิติที่ระดับความเชื่อมั่นร้อยละ 95

**ตารางผนวกที่ ค-17 การวิเคราะห์ความแปรปรวน (ANOVA) จากผลของระดับความชื้น
อุณหภูมิ และระยะเวลาในการดัดแปลงต่อปริมาณอะไมโลสของสาาร์ซ
ข้าวเหนียว**

The GLM Procedure

Dependent Variable: amylose

Source	DF	Sum of Squares	Mean Square	F value	Pr > F
Model	11	51.03195000	4.63926818	21.76	<.0001*
Error	36	7.67555000	0.21320972		
Corrected Total	47	58.70750000			
R-Square	Coeff Var	Root MSE	a Mean		
0.869258	16.18743	0.461746	2.852500		
Source	DF	Type III SS	Mean Square	F value	Pr > F
moist*temp*time	2	0.57713750	0.28856875	1.35	0.2712
moist*temp	2	1.76933750	0.88466875	4.15	0.0239
moist*time	2	0.09135417	0.04567708	0.21	0.8082
temp*time	1	3.93307500	3.93307500	18.45	0.0001*
moist	2	21.65633750	10.82816875	50.79	<.0001*
temp	1	4.80067500	4.80067500	22.52	<.0001*
time	1	18.20403333	18.20403333	85.38	<.0001*

amylose

The GLM Procedure

Dependent Variable: amylose

Contrast	DF	Contrast SS	Mean Square	F value	Pr > F
temp effect	1	16.72060208	16.72060208	83.84	<.0001*
time effect	1	16.72060208	16.72060208	83.84	<.0001*
moist effect	2	4.63415000	2.31707500	11.62	0.0001*
control vs rest	1	0.34207067	0.34207067	1.72	0.1980

หมายเหตุ : *คือแตกต่างกันอย่างมีนัยสำคัญทางสถิติที่ระดับความเชื่อมั่นร้อยละ 95

**ตารางผนวกที่ ค-18 การวิเคราะห์ความแปรปรวน (ANOVA) จากผลของระดับความชื้น
อุณหภูมิ และระยะเวลาในการตัดแบ่งต่อร้อยละการถูกย่อยด้วย
เอนไซม์แอลฟาร์บีเมลสของสตาร์ชข้าวเหนียว**

The GLM Procedure

Dependent Variable: enzyme hydrolysis

Source	DF	Sum of Squares	Mean Square	F value	Pr > F
Model	11	693.2219417	63.0201765	250.27	<.0001*
Error	36	9.0652500	0.2518125		
Corrected Total	47	702.2871917			
R-Square	Coeff Var	Root MSE	e Mean		
0.987092	1.017000	0.501809	49.34208		
Source	DF	Type III SS	Mean Square	F value	Pr > F
moist*temp*time	2	115.4052667	57.7026333	229.15	<.0001*
moist*temp	2	145.5543167	72.7771583	289.01	<.0001*
moist*time	2	102.9260667	51.4630333	204.37	<.0001*
temp*time	1	9.3104083	9.3104083	36.97	<.0001*
moist	2	145.5456167	72.7728083	289.00	<.0001*
temp	1	135.7441333	135.7441333	539.07	<.0001*
time	1	38.7361333	38.7361333	153.83	<.0001*

enzyme hydrolysis

The GLM Procedure

Dependent Variable: enzyme hydrolysis

Contrast	DF	Contrast SS	Mean Square	F value	Pr > F
temp effect	1	1.0443000	1.0443000	4.37	0.0432
time effect	1	1.0443000	1.0443000	4.37	0.0432
moist effect	2	0.5452125	0.2726062	1.14	0.3302
control vs rest	1	627.7255442	627.7255442	2625.24	<.0001*

หมายเหตุ : *คือแตกต่างกันอย่างมีนัยสำคัญทางสถิติที่ระดับความเชื่อมั่นร้อยละ 95

ประวัติผู้วิจัย

ชื่อ-สกุล

ที่อยู่

นางสาวชนกพร ฤทธิชัยฤกษ์

50 ถ.คุรุสามัคคี ต.ปากช่อง อ.ปากช่อง จ.นครราชสีมา 30130

โทรศัพท์ 044-313875

ประวัติการศึกษา

พ.ศ. 2546

สำเร็จการศึกษาปริญญาวิทยาศาสตรบัณฑิต ภาควิชาเทคโนโลยี

อาหาร สำเนักวิชาเทคโนโลยีการเกษตร มหาวิทยาลัยเทคโนโลยีสุรนารี

พ.ศ. 2547

ศึกษาต่อระดับปริญญาวิทยาศาสตรมหาบัณฑิต สาขาวิชาเทคโนโลยี

อาหาร คณะวิศวกรรมศาสตร์และเทคโนโลยีอุตสาหกรรม

มหาวิทยาลัยศิลปากร

ประวัติการทำงาน

พ.ศ. 2549

ผู้ช่วยอาจารย์ประจำภาควิชาเทคโนโลยีอาหาร

คณะวิศวกรรมศาสตร์และเทคโนโลยีอุตสาหกรรม

มหาวิทยาลัยศิลปากร